



- ۱ تحلیل اثر نسبت طول به قطر و فاصله شمع‌ها در گروه شمع بر توابع امپدانس و انتقال در یک مدل مربوط به اندرکنش خاک-شمع-سازه
احمدرضا معجوبی - کامران پناغی
- ۱۵ به کارگیری دینامیک سیالات محاسباتی در مدل سازی سلول‌های جریان ثانویه در کانال ذوزنقه‌ای
مهدی اژدری مقدم - مهنا تاج‌نسایی - محمد گیوه‌چی
- ۲۹ بررسی خواص انتقال در بتن‌های توانمند حاوی پوزولان متاکائولن در مقایسه با میکروسیلیس
محمد شکرچی‌زاده - مهدی ولی‌پور - فرهاد برگر
- ۴۳ کاربرد الگوی WAF در شبیه‌سازی عددی امواج غلتشی
علی مهدوی - ناصر طالب بیدختی
- ۵۹ بررسی مقایسه‌ای رفتار لرزه‌ای قاب‌های مهابتنی شده‌ی زیپر و شورون و بزه
مجتبی رضوی - محمد رضا شیدائی
- ۷۳ رفتار سازه‌ای کانال‌های درون‌شهری پر شده با انواع مخلوط CLSM
حاوی مصالح بازیافته
محمد کاظم شریدار
- ۹۱ بررسی فشار جانبی در دیواره‌ی پل‌های یک‌پارچه بر اثر اعمال تغییر مکان
سیکلی
جعفر بلوری بزار - سعید رسولی
- ۱۰۹ کاربرد مقاومت الکتریکی برای بررسی پایایی بتن
امیرضا پیلوار - علی اکبر رمضانیان پور مهدی مهدی‌خانی - فرامرز مودی
- ۱۲۱ ارزیابی دقت روش طیف ظرفیت و روش طیف ظرفیت بهبود یافته در تعیین عملکرد لرزه‌ای قاب‌های بتنی (یادداشت پژوهشی)
مهدی ایزدپناه - علیرضا حبیبی
- ۱۳۱ بررسی عددی سه‌بعدی رسوب‌گذاری و کنتrol آن در آب‌گیرهای جانبی رودخانه‌ای با استفاده از نرم‌افزار SSIIM2 (یادداشت پژوهشی)
حمید شاملو - عادل اثی عشری

نشریه مهندسی عمران فردوسی

(نشریه دانشکده مهندسی)

(علمی - پژوهشی)



نشریه مهندسی عمران فردوسی

ISSN : 2008-7454

علمی-پژوهشی

سردییر : محمدرضا اصفهانی
مدیر مسؤول : فریدون ایرانی
صاحب امتیاز : دانشگاه فردوسی مشهد

هیأت تحریریه :

استاد، دانشگاه صنعتی اصفهان، دانشکده مهندسی عمران	دکتر مجتبی ازهري
استاد، دانشگاه فردوسی مشهد، گروه مهندسی عمران	دکتر محمدرضا اصفهانی
استاد، دانشگاه فردوسی مشهد، گروه مهندسی عمران	دکتر فریدون ایرانی
استاد، دانشگاه فردوسی مشهد، گروه مهندسی عمران	دکتر محمدرضا جعفر زاده
استاد، دانشگاه سمنان، دانشکده مهندسی عمران	دکتر علی خیرالدین
دانشیار، دانشگاه امیرکبیر، دانشکده مهندسی عمران	دکتر عباس سروش
دانشیار، دانشگاه فردوسی مشهد، گروه مهندسی عمران	دکتر فرزاد شهابیان مقدم
دانشیار، دانشگاه تهران، دانشکده فنی دانشکده مهندسی عمران	دکتر رضا عطار نژاد
استاد، دانشگاه فردوسی مشهد، گروه مهندسی عمران	دکتر محمد غفوری
استاد، دانشگاه فردوسی مشهد، گروه مهندسی عمران	دکتر محمود فغفور مغربی
استاد، دانشگاه علم و صنعت ایران، دانشکده مهندسی عمران	دکتر غلامرضا قدرتی امیری
استاد، دانشگاه صنعتی اصفهان، دانشکده مهندسی عمران	دکتر داود مستوفی نژاد

مسوول دفتر نشریه : تکتم هوشمند

ویراستار ادبی : الهام دهقان

ویرایش و صفحه آرایی : فهیمه علی اکبری شاندیز

این نشریه در کتابخانه منطقه‌ای علوم و تکنولوژی شیراز (ISC) نمایه می‌شود.

نشانی: مشهد - دانشگاه فردوسی مشهد - دانشکده مهندسی - دفتر نشریه - صندوق پستی: ۹۱۷۷۵-۱۱۱۱

تلفاكس: ۰۵۱۱-۸۸۰۶۰۲۴، پست الکترونیکی: ejour@um.ac.ir و وب سایت:

چاپ: مؤسسه چاپ و انتشارات دانشگاه فردوسی مشهد

فهرست مطالب

- | | | |
|-----|---|---|
| ۱ | احمدرضا محبوبی - کامران پناغی | تحلیل اثر نسبت طول به قطر و فاصله شمع‌ها در گروه شمع بر توابع امپدانس و انتقال در یک مدل مربوط به اندرکنش خاک-شمع-سازه |
| ۱۵ | مهردی اژدری مقدم - مهنا تاج‌نسابی
محمد گیوه‌چی | به کارگیری دینامیک سیالات محاسباتی در مدل‌سازی سلول‌های جریان ثانویه در کانال ذوزنقه‌ای |
| ۲۹ | محمد شکرچی‌زاده - مهدی ولی‌پور
فرهاد پرگر | بررسی خواص انتقال در بتن‌های توانمند حاوی پوزولان متاکائولن در مقایسه با میکروسیلیس |
| ۴۳ | علی مهادوی - ناصر طالب بیدختی | کاربرد الگوی WAF در شبیه‌سازی عددی امواج غلتشی |
| ۵۹ | مجتبی رضوی - محمد رضا شیدائی | بررسی مقایسه‌ای رفتار لرزه‌ای قاب‌های مهاربندی شده‌ی زیپر و شورون ویژه |
| ۷۳ | محمد‌کاظم شربتدار | رفتار سازه‌ای کانال‌های درون‌شهری پر شده با انواع مخلوط CLSM حاوی مصالح بازیافتنی |
| ۹۱ | جعفر بلوری بزار - سعید رسولی | بررسی فشار جانبی در دیواره‌ی پل‌های یک‌پارچه بر اثر اعمال تغییر مکان سیکلی |
| ۱۰۹ | امیررضا پیلوار - علی اکبر رمضانیان‌پور
مهردی مهدی‌خانی - فرامرز مودی | کاربرد مقاومت الکتریکی برای بررسی پایایی بتن |
| ۱۲۱ | مهردی ایزدپناه - علیرضا حبیبی | ارزیابی دقت روش طیف ظرفیت و روش طیف ظرفیت بهبود یافته در تعیین عملکرد لرزه‌ای قاب‌های بتنی (یادداشت پژوهشی) |
| ۱۳۱ | حمید شاملو - عادل اثنی عشری | بررسی عددی سه‌بعدی رسوب‌گذاری و کنترل آن در آب‌گیرهای جانبی رو دخانه‌ای با استفاده از نرم‌افزار SSIIM2 (یادداشت پژوهشی) |

تحلیل اثر نسبت طول به قطر و فاصله شمع‌ها در گروه شمع بر توابع امپدانس و انتقال در یک مدل مربوط به اندرکنش خاک-شمع-سازه*

احمدرضا محبوبی^(۱)کامران پناگی^(۲)

چکیده در گذشته تحلیل لرزه‌ای سازه‌ها، با توجه به اثر خاک زیرین در افزایش میرایی و زمان تناوب حرکت سازه نسبت به تکیه‌گاه صلب، با چشم‌پوشی از اندرکنش خاک با پی و اعمال حرکت لرزه‌ای به تکیه‌گاه سازه در سطح زمین صورت می‌گرفت. با این حال، بزرگنمایی حرکت سیستم در برخی موارد موجب تردید در فرض محافظه کارانه بودن این رویکرد گردید. هدف مطالعه‌ی حاضر بررسی اثر پارامترهای نسبت طول به قطر و فاصله به قدر شمع‌ها در گروه‌های شمع 2×2 و 3×3 است. افزایش نسبت‌های طول و فاصله به قطر شمع‌ها منجر به افزایش مقدار توابع انتقال در اندرکنش سینماتیک می‌گردد. این اثرات در اندرکنش وابسته به اینرسی به صورت کاهش قسمت حقیقی تابع امپدانس و افزایش قسمت مجازی آن خود را نشان می‌دهند.

واژه‌های کلیدی اندرکنش سینماتیک، اندرکنش وابسته به اینرسی، پی‌های شمعی، تابع انتقال، تابع امپدانس.

The Effects of Piles Spacing and Length to Diameter Ratios on the Soil-Pile-Structure Interaction Phenomenon

A. Mahboubi

K. Panaghi

Abstract The seismic analysis of structures in the past relied on the assumed soil desirable effects as the elongation of excitation period with higher damping. Therefore, imposing earthquake loading at the foundation level fulfilling higher safety requirements was the common practice until occasional movement amplifications demanded more rigorous research. The goal of the current study is to scrutinize the effects of length to diameter and spacing to diameter ratios on the response of soil-pile group-structure systems of 2×2 and 3×3 arrangements. The mentioned parameters' increase in the kinematic interaction study resulted in higher transfer functions. Such changes lead to decrease in the real part and increase in the imaginary part of the impedance functions in the inertial interaction study.

Key Words Kinematic Interaction, Inertial Interaction, Pile Foundation, Transfer Function, Impedance Function.

★تاریخ دریافت مقاله ۸۹/۵/۲۷ و تاریخ پذیرش آن ۹۲/۳/۲۸ می‌باشد.

(۱) نویسنده‌ی مسؤول، دانشیار، گروه ژئوتکنیک، دانشکده مهندسی آب و محیط زیست، دانشگاه شهید بهشتی تهران.

(۲) دانشجوی دکترای خاک و پی، دانشکده مهندسی عمران و محیط‌زیست، دانشگاه تربیت مدرس تهران.

تناوب بارگذاری در برخی موقع، موجب عدم تطابق طیف پاسخ سازه در واقعیت با طیف پاسخ آئین نامه ای گردید. اثرات جنبشی به وسیله ای توابع انتقال وابسته به فرکانس که به صورت نسبت حرکت پی به حرکت میدان آزاد در غیاب سازه تعریف می شوند، مورد بررسی قرار می گیرند.

مطالعات انجام شده در این حوزه اغلب با استفاده از روش های تحلیلی ساده شده مانند رویکرد تیر بر بستر ارتجاعی [3-6] و یا روش های عددی انجام می شوند [7,8]. مدل تیر بر پی وینکلر برای نخستین بار در سال ۱۹۷۰ با موفقیت در تحلیل های دینامیکی مورد استفاده قرار گرفت [9]. پس از آن بحث چگونگی رفتار غیرخطی خاک با استفاده از رویکردهای عددی (روش اجزای محدود، روش المان های مرزی) مورد بررسی بیشتر واقع شد [10,11]. توسعه و تبیین روابط حاکم در روش اجزای مرزی برای بارگذاری لرزه ای به وسیله ای محققان بسیاری صورت گرفته است [12-18]. روش های المان مرزی قادر به اثرا دادن رفتار غیرخطی خاک و یا سطح تماس خاک و شمع نمی باشند. با این حال، این روش برای محدوده وسیعی از مسائل که شامل موج های لرزه ای متفاوت مانند موج های رایلی می شوند، مناسب است.

با ایستی توجه داشت که مسئله ای اندرکنش خاک- سازه-پی مسئله ای همبسته می باشد که در آن اندرکنش خاک با پی (شمع) بر پاسخ سازه اثر می گذارد و پاسخ سازه نیز متقابلاً تغییراتی را بر اندرکنش خاک با پی موجب می گردد. این سیکل رفتاری اغلب در بین مهندسان عمران با گرایش های زلزله و ژئوتکنیک با رویکردهای تا حدودی متفاوت مورد بررسی قرار می گیرد، به گونه ای که مهندسین زلزله خاک در تماس با پی را به صورت فنرهایی با سختی مشخص مدل می کنند و برای در برگرفتن اثرات میرایی نیز از میراگرهایی که با فنرها موازی می شوند استفاده می کنند و سازه را به گونه ای واقعی تر با در نظر گرفتن نرمی

مقدمه

یکی از کاربردهای مهم شمع ها استفاده از آن ها به عنوان پی برای سازه هایی است که تحت لرزش ماشین آلات دوار (پمپ های دورانی، توربین ها و ...) می باشند. در این گونه سازه ها شمع ها نه تنها موجب افزایش سختی پی می گرددند، بلکه اندرکنش آن ها با خاک اطراف تأثیرات مثبتی بر خصوصیات دینامیکی کل سازه می گذارد. علاوه بر این، شمع ها به عنوان پی در سازه های بنashde برخاک نرم برای بهبود خواص خاک و نیز انتقال بارهای سازه ای به لایه های مستحکم تحتانی مورد استفاده قرار می گیرند. افزایش مقاومت سازه های بلند حساس در برابر بارگذاری جانبی نیز از دیگر موارد کاربرد این گونه پی ها می باشد. مسائل اندرکنشی به طور کلی در پدیده هایی که در آن ها دو جسم دارای سختی متفاوت در کنار یکدیگر قرار می گیرند، مطرح می شوند. این مسئله در مورد پی های شمعی نیز با توجه به این که شمع دارای جنس متفاوتی از خاک اطراف می باشد، صادق است. درنتیجه این پدیده و پاسخ متفاوت اجسام، توزیع نیروها و لنگرهای متفاوتی در سازه و نیروهایی پیش بینی نشده در خاک ایجاد خواهد شد. تغییر مکان های حاصل از بارگذاری لرزه ای نیز از این قاعده مستثنی نیستند. در گذشته، تحلیل لرزه ای سازه های دارای پی های شمعی بدون درنظر گرفتن اثر اندرکنش سینماتیک خاک- شمع، با اعمال حرکت لرزه ای به تکیه گاه سازه در سطح زمین صورت می پذیرفت. این فرض که به دلیل اعمال حرکت ورودی زلزله در سنگ بستر به سازه به طور مستقیم محافظه کارانه تلقی می شد، با انجام تحقیقات بیشتر در مورد اندرکنش سینماتیک خاک- شمع و مشاهده بزرگ نمایی حرکت سازه درنتیجه این پدیده، مورد تردید قرار گرفت [1]. مطالعات بیشتر در این زمینه بر لزوم بررسی اندرکنش خاک- شمع- سازه به عنوان عاملی تعیین کننده در طراحی ایمن سازه ها صحة گذاشت [2]. علاوه بر این، افزایش بیش از حد زمان

آن نیروها و تغییر مکان های دینامیکی اضافی را متحمل می شوند. این امر به دلیل اندرکنش وابسته به اینرسی است. انعطاف پذیری پی به عنوان تکیه گاه، شتاب سازه را از خود متأثر می سازد. انعطاف پذیری پی و میرابی مربوط به اندرکنش خاک- شمع به وسیله ای تابع وابسته به فرکانس امپدانس پی (امپدانس دینامیکی) بیان می شود. مطالعه ای پدیده ای اندرکنش خاک- شمع- سازه در حالت کلی و با دقت بالا توسط رویکرد مستقیم که در آن کل سیستم مورد نظر به صورت پکارچه مدل شده و اثرات رفتار خمیری نیز در صورت وقوع قابل بررسی است، می تواند انجام شود. این روش با وجود مطلوب بودن از نظر دقت نتایج، به دلیل هزینه ای بالای زمانی و محاسباتی مقرر شده و بنابراین استفاده از روش های جایگزین در بین محققین هنوز از جایگاه ویژه ای برخوردار است. در این میان، استفاده از رویکرد بر هم نهی که در آن دو پدیده ای اندرکنش جنبشی و وابسته به اینرسی به صورت جداگانه بررسی شده و در خاتمه تلفیق می گردد، از محبوبیت خاصی برخوردار است. این روش هر چند با فرض رفتار خطی در سیستم مورد استفاده قرار می گیرد، اما به طور کلی دقت لازم در تحلیل های مذکور را به دست می دهد.

مطالعات بسیاری برای درک بهتر اثر پدیده اندرکنش خاک- شمع- سازه انجام پذیرفته است [1-19]. مطالعه حاضر نیز بر بررسی اثر نسبت طول به قطر شمع ها و نسبت فاصله ای بین شمع ها به قطر در گروه شمع بر توابع امپدانس و انتقال در پدیده ای اندرکنش خاک- شمع- سازه به وسیله ای نرم افزار اجزای محدود ABAQUS 6.8 متمرکز شده است. در این بررسی، خاک به صورت یک محیط پیوسته با رفتار غیرخطی محدود که مقدار بار متناظر آن ابتدا برای هر مدل تحت بارهای مختلف استاتیکی بررسی و تعیین گردیده است، در نظر گرفته شده و شمع های بتی دارای رفتار الاستیک خطی با رفتار سر آزاد می باشند.

بیشتر آن در مقایسه با جرم مرکز در نظر می گیرند. در این رویکرد زمان تناوب طبیعی سازه به صورت دقیق تر بررسی می شود و مدهای ارتعاشی بالاتری (به صورت مؤثر) در تحلیل ها تحت پوشش قرار می گیرند. پیامد این رویکرد آن است که رفتار خاک به صورت غیرواقعی مدل می شود و بنابراین حل مزبور از دیدگاه مهندسان ژئوتکنیک چندان منطقی به نظر نمی رسد. این مسئله به صورت عکس برای دیدگاه ژئوتکنیکی قابل طرح است که در آن سازه به صورت جرمی مرکز مدل شده و سعی در مدل سازی رفتار خاک به گونه ای واقعی تر می باشد. در این مقاله نیز از آن جا که در بحث اندرکنش وابسته به اینرسی، بایستی از اینرسی جرم سازه در تحلیل ها بهره گرفت، از جامع ترین واژه مورد استفاده توسط محققان یعنی عنوان «اندرکشن خاک- شمع- سازه» با توجه به نکات مذکور استفاده شد. در غیاب سازه ای اصلی حرکت پی ممکن است متفاوت از حرکت میدان آزاد باشد. میدان آزاد معرف منطقه ای از خاک است که به اندازه ای کافی از پی دور می باشد، به طوری که پی حرکت میدان آزاد را از خود متأثر نمی سازد. این تفاوت در نتیجه های مکانیزم اندرکشن سینماتیک است. اثرات سینماتیک به وسیله ای توابع انتقال وابسته به فرکانس تعریف می شوند. تابع انتقال به صورت نسبت حرکت پی به حرکت میدان آزاد در غیاب سازه تعریف می شود. پس از تغییر اولیه در حرکت لرزه ای زمین که ناشی از وجود پی در منطقه ای مورد نظر می باشد، بایستی در تحلیل دقیق مسائل لرزه ای اثر اندرکشن کینماتیکی شمع و خاک در بارهای اعمال شده به سازه و اثر بارهای اینرسی وارد شونده از سازه به پی مورد بررسی قرار گیرند. ارتعاشات سازه اصلی در نتیجه حرکت پی (متاثر از اندرکشن سینماتیک) موجب ایجاد نیروهای اینرسی سازه ای و لنگرهای واژگون کننده در تکیه گاه سازه می شود. در نتیجه این پدیده، پی و خاک اطراف

پدیده‌ی اندرکش خاک- شمع- سازه، شمع‌ها بتنی و به قطر ۵۰ سانتی‌متر می‌باشند. طول شمع‌ها در حالات مختلف تحلیل برابر با ۸، ۱۰ و ۱۲/۵ متر در نظر گرفته شده است و بنابراین نسبت طول به قطر شمع‌ها به ترتیب برابر با ۱۶، ۲۰ و ۲۵ به دست آمد. همچنین نسبت فاصله به قطر شمع‌ها برابر با ۲/۵ در نظر گرفته شد. در مطالعه‌ی اثر نسبت فاصله‌ی بین شمع‌ها به قطر در گروه شمع بر پدیده‌ی اندرکش خاک- شمع- سازه جنس شمع‌ها از بتن و طول و قطر آن‌ها به ترتیب برابر با ۸ و ۰/۴ متر (نسبت طول به قطر برابر با ۲۰) در نظر گرفته شد. سه نسبت فاصله به قطر برابر با ۲/۵، ۴ و ۶ برای در نظر گرفتن اثرات تغییر عمل کرد گروهی بر نتایج تحلیل‌ها انتخاب گردیدند. قابل ذکر است که سر شمع‌ها در کلیه‌ی تحلیل‌ها دارای ضخامت ۰/۶ متر و سطح بالایی سر شمع‌ها هم‌سطح با سطح زمین در نظر گرفته شدند. در ادامه، از مطالعه‌ی اثر نسبت طول به قطر شمع بر پدیده‌ی اندرکش خاک- شمع- سازه به عنوان مطالعه‌ی اول و از مطالعه‌ی اثر نسبت فاصله بین شمع‌ها به قطر در گروه شمع بر این پدیده به عنوان مطالعه‌ی دوم یاد می‌شود.

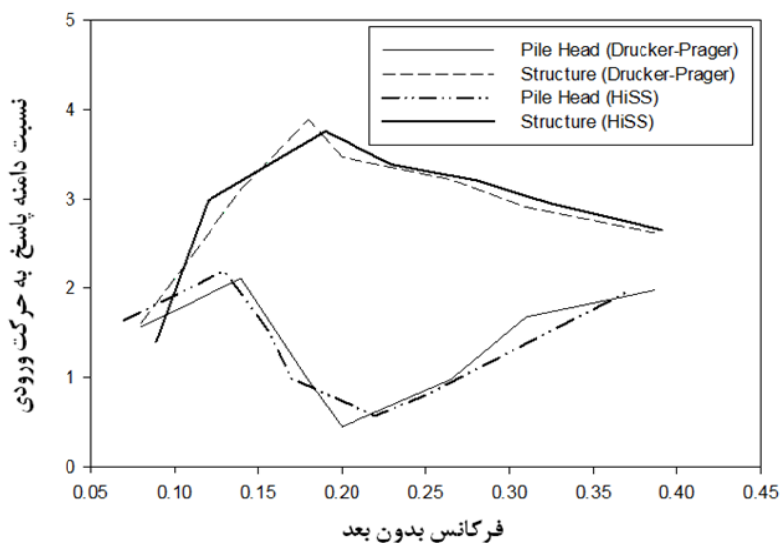
مشبندی مدل‌ها بایستی به گونه‌ای صورت می‌گرفت تا از انعکاس امواج لرزه‌ای به داخل مدل جلوگیری شود. این کار مستلزم افزایش اندازه‌ی مدل اجزای محدود با توجه به وجود میرایی در خاک می‌باشد. اما محدودیت موجود از نظر زمان محاسبات، موجب می‌شود تا ایده‌ی استفاده از مرزهای گذرا در کناره‌های مدل مورد توجه قرار گیرد. علاوه بر این، مش اجزای محدود در کناره‌ها درشت و در نزدیکی مدل گروه شمع ریز انتخاب شد. المان‌های مورد استفاده در همه‌ی مدل‌ها از نوع شش وجهی هشت‌گرهی انتخاب شدند که در میانه‌های مدل از نوع محدود و در مرزهای جانبی نامحدود بودند.

در ضمن جدایش بین خاک و شمع در مدل‌سازی در نظر گرفته شده و شبیه‌سازی مرزهای جانبی به صورت نامحدود صورت گرفته است. گروه‌های شمع با آرایش‌های مربعی 2×2 و 3×3 در خاک ماسه‌ای متراکم قرار گرفته و تحت بارگذاری دینامیکی بررسی شده‌اند.

روند مدل‌سازی

مدل‌سازی عددی مطالعه‌ی حاضر ابتدا برای گروه شمع 2×2 مورد صحبت سنجی قرار گرفته است. این کار با مقایسه‌ی نتایج حاصل از مدل‌سازی حاضر با مطالعه‌ی Maheshwari et al. (2004) با در نظر داشتن این نکته که مدل رفتاری خاک و نحوه‌ی مدل‌سازی مرزها متفاوت می‌باشند، انجام گردیده است شکل (۱) [11]. هدف (Maheshwari et al. (2004) به دست آوردن تغییرات نسبت دامنه‌ی پاسخ در سطح زمین به دامنه‌ی حرکت ورودی در سنگ بستر با فرکانس بدون بعد بود. مدل‌سازی مرزها با استفاده از المان‌های کلوبین صورت گرفته و مدل رفتاری مورد استفاده برای خاک مدل HiSS بوده است. فرکانس بدون بعد به صورت نسبت حاصل ضرب فرکانس زاویه‌ای و قطر شمع به سرعت موج برشی در محیط تعریف می‌شود. مرزها در مطالعه‌ی حاضر از نوع نامحدود است و مدل رفتاری در اکر-پرگ برای خاک در نظر گرفته شده است. در این مدل‌سازی‌ها شمع‌ها دارای سطح مقطع مربع با بعد ۵۰ سانتی‌متر و ارتفاع ۱۰ متراند و فاصله‌ی مرکز به مرکز شمع‌ها $2/5$ متر می‌باشد. با وجود این تفاوت‌ها در مدل‌سازی، اختلاف جواب‌های به دست آمده در حد قابل قبولی می‌باشد.

پس از اعتماد از صحبت مدل عددی توسعه داده شده، گستره‌ی خاک در هر امتداد برابر با ۲۰ متر در نظر گرفته شد. گروه‌های شمع مورد بررسی تحت بارگذاری‌های لرزه‌ای تناوبی با فرکانس متفاوت قرار گرفتند. در مطالعه‌ی اثر نسبت طول به قطر شمع بر



شکل ۱ مقایسه نتایج مربوط به صحت‌سنجی مدل حاضر با نتایج حاصل از تحقیق [11] Maheshwari et al. (2004)

جدول ۱ خصوصیات مصالح خاک، شمع و سازه در مطالعه‌ی حاضر

جزء مدل	جنس مصالح	خصوصیات مصالح
خاک	ماسه	$E=80 \text{ MPa}$, $\nu=0.35$, $\rho=1900 \text{ kg/m}^3$, $\phi=35^\circ$, $\psi=5^\circ$
شمع	بتن	$E=21 \text{ GPa}$, $\nu=0.20$, $\rho=2400 \text{ kg/m}^3$
سازه	مجازی	$\rho=50000 \text{ kg/m}^3$

سینماتیکی برای گره‌های سطوح در مجاورت یک دیگر ایجاد می‌کند، به کار گرفته شد. رفتار تماسی در جهت نرم‌مال بین سطوح از نوع "سخت" با قابلیت اجازه‌دادن سطوح چسبیده به هم در صورت تجاوز از مقادیر آستانه در نظر گرفته شد.

یک جرم دارای حجم واحد که بار ۵۰۰ کیلو نیوتون را به سر شمع اعمال می‌نمود، برای مدل کردن سازه در مطالعه‌ی مربوط به اندرکنش وابسته به اینرسی در نظر گرفته شد. با توجه به پلاستیسیته‌ی کم به وجود آمده در توده‌ی خاک، قانون رفتاری از نوع دراکر-پراگر انتخاب گردید تا نتایج واقع گرایانه‌ای به دست آید. جدول (۱) خصوصیات مصالح خاک، شمع و سازه‌ی مورد استفاده در این مطالعه را نشان می‌دهد.

در همه تحلیل‌ها جدایش بین شمع و خاک در نظر گرفته شده است و قانون اصطکاک کولمب برای مدل کردن سطح تماس شمع‌ها و خاک به کار گرفته شد. برای مدل‌سازی سطوح تماس از گرینه‌ی اندرکنش تماسی سطح به سطح استفاده شد که تماس بین سطح شکل‌پذیر (خاک) و سطح صلب (شمع بتنی) را امکان‌پذیر می‌سازد. گره‌های سطح صلب در محاسبات قادر به نفوذ به گره‌های سطح شکل‌پذیر می‌باشند، اما عکس این حالت امکان‌پذیر نیست. پس از معرفی سطوح در تماس با هم و وضعیت آن‌ها نسبت به یکدیگر، نحوی لغزش سطوح بر هم به صورت لغزش‌های کوچک تعریف شد. برای تعریف خصوصیات مکانیکی اندرکنش تماسی، الگوریتم تماسی پنالتی که قید کمتری نسبت به الگوریتم تماسی

می دهد.

مقادیر ثوابت المان های کلوین با استفاده از روش ارائه شده به وسیله‌ی Novak and Mitwally به صورت ذیل محاسبه می‌شوند [19]:

$$k_r^* = \frac{G}{r_0} [S_1(a_r, v, D) + i S_2(a_r, v, D)] \quad (1)$$

که در آن k_r^* سختی کل، G مدول برشی خاک، r_0 فاصله تا مرز المان محدود، S_1 و S_2 پارامترهای بدون بعد از راه حل های تحلیلی، v نسبت پواسون، i واحد مجازی $\sqrt{-1}$ ، a_r فرکانس بی بعد برابر با $\frac{\omega}{v_s}$ که در آن

(۱) فرکانس زاویه‌ای بارگذاری و v_s سرعت موج برشی در خاک است. قسمت‌های حقیقی و مجازی معادله به ترتیب سختی و میرایی را نشان می‌دهند که برابر با:

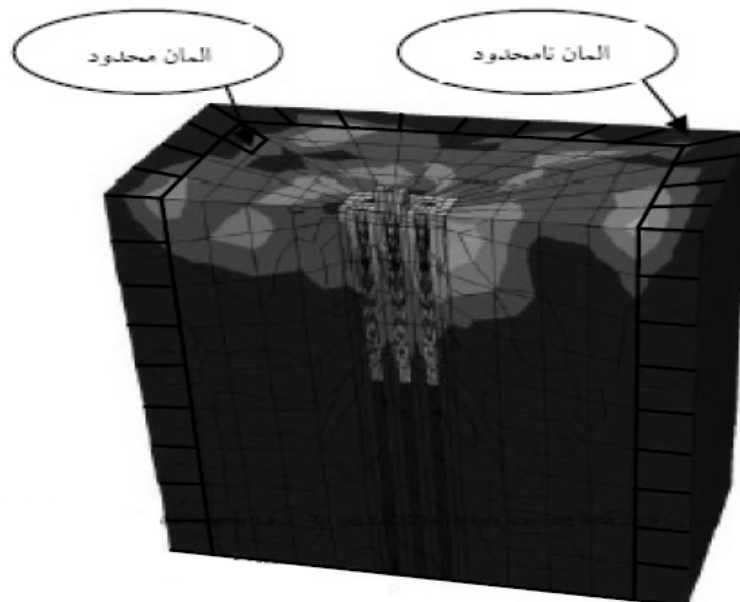
$$K = \frac{GS_1}{r_0}$$

$$C = \frac{GS_2}{\omega r_0}$$

می‌باشد.

شرایط مرزی

مدل‌سازی شرایط مرزی در کناره‌های مدل به صورت کاملاً گذرا انجام شد تا از برگشت امواج لرزه ای به داخل مدل و اثر جعبه‌ای جلوگیری شود. این کار با استفاده از اجزای نامحدود صورت گرفت. این نوع مرز موج‌های لرزه‌ای منتشر را با فرض رفتار الاستیک خطی محیط مجاور خود به طور کامل به بیرون انتقال می‌دهد و از اثرات نامطلوب امواج بازتابی بر نتایج تحلیل عددی جلوگیری می‌کند. در عین حال، المان‌های موجود در داخل بدنه‌ی خاک از نوع المان‌های محدود که در آن‌ها انتشار موج سبب ایجاد تنش‌ها و تغییر‌شکل‌ها و انتقال آن‌ها به المان‌های مجاور می‌گردد، در نظر گرفته شدند. این نوع المان‌ها از نوع شش وجهی هشت‌گرهی که در تحلیل‌های ژئوتکنیکی دقت قابل قبولی ارائه می‌دهند، انتخاب گردیدند. در پستر سنگی نیز از المان‌های کلوین برای مدل‌سازی مرزهای نیمه‌گذرا استفاده شد. المان‌های کلوین به دو گونه فنر و میراگر می‌باشند که فنر سختی موجود مریبوط به محیط خاکی و میراگرها نیز میرایی محیط را تأمین می‌کنند. شکل (۲) نمونه‌ای از مدل‌های ساخته شده و شرایط مرزی به کار گرفته شده در آن‌ها را نشان



شکل ۲ یک نمونه از مدل خاک-گروه شمع ساخته شده برای تحلیل اندرکنش وابسته به اینرسی

مقدار تغییر مکان های سر شمع ناشی از بارگذاری در بستر (پس از تحلیل های مربوط به اندرکنش سینماتیک توسط نرم افزار) می توانند به عنوان ورودی در تحلیل اندرکنش وابسته به اینرسی مورد استفاده قرار گیرند. جدول (۲) مقادیر بارهای انتخابی برای بارگذاری های تناوبی را نشان می دهد.

مقادیر بارهای وارد به سیستم به گونه ای انتخاب شدند تا خاک مورد بررسی در اطراف سر شمع وارد محدوده رفتار خمیری شود. این کار با تحلیل استاتیکی سیستم خاک- شمع با توجه به بار در نظر گرفته شده و به دست آوردن نمودارهای مربوط به کرنش خمیری در خاک با توجه به نمو بار استاتیکی تا کامل شدن آن صورت گرفت.

محاسبه تابع انتقال

تابع انتقال وابسته به فرکانس مطابق رابطه شماره (۲) محاسبه می شود:

$$TF(f) = \frac{|U_p(f)|}{|U_{ff}(f)|} \quad (2)$$

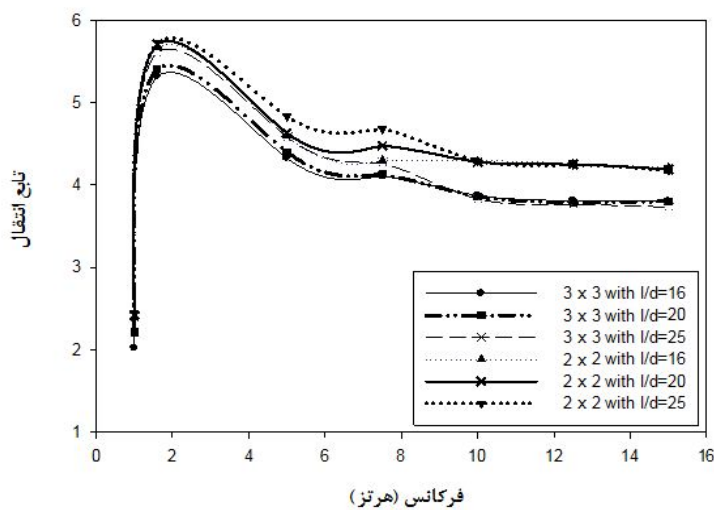
که در آن $|U_p(f)|$ بیشترین پاسخ جانبی در سر شمع و $|U_{ff}(f)|$ پاسخ میدان آزاد در فرکانس ارتعاشی متناظر با آن f می باشد. تحلیل ها برای بارگذاری های ذکر شده در قسمت قبل در هر مورد انجام شدند و نتایج به دست آمده مربوط به مطالعات اول و دوم به ترتیب در اشکال (۴ و ۳) ارائه شده اند.

بارگذاری

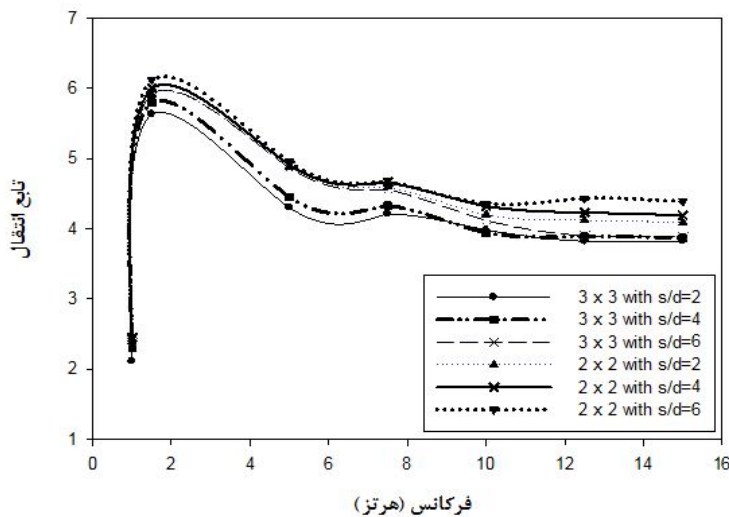
در کلیه تحلیل های مربوط به مطالعه اول بارگذاری های لرزه ای تناوبی با فرکانس های ارتعاشی $1/6, 5, 7/5, 10, 12/5$ و 15 هرتز و با دامنه 180 و 240 کیلو نیوتون برای گروه شمع چهارتایی (2×2) و 280 و 360 کیلو نیوتون برای گروه شمع نه تایی (3×3) به سیستم ها اعمال گردیدند. با توجه به خصوصیات سیستم های مورد بررسی، مقدار فرکانس طبیعی متناظر با مد اول سیستم ها در حدود $1/6$ هرتز بود. از آنجا که در تحلیل های مربوط به مطالعه دوم، مقدار فرکانس طبیعی متناظر با مد اول سیستم ها تقریباً برابر با $1/5.6$ هرتز به دست آمد، بارگذاری های لرزه ای تناوبی با فرکانس های ارتعاشی $1/5, 5, 7/5, 10, 12/5$ و 15 هرتز برای مطالعه دوم در نظر گرفته شدند. در بارگذاری های تناوبی اعمال شده، بارگذاری سیستم تا رسیدن سیستم به حالت پاسخ یکنواخت ادامه یافت و لذا زمان تحلیل ها به تناسب فرکانس بارگذاری به گونه ای انتخاب شد تا از طرفی تحلیل ها از نظر محاسباتی مقرر به صرفه باشند و از سویی دیگر از رسیدن به حالت پاسخ یکنواخت در سیستم یقین حاصل شود. در بررسی اندرکنش سینماتیک، بارگذاری ها به کف مدل و در اندرکنش وابسته به اینرسی بارگذاری ها به سر شمع ها اعمال گردیدند. مقادیر خروجی از نرم افزار به صورت تغییر مکان در سر شمع در هر 10° ثانیه ثبت شدند.

جدول ۲ مقادیر بار انتخابی برای بارگذاری های تناوبی مورد استفاده در مطالعه حاضر

بار اعمال شده به هر آرایش گروه شمع بر حسب کیلو نیوتون		نوع تحلیل
نه تایی (3×3)	چهارتایی (2×2)	
۲۸۰	۱۸۰	اندرکنش سینماتیک
۳۶۰	۲۴۰	اندرکنش وابسته به اینرسی



شکل ۳ مقایسه تغییرات تابع انتقال با فرکانس برای گروههای شمع 2×2 و 3×3 با توجه به نسبت‌های طول به قطر متفاوت



شکل ۴ مقایسه تغییرات تابع انتقال با فرکانس برای گروههای شمع 2×2 و 3×3 با توجه به نسبت‌های فاصله به قطر متفاوت

خاک-شموع در فرکانس‌های بالاتر و نزدیکی رفتار سیستم‌های دارای سختی متفاوت با هم توضیح داده شود. در مطالعه دوم توابع انتقال به دست آمده در گروههای شمع 2×2 به طور کلی دارای مقادیر بالاتری نسبت به گروههای شمع 3×3 می‌باشند. این مسئله می‌تواند به سختی کمتر این سیستم‌ها در مقایسه با گروههای دارای تعداد شمع بیشتر نسبت داده شود. در ضمن افزایش مقدار تابع انتقال در فرکانس حدود ۱/۵ هرتز می‌تواند به اثر تشدید مربوط به نزدیکی فرکانس ارتعاش در این محدوده به فرکانس طبیعی مدد اول

این اشکال نشان می‌دهند که در سیستم‌های دارای سختی کمتر یعنی سیستم‌های دارای نسبت طول به قطر بزرگ‌تر و یا نسبت فاصله بین شمع‌ها به قطر بزرگ‌تر، اثر اندرکنش سینماتیک که در قالب توابع انتقال بررسی می‌شود، به صورت افزایش مقدار تغییرمکان‌های سرشع نسبت به سیستم‌های سخت‌تر خود را نشان می‌دهد. این مسئله در فرکانس‌های ارتعاشی بالاتر و نزدیک به فرکانس طبیعی سیستم‌های دارای سختی بیشتر، به گونه‌ای محدودتر خود را نشان می‌دهد. این نتیجه می‌تواند به ارتعاش بیشتر سیستم

ذکر شده می‌باشد. می‌توان ملاحظه نمود که اثر افزایش نسبت طول به قطر و یا فاصله به قطر شمع‌ها به صورت کاهش قسمت حقیقی تابع امپدانس می‌باشد. این مسئله می‌تواند به دلیل کاهش سختی در سیستم در اثر افزایش طول شمع‌ها و یا افزایش فاصله‌ی شمع‌ها باشد. کاهش ناگهانی مقدار حقیقی تابع امپدانس در برخی از فرکانس‌های ارتعاشی می‌تواند به دلیل افزایش ارتعاش در فرکانس‌های مورد نظر به دلیل تقارن با فرکانس‌های طبیعی سیستم خاک-شمع باشد.

سیستم‌های دارای تعداد شمع بیشتر و یا نسبت فاصله به قطر کم‌تر، سختی بیشتری را از خود نشان می‌دهند. این مسئله را می‌توان با توجه به مقادیر بالاتر قسمت حقیقی تابع امپدانس مربوط به این سیستم‌ها در نمودارها مشاهده نمود. علاوه بر این، مقدار کاهش بیشتر سختی در نزدیکی برخی از فرکانس‌ها را می‌توان به ارتعاش بیشتر سیستم در آن محدوده‌ها به دلیل وجود فرکانس‌های طبیعی متفاوت سیستم در مدهای ارتعاشی مختلف نسبت داد. از آنجا که میزان کرنش پلاستیک در مطالعه‌ی حاضر به صورت محدود (آستانه‌ی ایجاد کرنش پلاستیک در بارگذاری استاتیکی مربوط به خروجی نرم‌افزار) در نظر گرفته شده است، میرایی ویسکوز می‌تواند نمایانگر میرایی در سیستم باشد.

بخش عمده‌ی میرایی در این حالت مربوط به میرایی تشعشعی است. این گونه میرایی در نتیجه‌ی وجود سختی متفاوت دو سیستم در حال ارتعاش در مجاورت یکدیگر می‌باشد. از خصوصیات این میرایی، وابستگی آن به مقدار تماس سطوح در مجاورت یکدیگر است، به گونه‌ای که مقدار این میرایی با میزان سطوح در تماس با یکدیگر رابطه‌ی مستقیم دارد. از آنجا که در سیستم‌های دارای سختی کم‌تر جدایش بیشتری بین شمع و خاک روی می‌دهد، می‌توان انتظار داشت که میزان میرایی در این سیستم‌ها دارای مقدار کم‌تری باشد. اما همان‌گونه که در شکل (۷) می‌توان مشاهده کرد این میزان در سیستم‌های دارای سختی

سیستم ربط داده شود. در کلیه‌ی تحلیل‌های صورت گرفته مقدار بارگذاری در کف مدل به گونه‌ای در سطح آن توزیع شد تا مقدار بار تناوبی موردنظر که به سیستم اعمال می‌شود، حاصل گردد. لازم به ذکر است که مقادیر توابع انتقال به دست آمده با توجه به نوع بارگذاری لرزه‌ای می‌توانند تغییر نمایند و صرفاً زمان بارگذاری لرزه‌ای در این مورد تعیین کننده نیست.

محاسبه تابع امپدانس

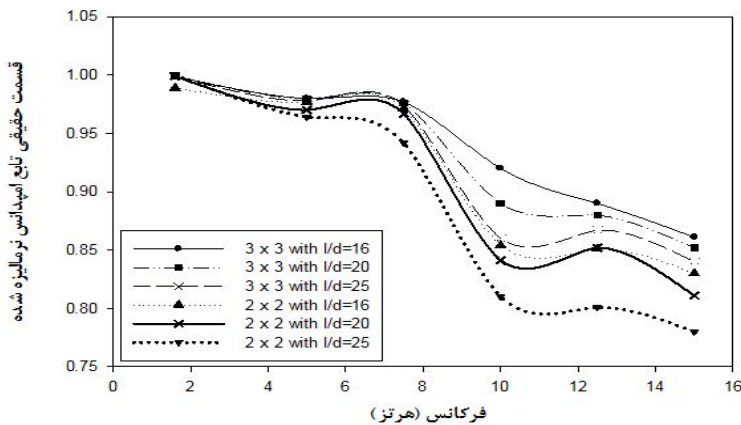
تابع امپدانس (IF) یک سیستم خاک-شمع بهوسیله‌ی سختی و میرایی سیستم معرفی می‌گردد و تابعی از فرکانس ارتعاش (فرکانس تابع بارگذاری) و مقدار نیروی محرك می‌باشد. سختی دینامیکی مختلط K_0 در فضای فرکانسی می‌تواند با به کاربردن یک بارگذاری حقیقی با دامنه‌ی مشخص P_0 در سرشع و در نظر گرفتن دامنه‌ی پاسخ مختلط U_0 در فرکانس‌های ارتعاشی مختلف سنجیده شود. هنگامی که پاسخ به حالت یکنواخت می‌رسد، ماکریم مقدار دامنه‌ی پاسخ U_0 و تأخیر زمانی متناظر با آن θ_0 با توجه به دامنه‌ی نیروی به کار رفته از نمودار تغییرمکان-تاریخچه‌ی زمانی در سرشع اندازه‌گیری می‌شوند. با این مشاهدات، تأخیر فاز θ (بر حسب رادیان) و سختی دینامیکی مختلط سیستم خاک-شمع به صورت زیر می‌تواند به دست آید:

$$\theta = \omega t_1 = 2\pi f t_1$$

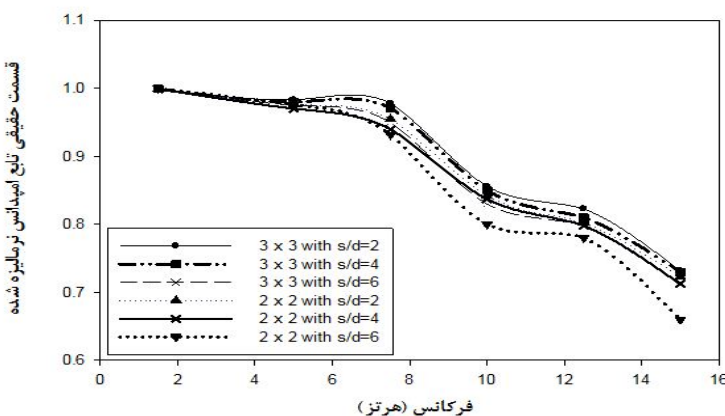
$$K_0 = \left(\frac{P_0}{U_0} \right) e^{i\theta} \quad (13)$$

که در آن f فرکانس ارتعاش به هرتز می‌باشد. با جداسازی سختی دینامیکی داده شده به وسیله‌ی معادله بالا به قسمت‌های حقیقی و مجازی، ثابت فنر (شامل اثر اینرسی) و ثابت میرایی می‌توانند به دست آیند. شکل‌های (۶) و (۵) تغییرات قسمت حقیقی تابع امپدانس را با فرکانس ارتعاش در گروههای شمع متفاوت به ترتیب مربوط به مطالعه‌ی اول و مطالعه‌ی دوم نشان می‌دهند. شکل‌های (۸) و (۷) نیز گویای تغییرات قسمت مجازی این توابع با فرکانس به ترتیب

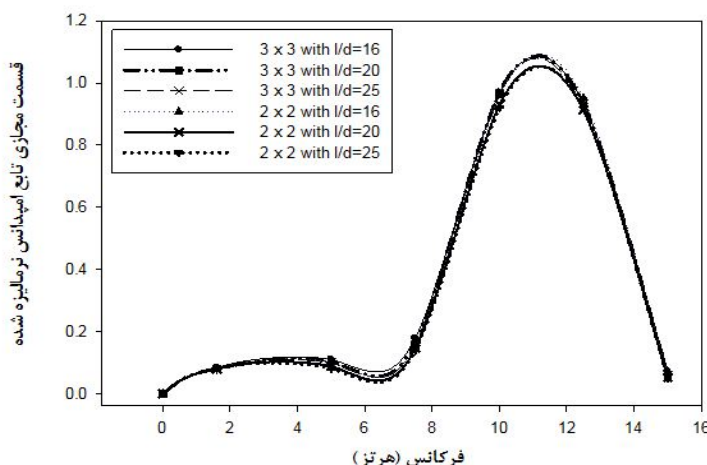
کمتر تفاوت زیادی را در مورد قسمت مجازی تابع امپدانس با سیستم های شمع - خاک سخت تر نشان نمی دهد.



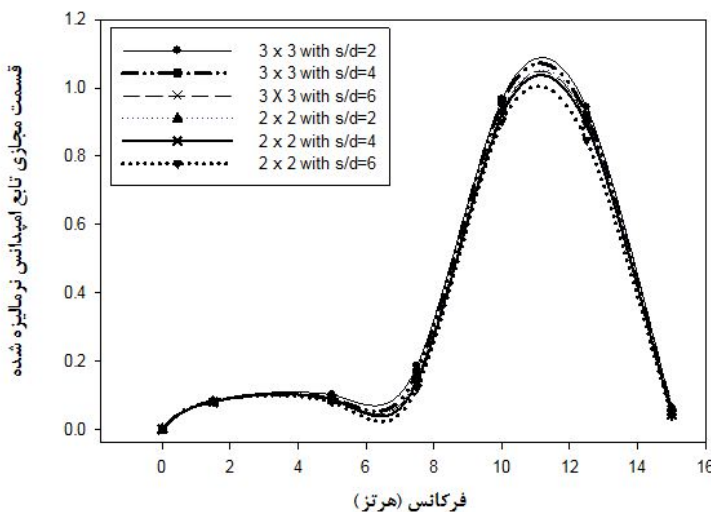
شکل ۵ تغییرات قسمت حقیقی تابع امپدانس برای گروه های شمع 2×2 و 3×3 با فرکانس ارتعاش با توجه به نسبت های طول به قطر متفاوت شمع ها



شکل ۶ تغییرات قسمت حقیقی تابع امپدانس برای گروه های شمع 2×2 و 3×3 با فرکانس ارتعاش و مقایسه مقادیر آنها با توجه به نسبت های فاصله به قطر متفاوت



شکل ۷ تغییرات قسمت مجازی تابع امپدانس برای گروه های شمع 2×2 و 3×3 با فرکانس ارتعاش با توجه به نسبت های طول به قطر متفاوت شمع ها



شکل ۸ تغییرات قسمت مجازی تابع امپدانس برای گروه‌های شمع 2×2 و 3×3 با فرکانس ارتعاش با توجه به نسبت‌های فاصله به قطر متفاوت

با خاک اطراف می‌باشد و بنابراین قسمت بیشتری از انرژی موج لرزه‌ای از طریق تماس بین بدنه‌ی شمع و خاک منتقل و میرا می‌گردد.

نتیجه‌گیری

در این مطالعه اثر پارامترهای نسبت طول شمع‌ها به قطر آن‌ها و اثر نسبت فاصله به قطر شمع‌ها در گروه‌های شمع چهارتایی (2×2) و نه تایی (3×3) بر اندرکنش خاک-شمع-سازه (اندرکنش‌های سینماتیک و وابسته به اینرسی با مشاهده‌ی تغییرات توابع انتقال و امپدانس) مورد بررسی قرار گرفت. این بررسی در مطالعه‌ی اول برای سه نسبت متفاوت طول به قطر و در مطالعه‌ی دوم برای سه نسبت متفاوت فاصله به قطر در گروه شمع در فضای فرکانسی به صورت تحلیل‌های سه‌بعدی با استفاده از نرم‌افزار ABAQUS انجام گرفت و نتایج زیر به دست آمد:

- با افزایش نسبت طول به قطر شمع‌ها در گروه‌های شمع متفاوت، مقدار توابع انتقال نیز افزایش پیدا می‌کند. دلیل این مسئله می‌تواند کاهش سختی سیستم و بنابراین افزایش تغییرمکان قابل مشاهده در سر شمع‌ها باشد. با افزایش نسبت فاصله به

دلیل این مسئله می‌تواند این باشد که در سیستم‌های نرم‌تر، افزایش طول شمع‌ها منجر به ایجاد سطح تماس بیشتر با خاک اطراف می‌گردد و بنابراین اگرچه اثر افزایش طول شمع‌ها کاهش سختی در سیستم و در نتیجه کاهش میرایی به دلیل افزایش جدایش بین شمع و خاک است، اما افزایش سطح تماس خاک و شمع اثر معکوس بر کاهش میرایی و تفاوت در میزان قسمت مجازی تابع امپدانس در گروه‌های شمع با سختی متفاوت را محدود نموده است. شکل (۸) نیز همانند موارد مربوط به مطالعه‌ی اول به میرایی کمتر سیستم‌های دارای سختی پایین‌تر به دلیل ارتعاش هماهنگ بیشتر همراه با خاک اطراف و نیز اثر جدایش بین شمع و خاک بر مقدار میرایی اشاره دارد. از آن‌جا که در سیستم‌های دارای سختی کم‌تر، هماهنگی حرکت با خاک اطراف بیشتر می‌باشد، از میزان میرایی نسبت به سیستم‌های سخت‌تر کاسته می‌گردد. علاوه بر این، به دلیل وجود حرکت بیشتر در این سیستم‌ها اثر جدایش بین بدنه‌ی شمع و خاک مشهودتر می‌باشد و در نتیجه از میرایی تشبعی بین بدنه‌ی شمع و خاک کاسته می‌گردد. این در حالی است که سیستم‌های سخت‌تر دارای جدایش کم‌تری

خود را نشان می دهد. این مسئله در واقع بدان معنی است که افزایش این نسبت منجر به کاهش سختی سیستم می گردد. اثر این کاهش را در فرکانس های خاصی که وابسته به مشخصات سیستم مرکب متشکل از خاک و شمع و سازه می باشد، بیشتر می توان دید.

۴- اثر افزایش نسبت طول به قطر شمع ها به صورت کاهش قسمت مجازی در این گونه سیستم ها خود را نشان می دهد که گویای کاهش میرایی در سیستم است.

این مسئله می تواند به افزایش جدایش بین شمع و خاک در گروه های شمع دارای نسبت طول به قطر بیشتر و در واقع سختی کمتر مربوط باشد که منجر به کاهش میرایی تشبعی در سیستم می گردد. با این حال بایستی توجه داشت که با افزایش طول شمع ها، سطح تماس خاک و شمع نیز افزایش می یابد و بنابراین میرایی تشبعی در سیستم که وابسته به سطح تماس دو جسم می باشد، افزایش می یابد. برآیند این دو اثر منجر به تفاوت اندک مقدار مجازی تابع امپدانس در سیستم های خاک- شمع متفاوت می گردد. با افزایش نسبت فاصله به قطر شمع ها قسمت مجازی توابع امپدانس نسبت به مقادیر مربوط به حالت های دارای فواصل کمتر شمع ها دچار کاهش می شوند. این مسئله نیز همانند مطالعه اول به دلیل اثر این تغییر بر سختی سیستم (کاهش آن) می باشد که منجر به تغییر مکان های بیشتر گروه شمع به خصوص در سرشع مع می گردد. متعاقب آن، جدایش بیشتر بین شمع و خاک در سیستم های نرم تر و در واقع تماس کمتر بدنه شمع و خاک منجر به کاهش میرایی تشبعی در سیستم می گردد که به صورت کاهش قسمت مجازی تابع امپدانس خود را نشان می دهد.

قطر شمع ها می توان مشاهده نمود که مقدار توابع انتقال نیز متناظر با این تغییر افزایش می یابند. این مسئله می تواند به کاهش انسجام سیستم گروه شمع در نتیجه افزایش فاصله ای بین شمع ها و در واقع کاهش راندمان مربوط به عملکرد گروهی آنها نسبت داده شود. به عبارت دیگر، سیستم به صورت غیر منسجم و با مقاومت خمی کمتر متجه از عمل کرد ناهمانگ شمع ها در گروه شمع در برابر بار وارد مقاومت نموده و نسبت تغییر مکان های سرشع مع به میدان آزاد افزایش می یابند. کاهش یکپارچگی مقاومتی سیستم در برابر نیروهای جانبی و تغییر مکان های بیشتر در سرشع، افزایش توابع انتقال را به دنبال دارد. این مسئله مانند آن است که سیستم سختی خمی کمتری را نسبت به حالت گروه شمع مشابه با راندمان بالاتر دارد. علاوه بر این می توان مشاهده نمود که افزایش تعداد شمع ها در گروه باعث کاهش تغییر مکان سرشع و در نتیجه کاهش توابع انتقال می گردد.

۲- افزایش مقدار فرکانس ارتعاش در گروه های شمع دارای سختی پایین تر منجر به نزدیکی بیشتر مقادیر توابع انتقال در این گروه شمع ها به توابع انتقال مربوط به گروه شمع های سخت تر می گردد. این مسئله می تواند به دلیل ارتعاش بالاتر در این فرکانس ها و تقارن با فرکانس طبیعی در سیستم های سخت باشد.

۳- افزایش نسبت طول به قطر شمع ها منجر به کاهش قسمت حقیقی تابع امپدانس گردید که بیانگر کاهش سختی سیستم خاک- شمع است. در بررسی اندرکنش وابسته به اینرسی در مطالعه دوم نیز اثر افزایش نسبت فاصله به قطر شمع ها به صورت کاهش قسمت حقیقی توابع امپدانس

مراجع

1. Balendra, S., "Numerical Modeling of Dynamic Soil-Pile-Structure Interaction", M.Sc. Thesis, Washington State University, (2005).
2. Goodson, M. W. and Anderson, J. B., "Soil-Structure Interaction-a Case Study", *Proceedings of the 2005 Structures Congress and the 2005 Forensic Engineering Symposium*, New York, (2005)
3. Nogami, T. and Konagai, K., "Time domain axial response of dynamically loaded single piles", *Journal of Engineering Mechanics*, ASCE, 112 (11), pp. 1241-1252, (1986).
4. Nogami, T. and Konagai, K., "Time domain flexural response of dynamically loaded single piles", *Journal of Engineering Mechanics*, ASCE, 114 (9), pp. 1512-1525, (1988).
5. El Naggar, M. H. and Novak, M., "Nonlinear lateral interaction in pile dynamics", *Soil Dynamics and Earthquake Engineering*, 14, pp. 141-157, (1995).
6. El Naggar, M. H. and Novak, M., "Nonlinear analysis for dynamic lateral pile response", *Soil Dynamics and Earthquake Engineering*, 15, pp. 233-244, (1996).
7. Wu, G. and Finn, W. D. L., "Dynamic nonlinear analysis of pile foundations using finite element method in the time domain", *Canadian Geotechnical Journal*, 34, pp. 44-52, (1997).
8. Bentley, K. J. and El Naggar, M. H., "Numerical analysis of kinematic response of single piles", *Canadian Geotechnical Journal*, 37, pp. 1368-1382, (2000).
9. Penzien, J., "Soil-Pile Foundation Interaction", Earthquake Engineering, Chapter 14, Prentice- Hall, pp. 349-381, (1970).
10. Cai, Y. X., Gould, P. L. and Desai, C. S., "Nonlinear analysis of 3D seismic interaction of soil-pile-structure system and application", *Engineering Structures*, 22 (2), pp. 191-199, (2000).
11. Maheshwari, B. K., Truman, K. Z., Gould, P. L. and El-Naggar, M. H., "Three dimensional nonlinear dynamic behavior of pile groups using finite element method in the time domain", *Canadian Geotechnical Journal*, 41, pp. 118-133, (2003).
12. Poulos, H. G., "Analysis of the Settlement of Pile groups", *Géotechnique*, 18 (4), pp. 449-471, (1968).
13. Poulos, H. G., "Behavior of Laterally Loaded piles, II: Pile Groups", *Journal of Soil Mechanics and Foundation Engineering*, ASCE, 97 (SM5), pp. 773-751, (1971).
14. Butterfield, R. and Banerjee, P. K., "The Elastic Analysis of Compressible Piles and Pile Groups", *Géotechnique*, 21, pp. 43-60, (1971).
15. Kausel, E. and Peek, R., "Boundary integral method for Stratified Soils", Res. Re, R82-50, MIT, Cambridge, MA, (1982).
16. Kaynia, A. M. and Kausel, E., "Dynamic behavior of pile groups", *Proc. of the 2nd int. conference on numerical methods in offshore piling*, Texas University, Austin, pp. 509-532, (1982).

17. Sen, R., Davies, T. G. and Banerjee, P. K., "Dynamic Analysis of Piles and Pile Groups Embedded in Homogeneous Soils", *Earthquake Engineering and Structural Dynamics*, 13, pp. 53-65, (1985).
18. Ahmad, S. and Mamoon, S. M., "Seismic Response of Floating Piles to Obliquely Incident Waves", *Proc. of the 2nd int. conference on recent advances in geotechnical earthquake engineering and soil dynamics*, St. Louis, MO., University of Missouri-Rolla Publication, pp. 805-814, (1991).
19. Novak, M. and Mitwally, H., "Transmitting boundary for axisymmetrical dilation problems", *Journal of Engineering Mechanics*, ASCE, 114 (1), pp. 181-187, (1988).

به کارگیری دینامیک سیالات محاسباتی در مدل سازی سلول های جریان ثانویه در کanal ذوزنقه ای*

مهدی اژدری مقدم^(۱)مهنا تاج نساپی^(۲)محمد گیوه چی^(۳)

چکیده جریان عبوری از کانال‌ها دارای سه مؤلفه سرعت، یک مؤلفه در جهت جریان و دو مؤلفه در جهت عرضی کانال است. در اثر ناهمگنی نوسانات سرعت، یک سری گردابه‌های چرخشی در مقطع کانال ایجاد می‌گردد که سلول‌های جریان ثانویه نامیده می‌شوند. این سلول‌ها سبب ایجاد تنفس برپیشی عرضی در جداره‌های کانال می‌شوند و در نتیجه بحث فرسایش و آبشستگی جداره‌های کانال را مطرح می‌کنند. ناهمگنی آشفتگی به علت شرایط مرزی بستر، دیواره‌ی جانبی و سطح آزاد، نسبت ابعادی کانال و هندسه‌ی کانال به وجود می‌آید. مکانیزم ایجاد جریان‌های ثانویه را می‌توان به کمک معادله‌ی چرخش طولی بیان نمود. در این تحقیق با استفاده از دینامیک سیالات محاسباتی (CFD) و نرم‌افزار ANSYS CFX جریان در کانال‌های ذوزنقه‌ای مدل‌سازی خواهد شد و علاوه بر بررسی عملکرد CFD در مدل‌سازی سلول‌های جریان ثانویه، توزیع سرعت عمق میانگین و تنفس برپیشی مرزی در کانال مورد بررسی قرار خواهد گرفت. در این راستا برای ارزیابی مدل ساخته شده از مدل آزمایشگاهی تومیناگا و همکاران و مدل تحلیلی شینو و نایت بهره گرفته شده است. با صحت‌سنجی مدل عددی ساخته شده براساس نتایج آزمایشگاهی توافق خوبی مشاهده گردید. نتایج حاکی از عملکرد بهتر مدل آشفتگی تنفس برپیشی رینولدز SSG در مدل‌سازی سلول‌های جریان بود. سطح همگرایی^(۴) ۱۰ به دلیل پایداری نتایج در آن به عنوان سطح همگرایی بهینه انتخاب شد.

واژه‌های کلیدی کانال ذوزنقه‌ای، سلول‌های جریان ثانویه، دینامیک سیالات محاسباتی (CFD)، سرعت عمق میانگین، توزیع تنفس برپیشی - مرزی.

Application of Computational Fluid Dynamics for Modeling of Secondary Flow cells in Trapezoidal Channel

M. Azhdary Moghaddam

M.Tajnesaie

M.Givehchi

Abstract Channel flows have three components of velocity, 1 component in flow direction and 2 components in spanwise of Channel. Because of heterogeneity of velocity undulations, in the channel section the vortices are formed that are nominated "Secondary Current Cells". These cells cause the lateral shear stress in the channel walls and introduce the erosion and scour of the channel walls. Heterogeneity of the turbulence is caused due to boundary conditions of the bed, side wall and free surface, the aspect ratio and the geometry of the channel. The mechanism of secondary currents can be expressed by longitudinal vorticity equation. In this research, the flow in trapezoidal channels has been modeled using the "Computational Fluid Dynamics" (CFD) with "ANSYS CFX" soft ware, and additional to investigation of sufficiency of CFD in modeling of secondary flow cells, depth averaged velocity and boundary shear stress distributions are perused. For this purpose, the experimental model of Tominaga, and analytical model of Shiono and knight has been used to verify the numerical results. The numerical results are in agreement with the experimental and analytical models.

Keywords Trapezoidal Channels, Secondary Current Cells, Computational Fluid Dynamics (CFD), Depth Averaged Velocity, Boundary Shear Stress Distribution.

* تاریخ دریافت مقاله ۸۹/۸/۲۵ و تاریخ پذیرش آن ۹۱/۱۱/۱ می‌باشد.

(۱) نویسنده مسؤول، دانشیار، دانشگاه سیستان و بلوچستان، دانشکده مهندسی، گروه مهندسی عمران.

(۲) عضو هیات علمی دانشگاه آزاد اسلامی واحد بیجار، بیجار، ایران

(۳) استادیار، دانشگاه سیستان و بلوچستان، دانشکده مهندسی، گروه مهندسی عمران.

ثانویه در کanal‌های مستقیم با مقطع ذوزنقه‌ای پرداخته شده است.

مانند سایر پدیده‌های فیزیکی، برای بررسی سلول‌های جریان ثانویه نیز می‌توان از هرسه نوع دینامیک سیالات تجربی، تئوری و محاسباتی بهره جست. اطلاعات دقیق در مورد یک فرآیند فیزیکی غالباً توسط اندازه‌گیری عملی به دست می‌آید. یک پیش‌گویی تئوری حداکثر استفاده را از نتایج مدل ریاضی خواهد کرد و در مقایسه با آن نتایج تجربی را مورد استفاده کمتری قرار می‌دهد. در این زمینه فعالیت‌های گسترهای در قالب مطالعات آزمایشگاهی و به‌ویژه تحلیلی صورت گرفته است. پیچیدگی معادلات حاکم بر مسئله، تأثیر متقابل فیزیکی مختلف، گذرا بودن اغلب مسائل مهندسی، بالا بودن هزینه‌های مربوط به تجهیزات آزمایشگاهی و محدودیت استفاده از دستگاه‌های اندازه‌گیری در بسیاری از کاربردهای عملی، از جمله دلایلی هستند که استفاده از روش‌های تحلیلی و آزمایشگاهی را در مقایسه با روش‌های عددی محدود می‌کند [۸].

در این مقاله به کمک دینامیک سیالات محاسباتی ANSYS (CFD) و با استفاده از نرم‌افزار محاسباتی CFX نسخه ۱۲.۰ شکل‌گیری سلول‌های جریان ثانویه در کanal‌های ذوزنقه‌ای مورد بررسی قرار گرفته و برای ارزیابی مدل ساخته شده در محیط نرم‌افزار از مدل آزمایشگاهی تومناگا و همکاران [۴] کمک گرفته شده است.

سلول‌های جریان ثانویه

جریان‌های ثانویه جریان‌هایی هستند که در صفحه مقطع جریان و یا حول محوری عمود بر صفحه مقطع جریان به وجود می‌آیند. این گونه جریان‌ها در انحناها به جریان‌های ثانویه قوی موسوم می‌باشند و لی در کanal‌های بدون انحنا در پلان نیز، بهجهت تأثیر

مقدمه

با توجه به اهمیت کanal‌ها در بحث انتقال آب و وابستگی اعتبار سیستم‌های مدیریت آبی به میزان توجه آن‌ها به انتخاب شرایط کanal‌های انتقال آب، بررسی شرایط جریان در آن‌ها از اهمیت ویژه‌ای برخوردار است، به گونه‌ای که کاهش ظرفیت انتقال آب به کاهش منابع آب قابل دسترس و در نتیجه افت قابل توجه منابع اقتصادی منجر می‌شود. از مهم‌ترین موضوعات بررسی جریان در کanal‌ها، می‌توان به اثر مؤلفه‌های عرضی سرعت روی جریان اشاره نمود، که بارزترین این اثرات ایجاد سلول‌های جریان ثانویه است. در حال حاضر روش‌هایی که برای محاسبه و طراحی کanal‌ها وجود دارد اثر جریان‌های ثانویه و در نتیجه توزیع نیروهای هیدرودینامیکی موجود روی پیرامون مرطوب را نادیده می‌گیرند و این مسئله یکی از مهم‌ترین دلایل تغییر شکل مقطع عبوری، کاهش قابلیت اعتماد عمل کرد و ظرفیت کanal‌ها است.

در این زمینه مطالعات متعددی به صورت آزمایشگاهی و عددی صورت پذیرفته است که در این میان به صورت نمونه می‌توان به مواردی اشاره نمود، از جمله: بررسی توزیع تنش برشی مرزی در کanal‌های منشوری و داکتها به صورت تجربی توسط نایت و دمتربیو [۱]، نایت و همکاران [۲]، لای و نایت، رودس و نایت [۳] و یانگ و لیم [۴]، تومناگا و همکاران [۵]، جابرزاده و همکاران [۶]، ابداع روش شینو و نایت (Shiono and Knight Method) SKM توزیع‌های جانبی سرعت و تنش برشی عمق میانگین برای جریان در کanal‌های منشوری مستقیم، کاربرد روش SKM برای کanal‌های مختلف توسط نایت و همکاران [۷]، خداشناس و همکاران [۸]. برای جزئیات بیشتر از منبع [۱] می‌توان بهره گرفت. از آنجایی که کanal‌های با مقطع ذوزنقه‌ای معمول‌ترین شکل مقطع برای انتقال آب به شمار می‌روند، در این مقاله به بررسی سلول‌های جریان

چرخش طولی توضیح داده می‌شود. معادله‌ی چرخش طولی در جریان آشفته کاملاً توسعه یافته به صورت زیر داده می‌شود [4]:

$$\begin{aligned} V \frac{\partial \xi}{\partial y} + W \frac{\partial \xi}{\partial z} &= \frac{\partial^2}{\partial y \partial z} (\bar{v}^2 - \bar{w}^2) + \\ &\left(\frac{\partial^2}{\partial z^2} - \frac{\partial^2}{\partial y^2} \right) \bar{vw} + 9 \left(\frac{\partial^2 \xi}{\partial y^2} + \frac{\partial^2 \xi}{\partial z^2} \right) \end{aligned} \quad (1)$$

در جایی که

$$\xi = \frac{\partial W}{\partial y} - \frac{\partial V}{\partial z} \quad (2)$$

که در آن W و V به ترتیب مؤلفه‌های سرعت در عرض کanal (z) و عمود بر بستر کanal (y) و یا به عبارتی مؤلفه‌های سرعت جریان ثانویه هستند و به کمکتابع پتانسیل ψ به صورت زیر بیان می‌شوند:

$$W = \frac{\partial \psi}{\partial z}, \quad V = \frac{\partial \psi}{\partial y} \quad (3)$$

که در آن ψ ویسکوزیته‌ی سینماتیکی سیال، \bar{vw} -تنش برشی رینولدز، \bar{v}^2 و \bar{w}^2 تنش‌های عمودی رینولدز می‌باشند. توزیع تفاضل تنش‌های عمودی ($\bar{v}^2 - \bar{w}^2$) نقش اساسی و مهمی را در ساختار جریان‌های ثانویه بازی می‌کند، به گونه‌ای که تفاوت بین الگوی جریان‌های ثانویه در کanal‌های روباز و بسته به کمک توزیع تفاضل تنش‌های عمودی ($\bar{v}^2 - \bar{w}^2$) توضیح داده می‌شود. در شکل (1) توزیع این تفاضل در سه نوع کanal نمایش داده شده است. جرارد نیز این توزیع را تعیین کننده‌ی ساختار جریان‌های ثانویه می‌داند [4].

زبری جدار و نامنظمی مقطع، جریان‌های ثانویه ضعیف ایجاد می‌گردند [۹]. به طورکلی می‌توان جریانات چرخشی را به سه نوع اصلی چرخش حول محور عمقی، محور عرضی و محور طولی تقسیم‌بندی کرد [۵]. جریان‌های ثانویه نتیجه‌ای از ناهمگنی آشفتگی هستند که به دلیل شرایط مرزی بستر، دیواره‌ی جانبی و سطح آزاد، نسبت ابعادی کanal و هندسه‌ی کanal ایجاد می‌شوند. این نوع جریان‌ها نسبت به هندسه‌ی کanal بسیار حساس هستند. تومیناگا و همکاران، بررسی جریان‌های ثانویه در مهندسی هیدرولیک در جریان کanal‌های روباز را به دلیل اثر این جریان‌ها روی میدان جریان میانگین اصلی، قانون اصطکاک، تشکیل اشکال سه‌بعدی بستر از قبیل نوارهای شنبی و انتقال رسوب سه‌بعدی با اهمیت می‌دانند [4].

مکانیسم تولید جریان‌های ثانویه

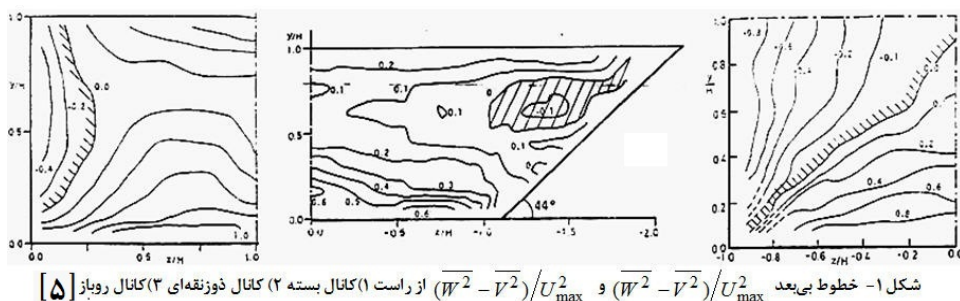
علت ایجاد جریان‌های عرضی در جریان طولی یکنواخت، ناهمسانی تنش‌های رینولدز و به‌طور اساسی مؤلفه‌های عمودی آن است. میدان سرعت میانگین طولی به‌وسیله‌ی تنش‌های برشی آشفتگی تشکیل می‌شود، اما جریان‌های عرضی اثر قابل ملاحظه‌ای روی آن دارند [10].

پرانتل دو مکانیسم اصلی به وجود آورند که جریان‌های چرخشی در جهت جریان را به‌شكل زیر بیان کرد [11]:

۱- انحراف تنش‌های برشی اصلی به‌وسیله‌ی یک گرادیان فشار عرضی و یا نیروی جسمی (مانند کanal‌های منحنی شکل)

۲- ناهمسانی و نوسانات آشفتگی در صفحه‌ی عمود بر محور چرخش.

مکانیسم تولید جریان‌های ثانویه‌ی القا شده توسط آشفتگی در جریان کanal مستقیم، به کمک معادله‌ی



پدیده‌های همراه نظیر واکنش‌های شیمیایی، براساس شبیه‌سازی کامپیوتراست [۸ و ۱۳]. پیچیدگی معادلات حاکم بر مسئله‌ی تأثیر متقابل فیزیکی مختلف، گذرا بودن اغلب مسائل مهندسی، بالا بودن هزینه‌های مربوط به تجهیزات آزمایشگاهی و محدودیت استفاده از دستگاه‌های اندازه‌گیری در بسیاری از کاربردهای عملی، از جمله دلایلی هستند که استفاده از روش‌های تحلیلی و آزمایشگاهی را در مقایسه با روش‌های عددی محدود می‌کند [۸].

در نهایت، یک برنامه‌ی CFD خوب شامل تعادل بین حل دقیق و پایداری جواب می‌باشد. بررسی اعتبار CFD، نیازمند اطلاعات بالا در جزئیات مربوط به شرایط مرزی مسئله و به دست آوردن حجم بالایی از نتایج است. برای بررسی اعتبار از یک راه معنی‌دار، ضروری است که داده‌های تجربی در یک میدان تشابه به دست آیند [۱۳].

مدل‌سازی عددی سلوول‌های جریان ثانویه

اندازه‌گیری مستقیم جریان‌های ثانویه در کانال‌های روباز، با توجه به این نکته که سرعت جریان‌های ثانویه در صد کمی از سرعت طولی جریان است، کار دشواری است [۴] و نیاز به تجهیزات آزمایشگاهی دقیق و دقت بالای کاربر دارد. اگرچه محققان تلاش‌های بسیاری برای شبیه‌سازی تنش برشی مرزی بدون مراجعه به CFD داشته‌اند، آن‌ها خیلی موفق نبوده‌اند [۱۴]. برای

اثرات سلوول‌های جریان ثانویه روی جریان اصلی

سرعت ماکریم در هر مقطع قائم، در نزدیکی سطح آب و در فاصله‌ی ۰.۰۵ تا ۰.۲۵ عمق جریان از سطح آزاد اتفاق می‌افتد. علت اصلی این که سرعت ماکریم در نزدیکی سطح آزاد پیش می‌آید بیش از آن که تحت تأثیر تنش برشی ناشی از مقاومت هوا باشد، تحت تأثیر جریان‌های ثانویه ضعیف می‌باشد [۹].

جریان‌های عرضی (ثانویه) به صورت قابل توجهی فرآیندهای انتقال اختلاط و گرما و جرم را افزایش می‌دهند، نیروهای هیدرودینامیکی را روی پیرامون مرطوب کانال بازنمایی می‌کنند، نواحی با کسر رسوبات ایجاد می‌کنند و به موجب آن وقوع انبساط محیط با پایداری‌های متفاوت را توسعه می‌دهند [۱۰]. وجود جریان‌های چرخشی در مسیر یک رودخانه موجب ایجاد انواع مختلف رسوب‌گذاری در طول رودخانه می‌شود [۵]. جریان‌های ثانویه، ساختارهای سه‌بعدی ایجاد جریان میانگین اصلی را تحت تأثیر قرار می‌دهد [۴]. نتایج بررسی‌ها نشان دادند که سلوول‌های جریان ثانویه روی توزیع تنش برشی مرزی تأثیر می‌گذارند [۱۲].

دینامیک سیالات محاسباتی

دینامیک سیالات محاسباتی عبارت از تحلیل سیستم‌های شامل جریان سیال، انتقال حرارت و

چندفازی، مسائل احتراق و ... را دارا می‌باشد [12]. در نرمافزار CFX ANSYS، چهار سطح همگرایی مقادیر بزرگ‌تر از 10^{-4} (نظیر 10^{-3})، 10^{-4} ، 10^{-5} و مقادیر کم‌تر از 10^{-6} تعریف شده است.

در این نرمافزار چهارده مدل برای مدل‌سازی آشفتگی وجود دارد شامل مدل $\epsilon-k$ ، مدل انتقال تنش برشی (Shear Stress Transport) SST یا SSG (Reynolds Stress) SSG روش $k-\omega$ و ... می‌باشد. نرمافزار CFX ANSYS روش عددی حجم محدود را مورد استفاده قرار داده و از الگوریتم Coupled برای گسترش‌سازی معادلات بهره می‌گیرد.

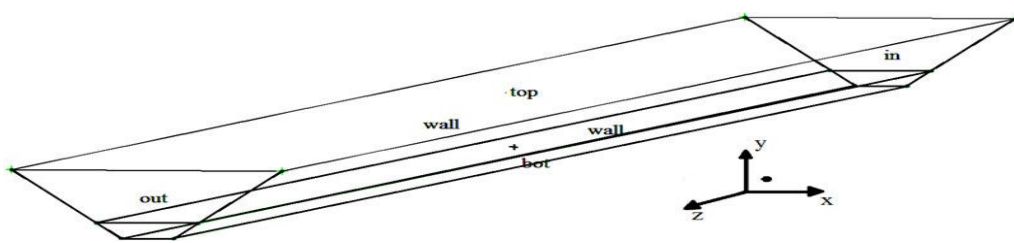
مدل‌سازی هندسی کانال. برای مدل‌سازی هندسه‌ی کانال موردنظر، دو نرمافزار Auto Cad و ICEM CFD مورد ارزیابی قرار گرفته و از بین این دو نرمافزار گزینه‌ی برتر نرمافزار ICEM CFD، به دلیل توانایی آن هم در رسم هندسه و هم در شبکه‌بندی، تشخیص داده شد. رسم هندسه‌ی کانال در این نرمافزار در چهار مرحله (مختصات‌دهی نقاط، رسم خطوط، تخصیص سطوح و ایجاد حجم) صورت گرفت. مشخصات کانال مربوط به آزمایش T03 (تومیناگا و همکاران) در جدول (۱) ارائه شده [4] و در شکل (۲) هندسه‌ی ICEM CFD کانال ساخته شده در محیط نرمافزار نشان داده شده است. پس از این مرحله حجم ساخته شده به کمک همین نرمافزار شبکه‌بندی گردید.

محاسبه‌ی اثر جریان‌های عرضی روی فرآیندهای مختلف، نخست نیاز است که یک مدل ریاضی از میدان سرعت میانگین سه‌بعدی در شکل‌های مختلف مقطع عبوری جریان شامل مزهای ناهمنگ با توانایی مدل‌سازی فرآیندهای جریان در بازه‌ی گسترده‌ای از ناحیه‌ی تغییر محیط‌های کanal ایجاد کنیم. در مرحله‌ی دوم بررسی‌های آزمایشگاهی و تجربی در محل انجام شود مشخصه‌های اصلی توزیع خصوصیات آشفتگی سه‌بعدی معلوم شود و داده‌های تجربی برای مستند ساختن مدل‌های ریاضی ایجاد شده، به دست آید [10]. برای بهره‌گیری از CFD و مدل‌سازی عددی، نیاز به استفاده از نرمافزارهایی برای رسم هندسه، شبکه‌بندی، معرفی شرایط جریان، تحلیل جریان و مشاهده‌ی نتایج وجود دارد. برای رسیدن به این اهداف دو نرمافزار CFD ICEM CFX و ANSYS CFX انتخاب شده‌اند. در ادامه روند مدل‌سازی به ترتیب ارائه می‌شود.

آشنایی کلی با نرمافزار ANSYS CFX. نرمافزار ANSYS CFX، یک نرمافزار با هدف عمومی دینامیک سیالات محاسباتی است که یک حلگر پیشرفته را با قابلیت‌های پیش و پس‌پردازشگر قادر تمند ترکیب کرده‌است و توانایی مدل کردن مواردی از قبیل جریان‌های دائمی و غیردائمی، جریان‌های آرام و آشفته، جریان‌های مادون صوت و در حد صوت و مافوق صوت، نیروی شناوری، جریان‌های غیرنیوتی، انتقال مؤلفه‌های اسکالار فاقد عکس العمل، جریان‌های

جدول ۱ مشخصات هندسه‌ی کانال موردنظر

سرعت جریان ورودی (m/s)	ارتفاع آب (m)	زاویه‌ی دیواره جانبی (°)	ارتفاع کانال (m)	عرض کف کانال (m)	طول کانال (m)
۰/۳۷۳۳	۰/۰۹۰۵	۴۴	۰/۴	۰/۲	۱۲/۵



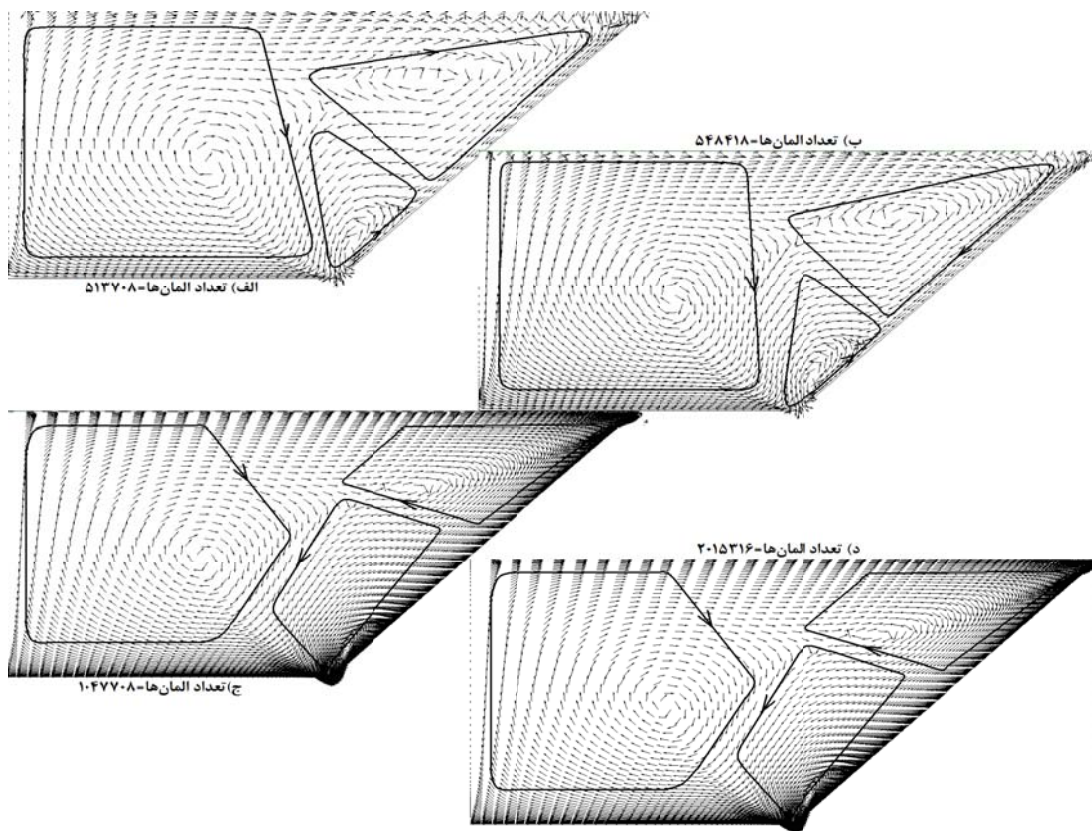
شکل ۲ هندسه‌ی کanal در محیط نرم‌افزار ICEM CFD

مورد نظر به شدت نسبت به شبکه‌بندی محدوده‌ی جریان، بهویژه قسمت سطح آب و دیواره‌های کanal حساس است و شبکه‌بندی نزدیک سطح آب در نتایج حاصل از تحلیل کاملاً مؤثر می‌باشد، به‌کمک قابلیت این نرم‌افزار در ایجاد این نوع شبکه، هندسه‌ی کanal شبکه‌بندی گردیده است.

در این راستا تعداد گره‌های موجود در جهات و قسمت‌های مختلف کanal متفاوت است و بعد از چندین مرحله حساسیت‌سنجی نتایج نسبت به شبکه‌بندی، شبکه‌ی مناسب انتخاب می‌گردد. این شبکه از نوع شش‌وجهی و در قسمت دیواره‌ها و بهخصوص سطح آزاد متراکم‌تر است که این مسئله از زیاد بودن تعداد گره‌ها در این نواحی نشأت می‌گیرد. تعداد گره‌ها و المان‌های موجود در کل حجم به ترتیب 1079100 و 1047708 می‌باشد. برخلاف محدوده‌ی عبور جریان آب، شبکه‌بندی در قسمت بالای سطح آب که شامل هوا است درشت‌تر می‌باشد و این مسئله به عدم دخالت آن در نتایج بازمی‌گردد. این عمل از یک طرف می‌تواند موجب پایین آمدن سرعت همگرایی و از طرف دیگر به دلیل کاهش تعداد المان‌ها موجب افزایش سرعت حل شود. در شکل (۳) نتایج مربوط به حساسیت‌سنجی مش در شکل گیری سلول‌های جریان ثانویه ارائه شده‌است.

مشبکه‌بندی محدوده‌ی جریان. دقت حل مسئله به تعداد سلول‌های موجود در شبکه بستگی دارد و اصولاً شبکه‌های غیریکنواخت، با تعداد سلول‌های مختلف در قسمت‌های مختلف بدنه بسته به موقعیت آن، در حل یک مسئله قابلیت بیش‌تری دارند. البته باید در نظر داشت که ایجاد چنین شبکه‌ای بستگی به عوامل مختلفی از جمله نوع مدل اغتشاشی، شکل ظاهری مدل مانند مقطع عرضی، نوع مسئله مورد بررسی و مواردی از این قبیل دارد. رفع خطاهای موجود در حل مسئله از طریق تغییر در شبکه و بهینه نمودن آن صورت می‌پذیرد و در اکثر موارد تغییر شبکه شامل ریزتر نمودن آن در قسمت‌های مورد نیاز است تا جایی که نتایج حاصل مستقل از ابعاد سلول‌های موجود در شبکه شوند و نتایج کلیدی تغییر نکنند. این امر به کمک سعی و خطا و تکرار حل در دفعات مکرر با شبکه‌بندی‌های متفاوت حاصل می‌شود.

در این مطالعه برای شبکه‌بندی محدوده‌ی جریان نیز از نرم‌افزار ICEM CFD بهره گرفته شده است. این نرم‌افزار قابلیت ایجاد دو نوع شبکه‌ی چهاروجهی (Tetrahedral) و شش‌وجهی (Hexahedral) را دارد است و این امکان را در اختیار کاربر قرار می‌دهد که در قسمت‌های مختلف تعداد گره‌ها و المان‌ها را متناسب با هندسه تنظیم نماید. از آنجایی که مسئله‌ی



شکل ۳ حسایت‌سنگی مش در شکل گیری سلول‌های جریان ثانویه و انتخاب شبکه‌بندی با تعداد ۱۰۴۷۷۰-۸ المان

شرایط اعمالی به جدارهای نیز جزو شرایط مرزی محسوب می‌شوند و لازمه‌ی حل معادلات می‌باشند. در زیر به شرایط مرزی اعمال شده برای مدل‌سازی عددی موضوع مورد نظر در نرم‌افزار ANSYS CFX پرداخته خواهد شد.

شرایط مرزی در ورودی کاتال (Inlet). با توجه به این‌که جریان در مدل مورد نظر زیربحرانی ($Fr=0.46<1$) است، لذا توجه به نکات یاد شده در بالا، محاسبه‌ی عمق جریان در ورودی به نرم‌افزار واگذار شده و از شرط مرزی مقدار مشخص برای سرعت (مؤلفه‌ی کارتزین سرعت $U=0$, $V=0$ و $W=0.3733\text{m/s}$) در این مقطع استفاده شده است. مقدار سرعت در این مقطع بر اساس محاسبات تجربی انجام شده توسط تومیناگا و همکاران [4]، $W = 0.3733 \text{ m/sec}$ (سرعت در طول کاتال)، در نظر گرفته شده است. این شرط مرزی در جریان‌های

مرزی. با توجه به آن‌که تمام سیستم‌های فیزیکی در یک فاصله‌ی معین دارای مرز می‌باشند، در محاسبات باید شرایط مشخصی در حدود یا مرزهای سیستم فیزیکی در نظر گرفته شوند. این شرایط، شرایط مرزی نامیده می‌شوند [۱۵]. اکثر شرایط مرزی در کانال‌های روبرو شبیه به شرایط مربوط در مجراهای بسته هستند. تنها شرط مرزی در سطح آزاد بین این دو دسته از جریان‌ها متفاوت است [۱۵].

از دیگر شرایط مرزی، شرایط مرزی مربوط به ورودی و خروجی است. در صورتی که جریان فوق بحرانی باشد، به هنگام اعمال شرایط مرزی باید عمق جریان در ورودی و خروجی مشخص باشد. اما اگر جریان زیر بحرانی باشد، باید عمق جریان در خروجی معین و از حل عددی عمق جریان در ورودی محاسبه شود و یا این‌که عمق جریان در ورودی معین و از حل عددی عمق جریان در خروجی محاسبه شود [۱۵].

فازها به کمک یک سطح مشترک مشخص از هم جدا می‌شوند. مثال‌هایی از جریان‌های با سطح آزاد شامل جریان کanal‌های روباز، جریان حول ship hulls مسائل خاکریزی مخازن و بسیاری از موارد دیگر است. جریان‌های با سطح آزاد با مدل‌های همگن باید در مواردی که امکان‌پذیر است استفاده شوند. جریان‌های با سطح آزاد با مدل غیرهمگن می‌توانند برای پذیرفتن جدایش دو فاز جریان استفاده شوند [16].

کاربرد جریان با سطح آزاد در CFX به طور اساسی مشابه حالت چندفازی (همگن یا غیرهمگن) با برخی گزینه‌های گسترش‌سازی ویژه برای حفظ تیزی سطح مشترک است. اینها شامل موارد زیر می‌باشند [16]:

- ۱- یک طرح متفاوت فشرده برای جابه‌جایی افقی کسرهای حجمی در معادلات کسر حجم.
- ۲- یک طرح انتقال فشرده برای معادلات کسر حجمی (اگر مسئله شامل انتقال است).

۳- رفتار ویژه ترم‌های گرادیان فشار و جاذبه برای اطمینان از این‌که جریان در سطح مشترک در رفتار خوبی باقی می‌ماند.

در این نرم‌افزار برای سطح آزاد جریان از شرط مرزی Opening استفاده می‌شود. نرم‌افزار ANSYS CFX شرط Opening را به دلیل وجود دو فاز آب و هوا و در سطح مشترک این دو نوع سیال در نظر می‌گیرد.

انتخاب مدل آشفتگی

یک مدل آشفتگی عبارتست از یک رویه‌ی محاسباتی برای بستن سیستم معادلات جریان متوسط، به گونه‌ای که کم و بیش بخش وسیعی از مسائل جریان را بتوان حل کرد. برای یک مدل آشفتگی در موارد کلی، برنامه‌ی CFD باید دارای کاربرد وسیع، دقیق، ساده و از نظر اقتصادی قابل اجرا باشد [12]. همان‌طور که اشاره شد، جریان‌های ثانویه به دلیل ناهمگنی آشفتگی ایجاد شده و در نهایت القا شده توسط آشفتگی هستند،

تراکم‌ناپذیر مورد استفاده قرار می‌گیرد. در جریان‌های تراکم‌پذیر استفاده از این شرط مرزی به نتیجه‌های غیرفیزیکی متنهی خواهد شد، زیرا این شرط ورودی اجازه می‌دهد که شرایط سکون به هر اندازه‌ای افزایش یابد [8].

شرایط مرزی در خروجی کanal (Outlet). در خروجی میدان جریان فرض می‌شود که تغییر کمیت‌ها (از جمله ارتفاع آب) در راستای جریان قابل اغماض است و خطوط جریان به صورت مستقیم و موازی یکدیگر هستند. بنابراین در این مقطع برای کلیه‌ی کمیت‌ها در راستای جریان گرادیان صفر در نظر گرفته می‌شود. پس از انتخاب شرط مرزی سرعت در ورودی و با توجه به زیربحranی بودن جریان، شرط مرزی که برای خروجی کanal در نظر گرفته شد، عمق جریان Static Pressure به این مقطع اعمال گردیده است. همان‌طور که قبل ذکر شد عمق آب در کanal برابر مقدار ثابت $y = 0.0905 \text{ m}$ می‌باشد.

شرط مرزی خروجی فشار احتیاج به بیان فشار (نسبی) استاتیک در مرز خروجی دارد. مقادیر فشار استاتیک معلوم، فقط وقتی به کار می‌رود که جریان زیرصوت باشد. [8].

شرط مرزی جداره‌های کanal (Wall). شرط مرزی دیوار برای محدود کردن نواحی سیال با جامد به کار می‌رود. در مسئله‌ی موردنظر، جداره‌ها شامل کف و دو دیواره‌ی کanal می‌باشد. در این جداره‌ها از اصل پذیرش (No Slip Wall) جدار بهره جسته شده و برای صحبت‌سنگی براساس مدل آزمایشگاهی موجود، مسطح (Smooth Wall) در نظر گرفته می‌شوند.

شرط مرزی سطح آزاد (Opening). جریان با سطح آزاد به یک حالت جریان چندفازی اطلاق می‌شود که

استفاده می‌شود. این مدل، همانند دو مدل دیگر RSM، برپایه‌ی معادلات انتقال برای همهٔ مؤلفه‌های تانسور تنش رینولذ و نرخ استهلاک قرار دارد. این مدل فرضیه‌ی ویسکوزیته‌ی ادی را استفاده نمی‌کند اما یک معادله برای تنش‌های رینولذ در سیال به کار می‌گیرد [16]. مدل SSG به شدت نسبت به شرایط شبکه‌بندی در نزدیکی دیواره حساس می‌باشد و برای شبیه‌سازی جریان‌های ثانویه مدل مناسبی است.

نتایج حاصل از مدل‌سازی عددی

در ادامه نتایج حاصل از مدل‌سازی عددی در محیط نرم‌افزار ارائه گردیده است و همان‌طور که در ابتداء اشاره شد برای ارزیابی مدل ساخته شده از نتایج مدل آزمایشگاهی تومیناگا و همکاران [4] بهره گرفته شده است.

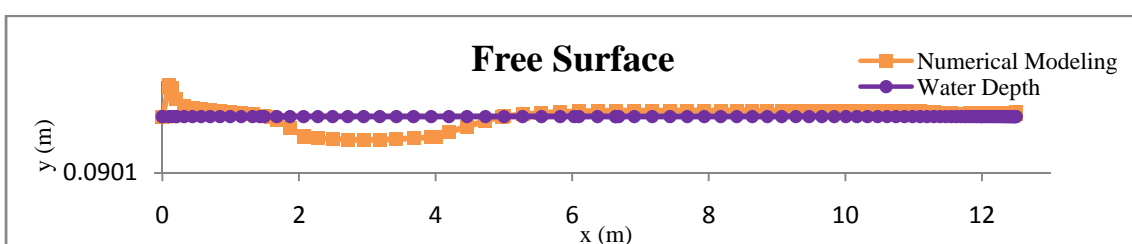
سطح آزاد. شکل (۴) وضعیت سطح آزاد را در قالب نمودار نمایش می‌دهد. همان‌طور که در این شکل ملاحظه می‌شود، در ابتدای کanal و نزدیک ورودی، سطح آب نسبت به مقدار واقعی آن نوسان دارد و با حرکت در طول کanal و رسیدن به طول توسعه یافته‌ی (تقریباً از فاصله‌ی $6/5$ متری از ورودی)، سطح آب به مقدار ثابت و صحیح آن نزدیک می‌شود و خطای محاسباتی که در ابتدای کanal وجود داشت، از بین می‌رود. لذا می‌توان الگوریتم به کار رفته در نرم‌افزار را برای محاسبه‌ی سطح آب مناسب دانست و به آن استناد نمود.

بنابراین انتخاب نوع مدل آشفتگی به طوری که بتواند در نمایش سلول‌های این جریان‌ها مؤثر باشد از مهم‌ترین مراحل مدل‌سازی عددی جریان‌های ثانویه در کanal‌ها است.

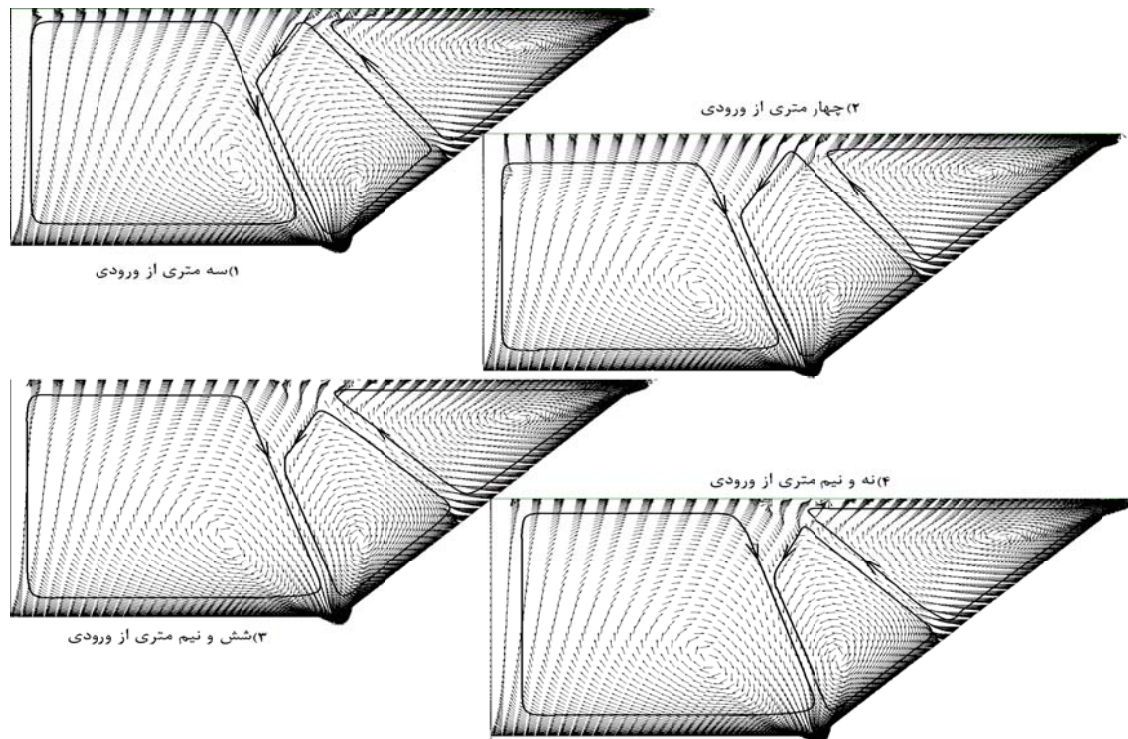
بنابراین پس از بررسی و ارزیابی چندین مدل آشفتگی شامل مدل‌های $k-\epsilon$ ، LRR و SST، SSG برای مدل‌سازی سلول‌های جریان ثانویه بهتر از سایر مدل‌ها عمل کرد و نتایج آن در صحت‌سنجی (Verify) مدل قابل قبول‌تر از سایر مدل‌ها تشخیص داده شد [۱]. از این‌رو در مدل‌سازی سلول‌های جریان در کanal مورد نظر از این مدل استفاده شده است. در ادامه به بررسی اجمالی این مدل آشفتگی خواهیم پرداخت.

مدل (SSG Reynolds Stress Model) SSG می‌شود. دقت این مدل برای جریان‌های پیچیده بسیار بالا است. همگرایی چرخه‌ی بیرونی در این مدل نسبت به مدل $k-\epsilon$ کنتر صورت می‌گیرد و علی‌رغم دقت بالای این مدل، همگرایی در آن بسیار آرام صورت می‌پذیرد [16].

این مدل توسط اسپیزیال، سارکار و گاتسکی [17] توسعه یافته‌است و از یک رابطه‌ی درجه دوم برای همبستگی فشار-کرتش، استفاده می‌کند. برخی از نوادران مدل‌های تنش رینولذ برای شبیه‌سازی لایه‌های مرزی، که از معادله‌ی مربوط به ترم ϵ نشأت می‌گیرد، سبب توسعه‌ی یک مدل تنش رینولذ شده است که در آن به جای معادلات مربوط به ترم ϵ از ترم

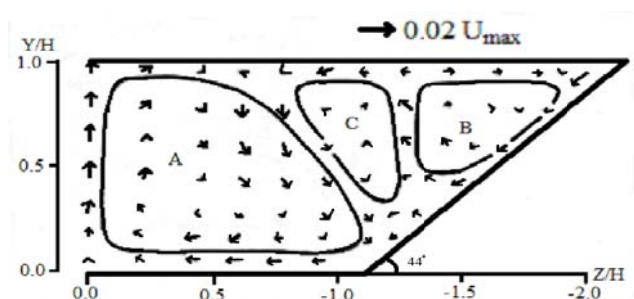


شکل ۴ نمودار سطح آزاد آب در کanal

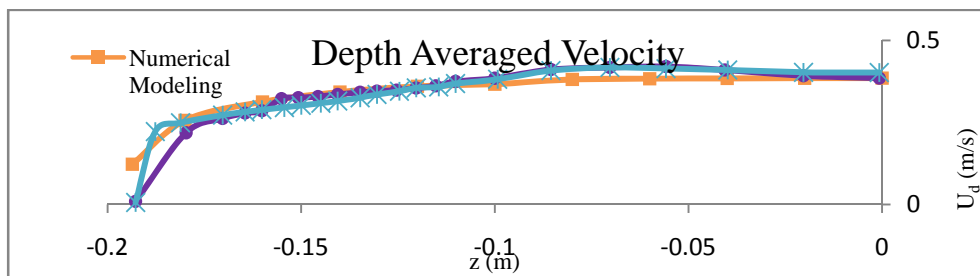


شکل ۵ روند شکل‌گیری سلول‌های جریان ثانویه در مدل عددی به ترتیب در

فاصله‌ی (۱) سه، (۲) چهار، (۳) شش و نیم و (۴) نه و نیم متری از ورودی کanal



شکل ۶ سلول‌های جریان ثانویه در آزمایش تومناگا و همکاران [4]



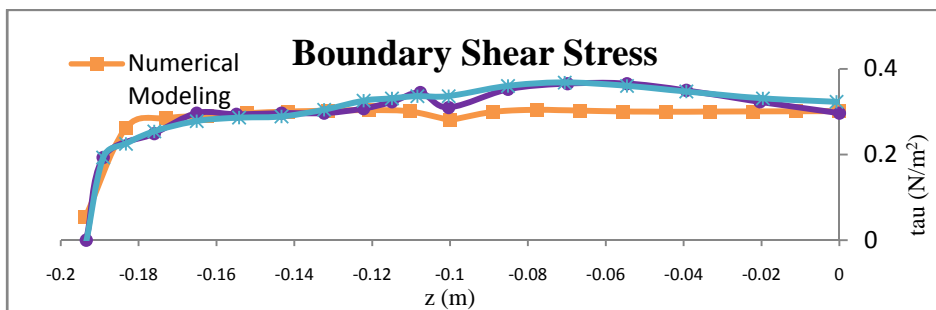
شکل ۷ مقایسه سرعت عمق میانگین بین نتایج مدل‌سازی عددی، آزمایشگاهی و تحلیلی

این پدیده کاملاً مشهود است. اما حرکت روبه گوشی این سلول‌ها در مدل عددی بیشتر از مدل آزمایشگاهی است. این موضوع را از یک طرف می‌توان به کم بودن تعداد نقاط در اندازه‌گیری آزمایشگاهی مربوط دانست (۱۰۰ نقطه‌ی اندازه‌گیری در نصف مقطع) و از طرفی به نقص نرم‌افزار و الگوریتم به کار رفته در آن برای محاسبه سلول‌های جریان، مربوط دانست. اگرچه، بحث درباره توانایی و عدم توانایی نرم‌افزار نیاز به تسلط کامل بر آن دارد، زیرا به عنوان مثال مدل اغتشاشی مورد استفاده ضرایبی دارد که هر یک از این ضرایب به نوبه‌ی خود تأثیر ویژه‌ای روی شرایط جریان دارند و کار روی این موارد خود بحث دیگری را می‌طلبد.

سرعت متوسط‌گیری شده‌ی عمقی. برای صحبت‌سنگی نتایج عددی مربوط به سرعت عمق متوسط از نتایج کار آزمایشگاهی تومنیاگا و همکاران و همچنین نتایج کار تحلیلی شینو و نایت (SKM) [6] استفاده شده است. همان‌طور که در شکل (۷) مشاهده می‌شود، نمودار سرعت عمق میانگین محاسبه شده براساس سرعت‌های عمقی به دست آمده به کمک نرم‌افزار تطابق بسیار خوبی با نتایج کار آن‌ها داشته و فقط در نزدیکی گوشی کanal ($-0.05 < z < -0.1$) مقداری خطأ در حدود ۵٪ وارد محاسبات شده است. به‌نظر می‌رسد این مقدار خطأ مربوط به حرکت سلول‌های جریان ثانویه به سمت گوشی‌ها می‌باشد که در مدل‌سازی عددی حرکت سلول‌ها به سمت گوشی بیشتر از مدل تجربی آن است.

سلول‌های جریان ثانویه. شکل‌گیری سلول‌های جریان ثانویه تقریباً از فاصله‌ی ۳ متری از ورودی کanal روبه تکامل می‌نهند و در فاصله‌ی ۴ متری از ورودی کanal شکل واضحی از این سلول‌ها مشاهده می‌شود شکل (۵). تا فاصله‌ی حدود $\frac{6}{5}$ متری از ورودی شکل این سلول‌ها متغیر است و ابعاد آن‌ها تغییر می‌کند و تقریباً از این فاصله به بعد شکل سلول‌ها ثابت می‌شود و مانند آنچه که در شکل (۵) نشان داده شده است، دیده می‌شوند. این مسئله را نیز می‌توان به توسعه‌یافتگی جریان پس از طی فاصله‌ی $\frac{6}{5}$ متر از ورودی مربوط دانست که مطابق با نتایج آزمایش‌های تومنیاگا و همکاران است (آن‌ها طول لازم برای توسعه‌یافتگی جریان را $\frac{6}{5}$ متر دانستند). شکل (۶) نتایج کار آن‌ها را نشان می‌دهد. همان‌طور که در این دو شکل دیده می‌شود، نحوه‌ی شکل‌گیری، جهت چرخش، اندازه و ابعاد، محل قرارگیری سلول‌ها و در نهایت حرکت به سمت گوشی آن‌ها مشابه یکدیگر است و مؤید صحیح بودن نتایج حاصل از این بررسی عددی است. ابعاد مربوط به دو سلول نزدیک دیواره‌ی مایل و محل قرارگیری آن‌ها در فاصله‌ی $\frac{6}{5}$ متری از ورودی کanal کاملاً بر نتایج آزمایشگاهی منطبق می‌شود و این مسئله را نیز می‌توان دلیلی بر صحت عملکرد الگوریتم به کار رفته در مدل‌سازی سلول‌ها دانست.

همان‌طور که قبل اشاره شد، حرکت سلول‌های جریان‌های ثانویه در کanal‌های ذوزنقه‌ای به سمت گوشی‌ها قابل توجه است و در نتایج مدل‌سازی عددی نیز، همان‌طور که در شکل (۵) نشان داده شده است،



شکل ۸ مقایسهٔ تنش برشی کف کanal بین نتایج مدل‌سازی عددی، آزمایشگاهی و تحلیلی

نتیجه‌گیری

در حالت کلی نتایج به دست آمده از مدل‌سازی عددی سلول‌های جریان در کanal را به صورت زیر می‌توان ارائه نمود:

روش عددی و الگوریتم مورد استفاده برای مدل‌سازی سلول‌های جریان ثانویه در این نرم‌افزار مناسب بوده است و تطابق بسیار خوبی بین نتایج مدل عددی و آزمایشگاهی در نمایش سلول‌های جریان وجود دارد. لذا در کل می‌توان دینامیک سیالات محاسباتی را توانمند در مدل‌سازی این سلول‌ها دانست.

۱- مواردی از قبیل تعداد المان‌ها، نوع مدل اغتشاشی، شرایط مرزی و ... در مدل‌سازی سلول‌های جریان بسیار مؤثر است.

۲- مدل اغتشاشی به کار گرفته شده (تنش رینولدز SSG) برای این مدل‌سازی مناسب می‌باشد.

۳- نمودار سرعت عمق متوسط تطابق بسیار خوبی با نتایج آزمایشگاهی و تحلیلی دارد.

۴- مقایسهٔ نتایج حاصل از محاسبهٔ عددی تنش برشی مرزی با نتایج آزمایشگاهی و تحلیلی حاکی از انطباق خوب نتایج به‌ویژه در ناحیهٔ دیواره‌ی جانبی است.

تنش برشی مرزی. تنش برشی یکی از مسائل اساسی در بررسی اثرات جریان روی جداره‌های کanal است و به دلیل مشکلاتی که در پی دارد، از جمله مسائلی است که بسیار مورد توجه قرار دارد. از این‌رو، در این مقاله یکی دیگر از مواردی که کارایی دینامیک سیالات محاسباتی و مدل‌سازی عددی به‌کمک آن مورد ارزیابی واقع شده است، تنش برشی است.

برای ارزیابی در این زمینه نیز از همان دو مدل آزمایشگاهی و تحلیلی استفاده شده است. در ادامه مقایسه‌ای بین نتایج حاصل از مدل‌سازی عددی و مدل آزمایشگاهی و مدل تحلیلی شینو و نایت [6] صورت گرفته و نتایج حاصل از مقایسه در شکل (۸) نشان داده شده است. مقایسهٔ صورت گرفته در این شکل، حاکی از انطباق نسبتاً خوب نتایج مدل عددی با مدل آزمایشگاهی و تحلیلی در ناحیهٔ کanal می‌باشد. خوب این نتایج در ناحیهٔ دیواره‌ی کanal می‌باشد. البته بیشترین اختلاف بین نتایج عددی و آزمایشگاهی مربوط به نواحی نزدیک گوشه‌ی کanal با حداقل خطای در حدود ۱۱٪ بوده است و این اختلاف نیز به همان عوامل توضیح داده شده در بخش قبل مربوط می‌گردد.

مراجع

۱. تاج نسایی، مهنا، «بررسی عددی سلول‌های جریان ثانویه، توزیع سرعت و تنش برشی در جریان کانال‌های ذوزنقه‌ای»، پایان-نامه‌ی کارشناسی ارشد مهندسی عمران-سازه‌های هیدرولیکی، دانشگاه سیستان و بلوچستان، زاهدان، ایران، (۱۳۸۹).
2. Knight. D. W., Yuen. K. W. H., Al-Hamid. A. A. I., Boundary shear stress distributions in open channel flow, In: K.Beven, P.Chatwin, j.Maillbank (eds), *Physical Mechanisms of Mixing and Transport in the Environment*, Wiley, New York, pp. 51-87, (1994).
3. Yang. S. Q., Lim. S. Y., Boundary Shear Stress Distribution in Trapezoidal Channels, *Journal of Hydraulic Researcher*, Vol. 43, NO1, pp 98-102, (2005).
4. Tominaga, A., Nezu, I., Ezaki, K. and Nakagava, H., "Three-dimensional turbulent structure in straight open channel flows", *Journal of Hydraulic Research*, Vol. 27, Issue 1, pp. 149-173, (1989).
5. جابرزاده، مجید، عطاری، جلال، مجددزاده، محمدرضا، ابوالقاسمی، منصور، «مطالعه‌ی آزمایشگاهی جریانات چرخشی افقی و نقش آن در محل تشکیل نهشته‌ی رسوبی در قوس»، چهارمین کنگره‌ی ملی مهندسی عمران، دانشگاه تهران، (اردیبهشت ۱۳۸۷).
6. Knight, D. W., Omran, M. and Tang, X., Modeling Depth-Averaged Velocity and Boundary shear in Trapezoidal Channels with Secondary Flow, *Journal of Hydraulic Engineering*, Vol. 133, No. 1, ©ASCE, (2007).
7. Khodashenas, S.R., Abderrezzak. K.E., Paquier, K., A Boundary shear stress in open channel flow: A comparison among six methods, *Journal of Hydraulic Research*, Vol. 46, Issue 5, pp. 598-609, (2008).
8. سلطانی، مجید، رحیمی اصل، روح ا..، دینامیک سیالات محاسباتی به کمک نرم‌افزار FLUENT، نشر طراح، چاپ چهارم، تهران، (۱۳۸۶).
9. حسینی، محمود، ابریشمی، جلیل، هیدرولیک کانال‌های باز، دانشگاه امام رضا(ع)، مشهد، چاپ نهم، تهران، ایران، ص ۳۶، (۱۳۸۱).
10. Shnipov, F. D., Three-dimensional kinematic structure of a flow in trapezoidal channels, Translated from Gidrotekhnicheskoe Stroitel'stvo, No.9, pp. 48-52, September, (1989).
11. یعقوبی، مهدی، فغفور مغربی، محمود، گیوه‌چی، محمد، اثر جریان‌های ثانویه در تخمین سرعت متوسط عمقی در کانال‌های مستطیلی با زبری نواری، کنفرانس مدیریت منابع آب دانشگاه سیستان و بلوچستان، ایران، (۱۳۸۶).
12. Imamoto, H., And Ishigaki, T., Experimental Study on Turbulence Structure in Trapezoidal channel, PP 517-522, (1989).
13. ورسیگ، هنگ کارل، مالااسکرا، ویراتونگ، «مقدمه‌ای بر دینامیک سیالات محاسباتی»، ترجمه‌ی شجاعی‌فرد، محمدحسن، نورپورهشتودی، علیرضا، انتشارات دانشگاه علم و صنعت، چاپ دوم، تهران، (۱۳۸۶).

14. Knight, D. W., Omran, M. and Tang, X., Modeling Depth-Averaged Velocity and Boundary shear in Trapezoidal Channels with Secondary Flow, *Journal of Hydraulic Engineering*, Vol. 133, No. 1, ©ASCE, (2007).
15. گودرزی، محسن و عظیمیان، احمد رضا، «مدل‌سازی عددی جریان در کanal رویاZ به روش ردیابی سطح آزاد»، مجله‌ی دانشکده فنی دانشگاه تبریز، ص ۴۵-۵۷، (۱۳۹۱).
16. ANSYS CFX user manual. v12.0, ANSYS, Inc. ANSYS Europe. Ltd, (2009).
17. Speziale, C.G., Sarkar, S. and Gatski, T.B., Modeling the pressure-strain correlation of turbulence: an invariant dynamical systems approach, *J. Fluid Mechanics*, Vol. 277, pp. 245-272, (1991).

★ بورسی خواص انتقال در بتن های توانمند حاوی پوزولان متاکائولن در مقایسه با میکروسیلیس*

محمد شکرچیزاده^(۱) مهدی ولیپور^(۲) فرهاد پرگر^(۳)

چکیده امروزه استفاده از بتن های توانمند در صنعت ساخت و ساز به یک ضرورت تبدیل شده است. همچنان با توجه به عدم دقت در طراحی و ساخت سازه های بتنی در مناطق خورنایه، مشکلات متعددی را از جمله کاهش شدید عمر مفید و تخریب زودرس این سازه ها موجب شده است که استفاده از بتن های توانمند می تواند یکی از راه حل ها باشد. در سال های اخیر برای تولید بتن های با خواص مکانیکی و پایایی مناسب به صورت گسترش از پوزولان ها استفاده می شود. مهم ترین افزودنی نظریت میکروسیلیس می باشد، در عین حال با توجه به گسترش استفاده از پوزولان ها در سطح دنیا بررسی عملکرد پوزولان های جایگزین نظریت میکروسیلیس اهمیت خاصی پیدا کرده است. در این مقاله با انجام آزمایش های مقاومت فشاری، جذب آب، حجم حفرات، جذب آب مویینه، مقاومت الکتریکی و نفوذ پایه گاز، خصوصیات مکانیکی و پایایی بتن های توانمند حاوی متاکائولن با ۵، ۱۰ و ۱۵ درصد جایگزینی سیمان در مقایسه با میکروسیلیس با ۷/۵ و ۱۰ درصد جایگزینی سیمان مورد مقایسه قرار گرفته است. نتایج بدست آمده نشان می دهد که متاکائولن در بهبود پارامتر های دوام بتن بخصوص در کاهش جذب آب مویینه، افزایش مقاومت الکتریکی و مقاومت نفوذ پایه گاز بهتر از میکروسیلیس عمل کرده است.

واژه های کلیدی بتن توانمند، خواص انتقال، متاکائولن، میکروسیلیس، خواص مکانیکی، خواص پایایی.

Comparing the performance of metakaoline with silica fume on properties of high performance concrete

M. Shekarchizadeh

M. Valipour

F. Pargar

Abstract Nowadays, the use of high performance concrete is rapidly increasing due to its capability of being a good substitute for poorly constructed structures and also concrete structures in corrosive environments which suffer from short life span and immature failure. However, in the last decades the pozzolans are greatly used in order to produce concretes with improved mechanical properties and durability. One of the most usable pozzolans is silica fume and metakaoline. In present paper, the mechanical properties and durability of high performance concretes containing metakaolin of 5, 10 and 15% of cement replacement is compared to those containing silica fume with 5, 7.5 and 10 % of cement replacement using compressive strength test, water absorption, void volume, sorptivity, electrical resistance and gas permeability tests. According to the results, metakaoline showed better results compared to silica fume regarding improvement of mechanical properties and durability of high performance concretes and it is found that the optimum content of metakaoline is about 10 to 15% of cement replacement which can make it a good substitute for silica fume.

Keywords High performance concrete, Transport properties, Metakaoline, Silica fume, Mechanical properties, Durability properties

★ تاریخ دریافت مقاله ۸۹/۸/۲۷ و تاریخ پذیرش آن ۹۲/۷/۱۴ می باشد.

(۱) دانشیار دانشکده مهندسی عمران و سپریست انسیتو مصالح ساختمانی، دانشکده فنی، دانشگاه تهران.

(۲) کارشناس ارشد انسیتو مصالح ساختمانی، دانشکده فنی، دانشگاه تهران.

(۳) کارشناس ارشد انسیتو مصالح ساختمانی، دانشکده فنی، دانشگاه تهران.

استفاده شده است تا نتایج بدست آمده تا حد امکان با شرایط موجود در منطقه تطابق داشته باشد. در تحقیق حاضر عملکرد پوزولان متاکائولن (۵، ۱۰ و ۱۵ درصد جایگزینی سیمان) در مقایسه با میکروسیلیس (۵، ۷/۵ و ۱۰ درصد جایگزینی سیمان) با انجام آزمایش های مقاومت فشاری، جذب آب، حجم حفرات، جذب آب مویینه، مقاومت الکتریکی و نفوذپذیری گاز بررسی شده است. نتایج بدست آمده از این تحقیق نشان می دهد که در مجموع خواص انتقال بتن حاوی متاکائولن بهتر از میکروسیلیس بوده است.

معرفی خواص بتن حاوی متاکائولن

متاکائولن یکی از جدیدترین پوزولان ها در تولید بتن های توانمند محسوب می شود. مواد خام ورودی در تولید متاکائولن، رس کائولن می باشد. کائولن یک ماده ای معدنی بسیار ریز سفید و رسی است که در دمای ۱۰۰ تا ۲۰۰ درجه بیشتر آب جذب شده خود را از دست می دهد [۱]. دمایی که در آن کائولینیت که اصلی ترین جزء تشکیل دهنده کائولن است، به واسطه دی هیدراسیونیزاسیون آب از دست می دهد، بین ۵۰۰ تا ۸۰۰ درجه سانتی گراد می باشد. به منظور تولید متاکائولن، رس کائولن را تا محدوده دمایی ۷۰۰ تا ۹۰۰ درجه حرارت می دهند [۲]. متاکائولن به عنوان یک محصول با پایه سیلیسی می باشد که در واکنش با $\text{Ca}(\text{OH})_2$ در دمای معمولی ژل C-S-H تولید می کند. متاکائولن همچنین دارای آلومینا می باشد که با CH واکنش داده و فاز های آلومیناتی حاوی C_4AH_{13} , C_2ASH_8 و C_3AH_6 را تولید می کند [۳,4]. مطالعات متعددی توسط محققان در خصوص اثرات جایگزینی سیمان با پوزولان متاکائولن بر بهبود خصوصیات مکانیکی و پایایی بتن انجام شده است که در زیر به مختصرا از نتایج حاصل اشاره می شود:

مقدمه

امروزه به دلایل مختلف استفاده از پوزولان ها در صنعت بتن یک ضرورت محسوب می شود. از یک سو با توجه به ضرورت مصرف متعادل و کاهش مصرف انرژی، منابع طبیعی و حفظ محیط زیست، و از سوی دیگر به دلیل آلاینده بودن تولید سیمان ایجاد می شود که از مصرف سیمان در کشور کاسته شود بدون آن که لطمہ ای به حجم ساخت و سازها وارد شود. همچنین نیاز به بتن مقاوم و با دوام در ساخت سازه های بتنی بهویژه در مناطق خورنده، برای افزایش عمر مفید این سازه ها و کاهش هزینه های تعمیر و نگهداری آنها حس می شود که از جمله دلایل ضرورت استفاده از پوزولان ها در ساخت بتن می باشد. میکروسیلیس از جمله افزودنی های شناخته شده و پر کاربرد می باشد که اثرات مثبت آن بر بهبود خصوصیات مکانیکی و دوام بتن مشخص شده است. با این حال میکروسیلیس، خاکستر بادی، روباره و غیره محصولات فرعی صنایع دیگر هستند، به همین جهت اقدام خاصی در خصوص بهینه سازی آنها نمی توان انجام داد. بنابراین الزامات و معایب ذکر شده، شناخت و استفاده از نسل جدید پوزولان ها را ضروری می سازد. از جمله این پوزولان ها متاکائولن می باشد که فرآیند تولید آن کنترل شده است و به عنوان یک پوزولان مهندسی شده شناخته می شود. تولید متاکائولن با آلاینده کمتر و مصرف انرژی محدود تر همراه است [۱]. در چند سال اخیر مطالعات گستردگانی در مورد استفاده از متاکائولن به عنوان جایگزین بخشی از سیمان انجام شده است [۱-۵]. این مطالعات نشان می دهند که جایگزینی متاکائولن با سیمان، موجب بهبود خصوصیات مکانیکی و پایایی بتن می شود. همچنین با توجه به مشکلات دوام سازه های بتنی موجود در منطقه خلیج فارس، متاکائولن می تواند گزینه مناسبی برای بهبود شرایط موجود در منطقه خلیج فارس باشد. بهمین منظور در انجام این تحقیق از مصالح موجود در منطقه خلیج فارس

متاکائولن به طور قابل ملاحظه‌ای جذب سطحی، جذب آب و جذب مویینه را کاهش می‌دهند.

مشخصات مکانیکی: Wild و همکارانش [5] اثر درصدهای مختلف متاکائولن را بر مقاومت فشاری بتن‌های حاوی این نمونه را در دادند. نتایج نشان دهد که متاکائولن باعث افزایش مقاومت در همه‌ی سنین می‌شود اما درصد جایگزینی بهینه در حدود ۲۰ درصد می‌باشد. همچنین Curcio و همکارانش [11] نقش متاکائولن را در ملات‌های پر مقاومت مورد بررسی قرار دادند. نتایج آن‌ها نشان از افزایش مقاومت نمونه‌های حاوی متاکائولن نسبت به نمونه‌های حاوی میکروسیلیس تا سن ۲۸ روز دارد. در حالی که در سنین ۹۰ تا ۱۸۰ روز نمونه‌های حاوی میکروسیلیس و متاکائولن مقاومت‌های فشاری یکسانی از خود نشان داده‌اند. در تحقیقی دیگر Brooks و Johari [6] مقاومت فشاری نمونه‌های حاوی ۰، ۵، ۱۰ و ۱۵ درصد متاکائولن را با نسبت آب به سیمان ۰/۲۸ مورد بررسی قرار دادند. نتایج گزارش شده نشان می‌دهد که مقاومت فشاری نمونه‌ها با افزایش درصد جایگزینی متاکائولن افزایش می‌یابد [6]. از طرفی Poon و همکارانش [12] نشان دادند که مقاومت فشاری خمیر سیمان حاوی ۵ تا ۲۰ درصد متاکائولن در همه‌ی سنین ۳ تا ۹۰ روز بیشتر از نمونه‌ی شاهد است. با این حال نمونه‌ی حاوی ۱۰ درصد متاکائولن بهترین عملکرد را در بین سایر نمونه‌ها داشته است. در این تحقیق نمونه‌های حاوی SF و FA در سنین اولیه، مقاومت فشاری کمتری نسبت به نمونه‌ی شاهد دارا بودند. ولی در دراز مدت تمامی نمونه‌های حاوی پوزولان افزایش مقاومت داشته‌اند. بنابراین در سنین اولیه‌ی عملکرد متاکائولن در بهبود مقاومت بهتر از میکروسیلیس بوده است. در همین راستا- Potgieter-

کارپذیری Wild و همکارانش [5] کارپذیری بتن‌های حاوی متاکائولن را مورد مطالعه قرار دادند. نمونه‌های بتونی با جایگزینی ۵، ۱۰، ۲۰، ۲۵ و ۳۰ درصد متاکائولن برای این منظور ساخته شد. نتایج نشان دهنده‌ی افزایش میزان اسلامپ با افزایش مقدار جایگزینی متاکائولن به همراه افزایش فوق روان‌کننده است [5]. همچنین Brook و Johar [6] اسلامپ و زمان گیرش بتون‌های حاوی ۵، ۱۰ و ۱۵ درصد متاکائولن را در مقایسه با بتون شاهد و با نسبت آب به سیمان ۰/۲۸ گزارش کردند. نتایج نشان می‌دهد که با افزایش میزان جایگزینی پوزولان، اسلامپ کاهش و زمان گیرش افزایش می‌یابد [6].

ریز ساختار. Bredy و همکارانش [7] تخلخل و اندازه‌ی حفرات خمیر سیمان حاوی متاکائولن را مورد بررسی قرار دادند. خمیر سیمان با مقادیر جایگزینی صفر تا ۵۰ درصد آماده شد. نتایج نشان داد که جایگزینی کمتر از ۲۰ درصد، تخلخل کل را کاهش می‌دهد. ولی افزایش جایگزینی به بیش از ۳۰ درصد موجب افزایش تخلخل می‌شود. در تحقیقی دیگر Khatib و Wild [8] تخلخل و اندازه‌ی حفرات خمیر سیمان حاوی ۵، ۱۰ و ۱۵ درصد را با نسبت آب به سیمان ۰/۵۵ تعیین کردند. نتایج این تحقیق نشان می‌دهد که با افزایش سن عمل آوری حجم حفرات کاهش و خمیر سیمان حاوی متاکائولن ریز ساختار بهتری پیدا می‌کند. همچنین Courard و همکارانش [9] جذب آب ملات‌های حاوی ۱۰، ۱۵ و ۲۰ درصد متاکائولن را بررسی کردند. نتایج آن‌ها نشان داد که کمترین مقدار جذب آب در بین تمامی نمونه‌ها، مربوط به نمونه‌ی حاوی ۱۰ درصد متاکائولن می‌باشد. Razak و همکارانش [10] نیز در سال ۲۰۰۴ اثر متاکائولن و میکروسیلیس را در مورد جذب آب سطحی، جذب آب و جذب مویینه مورد بررسی قرار دادند. نتایج این تحقیق نشان داد که میکروسیلیس و

کرد. در تحقیق دیگری Boddy و همکارانش [15] نفوذ یون کلر را در ۱۰۹۵ و ۳۶۵ روز پس از رویارویی اندازه‌گیری کردند. نتایج آن‌ها نشان داد که با گذشت زمان رویارویی و کاهش نسبت آب به سیمان و با افزایش درصد جایگزینی HRM میزان نفوذ یون کلر کاهش می‌یابد. همچنین Courard [9] اثر افزودن متاکائولن با جایگزینی ۰، ۱۰، ۱۵ و ۲۰ درصد را بر میزان نفوذ یون کلر در ملات مورد بررسی قرار دادند. با توجه به نتایج حاصل بهترین عملکرد مربوط به متاکائولن با ۲۰ درصد جایگزینی بوده به طوری که بعد از یکسال تقریباً نفوذ یون کلر مشاهده نشده است. از طرفی با افزایش درصد جایگزینی متاکائولن از ۱۰ به ۱۵ درصد شاهد کاهش ۱۷۰ درصدی در ضربی انتشارپذیری بودند. همچنین اثر متاکائولن بر مقاومت خوردگی ملات نیز توسط Batis [16] مورد بررسی قرار گرفت. نمونه‌های مسلح حاوی درصدهای مختلف متاکائولن پس از عمل آوری در معرض محلول با NaCl غلظت ۳/۵ درصد قرار داده شدند. برای نمونه‌های مورد نظر آزمایش مختلفی انجام شد که نتایج حاصل نشان می‌دهند که نمونه‌های حاوی متاکائولن با ۱۰ درصد جایگزینی بیشترین افزایش مقاومت فشاری و مقاومت در برابر خوردگی را نشان داده‌اند. در حالی در درصدهای جایگزینی، عملکرد مطلوب نبوده است. در همین زمینه Shekarchi و همکارانش [17] اثرات جایگزینی متاکائولن، ۵، ۱۰ و ۱۵ درصد را بر خواص دوام بتن مورد بررسی قرار دادند. نتایج این تحقیق نشان می‌دهد که جایگزینی متاکائولن موجب بهبود ۰/۵۰، ٪۳۷، ٪۲۸، ٪۴۵ و ٪۴۷ بهتری در پارامترهای نفوذ آب، نفوذپذیری گاز، جذب آب، مقاومت الکتریکی و نفوذ یون کلر می‌شود.

Vermaak [13] مقاومت فشاری را در ملات‌های حاوی متاکائولن با درصد جایگزینی ۱۰ تا ۳۰ و نسبت آب به سیمان ۰/۳۷ مورد بررسی قرار دادند. نتایج این تحقیق بدین صورت گزارش شده است که بهترین حرارت اکتیواسیون برای تولید متاکائولن از کائولن با دمای بیش از ۷۰۰ درجه‌ی سانتی‌گراد است. همچنین مقاومت فشاری با افزایش زمان عمل آوری و درجه‌ی حرارت هیدراتاسیون افزایش می‌یابد. Li [14] نیز در سال ۲۰۰۱ مقاومت کششی و خمشی ۲۸ روزه‌ی بتن حاوی ۰، ۵، ۱۰ و ۱۵ درصد متاکائولن را بررسی کردند. نتایج نشان داد که با افزایش میزان جایگزینی متاکائولن مقاومت کششی نمونه‌های بتنی افزایش می‌یابد. همچنین جایگزینی ۵ درصد متاکائولن کمترین اثر را در بهبود مقاومت خمشی داشته است. در حالی که در جایگزینی ۵ و ۱۰ درصد در سن ۲۸ روز بهتری ۳۲ و ۳۸ درصد و در ۸۰ روز ۱۳ و ۲۴ درصد افزایش مقاومت خمشی مشاهده شده است. بنابراین بهبود محسوس در مقاومت خمشی در درصد جایگزینی ۱۰ تا ۱۵ حاصل گردیده است. در تحقیقی دیگر Courard و همکارانش [9] اثر متاکائولن بر مقاومت خمشی ملات را با جایگزینی ۵ تا ۲۰ درصد موردنظر قرار دادند. نتایج نشان می‌دهند که با جایگزینی متاکائولن مقاومت خمشی بتن بهبود می‌یابد. دوام بتن Johari و Brooks [6] اثر متاکائولن را بر خزش و جمع شدگی در بتن‌های حاوی ۰، ۵، ۱۰ و ۱۵ درصد جایگزینی متاکائولن و با نسبت آب به سیمان ۰/۲۸ مطالعه کرده‌اند. نتایج نشان می‌دهد که در کوتاه‌مدت جمع شدگی خودبه‌خودی با افزایش مقدار جایگزینی متاکائولن کاهش می‌یابد. در حالی که در درازمدت این مقدار با افزایش مقدار متاکائولن افزایش می‌یابد. همچنین حضور متاکائولن باعث کاهش خزش می‌شود که این کاهش را می‌توان با متراکم کردن ریز ساختار و حفرات بتن، ماتریس خمیر مستحکم و بهبود سطح بین خمیر و سنگدانه توسط متاکائولن توجیه

بر آزمونهای مکعبی به ابعاد ۱۵۰ میلی‌متر ۱۸۸۱-۱۸۸۱ انجام گرفته است [۱۸]. مقاومت فشاری ۷ و ۲۸ روزهی طرح‌های اختلاط مختلف در نمودار (۱) ارائه شده است. همان‌طور که مشاهده می‌شود مقاومت فشاری کلیهی طرح‌های اختلاط حاوی ماتاکائولن و میکروسیلیس از آزمونهی شاهد بیشتر است. دلیل این افزایش بهبود ریزساختار بتن با انجام واکنش‌های ثانویهی پوزولان‌ها می‌باشد. به‌طوری که آزمونهی شاهد C2 کم‌ترین و آزمونهی SF10 بیشترین مقدار مقاومت فشاری را در سن ۲۸ روز دارا می‌باشد. میزان مقاومت فشاری در بین آزمونهای حاوی میکروسیلیس و ماتاکائولن با افزایش درصد جایگزینی پوزولان مقاومت فشاری افزایش می‌یابد. با این حال افزایش مقاومت فشاری آزمونهای حاوی میکروسیلیس بیشتر از آزمونهای حاوی ماتاکائولن در سن ۲۸ روز می‌باشد. در درصد جایگزینی مشابه ۵ درصد، آزمونهی SF5 با افزایش ۷ درصد در هر دو سن ۷ و ۲۸ روز نسبت به آزمونهی MK5 مقاومت فشاری بیشتری دارد. با این حال هر دو آزمونه با ۴۲ درصد، افزایش مقاومت یکسانی از سن ۷ به ۲۸ روز داشته‌اند. در درصد جایگزینی مشابه ۱۰ درصد نیز آزمونهی SF10 در هر دو سن ۷ و ۲۸ روز به ترتیب با ۷ و ۲۷ درصد افزایش مقاومت فشاری نسبت به آزمونهی MK10 عملکرد بهتری داشته است. هم‌چنین بیشترین روند افزایش مقاومت از سن ۷ به ۲۸ روز در بین آزمونهای حاوی پوزولان مربوط به آزمونهی SF10 با ۵۲ درصد و کم‌ترین آن مربوط به آزمونهای SF7.5 و MK15 با ۳۰ درصد افزایش مقاومت می‌باشد.

مطالعات آزمایشگاهی

در راستای مطالعات آزمایشگاهی قبل از ساخت بتن آنالیز شیمیایی سیمان پرتلند تیپ ۲ کارخانه‌ی سیمان هرمزگان و افزودنی‌های میکروسیلیس و ماتاکائولن مورد استفاده در طرح‌های اختلاط مورد بررسی قرار گرفت که نتایج آن در جدول (۱) ارائه شده است. هم‌چنین مطابق جدول (۲) طرح‌های اختلاط طراحی و آزمونهای بتنی ساخته شد. نسبت آب به مواد سیمانی در طرح‌های اختلاط ۰/۴ و مقدار آب ۱۶۰ کیلوگرم بر مترمکعب می‌باشد. صالح سنگی ریز دانه به صورت گردگوش و سیلیسی- آهکی و صالح سنگی درشت دانه به صورت شکسته و آهکی با بزرگ‌ترین اندازه ۱۹ میلی‌متر و با نسبت ۶۲ درصد درشت دانه به ۳۸ درصد ریزدانه می‌باشد که از منابع موجود در منطقه‌ی خلیج فارس (شهر بندرعباس) تهیه شده است. هم‌چنین به‌منظور تأمین روانی بتن تازه از مواد فوق روان‌کننده با پایه‌ی کربوکسیلاتی استفاده شده و اسلامپ طرح‌ها بین ۵ تا ۸ سانتی‌متر است. پس از بتون‌ریزی و قالب‌گیری، آزمونهای بتنی به مدت سه‌روز عمل‌آوری مرتبط شده و پس از آن آزمونهای تا سن ۲۸ روز در شرایط محیطی آزمایشگاه قرار گرفتند (عمل‌آوری خشک). انتخاب این نوع روش عمل‌آوری به‌منظور شبیه‌سازی ساخت و عمل‌آوری بتن با شرایط محیطی در پروژه‌های جاری کشور می‌باشد.

تشریح آزمایش‌ها و ارائه نتایج

آزمایش مقاومت فشاری. مقاومت فشاری بتن مهم‌ترین مشخصه‌ی مکانیکی بتن می‌باشد. در این تحقیق آزمایش مقاومت فشاری مطابق استاندارد BS

جدول ۱ آنالیز شیمیایی سیمان و پوزولان‌های مصرفي

L.O.I	K ₂ O	Na ₂ O	SO ₃	MgO	CaO	Fe ₂ O ₃	Al ₂ O ₃	SiO ₂	نوع مواد سیمانی
۲	۰/۶	۰/۵	۱/۶	۱/۸	۶۳	۳/۵	۵	۲۱	سیمان
۱/۵۸	-	-	۰/۰۵	۱/۶	-	۰/۷۲	۱/۱۳	۹۳/۱۶	میکروسیلیس
۰/۵۷	۰/۱۲	۰/۰۱	-	۰/۱۸	۰/۲	۰/۹۹	۴۳/۸۷	۵۱/۸۵	ماتاکائولن

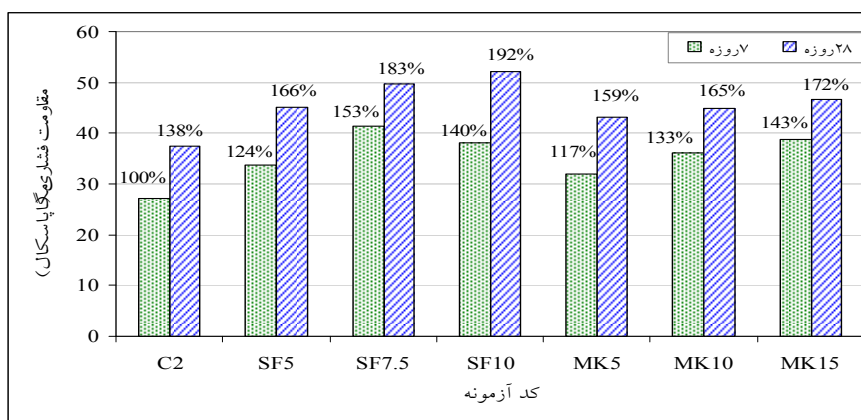
جدول ۲ مشخصات نسبت های اختلاط

اسلامب (cm)	فوق روان کننده (kg/m ³)	پوزولان جایگزین (kg/m ³)	عيار سیمان (kg/m ³)	کد آزمونه
۷	۰/۲	-	۴۰۰	C2
۶	۱/۲	۲۰	۳۸۰	SF5
۵	۱/۴	۳۰	۳۷۰	SF7.5
۸	۱/۶	۴۰	۳۶۰	SF10
۵	۰/۸	۲۰	۳۸۰	MK5
۵/۵	۱/۴	۴۰	۳۶۰	MK10
۸	۱/۶	۶۰	۳۴۰	MK15

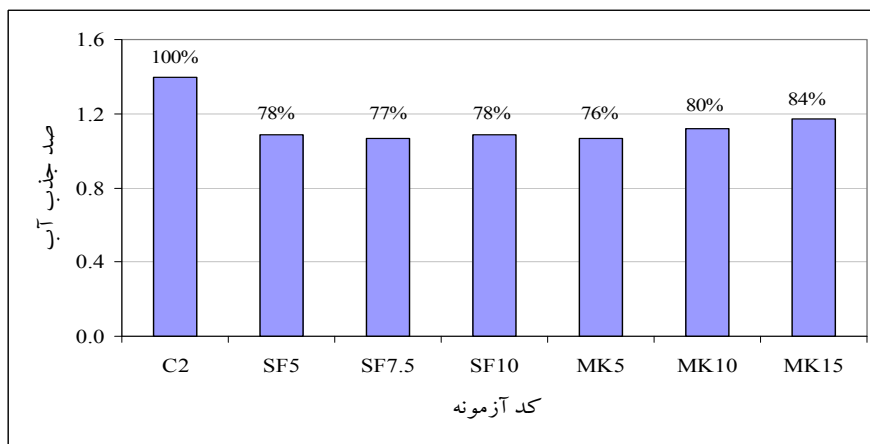
C : سیمان

SF : میکروسیلیس

MK : متاکالون



نمودار ۱ نتایج مقاومت فشاری ۷ و ۲۸ روزه‌ی طرح‌های اختلاط مختلف



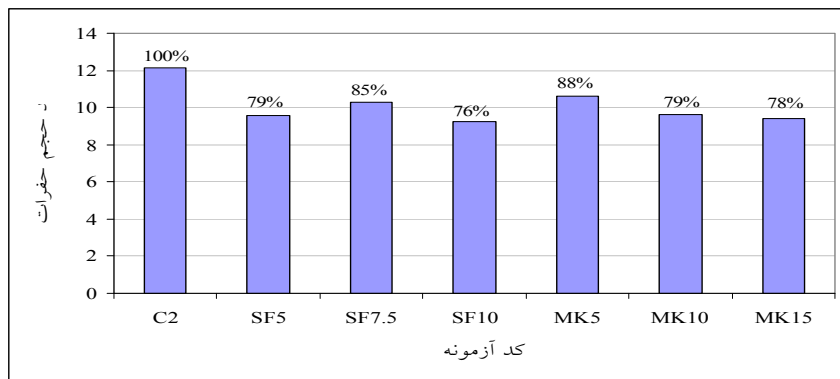
نمودار ۲ نتایج تعیین جذب آب طرح‌های اختلاط مختلف

میکروسیلیس بیشترین حجم حفرات را دارد. در حالی که در بین آزمونهای حاوی متاکائولن با افزایش درصد جایگزینی متاکائولن، حجم حفرات بتن کاهش می‌یابد به‌طوری که آزمونهای MK15 با ۲۲ درصد کاهش نسبت به آزمونهای شاهد دارای کمترین میزان حجم حفرات می‌باشد. در هر دو درصد جایگزینی مشابه ۵ و ۱۰ درصد نیز آزمونهای حاوی میکروسیلیس به ترتیب با ۹ و ۳ درصد کاهش نسبت به درصد مشابه آزمونهای حاوی متاکائولن حجم حفرات کمتری را دارا هستند.

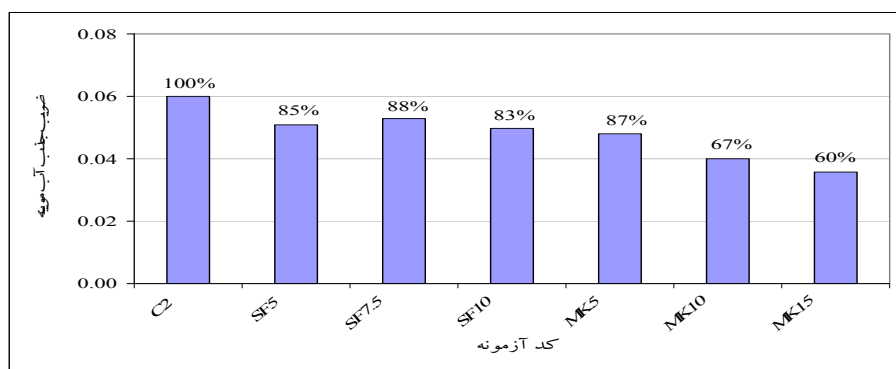
آزمایش جذب آب مویینه. جذب آب مویینه نیز یکی از پارامترهای مهم ارزیابی دوام بتن می‌باشد. این آزمایش بر اساس استاندارد RILEM-CPC-11.2 انجام شده است و نتایج آن در نمودار (۴) ارائه شده است [20]. همان‌طور که مشاهده می‌شود آزمونهای شاهد بیشترین مقدار جذب آب مویینه را در بین طرح‌های اختلاط مختلف دارا می‌باشد. آزمونهای SF7.5 با ۱۲ درصد کاهش نسبت به آزمونهای شاهد در بین آزمونهای حاوی میکروسیلیس دارای جذب آب مویینه می‌باشد. جذب آب مویینه آزمونهای حاوی متاکائولن نیز با افزایش درصد جایگزینی کاهش می‌یابد، به‌طوری که آزمونهای MK15 با ۴۰ درصد کاهش نسبت به آزمونهای شاهد دارای کمترین میزان جذب آب مویینه می‌باشد. در درصد جایگزینی مشابه ۵ درصد با اختلاف ناچیز ۲ درصد آزمونهای حاوی هر دو پوزولان جذب آب مویینه تقریباً یکسانی داشته‌اند. ولی در درصد جایگزین‌های مشابه ۱۰ درصد آزمونه MK10 با ۲۱ درصد کاهش نسبت به آزمونهای SF10 مقدار جذب آب مویینه کمتری داشته است.

آزمایش جذب آب. آب می‌تواند هم به صورت مایع و هم بخار از طریق حفرات مویینه به درون جسم متخلخل وارد شود. منظور از جذب روندی است که طی آن بتن آب را به درون منافذ و حفرات مویینه می‌کشاند. میزان جذب کل معیاری برای پایایی بتن محسوب می‌شود. این آزمایش مطابق استاندارد ASTM C642 انجام شده و نتایج آن در نمودار (۲) ارائه شده است [19]. همان‌طور که مشاهده می‌شود میزان جذب آب کالیهی آزمونهای حاوی پوزولان کمتر از آزمونهای شاهد می‌باشد. آزمونهای حاوی میکروسیلیس در هر سه درصد جایگزینی مقادیر جذب آب یکسانی را نشان می‌دهند. در بین آزمونهای حاوی متاکائولن نیز آزمونهای MK5 مقدار جذب آب کمتری را نسبت به درصدهای دیگر جایگزینی دارد. مقایسه‌ی درصدهای جایگزینی مشابه ۵ و ۱۰ درصد با اختلاف ناچیز ۲ درصد نشان از میزان جذب آب تقریباً یکسان آزمونهای SF5، SF10 و MK5 و MK10 دارد. دلیل عدم تأثیرگذاری درصدهای بیشتر جایگزینی پوزولان‌های میکروسیلیس و متاکائولن می‌تواند مربوط به عمل آوری کوتاه‌مدت باشد که پوزولان‌ها امکان تأثیرگذاری و انجام کامل عمل هیدراتاسیون را در کوتاه‌مدت نداشته‌اند.

آزمایش تعیین حجم حفرات. نفوذپذیری، یکی از پارامترهای مهم در ارزیابی کیفیت و پایایی بتن می‌باشد که رابطه‌ی مستقیمی با تخلخل دارد. بنابراین بررسی حجم حفرات بتن اهمیت خاصی دارد. در این تحقیق حجم حفرات آزمونهای مطابق استاندارد ASTM C642 تعیین شده است [19]. نتایج این آزمایش در نمودار (۳) ارائه شده است. همان‌طور که مشاهده می‌شود حجم حفرات آزمونهای شاهد نسبت به دیگر آزمونهای حاوی پوزولان بیشترین مقدار را دارد. آزمونهای SF7.5 در بین آزمونهای حاوی



نمودار ۳ نتایج تعیین حجم حفرات طرح های اختلاط مختلف

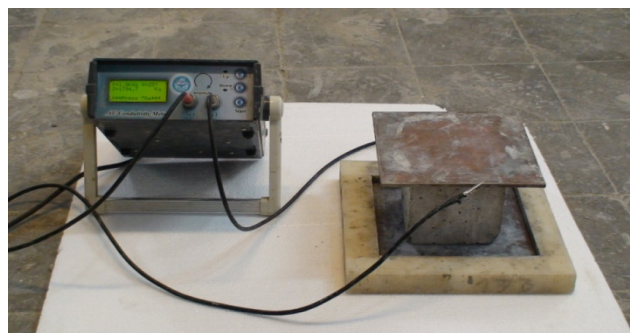


نمودار ۴ نتایج تعیین جذب آب مویینه طرح های اختلاط مختلف

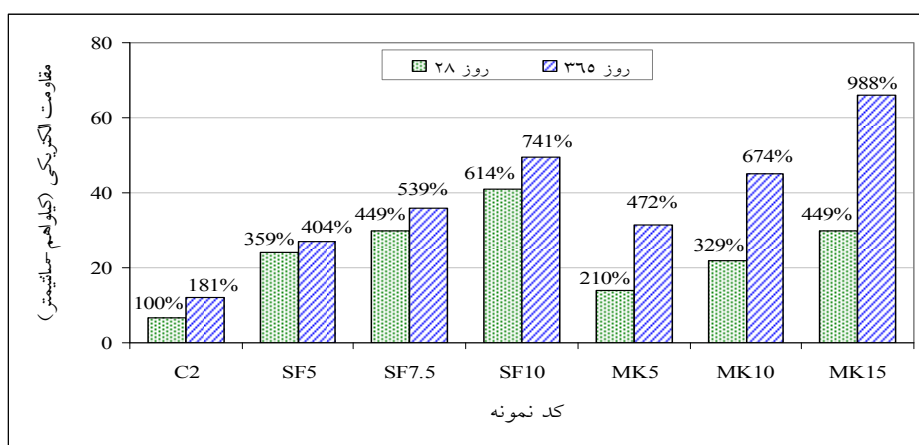
می شود و طرح های حاوی متاکائولن مقاومت الکتریکی بیشتری دارند. بنابراین مشاهده می شود که نرخ افزایش مقاومت ویژه الکتریکی از سن ۲۸ به ۳۶۵ روز در آزمونهای حاوی متاکائولن بیشتر از آزمونهای حاوی میکروسیلیس می باشد.

لازم به ذکر است که بر اساس تحقیقات انجام شده [۱] بتن های با مقاومت ویژه ۲۰ کیلو اهم سانتی متر در برابر نفوذ یون کلر به شدت مقاوم هستند. بر این اساس تمامی آزمونهای حاوی میکروسیلیس و متاکائولن به دلیل داشتن مقاومت ویژه الکتریکی بیشتر از ۲۰ کیلو اهم سانتی متر در مقابل نفوذ یون کلر نیز مقاوم می باشند. همچنین جدول (۳) بیانگر رابطه مقاومت الکتریکی بتن با آهنگ خوردگی بر اساس پیشنهاد ACI 222 می باشد. با توجه به بیشتر بودن مقاومت الکتریکی از مقدار ۲۰ کیلو اهم سانتی متر، تمامی آزمونهای حاوی هر دو پوزولان در برابر خوردگی نیز مقاومت لازم را خواهند داشت [۲۱].

آزمایش مقاومت الکتریکی. آزمایش مقاومت الکتریکی در این تحقیق بر اساس روش Impedance Spectroscopy انجام شده است شکل (۱). نمودار (۵) بیانگر نتایج مقاومت ویژه الکتریکی طرح های مختلف در سنین ۲۸ و ۳۶۵ روز می باشد. همان‌طور که مشاهده می شود مقاومت ویژه الکتریکی کلیه طرح های اختلاط حاوی پوزولان در هر دو سن بیشتر از آزمونهای شاهد می باشد. در آزمونهای حاوی پوزولان نیز با افزایش درصد جایگزینی پوزولان مقدار مقاومت ویژه الکتریکی نیز در هر دو سن افزایش می یابد به طوری که آزمونهای SF10 و MK15 به ترتیب در بین طرح های حاوی میکروسیلیس و متاکائولن دارای بیشترین مقاومت الکتریکی می باشند. نکته قابل توجه این است که در سن ۲۸ روزه کلیه طرح های حاوی میکروسیلیس مقاومت الکتریکی بیشتری نسبت به طرح های متاکائولن دارند در صورتی که در سن ۳۶۵ روز این روند بر عکس



شکل ۱ دستگاه اندازه‌گیری مقاومت الکتریکی



نمودار ۵ نتایج مقاومت الکتریکی طرح‌های اختلاط مختلف

جدول ۳ اثیر مقاومت الکتریکی بتن بر آهنگ خوردگی آرماتور (ACI 222)

مقاطع ویژه الکتریکی (kΩ.cm)	آهنگ خوردگی
<۵	خیلی زیاد
۱۰ تا ۱۵	زیاد
۲۰ تا ۴۰	متوسط تا کم
>۴۰	ناجیز

از سطح بتن عبور می‌کند، با رابطه‌ی (۱) به دست می‌آید:

$$k = \frac{2Q.P_a.L\eta}{A(P^2 - P_a^2)} \quad (m^2) \quad (1)$$

که در آن k ضریب نفوذپذیری ویژه (m^2)، Q دبی جریان ($m^3 s^{-1}$)، A سطح مقطع آزمونه (m^2)، L

آزمایش نفوذپذیری گاز. در این تحقیق، آزمایش نفوذپذیری در مقابل گاز اکسیژن با دستگاه نفوذپذیری انسٹیتو مصالح ساختمانی دانشگاه تهران و روش Cembureau مطابق استاندارد RILEM-TC116 انجام شده است شکل (۲)[22,23]. در این روش ضریب نفوذپذیری ویژه (K) برای گاز اکسیژن که تحت فشار

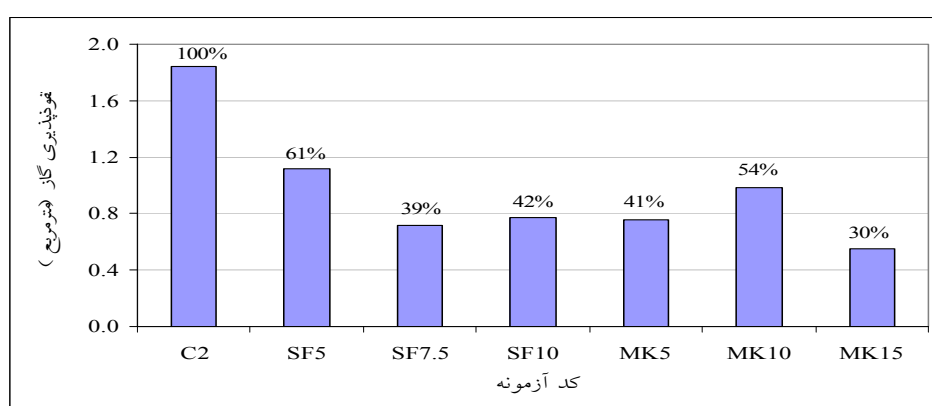
اساس متوسط نتایج مربوط به سه دیسک از هر طرح محاسبه گردیده و نتایج آن در نمودار (۶) ارائه شده است. همان‌طور که مشاهده می‌شود نفوذپذیری گاز آزمونه‌های حاوی پوزولان کم‌تر از آزمونه‌ی شاهد (C2) می‌باشد. در بین آزمونه‌های حاوی پوزولان نیز آزمونه‌های SF7.5 و MK15 به ترتیب با ۶۱ و ۷۰ درصد کاهش نسبت به آزمونه‌ی شاهد در بین آزمونه‌های حاوی میکروسیلیس و متاکائولن به ترین عملکرد را داشته‌اند. در درصد جایگزینی مشابه ۵ درصد نیز آزمونه‌ی MK5 با ۲۰ درصد کاهش بیش‌تر نسبت به آزمونه‌ی SF5 عملکرد بهتری داشته است. ولی در درصد جایگزینی مشابه ۱۰ درصد آزمونه‌ی SF10 با ۱۲ درصد کاهش بیش‌تر نسبت به آزمونه‌ی MK10 بهتر عمل کرده است.

ضخامت جریان در جهت جریان (m)، η ویسکوزیته گاز ($N.s.m^{-2}$) 202×10^{-5} برای اکسیژن، P فشار درونی ($N.m^{-2}$), Pa فشار بیرونی ($N.m^{-2}$) می‌باشد [13,14].

بر پایه این روش آزمونه‌های استوانه‌ای، با قطر ۱۵۰ میلی‌متر و ارتفاع ۳۰۰ میلی‌متر به‌ازای هر طرح ساخته می‌شوند و پس از آن عمل آوری مرتبط به مدت ۲۸ روز انجام می‌پذیرد. پس از آن، با استفاده از دستگاه برش برای هر آزمونه، سه دیسک با ارتفاع ۵۰ میلی‌متر از سطح بالای هر استوانه بریده می‌شود. سپس دیسک‌های به‌دست آمده به مدت هفت روز در آون در دمای ۱۰۵ درجه سانتی‌گراد نگهداری می‌شود (رژیم B، پیشنهاد شده در روش Cembureau). پس از این مقدمات اولیه، ضریب نفوذپذیری ویژه‌ی هر طرح بر



شکل ۲ دستگاه اندازه‌گیری نفوذپذیری گاز اکسیژن

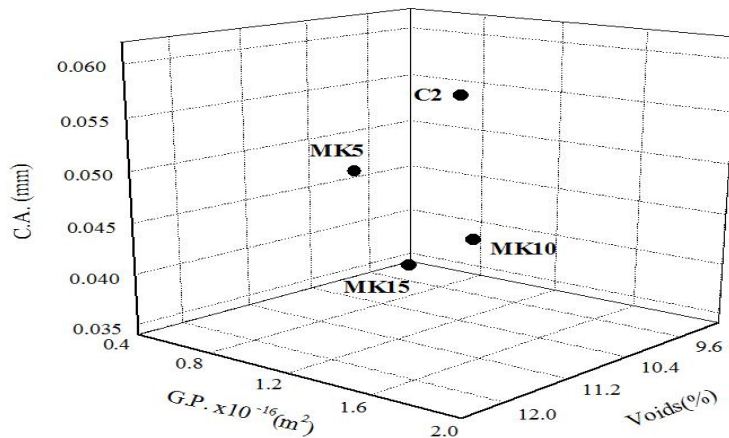


نمودار ۶ نتایج نفوذپذیری در برابر گاز طرح‌های اختلاط مختلف

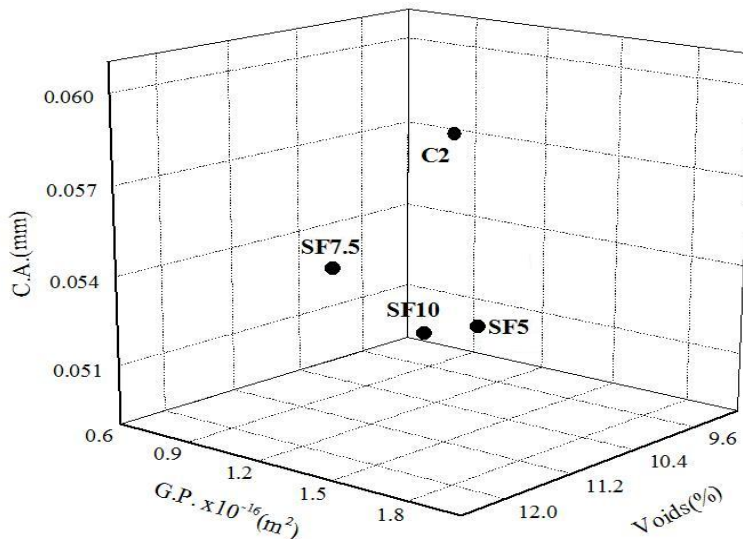
بیشترین مقادیر بیانگر ضعف در دوام آزمونهای مورد نظر می‌باشد. همان‌طور که مشاهده می‌شود با در نظر گرفتن سه پارامتر مذکور به‌طور هم‌زمان و سه‌بعدی، آزمونهای شاهد در هر دو شکل ضعیف‌ترین عملکرد و آزمونهای MK15 و SF10 به‌ترتیب در بین آزمونهای حاوی متاکائولن و میکروسیلیس به‌ترتیب عملکرد را داشته‌اند.

جمع‌بندی

برای بررسی دقیق‌تر عملکرد خصوصیات انتقال بتنهای توانمند، اثرات هم‌زمان نفوذ گاز، جذب آب موبینه و حجم حفرات به صورت سه‌بعدی در آزمونهای حاوی متاکائولن و میکروسیلیس به‌ترتیب در شکل‌های (۳ و ۴) ارائه شده است. در این شکل‌ها کم‌ترین مقادیر نشان‌دهنده‌ی بهبود پارامترهای دوام و



شکل ۳ بررسی سه‌بعدی اثرات نفوذ گاز، جذب آب موبینه و حجم حفرات در آزمونهای حاوی متاکائولن



شکل ۴ بررسی سه‌بعدی اثرات نفوذ گاز، جذب آب موبینه و حجم حفرات در آزمونهای حاوی میکروسیلیس

جدول ۴ اثر افزایش درصد جایگزینی پوزولان بر پارامترهای مختلف بتن

آزمایش	مقاومت فشاری	جذب آب مویینه	حجم حفرات	مقاومت الکتریکی	نفوذپذیری گاز
آزمایش	جذب آب	جذب آب مویینه	حجم حفرات	مقاومت الکتریکی	نفوذپذیری گاز
↑	↑	-	-	↑	↓
↑	-	-	-	-	-
↓	-	-	-	-	-
↓	↓	-	-	-	-
↑	↑	-	-	-	-
↓	↓	-	-	-	-

↑: افزایش نسبت به درصد جایگزینی پایین تر

↓: کاهش نسبت به درصد جایگزینی پایین تر

نتیجه‌گیری

همان‌طور که اشاره شد این تحقیق با دیدگاه بررسی خصوصیات انتقال بتن‌های توانمند حاوی متاکائولن و میکروسیلیس به عنوان راه حلی برای بهبود دوام سازه‌های بتنی در منطقه‌ی خلیج فارس انجام شده است به همین منظور مصالح مورد استفاده برای انجام تحقیق از مصالح موجود در منطقه انتخاب و شرایط عمل آوری آزمونهای با توجه به شرایط اجرایی در منطقه در نظر گرفته شده است تا نتایج به دست آمده قابلیت اجرایی را در منطقه‌ی خلیج فارس داشته باشد. هم‌چنین در این تحقیق اکثر آزمایش‌های رایج برای بررسی خصوصیات انتقال در آزمونهای بتنی انجام شده است تا جمع‌بندی کامل‌تری از نتایج حاصل به دست آید. حال با توجه به توضیحات ارائه شده در متن مقاله می‌توان مهم‌ترین نتایج به دست آمده را به صورت زیر خلاصه کرد:

- (۱) بررسی خصوصیات مکانیکی آزمونهای بتنی نشان می‌دهد که در هر دو سن ۷ و ۲۸ روز عملکرد مقاومت فشاری آزمونهای حاوی میکروسیلیس با اختلاف اندکی بهتر از آزمونهای حاوی متاکائولن بوده است.
- (۲) نتایج آزمایش‌های جذب آب و تعیین حجم حفرات نشان می‌دهد که آزمونهای حاوی متاکائولن و میکروسیلیس عملکرد تقریباً یکسانی داشته‌اند. در

هم‌چنین اثر افزایش درصد جایگزینی پوزولان بر پارامترهای مختلف دوام بتن که در این تحقیق مورد بررسی قرار گرفته در جدول (۴) خلاصه شده است. بر اساس این جدول، در اغلب آزمایش‌ها با افزایش درصد جایگزینی پوزولان بهبود عملکرد را شاهد بودیم که دلیل این امر افزایش فعالیت‌های پوزولانی و کامل‌تر شدن واکنش‌های ثانویه می‌باشد. به‌طور کلی باید توجه داشت که بر اساس تحقیقات انجام گرفته در کاربرد پوزولان‌ها و با توجه به کارآیی مورد نظر باید مقدار بهینه‌ی مصرف آن را تعیین نمود.

در مجموع بر اساس آزمایش‌های انجام شده در قالب تحقیق حاضر، عملکرد آزمونهای حاوی پوزولان بهتر از آزمونهای شاهد بوده است. دلیل این عملکرد انجام واکنش‌های ثانویه‌ی پوزولان‌های مصرفی با Ca(OH)_2 و تولید ژل C-S-H است که موجب مترکم‌تر شدن ریزساختار بتن و کاهش تخلخل و نفوذپذیری بتن می‌شود و نتیجه‌ی آن بهبود خصوصیات مکانیکی و دوام بتن می‌باشد. در نتیجه با توجه به وجود منابع کائولن در داخل کشور و محدودیت‌های تولید و استفاده از میکروسیلیس به خصوص عوارض زیست محیطی آن، متاکائولن می‌تواند جایگزین مناسبی برای میکروسیلیس در پروژه‌های جاری کشور به خصوص در مناطق حاد و خورنده‌ی جنوب کشور و منطقه‌ی خلیج فارس باشد.

۴) نتایج آزمایش نفوذپذیری گاز نیز نشان دهنده‌ی عملکرد بهتر آزمونه‌های حاوی متاکائولن نسبت به میکروسیلیس به خصوص در درصد جایگزینی بیشتر است.

۵) با توجه به نتایج بدست آمده، درصد جایگزینی بهینه برای میکروسیلیس ۷/۵ تا ۱۰ درصد و برای متاکائولن ۱۰ تا ۱۵ درصد می‌باشد.

۶) عملکرد مناسب متاکائولن در بهبود خواص پایایی بتن، با توجه به تنوع معادن کائولن موجود در کشور و محدودیت منابع پوزولان‌هایی مانند میکروسیلیس، می‌توان از آن به عنوان جایگزین مناسب برای پوزولان‌های مورد استفاده در محیط‌های خورنده‌ی خلیج فارس استفاده کرد.

صورتی که نتایج آزمایش جذب آب مویینه نشان از عملکرد بهتر آزمونه‌های حاوی متاکائولن در مقایسه با میکروسیلیس به خصوص در درصد جایگزینی های ۱۰ و ۱۵ درصد دارد.

(۳) در بحث مقاومت الکتریکی، آزمونه‌های حاوی میکروسیلیس در کوتاه‌مدت عملکرد بهتری نسبت به متاکائولن داشته‌اند در صورتی که عملکرد بلندمدت (یک سال) نشان از افزایش قابل ملاحظه‌ی مقاومت الکتریکی نسبت به سن ۲۸ روز دارد و در مقایسه با میکروسیلیس هم عملکرد بهتری داشته است. بنابراین با توجه به افزایش قابل ملاحظه‌ی مقاومت الکتریکی در آزمونه‌های حاوی متاکائولن، این پوزولان می‌تواند سرعت گسترش خوردنگی سازه‌های بتونی در معرض نفوذ یون کلر (به‌ویژه در منطقه‌ی خورنده‌ی خلیج فارس) را تا حدود زیادی کاهش دهد.

مراجع

۱. شکرچی‌زاده، محمد، میردامادی، علیرضا، بنکدار، ابوذر، بخشی، مهدی، "بهبود خواص بتونهای توانمند با استفاده از متاکائولن"، مجله‌ی تحقیقات بتن، شماره ۲، صفحات ۵۵-۶۳، (۱۳۸۷).
2. Bonakdar, A., Bakhshi, M., Ghalibafian, M., "Properties of High-performance Concrete Containing High Reactivity Metakaolin", *7th International Symposium on Utilization of High-Strength/High-Performance Concrete, Washington DC. USA*, Vol. 1, pp. 228-295, (2005).
3. Changling, H., Osbaeck, B., Makovicky, E., "Pozzolanic reaction of six principal clay minerals : activation reactivity assessments and technological effects", *Cement and Concrete Research*, 25 (8), pp. 1691–1702, (1995).
4. Zhang, M.H., Malhotra, V.M., "Characteristics of a thermally activated aluminosilicate pozzolanic material and its use in concrete", *Cement and Concrete Research*, 25 (8), pp. 1713–1725, (1995).
5. Wild, S., Khatib, J.M., Jones, A., "Relative strength, pozzolanic activity and cement hydration in superplasticised metakaolin concrete", *Cement and Concrete Research*, 26 (10), pp. 1537–1544, (1996).
6. Brooks, J.J., Johari, M.M.A., "Effect of metakaolin on creep and shrinkage of concrete", *Cement and Concrete Composites*, 23, pp. 495–502, (2001).
7. Bredy, P., Chabannet, M., Pera, J., "Microstructural and porosity of metakaolin blended cements", *Material Research Society Symposium*, 137, pp. 431–436, (1989).

8. Khatib, J.M., Wild, S., "Pore size distribution of metakaolin paste", *Cement and Concrete Research*, 26 (10), pp. 1545–1553, (1996).
9. Courard, L., Darimont, A., Schouterden, M., Ferauche, F., Willem, X., Degeimbre, R., "Durability of mortars modified with metakaolin", *Cement and Concrete Research*, 33, pp. 473–478, (2003).
10. Razak, H.A., Chai, H.K., Wong, H.S., "Near surface characteristics of concrete containing supplementary cementing materials", *Cement and Concrete Composites*, 26, pp. 883–889, (2004).
11. Curcio, F., Deangelis, B.A., Pagliolico, S., "Metakaolin as pozzolanic micro filler for high-performance mortars", *Cement and Concrete Research*, 28 (6), pp. 803–809, (1998).
12. Poon, C.S., Lam, L., Kou, S.C., Wong, Y.L., Wong, R., "Rate of pozzolanic reaction of metakaolin in high-performance cement pastes", *Cement and Concrete Research*, 31, pp. 1301–1306, (2001).
13. Potgieter-Vermaak, S.S., Potgieter, J.H., "Metakaolin as an extender in South African cement", *Journal of Materials in Civil Engineering*, 18 (4), pp. 619–623, (2006).
14. Qian, X., Li, Z., "The relationships between stress and strain for high-performance concrete with metakaolin", *Cement and Concrete Research*, 31, pp. 1607–1611, (2001).
15. Boddy, A., Hooton, R.D., Gruber, K.A., "Long-term testing of the chloride-penetration resistance of concrete containing high-reactivity metakaolin", *Cement and Concrete Research*, 31 (5), pp. 759–765, (2001).
16. Batis, G., Pantazopoulou, P., Tsivilis, S., Badogiannis, E., "The effect of metakaolin on the corrosion behavior of cement mortars", *Cement and Concrete Composites*, 27, pp. 125–130, (2005).
17. Shekarchi, M., Bonakdar, A., Bakhshi, M., Mirdamadi, A., Mobasher, B., "Near Transport properties in metakaolin blended concrete", *Construction and Building Materials*, (2010). (In press)
18. BS 1881-116, "Testing concrete Method for determination of compressive strength of concrete cubes", (1983).
19. ASTM C642-97, "Standard test method for density, absorption, and voids in hardened concrete", (1997).
20. RILEM CPC-11.2, "Absorption of water by concrete by capillarity", (1994).
21. ACI 222, "Protection of Metals in Concrete Against Corrosion", (2001).
22. Kollek, J.J., "The determination of the permeability of concrete to oxygen by the Cembureau method – a recommendation", *Mater. Struct.*, 22(129), pp. 225–230, (1989).
23. RILEM TC 116-PCD, "Tests for gas permeability of concrete – preconditioning of concrete test specimens for the measurement of gas permeability and capillary absorption of water – measurement of the gas permeability of concrete by the RILEM – CEMBUREAU method – determination of the capillary absorption of water of hardened concrete", (1999).

کاربرد الگوی WAF در شبیه‌سازی عددی امواج غلتاشی*

علی مهدوی^(۱)ناصر طالب بیدختی^(۲)

چکیده در این مقاله الگوی شار متوسط وزن دار (WAF) برای حل معادلات غیر خطی آب کم عمق و بررسی تکامل و انتشار امواج غلتاشی در آبراهه های با شیب تند به کار رفته است. در حقیقت این الگو دقت شارهای محاسبه شده توسط روش کلاسیک HLL را افزایش می دهد. همچنین الگوی WAF علاوه بر توانایی شبیه‌سازی ناپیوستگی های مرتبط با امواج غلتاشی، یک رهیافت قوی برای از بین بردن تاپاپاداری های عددی ناشی از عمق ناچیز آب، که معمولاً در شبیه‌سازی امواج غلتاشی مشاهده می شوند، ارائه می نماید. نیز رخ های محاسبه شده عمق آب و سرعت جریان تطبیقی رضایت‌بخش را با حل تحلیلی موجود نشان می دهند. نتایج عددی مربوط به تکامل زمانی دامنه موج برای جریان-هایی با اعداد فرود مختلف با آنچه که از یک مدل دیگر به دست می آید، مقایسه شده‌اند. همچنین مقایسه هایی میان نتایج این دو مدل برای تاریخچه‌ی زمانی عمق آب صورت پذیرفته است. تطبیق مشاهده شده، از کارایی و دقت الگوی پیشنهادی در مدل‌سازی امواج غلتاشی حکایت می کند و این در حالیست که الگوی حاضر در پیاده‌سازی رایانه‌ای ساده‌تر است و به زمان اجرایی کوتاه‌تر نیاز دارد.

واژه‌های کلیدی معادلات غیرخطی آب کم عمق، موج غلتاشی، الگوی تسخیر شوک، شار متوسط وزن دار.

Application of WAF Method in Numerical Simulation of Roll Waves

A. Mahdavi

N. Talebbeydokhti

Abstract In this paper, the weighted average flux (WAF) method is used to investigate the development and propagation of roll waves in inclined steep channels. In fact, the WAF method improves the accuracy of the classic HLL scheme in evaluating numerical interface fluxes. The present shallow water solver is capable of efficiently capturing flow discontinuities associated with roll waves. In addition, it provides a robust approach to eliminate the numerical instabilities due to small water depths usually encountered in roll wave modeling. The simulated free surface profile and flow velocity show very satisfactory agreement with available analytical solution. The numerical results for time evolution of wave amplitude under different undisturbed Froude numbers are compared with those obtained by another numerical model. Comparisons are also made between water depth time histories computed by these two models. The observed agreement implies the efficiency and accuracy of the present scheme while it is relatively simpler in computer implementation and consumes shorter simulation run times.

Keywords Nonlinear shallow water equations, roll wave, shock capturing scheme, weighted average flux

★ تاریخ دریافت مقاله ۹۰/۷/۲۵ و تاریخ پذیرش آن ۹۱/۱۰/۲۴ می باشد.

(۱) نویسنده‌ی مسؤول، دانشجوی دکتری، بخش مهندسی راه، ساختمان و محیط زیست، دانشکده مهندسی، دانشگاه شیراز.

(۲) استاد بخش مهندسی راه، ساختمان و محیط زیست، دانشکده مهندسی، دانشگاه شیراز.

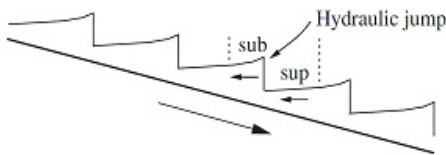
غلتشی در موارد گوناگون دیگری نظری جریان چند فازی [4]، جریان گل [5] و جریان در مجاري کشسان مانند جریان هوا و خون در رگ [6]، رخ می‌دهند.

بخش عمده‌ای از تحقیقات مرتبط با امواج غلتشی به تعیین شرایط لازم برای شکل‌گیری امواج غلتشی اختصاص یافته است. رهیافت اساسی در این زمینه عبارت است از بررسی پایداری یک جریان یکنواخت بر روی شیب ثابت که اغتشاشی بر سطح آزاد آن اعمال گردیده است. در مطالعات پیشین، با حل معادلات ناویر-استوکس برای جریان لایه‌ای و اعمال اغتشاشات سینوسی بر سطح آزاد جریان، عدد فرود آستانه برای رخداد موج غلتشی در حدود $F_0 = 0.5$ تعیین شده است [7]. هم‌چنین برای جریان‌های آشفته، با در نظر گرفتن یک آبراهه‌ی عریض، توزیع سرعت یکنواخت و ضریب اصطکاک ثابت، عدد فرود آستانه‌ی رخداد موج غلتشی برابر با $F_0 = 2$ به دست می‌آید [9].

باید توجه داشت که رخداد امواج غلتشی به وجود اصطکاک در مقابل جریان بستگی دارد و در صورت عدم وجود اصطکاک موج غلتشی شکل نمی‌گیرد [10]. هم‌چنین می‌توان شرایط لازم برای تشکیل این امواج را بر مبنای مقاومت جریان به دست آورد [11]. با این وجود امواج غلتشی بر روی بسترها بسیار نامنظم به وجود نمی‌آیند [12]. به بیان دیگر مقاومت بیش از حد جریان مانع از شکل‌گیری امواج غلتشی می‌گردد به طوری که برای تشکیل امواج غلتشی بایستی مقاومت جریان از یک مقدار مشخص کمتر باشد [13]. شایان ذکر است پدیده‌ی امواج غلتشی می‌تواند پتانسیل فرسایش خاک را افزایش دهد. دلیل این امر تغییرات زمانی و مکانی جریان در خلال رخداد چنین امواجی گزارش شده است [14,15].

مقدمه

با در نظر گرفتن جریانی یکنواخت بر روی بستر دارای اصطکاک در یک مجرای باز شیبدار، هنگامی که عدد فرود این جریان دست‌نخوردی یکنواخت از مقدار مشخصی بیشتر شود، ناپایداری‌هایی در سطح آزاد جریان رخ می‌دهد. تحت چنین شرایطی چنانچه یک اغتشاش کوچک به جریان دائم یکنواخت اعمال گردد، در نهایت مجموعه‌ای از امواج شکننده یا اُشتراك (bore) در الگویی پلهمانند در جریان به وجود می‌آید. این الگوی ناپیوسته‌ی متناوب به امواج غلتشی (waves) موسوم است. امواج غلتشی با سرعت ثابت و تغییرات متوالی رژیم جریان منتشر می‌شوند. جریان فوق بحرانی با گذر از یک پرش هیدرولیکی در یک چارچوب متحرک با سرعت یکنواخت به جریان زیر بحرانی تبدیل می‌شود (شکل ۱). به بیان دیگر از دیدگاه ناظری متحرک که با سرعت موج غلتشی به سمت پایین دست جریان حرکت می‌نماید، نیمرخ موج با تغییرات متوالی جریان فوق بحرانی به زیر بحرانی همراه است. این در حالیست که از دیدگاه یک ناظر ثابت، جریان در سراسر آبراهه‌ی فوق بحرانی می‌باشد. امواج غلتشی به صورت معمول در مجاري ساخته-ی دست انسان نظیر آبراهه‌ها و سرریزها به وجود می‌آیند. این امواج در فلومهای آزمایشگاهی نیز تولید شده‌اند [1]. رخداد چنین امواجی علامت این است که تغییرات در جریان و عمق آب می‌تواند قابل توجه باشد. هم‌چنین وجود امواج غلتشی ممکن است سبب سرریزی از کناره‌های آبراهه گردد. این امر مشکلاتی عملی برای مهندسان هیدرولیک به همراه دارد [2]. هرچند امواج غلتشی اغلب در مجاري مصنوعی رخ می‌دهند، این امواج در جریان‌های طبیعی نیز دیده شده‌اند که از آن جمله می‌توان به آبراهه‌های یخی، جریان‌های ثقلی در آزمایشگاه، اقیانوس و دریاچه‌ها اشاره نمود [3]. علاوه بر این، اغتشاشات شبیه به امواج



شکل ۱ انتشار امواج غلتشی در یک آبراهه که با تغییرات متوالی جریان از حالت فوق بحرانی (sup) به حالت زیر بحرانی (sub) در یک چارچوب متحرك از طریق ایجاد پرش هیدرولیکی همراه است [20]

جریان یافته بر بستر شبیه‌سازی مطالعه نمود [19]. این محقق با به کارگیری روش تفاضل محدود برای حل معادلات حاکم، تکامل خطی و غیرخطی اغتشاش اولیه را بررسی نمود. (Que and Xu) (2006) با ارائه‌ی یک مدل حجم محدود که در آن از الگوی موسوم به (Bhatnagar, Gross and Krook) (BGK) برای حل معادلات آب کم عمق استفاده شده بود، به بررسی شکل‌گیری و تکامل امواج غلتشی پرداختند [20]. با وجود توانایی الگوی BGK در شبیه‌سازی جریان‌های مختلف، این الگوی عددی در پیاده‌سازی رایانه‌ای پیچیده است و در مقایسه با الگوی مورد استفاده در این مطالعه به زمان اجرای طولانی تری نیاز دارد.

در این مقاله پس از تشریح معادلات حاکم، جزئیات روش عددی مورد استفاده برای تخمین شار عددی و چگونگی پیاده‌سازی عبارت چشمی در مدل عددی به تفصیل ارائه می‌گردد. در ادامه پس از بیان معیار ناپایداری جریان و شرایط اولیه و مرزی برای شبیه‌سازی موج غلتشی، با طرح یک آزمون کلاسیک شکست سد و مقایسه‌ی نتایج با حل تحلیلی موجود، توانایی مدل در شبیه‌سازی یک جریان ناپیوسته مورد ارزیابی قرار می‌گیرد. هم‌چنین مقایسه‌ای از نتایج مدل عددی و حل تحلیلی برای یک موج غلتشی ارائه خواهد گردید. آنچه کمتر در متون علمی پیشین مورد توجه قرار گرفته است چگونگی شکل‌گیری نیم رخ سطح آزاد در حالات آستانه‌ی رخداد و عدم رخداد موج غلتشی می‌باشد. بهمین منظور این پدیده‌ها در انتهای این نوشتار بررسی خواهند شد.

به احتمال قوی Thomas اولين محققى بود که امواج غلتشى بزرگ دامنه (large-amplitude) به صورت تحليلى توصيف نمود [16]. وي با در نظر گرفتن يك موج متناوب با شكل و سرعت ثابت، به توليد نظرى نيم رخني شيه به نيم رخ امواج غلتشى Dressler پرداخت. بر مبنای ايده‌ي بنیادين اين محقق، حلی بسته برای امواج غلتشى دائمی در يك آبراهه‌ي عريض با اصطکاك ثابت ارائه داد [13]. پس از آن Brock به توسعه‌ي يك مدل نظری بر مبنای معادلات غير خطی آب کم عمق (nonlinear shallow water equations) پرداخت [17]. اين معادلات که بر فرض توزيع فشار هيدرو استاتيك و سرعت متوسط‌گيری شده در عمق استوارند برای شيه‌سازی جريان‌هايی که در آن بعد عمودی جريان از بعد افقی آن بسيار کوچک‌تر است، به کار مى‌روند. تاکنون محققان بسياري بر پايه‌ي اين معادلات به بررسی جنبه‌های مختلف شکل‌گيری و انتشار امواج غلتشى، پرداخته‌اند.

Liu و همکاران (۲۰۰۵) به کمک معادلات غیرخطی (rill flow) آب کم عمق به برسی جریان شیاری [18]. این محققان بر مبنای کارهای گذشته پرداختند [18]. این محققان بر مبنای کارهای گذشته [17, 13] و با فرض برابری عمق متوسط جریان و عمق جریان یکنواخت، ضمن ارائه روابطی برای نیمرخ و سرعت موج نشان دادند که پدیدار شدن امواج غلتشی، افزایش تنش برشی جریان را به همراه دارد و از همین روی سبب تسریع فرآیند فرسایش خاک و تولید شیارهایی در سطح خاک می‌گردد. Bohorquez (2007) در چارچوب معادلات غیرخطی آب کم عمق، شکل‌گیری امواج غلتشی در سیلاپ‌های

که در آن Δx اندازه‌ی سلول محاسباتی و Δt گام زمانی می‌باشد. پایین نوشت Δ معرف مرکز سلول محاسباتی i (x_i) و بالا نوشت‌های $n+1$ و n به ترتیب نشان‌دهنده‌ی گام‌های زمانی معلوم و مجہول می‌باشند. $F_{i+1/2}$ و $F_{i-1/2}$ نیز که به شارهای بین سلولی موسوم‌مند، به ترتیب به شار عددی در نقاط $x = x_{i+1/2}$ (مرز بین سلول‌های i و $i+1$) و $x = x_{i-1/2}$ (مرز بین سلول‌های $i-1$ و i) اشاره می‌نمایند. در قسمت بعد به چگونگی تخمین این شارهای عددی پرداخته می‌شود.

الگوی شار متوسط وزن‌دار برای معادلات آب

کم عمق

تاکنون برای حل عددی دستگاه معادلات پایستار روش‌های گوناگونی طراحی شده و به کار رفته است. این روش‌ها عموماً در قالب روش‌های اجزای محدود، المان محدود و حجم محدود طبقه‌بندی می‌شوند. از این میان، روش حجم محدود از آن جایی که در حل جریان‌های ناپیوسته به عبارت‌های اضافی نظری لزجت مصنوعی نیاز ندارد و خاصیت پایستاری معادلات را به خوبی حفظ می‌نماید از مقبولیت بیشتری برخوردار است.

روش‌های گودانف (Godunov methods) که با حل مسئله‌ی ریمان در مرز هر سلول همراه می‌باشند و از جهات انتشار موج برای تخمین شار بین سلولی بهره می‌برند، یکی از مهم‌ترین زیرمجموعه‌های روش حجم محدود به شمار می‌روند. Brook و همکاران (1999) ضمن استفاده از روش گودانف برای حل جریان در لوله‌های تغییر‌شکل پذیر نشان دادند نتایج حاصل در مقایسه با الگوی تفاضل محدود مک‌کورمک (MacCormack) از دقت بیشتری برخوردار است [22].

در این مطالعه برای تخمین شار عددی از الگوی Weighted Average (WAF) شار متوسط وزن‌دار (Flux) که روشنی از نوع گودانف است و یک حل کننده

معادلات حاکم

معادلات آب کم عمق دارای کاربردهای وسیعی در مهندسی هیدرولیک و مهندسی سواحل می‌باشد. این معادلات که در واقع قوانین بقای جرم و اندازه حرکت را بیان می‌کنند، تاکنون در شبیه‌سازی پدیده‌هایی نظری امواج جذر و مد در مصب‌ها و آبهای ساحلی، انتشار امواج اُشتراک، انتشار و بالاروی امواج بلند، پرش هیدرولیکی ایستا و جریان رودخانه و مجاری باز، با موفقیت به کار گرفته شده‌اند. معادلات آب کم عمق در حالت پایستار (conservative form) و یک‌بعدی به

شكل زیر نوشته می‌شوند:

$$\frac{\partial V}{\partial t} + \frac{\partial F(V)}{\partial x} = S(V) \quad (1)$$

رابطه‌ی فوق در واقع دستگاهی از معادلات غیرخطی هذلولوی بوده که در آن V بردار متغیرهای پایستار، $F(V)$ بردار شار (flux vector) و $S(V)$ عبارت چشم‌مه (source term) نامیده می‌شوند:

$$V = \begin{bmatrix} h \\ hu \end{bmatrix}, \quad F(V) = \begin{bmatrix} hu \\ hu^2 + \frac{1}{2}gh^2 \end{bmatrix}, \\ S(V) = \begin{bmatrix} 0 \\ ghS_0 - C_f u^2 \end{bmatrix}. \quad (2)$$

در رابطه‌ی فوق g شتاب گرانش، x مختصات افقی، t زمان، $h=h(x,t)$ عمق آب، S_0 شیب بستر، $u=u(x,t)$ سرعت افقی متوسط‌گیری شده در عمق و C_f ضریب اصطکاک بستر می‌باشند [20]. معادله‌ی (1) تحت عنوان صورت دیفرانسیلی معادلات بقای جرم و بقای اندازه‌ی حرکت شناخته می‌شود و استفاده از آن تنها در مواردی که جواب‌ها هموار می‌باشند، صحیح است. هنگامی که یک ناپیوستگی در جریان وجود دارد، پایستی از حالت انتگرالی معادلات استفاده شود. معادله‌ی (1) پس از انتگرال‌گیری در حجم کنترل به صورت زیر قابل بیان است [21]:

$$\frac{V_i^{n+1} - V_i^n}{\Delta t} = -\frac{F_{i+1/2} - F_{i-1/2}}{\Delta x} + S_i \quad (3)$$

با تعریف عدد کورانت موج k به شکل $c_k = S_k \Delta t / \Delta x$ که در آن سرعت موج k می‌باشد، برای وزن‌های w_k می‌توان نوشت:

$$w_k = \frac{1}{2}(c_k - c_{k-1}), \quad c_0 = -1, \quad c_{N+1} = 1 \quad (8)$$

در روابط (۸) و (۷)، N تعداد معادلات پایستار (برای دستگاه معادلات یک بعدی آب کم عمق) و $F_{i+1/2}^{(k)}$ بیانگر شار عددی در بازه k به طول $w_k \Delta x$ است (شکل ۲). با اعمال شرط موسوم به Total Variation (TVD) (Diminishing)، که متضمن جوابی عاری از نوسان غیر فیزیکی در نزدیکی نواحی ناپیوسته جریان است، رابطه (۷) به شکل زیر بازنویسی می‌گردد [21]:

$$F_{i+1/2}^{\text{TVD-WAF}} = \frac{1}{2}(F_i + F_{i+1}) - \frac{1}{2} \sum_{k=1}^N \text{sign}(c_k) \varphi_{i+1/2}^{(k)} \Delta F_{i+1/2}^{(k)} \quad (9)$$

که در آن $\text{sign}(\cdot)$ به تابع علامت اشاره می‌نماید. با تعریف شارهای $F_{i+1/2}^{(2)} = F(V^*)$ ، $F_{i+1/2}^{(1)} = F(V_L)$ و $F_{i+1/2}^{(3)} = F(V_R)$ ، پرس در شار عددی به شکل $\Delta F_{i+1/2}^{(k)} = F_{i+1/2}^{(k+1)} - F_{i+1/2}^{(k)}$ محاسبه می‌شود. در رابطه (۹)، $\varphi_{i+1/2}^{(k)}$ تابع محدود کننده شار جهت اعمال شرط TVD می‌باشد که با اعمال مقدار مناسب استهلاک عددی به الگوی WAF، یکنواهی (monotonicity) حل در نواحی دارای گرادیان زیاد را تضمین می‌نماید. تاکنون انتخاب‌های گوناگونی برای تابع محدود کننده شار پیشنهاد شده است [21]. در مطالعه‌ی حاضر از محدودکننده موسوم به SUPERBEE استفاده شده است:

$$\varphi_{i+1/2}^{(k)} = 1 - (1 - |c_k|) \max[0, \min(1, 2r^{(k)}), \min(2, r^{(k)})] \quad (10)$$

تقریبی مسئله‌ی ریمان به شمار می‌رود، استفاده گردیده است. بر اساس این الگو، شار عددی در مرز هر سلول به صورت ترکیبی وزن‌دار از شارهای مرکزی سلول‌های چپ و راست مرز و شار در ناحیه‌ی میانی موسوم به ناحیه‌ی ستاره تخمین زده می‌شود (شکل ۲). شار عددی در ناحیه‌ی ستاره $(V^*, F(V^*))$ ، با استفاده از حل Harten, Lax (HLL) (and van Leer) می‌شود. مز و سرعت امواج به صورت زیر محاسبه می‌شود.

$$F(V^*) = \frac{S_R F(V_L) - S_L F(V_R) + S_R S_L (V_R - V_L)}{S_R - S_L} \quad (4)$$

که در آن $V_i = V_L = V_{i+1}$ و $S_L = S_{i+1}$ هم‌چنین S_R به ترتیب به سرعت موج در سمت چپ و راست مرز $i+1/2$ اشاره می‌کنند. برای تخمین این سرعت‌ها از روابط زیر استفاده می‌شود [23]:

$$S_R = \max(u_R + \sqrt{gh_R}, u^* + \sqrt{gh^*})$$

$$S_L = \min(u_L - \sqrt{gh_L}, u^* - \sqrt{gh^*}) \quad (5)$$

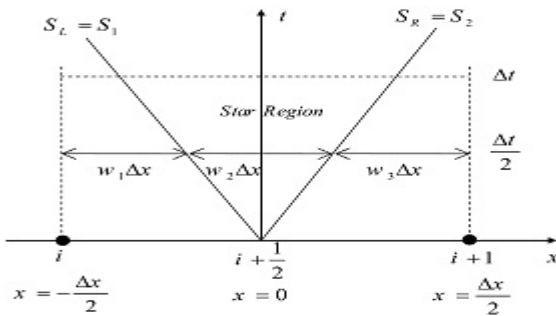
در عبارات فوق h^* و u^* به ترتیب مقادیر عمق و سرعت جریان در ناحیه ستاره می‌باشند که به صورت زیر قابل محاسبه‌اند:

$$h^* = \frac{1}{g} \left[\frac{1}{2} (\sqrt{gh_L} + \sqrt{gh_R}) + \frac{1}{4} (u_L - u_R) \right]^2$$

$$u^* = \frac{1}{2} (u_L + u_R) + \sqrt{gh_L} - \sqrt{gh_R} \quad (6)$$

برای ساختاری شبیه به آنچه در شکل (۲) نشان داده شده است، شار WAF در مرز $i+1/2$ به صورت زیر قابل بیان است [21]:

$$F_{i+1/2}^{\text{WAF}} = \sum_{k=1}^{N+1} w_k F_{i+1/2}^{(k)} \quad (7)$$



شکل ۲ ساختار الگوی WAF در مرز سلول محاسباتی برای حل معادلات یکبعدی آب کم عمق

از سه معادله‌ی مقدار اولیه است در الگوی متواالی حل

می‌گردد.

$$\begin{aligned} \text{ODEs: } & \frac{dV}{dt} = S(V) \\ \text{ICs: } & V^n \\ \text{PDEs: } & \frac{\partial V}{\partial t} + \frac{\partial F}{\partial x} = 0 \\ \text{ICs: } & V^{(1)} \end{aligned} \left. \begin{array}{l} \xrightarrow{\Delta t'} V^{(1)} \\ \xrightarrow{\Delta t} V^{(2)} \end{array} \right\} \quad (12)$$

$$r^{(k)} = \begin{cases} \frac{\Delta h_{i-1/2}^{(k)}}{\Delta h_{i+1/2}^{(k)}} & \text{for } c_k > 0, \\ \frac{\Delta h_{i+3/2}^{(k)}}{\Delta h_{i+1/2}^{(k)}} & \text{otherwise.} \end{cases} \quad (11)$$

در رابطه‌ی فوق، $\alpha = -\frac{1}{2}, \frac{1}{2}, \frac{3}{2}$ در متغیر h در خلال موج k می‌باشد [21]. شایان ذکر است که روش WAF با اعمال اندازی تغییر در سرعت‌های موج، به راحتی برای مسائلی که بخشی از ناحیه‌ی محاسباتی در ابتدا یا در خلال محاسبات خشک می‌باشد، قابل استفاده است. به عنوان نمونه می‌توان از این روش برای شبیه‌سازی مرز متحرک خط ساحلی و مطالعه‌ی پدیده‌های انتشار و بالاروی امواج منفرد بهره جست [24].

که در آن $\Delta t/2 = \Delta t'$ می‌باشد. فرآیند حل سه مرحله‌ای دستگاه فوق بدین نحو قابل تشریح است: در مرحله‌ی اول با استفاده از مقادیر جریان در گام زمانی قبل به عنوان شرط اولیه، یک معادله‌ی دیفرانسیل معمولی که در برگزینده‌ی عبارت چشممه است، حل می‌گردد و شرط اولیه الگوی WAF به دست می‌آید. خروجی الگوی WAF در مرحله‌ی دوم، به عنوان شرط اولیه در مرحله سوم برای حل معادله‌ی نظری مرحله‌ی اول اعمال می‌گردد تا مقدار متغیرهای جریان در گام جدید زمانی حاصل شود. به طور خلاصه این فرآیند حل به شکل $V^{n+1} = A^{(\Delta t')} H^{(\Delta t')} A^{(\Delta t')} V^n$ نیز قابل بیان است که در آن A و H به ترتیب عملگر عبارت چشممه و عملگر معادله‌ی همگن نامیده می‌شوند. در مطالعه‌ی کوتاهی از الگوی انتگرال‌گیری ذوزنقه‌ای برای حل معادلات چشممه (مراحل اول و سوم) استفاده

پیاده‌سازی عبارت چشممه در الگوی عددی

آنچه در بخش پیشین به تفصیل بیان گردید، تنها برای صورت همگن معادلات آب کم عمق (یعنی $S(V) = 0$) قابل استفاده است. در حضور عبارت چشممه، می‌توان الگوی WAF را بدون تغییر به کار برد به شرطی که عبارت چشممه طی یک یا چند گام جداگانه انتگرال‌گیری، وارد محاسبات گردد [21, 24]. در مطالعه‌ی حاضر برای دست‌یابی به دقت مرتبه‌ی دوم در زمان، دستگاه معادلات زیر که متشکل

$$S_0 > 4C_f \quad (16)$$

رابطه فوق که نشان دهندهٔ شرایط ناپایدار جریان است، در حقیقت بیانگر عدول از معیار پایداری جریان یکنواخت ($2\sqrt{gh_0} \leq u_0$) می‌باشد. این معیار براساس تحلیل خطی پایداری استوار است.

شرایط اولیه و مرزی برای شبیه سازی امواج غلتی

همان‌طور که قبلاً اشاره شد امواج غلتی با اعمال یک اغتشاش به جریان ناپایدار به وجود می‌آیند. با در نظر گرفتن شکل سینوسی برای این اغتشاش، شرایط اولیهٔ عمق جریان عبارت است از:

$$h(x, 0) = h_0 [1 + \varepsilon \sin(k_w x)] \quad (17)$$

که در آن k_w به حاصل ضرب عدد موج (wavenumber) در عدد 2π اشاره می‌نماید و ε عامل بزرگ‌نمایی (amplification factor) اغتشاش اولیهٔ می‌باشد که برابر است با نسبت دامنهٔ اغتشاش به عمق جریان اولیهٔ یکنواخت. در محاسبات صورت پذیرفته در این تحقیق عامل بزرگ‌نمایی برابر با 0.05% عمق اولیهٔ جریان یکنواخت در نظر گرفته شده است به عبارت دیگر $\varepsilon = 0.005$ می‌باشد. همچنان سرعت اولیهٔ جریان به شکل زیر اعمال می‌شود [20]:

$$u(x, 0) = u_0 + r_p \varepsilon \sin(k_w x + \theta_p) \quad (18)$$

که در آن دو متغیر θ_p اختلاف فاز میان عمق و سرعت اغتشاش و ضریب r_p ، هر دو توابعی از سرعت اولیهٔ جریان یکنواخت و عدد موج و فرکانس زاویه‌ای اغتشاش می‌باشند [20]. در مدل عددی، شرایط مرزی در دو انتهای چپ و راست دامنهٔ محاسباتی به صورت دوره‌ای (periodic) در نظر گرفته شده است. بر این اساس در هر لحظه مقادیر متغیرهای جریان در دو مرز انتهایی با یکدیگر برابر می‌باشد. به عبارت دیگر:

گردیده است. این عملگر ضمنی دارای دقتی از مرتبهٔ دو است و برای معادلهٔ مرحله‌ی اول با رابطهٔ زیر داده می‌شود (پیوست الف):

$$\left[I - \frac{\Delta t'}{2} \left(\frac{\partial S(V)}{\partial V} \right)_i^n \right] \Delta V_i = \Delta t' S(V_i^n) \quad (13)$$

که در آن I ماتریس واحد است و $V_i^{(1)} - V_i^n$ معرف پرش در متغیرهای پایستار می‌باشد. عبارت $\partial S(V)/\partial V$ در سمت چپ رابطهٔ فوق بیانگر ماتریس ژاکوبین بردار چشمی می‌باشد.

معیار پایداری محاسبات

از آنجایی که الگوی WAF، الگوی صریح می‌باشد، پایداری محاسبات با اعمال معیار کورانت-فردریش-لویی (CFL) بر مقدار گام زمانی تأمین می‌شود.

$$\Delta t = C_n \min_i \frac{\Delta x}{|u_i| + \sqrt{gh_i}}, \quad 0 < C_n \leq 1 \quad (14)$$

که در آن C_n عدد CFL می‌باشد. رابطهٔ فوق بیان می‌کند که در یک گام زمانی موج نباید مسافتی بیش از طول یک گام مکانی را طی کند.

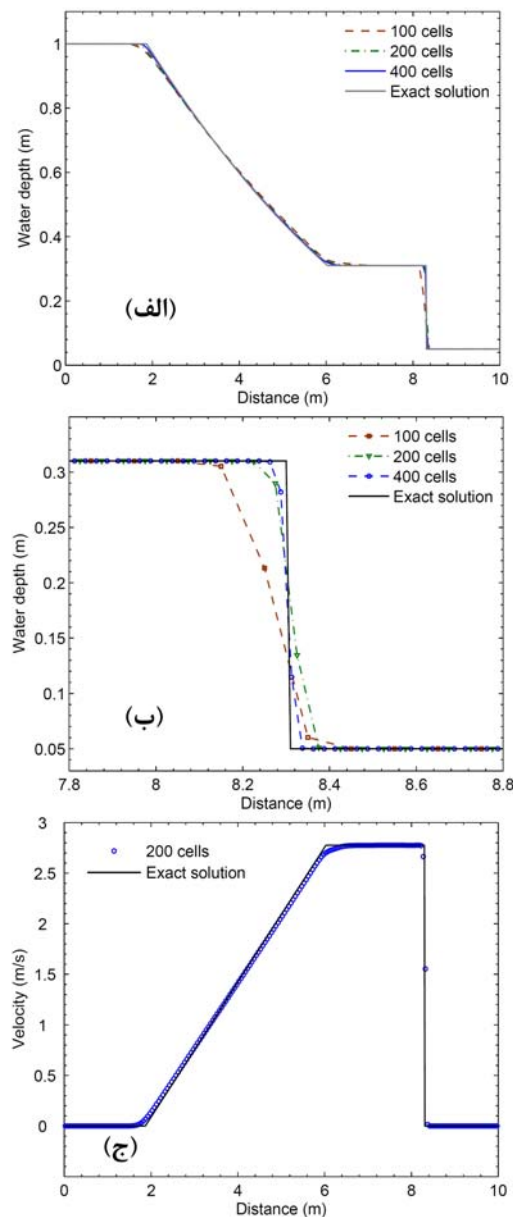
شرایط هیدرولیکی جریان ناپایدار

حل جریان یکنواخت به صورت $h = h_0$ و $u = u_0$ برای معادلات غیر خطی آب کم عمق از توازن میان نیروهای گرانش و اصطکاک بر روی یک شیب ثابت حاصل می‌شود به نحوی که:

$$gh_0 S_0 = C_f u_0^2 \quad (15)$$

امواج غلتی معمولاً بر روی آبراهه‌های دارای شیب تندری با عدد فرود جریان بزرگ‌تر از $2(\sqrt{gh_0} > u_0)$ اتفاق می‌افتد [1]. این موضوع با توجه به رابطهٔ (15) به شکل زیر قابل بیان است.

افزایش دقت مدل با زیاد شدن تعداد سلول‌های محاسباتی به روشی قابل مشاهده است. همچنین نتایج شبیه‌سازی سرعت جریان در زمان $t = 1.0 \text{ s}$ در شکل (۳-ج) با جواب تحلیلی مقایسه شده است. تطابق میان نتایج این آزمون و حل تحلیلی، تأکیدی بر ویژگی تسخیر شوک مدل ارائه شده می‌باشد.



شکل ۳ (الف): نیمرخ طولی موج ناشی از شکست سد، ب: جریانات جبهه‌ی موج، ج: سرعت جریان در زمان $t = 1.0 \text{ s}$

$$V(x_L, t) = V(x_R, t) \quad (19)$$

که در آن x_L و x_R به ترتیب به مختصات مرزهای چپ و راست ناحیه‌ی حل اشاره می‌نمایند. در تحقیقی Zanuttigh and Lamberti (2002) به کمک روش WAF به مطالعه‌ی امواج غلتاشی پرداختند [25]. مدل این محققان به داده‌های سرعت و دامنه‌ی موج غلتاشی به عنوان شرط مرزی بالادست نیازمند می‌باشد و این در حالی است که مدل توسعه یافته در مطالعه‌ی حاضر با توجه به شرط مرزی اعمالی رابطه‌ی (۱۹) به داده‌های یادشده نیازی ندارد و این شرط مرزی با خاصیت دوره‌ای امواج غلتاشی هم خوانی دارد.

نتایج و بحث

شکست سد. بررسی امواج ناشی از شکست سد، یک مسئله‌ی بسیار جالب نظری و در عین حال کاربردی در مهندسی هیدرولیک می‌باشد. به عنوان اولین آزمون محاسباتی، الگوی عددی ارائه شده برای شبیه‌سازی امواج ناشی از شکست سد به کار می‌رود. در این مثال، آب ساکن بالادست به عمق $h_1 = 1.0 \text{ m}$ به وسیله‌ی یک دیواره‌ی قائم (سد) که در وسط کanalی به طول $L = 10 \text{ m}$ قرار دارد، از آب ساکن پایین دست به عمق $h_2 = 0.05 \text{ m}$ جدا می‌شود. در این حالت نسبت عمق آب پایین دست به بالادست برابر با $h_2/h_1 = 0.05$ می‌باشد و مرزهای چپ و راست دامنه‌ی محاسباتی با شرط مرزی غیر بازتابی (non-reflective) در مدل عددی گنجانده می‌شوند. در لحظه‌ی $t = 0$ دیواره به صورت ناگهانی برداشته می‌شود و یک موج اُشتراک به سمت پایین دست و یک موج منفی به سمت بالادست انتشار می‌یابند. مقایسه‌ی نتایج حاصل از شبیه‌سازی عددی برای نیمرخ سطح آزاد جریان در زمان $t = 1.0 \text{ s}$ با حل دقیق [21] در شکل (۳-الف) نشان می‌دهد که الگوی عددی ارائه شده به خوبی قادر به شبیه‌سازی ناپیوستگی عمق در جبهه‌ی اُشتراک می‌باشد. در شکل (۳-ب) روند

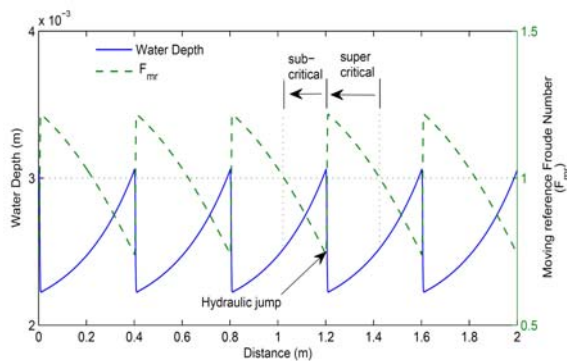
جريان فوق بحرانی قبل از پرش می‌انجامد. به همین منظور بایستی نیروی مخصوص بعد از پرش نیز افزایش یابد تا تعادل نیروی مخصوص (با احتساب نیروی اصطکاک بستر) برقرار گردد. بهروشی افزایش نیروی مخصوص بعد از پرش سبب می‌شود که جريان زیر بحرانی عمق بیشتر و عدد F_{mr} کمتری را تجربه نماید (در شکل ۷). همان‌گونه که نتایج نشان می‌دهد برای حالت آستانه رخداد موج غلتی، جريان از دیدگاه ناظر متحرک، بحرانی ($F_{mr}(\min) = F_{mr}(\max) = 1$) خواهد بود.

مقایسه‌ی تاریخچه‌ی زمانی عمق و سرعت جريان در وسط آبراهه ($x = 1.0 \text{ m}$) در شکل (۸) حاکی از تطابق رضایت‌بخش نتایج مدل حاضر با نتایج مدل [20] Que and Xu می‌باشد. هم‌چنین این محققان با فرض تغییرات نمایی دامنه‌ی اغتشاش، یک رابطه‌ی لگاریتمی برای رشد و زوال دامنه‌ی موج به‌دست آوردند که در محدوده‌ی خطی صادق است و لگاریتم طبیعی دامنه‌ی موج را به صورت تابعی خطی از زمان بیان می‌کند. با این وجود، با گذشت زمان و اهمیت یافتن اثرات غیرخطی، رشد دامنه‌ی موج کُند می‌گردد و در نهایت متوقف می‌شود. این موضوع در شکل (۹)، که لگاریتم طبیعی دامنه‌ی موج بر حسب زمان برای اعداد فرود مختلف را نشان می‌دهد، به خوبی نمایان است. شرایط جريان و اغتشاش درست مانند حالت قبل در نظر گرفته شده‌اند. در زمان‌های اولیه، تغییرات زمانی دامنه‌ی موج تطبیقی قابل قبول با رابطه‌ی تحلیلی ارائه شده در [20] نشان می‌دهد، حال آن‌که با گذشت زمان دامنه‌ی موج به مقدار ثابتی می‌رسد. بازه‌ی زمانی بروز رفتار خطی موج با کاهش عدد فرود جريان یکنواخت، طولانی‌تر می‌شود. برای فراهم آوردن امکان مقایسه در ناحیه‌ی غیرخطی، نتایج مدل BGK نیز در شکل (۹) آورده شده است. همان‌طور که مشاهده می‌شود هر دو مدل در پیش‌بینی دامنه‌ی موج تکامل‌یافته برای اعداد فرود مختلف جواب‌های یکسانی به‌دست داده‌اند.

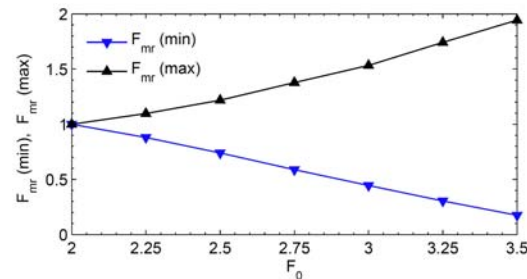
شبیه‌سازی موج غلتی

در این بخش الگوی عددی پیشنهادی برای مدل‌سازی استفاده قرار می‌گیرد. یک جريان دائم یکنواخت با شرایط $F_0 = 2.5$ ، $C_f = 0.006$ و $q_0 = 0.001 \text{ m}^2\text{s}^{-1}$ در لحظه‌ی $t = 0$ تحت اغتشاشی با مشخصات $k_w = 10\pi$ و $\epsilon = 0.005$ قرار دارد. شبیه‌سازی با رابطه‌ی (۱۵) برابر با $S_0 = 0.0375$ محاسبه گردیده و دامنه‌ی محاسباتی به طول $L = 2.0 \text{ m}$ با اختصاص $x_L = 0$ و $x_R = 2.0 \text{ m}$ تعریف می‌شود. در شکل (۴)، تکامل این اغتشاش و روند شکل‌گیری موج غلتی در زمان‌های مختلف به تصویر کشیده شده است. پس از گذشت زمان موج به تکامل نهایی خود رسیده و قطار موج متشکل از پنج موج متوالی، بدون تغییر شکل با سرعت ثابت در طول آبراهه به پایین دست انتشار می‌یابد. نیم‌رخ این قطار موج و سرعت جريان در شکل (۵) با حل تحلیلی ارائه شده در [13] مقایسه شده‌اند. بیشینه خطای محاسباتی (یعنی: $\max(|h_{numerical} - h_{analytical}| / h_{analytical})$) در حضیض موج رخ می‌دهد و برابر با ۷٪ می‌باشد.

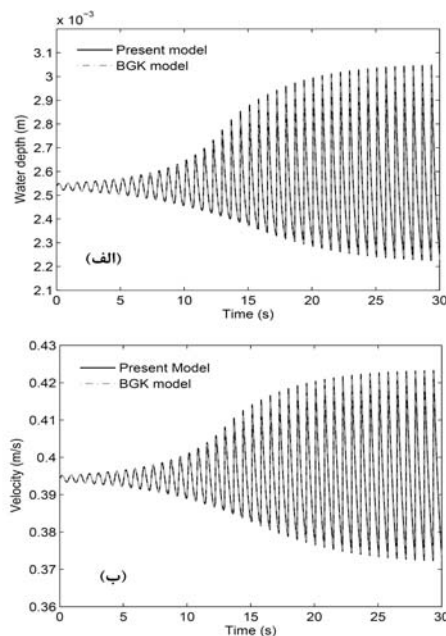
همان‌طور که در بخش مقدمه بیان شد، شکل‌گیری امواج غلتی با تغییرات متوالی رژیم جريان در طول آبراهه همراه است. تحت همان شرایط جريان و اغتشاش پیشین، چنانچه ناظری با سرعت موج غلتی با جريان حرکت نماید، عدد فرود جريان از دیدگاه وی مطابق با آن‌چه که در شکل (۶) به تصویر کشیده شده تغییر می‌نماید. تحت شرایط مذکور، سرعت ثابت حرکت موج غلتی برابر با $c = 0.55 \text{ ms}^{-1}$ می‌باشد. هم‌چنین نتایج نشان می‌دهد که با افزایش عدد فرود جريان اولیه F_0 ، عدد فرود از دیدگاه ناظر متحرک $F_{mr} = (c - u) / \sqrt{gh}$ در محدوده‌ی وسیع تری تغییر می‌نماید (شکل ۷). دلیل این امر این است که افزایش F_0 سبب افزایش F_{mr} فوق بحرانی ($F_{mr}(\max)$) در شکل (۷) و نیروی مخصوص (specific force) قبل از پرش هیدرولیکی می‌گردد و این عامل به کاهش عمق



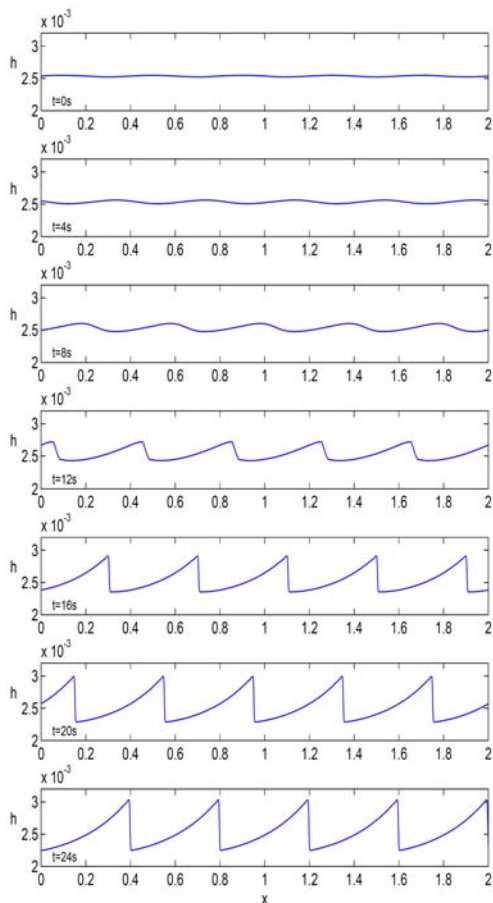
شکل ۶ نیم رخ موج غلتی و عدد فرود جریان محاسبه شده در چارچوب متحرک متصل به موج غلتی



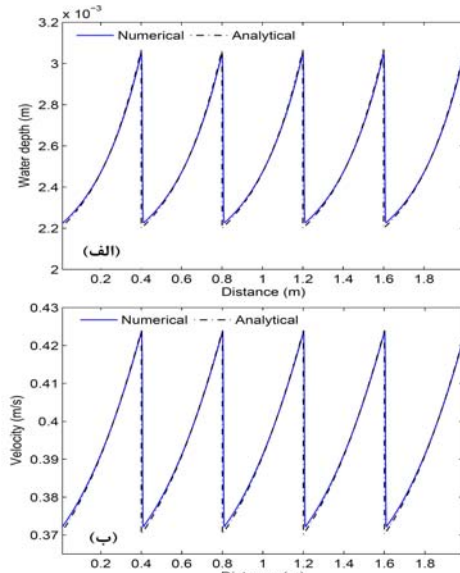
شکل ۷ بیشینه و کمینه عدد فرود جریان محاسبه شده در چارچوب متحرک متصل به موج غلتی به عنوان تابعی از عدد فرود جریان یکنواخت



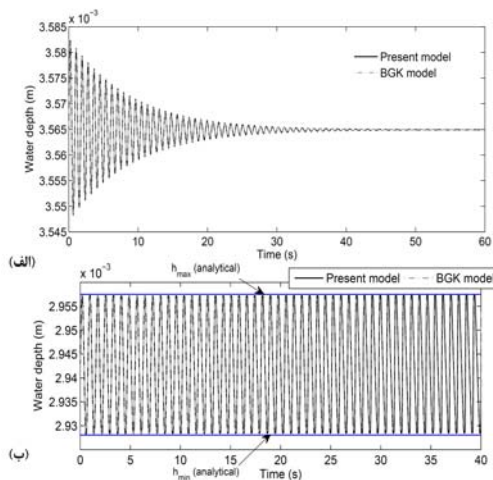
شکل ۸ مقایسه نتایج مدل عددی حاضر و الگوی BGK برای (الف): تاریخچه زمانی عمق جریان و (ب): تغییرات زمانی سرعت جریان در وسط آبراههای به طول $L = 2.0 \text{ m}$



شکل ۴ تکامل زمانی نیم رخ موج غلتی برای جریان و اغتشاشی با مشخصات: $q_0 = 0.001 \text{ m}^2 \text{s}^{-1}$, $F_0 = 2.5$, $\varepsilon = 0.005$, $k_w = 10\pi$, $C_f = 0.006$ حسب متر می باشد)



شکل ۵ مقایسه نتایج مدل عددی و حل تحلیلی [13] برای (الف): نیم رخ سطح آزاد و (ب): سرعت جریان در طول آبراهه

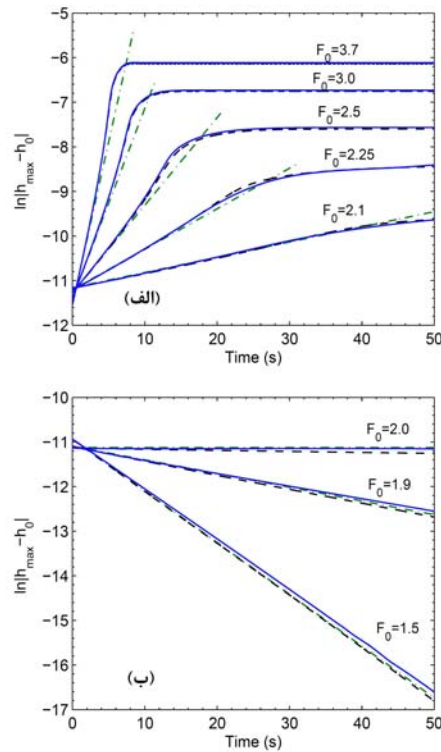


شکل ۱۱ مقایسه نتایج مدل حاضر و الگوی BGK برای

تاریخچه زمانی عمق جریان در وسط آبراهه. (الف):

$$F_0 = 2, F_0 = 1.5$$

در حالت حدی $F_0 = 2$ که آستانه‌ی رخداد موج غلتشی به شمار می‌رود، همان‌گونه که انتظار می‌رود هیچ‌گونه تغییری در دامنه‌ی موج شبیه‌سازی شده به وجود نیامده است. هم‌چنین برای اعداد فرود کوچک‌تر از این مقدار حدی، تغییرات دامنه‌ی موج نسبت به زمان دارای سیری نزولی می‌باشد. این زوال دامنه به همراه آستانه‌ی رخداد موج غلتشی در شکل (۱۰) در قالب نیمرخ‌های سطح آزاد جریان به تصویر کشیده شده‌اند. بهروشی در حالت $F_0 = 1.5$ ، همان‌طور که شرایط جریان پایدار ایجاب می‌نماید، دامنه‌ی اغتشاش با گذشت زمان مستهلك گشته و از بین رفته است (شکل ۱۰-الف). حال آن‌که برای $F_0 = 2$ ، هرچند تقارن اولیه‌ی موج تاحدودی دست‌خوش تغییر گردیده است (این موضوع در نتایج مدل BGK نیز دیده می‌شود)، نیمرخی با دامنه‌ی ثابت نسبت به زمان مشاهده می‌شود (شکل ۱۰-ب). برای حالات نشان داده شده در شکل (۱۰)، تغییرات زمانی عمق جریان در وسط آبراهه با آن‌چه که مدل BGK به دست داده است، در شکل (۱۱) مقایسه گردیده است. برای حالت $F_0 = 1.5$ این دو الگو زوال دامنه



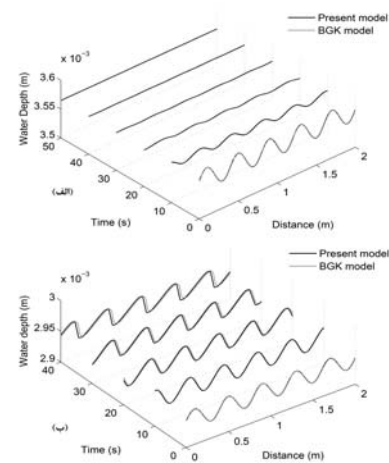
شکل ۹ الف و ب : لگاریتم طبیعی دامنه‌ی موج به عنوان تابعی از

زمان برای اعداد فرود مختلف و پارامترهای:

$$k_w = 10\pi, C_f = 0.006, q_0 = 0.001 \text{ m}^2 \text{s}^{-1}$$

و $\epsilon = 0.005$ []: مدل عددی حاضر، (—): رابطه‌ی

تحلیلی و (-): مدل عددی [BGK]



شکل ۱۰ نیمرخ سطح آزاد در طول آبراهه به صورت تابعی از

زمان و مقایسه آن با مدل BGK. (الف): اضمحلال اغتشاش

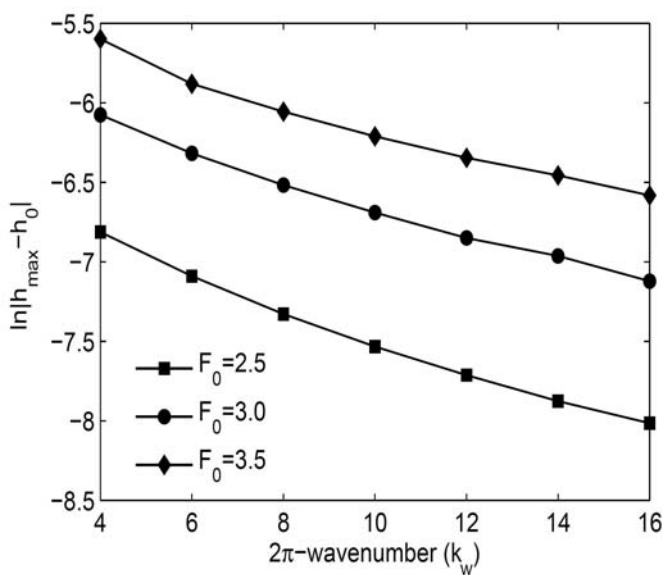
برای $F_0 = 1.5$ و (ب): آستانه‌ی رخداد موج غلتشی در

$$F_0 = 2$$

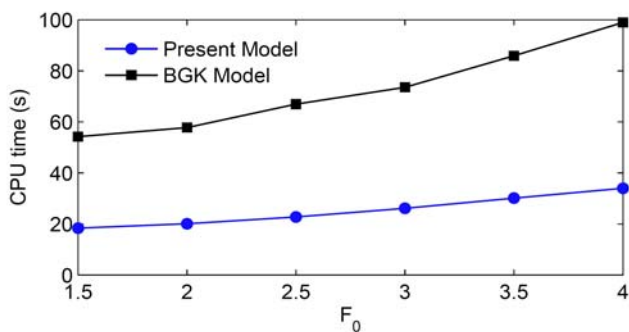
Lukáčová-Medviďová and Teschke (2006) ضمن انجام مقایسه بین الگوهای مختلف حل عددی معادلات آب کم عمق بر اهمیت زمان مورد نیاز برای انجام محاسبات رایانه‌ای (زمان پردازنده‌ی مرکزی: CPU time) تأکید و از آن به عنوان معیاری جهت ارزیابی بهینه بودن مدل عددی یاد کردند [26]. به همین منظور در این مطالعه مقایسه‌ای میان زمان پردازنده‌ی مرکزی مدل حاضر و مدل BGK تحت شرایط مشابه جریان صورت پذیرفت. برای انجام این مقایسه ۵۰ ثانیه از جریان با استفاده از ۱۰۰۰ سلول محاسباتی و عدد CFL برابر با $C_n = 0.65$ توسط این دو مدل بر روی رایانه‌ای با پردازنده‌ی مرکزی ۳.۲۰GHz شیوه‌سازی گردید. برنامه‌ها تحت شرایطی یکسان در محیط FORTRAN ۹۰ اجرا شدند. همان‌طور که نتایج این مقایسه در شکل (۱۳) نشان می‌دهد، الگوی پیشنهادی در این مطالعه به زمان اجرایی حدوداً یک‌سوم زمان اجرای مدل BGK برای حل مسائل مشابه احتیاج دارد.

اغتشاش را با روندی مشابه و تطبیقی قابل قبول پیش‌بینی کردند (شکل ۱۱-الف). دو خط افقی بالا و پایین در شکل (۱۱-ب) بیشینه و کمینه‌ی عمق را مطابق با دیدگاه نظری نشان می‌دهند. بر این اساس، بیشینه و کمینه‌ی عمق برای آستانه‌ی رخداد موج غلتاشی به ترتیب با روابط $h_{\max} = (1+\varepsilon)h_0$ و $h_{\min} = (1-\varepsilon)h_0$ قابل بیان می‌باشند. همان‌طور که در شکل (۱۱-ب) مشاهده می‌شود، مدل حاضر عدم رشد و عدم زوال دامنه (دامنه ثابت) برای آستانه‌ی رخداد موج غلتاشی را تا حدودی بهتر شبیه‌سازی نموده است.

شکل (۱۲) لگاریتم طبیعی دامنه‌ی موج بر حسب پارامتر k_w (حاصل ضرب عدد موج در عدد 2π) برای اعداد فرود مختلف را نشان می‌دهد. نتایج حاکی از آن است که به ازای هر عدد فرود ثابت، افزایش k_w با کاهش دامنه‌ی موج همراه است. شایان ذکر است که افزایش عدد موج به معنی کاهش طول موج می‌باشد. علاوه بر این، به ازای هر k_w ثابت، افزایش عدد فرود سبب افزایش دامنه‌ی موج غلتاشی گردیده است.



شکل ۱۲ لگاریتم طبیعی دامنه‌ی موج به عنوان تابعی از k_w برای اعداد فرود مختلف



شکل ۱۳ زمان مصرفی پردازنده‌ی مرکزی جهت شبیه‌سازی پنجاه ثانیه از جریان برای اعداد مختلف فرود اولیه با استفاده از مدل حاضر و الگوی BGK

نسبت به پارامتر k (حاصل ضرب عدد موج در عدد 2π) بررسی گردید و نشان داده شد که بهمازای هر عدد فرود ثابت با افزایش طول موج غلتشی دامنه‌ی موج نیز افزایش می‌یابد. علاوه بر آن، نتایج حاکی از آن است که با افزایش عدد فرود جریان اولیه F_0 ، عدد فرود از دیدگاه ناظر متحرک F_{mr} در محدوده‌ای گسترده‌تر تغییر می‌نماید که این به معنی عمیق‌تر شدن حضیض موج و افزایش ارتفاع قله‌ی موج است. دو موضوع اخیر در متون علمی پیشین کم‌تر مورد اشاره قرار گرفته است.

استفاده از الگوی حاضر و الگوی BGK برای بررسی تغییرات زمانی دامنه‌ی موج حاکی از تطابق نتایج این دو الگو برای اعداد فرود مختلف می‌باشد. این در حالی است که الگوی پیشنهادی در پیاده‌سازی رایانه‌ای بسیار ساده‌تر است و برای شبیه‌سازی یک جریان حاوی ناپیوستگی نظری امواج غلتشی به زمان محاسباتی نسبتاً ناچیزی نیاز دارد.

سپاسگزاری

بدین‌وسیله نویسنده‌گان مقاله از آقای Yin-Tik Que و پروفسور Kun Xu از دانشگاه علم و فناوری هونگ کنگ (HKUST) به خاطر در اختیار گذاشتن مدل عددی BGK قدردانی می‌نمایند.

پیوست الف: استخراج رابطه‌ی عملگر چشم

جمع‌بندی و نتیجه‌گیری

مدل عددی ارائه شده در این مطالعه، از الگوی شار متوسط وزن‌دار برای تخمین شار عددی و یک الگوی ضمنی برای پیاده‌سازی عبارت چشممه در معادلات یک‌بعدی آب کم عمق در حالت پایستار بهره می‌برد. مدل توسعه‌یافته بدون نیاز به هرگونه عبارت اضافی نظری لزجت مصنوعی، که تعیین آن معمولاً با سعی و خطأ توانم است، قادر است که هر گونه ناپیوستگی در متغیرهای جریان را به نحوی مؤثر در تعداد نسبتاً کمی سلول محاسباتی حل نماید. طرح یک مسئله‌ی کلاسیک شکست سد و مقایسه‌ی نتایج مدل با حل تحلیلی موجود نشان داد که علاوه بر سرعت جریان، هم جبهه قائم موج اشتراک و هم نواحی ملایم نیم‌رخ موج منفی به خوبی شبیه‌سازی گردیده‌اند. بررسی فرآیند تکامل اغتشاش و شکل‌گیری موج غلتشی در چارچوب یک مسئله مقدار اولیه و مقایسه نتایج حاصل با حل تحلیلی موجود، حاکی از توانایی الگوی پیشنهادی در مدل سازی عمق و سرعت جریان می‌باشد. شبیه‌سازی جریان برای مقدار مقدار آستانه‌ی رخداد ناپایداری، به ایجاد نیم‌رخی بدون رشد در دامنه انجامید و این در حالی است که برای اعداد فرود کوچک‌تر از مقدار آستانه، اغتشاش به‌طور کامل از بین رفته و جریان پایداری خود را حفظ می‌کند.

چگونگی تغییرات لگاریتم طبیعی دامنه‌ی موج

$$\frac{\partial V}{\partial t} \approx \frac{V_i^{(1)} - V_i^n}{\Delta t'} \quad (\text{الف-}4)$$

با معرفی $\Delta V_i = V_i^{(1)} - V_i^n$ و جایگذاری روابط (الف-۲) و (الف-۴) در رابطه (الف-۱)، بسط تیلور عبارت چشمی به شکل زیر بازنویسی می‌شود:

$$S(V_i^{(1)}) = S(V_i^n) + \left(\frac{\partial S(V)}{\partial V} \right)_i^n \Delta V_i + O(\Delta t')^2 \quad (\text{الف-}5)$$

در همین حال طبق قاعده‌ی انتگرال‌گیری ذوزنقه‌ای می‌توان نوشت:

$$V_i^{(1)} = V_i^n + \frac{\Delta t'}{2} [S(V_i^{(1)}) + S(V_i^n)] \quad (\text{الف-}6)$$

با جایگذاری رابطه‌ی (الف-۵) در رابطه‌ی (الف-۶) و پس از اندکی عملیات جبری، عملگر چشمی برای معادله‌ی اول از دستگاه معادلات (۱۲) حاصل می‌گردد:

$$\left[I - \frac{\Delta t'}{2} \left(\frac{\partial S(V)}{\partial V} \right)_i^n \right] \Delta V_i = \Delta t' S(V_i^n) \quad (\text{الف-}7)$$

که در آن I ماتریس واحد می‌باشد.

در این قسمت چگونگی به دست آوردن رابطه‌ی عملگر چشمی رابطه‌ی (۱۳) تشریح می‌گردد. این عملگر ضمنی برای حل معادله‌ی دیفرانسیل معمولی برای نیل به این هدف در اولین گام، عبارت چشمی به کمک بسط تیلور تقریب زده می‌شود:

$$S(V_i^{(1)}) = S(V_i^n) + \left(\frac{\partial S(V)}{\partial V} \right)_i^n \Delta t' + O(\Delta t')^2 \quad (\text{الف-}1)$$

از طرفی به کمک قاعده‌ی مشتق زنجیره‌ای می‌توان نوشت:

$$\frac{\partial S(V)}{\partial t} = \frac{\partial S(V)}{\partial V} \times \frac{\partial V}{\partial t} \quad (\text{الف-}2)$$

در رابطه‌ی فوق $\partial S(V)/\partial V$ ، ماتریس ژاکوبین بردار چشمی است که با رابطه‌ی (الف-۳) محاسبه می‌شود:

$$\frac{\partial S(V)}{\partial V} = \begin{bmatrix} 0 & 0 \\ gS_0 & -\frac{2C_f u}{h} \end{bmatrix} \quad (\text{الف-}3)$$

مشتق زمانی بردار متغیر پایستار با استفاده از روش تفاضل محدود قابل محاسبه است:

مراجع

1. Brock, R. R., "Development of roll-wave trains in open channels", *J. Hydraul. Div.*, 95(4), pp. 1401–1427, (1969).
2. Montes, S., "Hydraulics of Open Channel Flow", ASCE Press, USA, (1998).
3. Balmforth, N. J. and Mandre, S., "Dynamics of roll waves" *J. Fluid Mech.*, 514, pp. 1–33, (2004).
4. Woods, B. D., Hurlburt, E. T., and Hanratty, T. J., "Mechanism of slug formation in downwardly inclined pipes", *Intl. J. Multiphase Flow*, 26, pp. 977–99, (2000).
5. Engelund, F. and Zhaohui, W., "Instability of hyperconcentrated flow", *J. Hydraul. Eng.*, 110(3), pp. 219–233, (1984).
6. Pedley, T. J., "The Fluid Mechanics of Large Blood Vessels", Cambridge University Press, UK, (1980).

7. Benjamin, T. B., "Wave formation in laminar flow down an inclined plane", *J. Fluid Mech.*, 2, pp. 554–573, (1957).
8. Yih, C. S., "Stability of liquid flow down an inclined plane", *Phys. Fluids*, 6(3), pp. 321–334, (1963).
9. Stoker, J. J., "Water Waves: The Mathematical Theory with Applications", Interscience, New York, (1957).
10. Cornish, V., "Ocean Waves and Kindred Geophysical Phenomena", Cambridge University Press, London, (1934).
11. Thomas, H. A., "The propagation of stable wave configurations in steep channels", Carnegie Institute of Technology, Pittsburgh, (1937).
12. Rouse, H., "Fluid Mechanics for Hydraulic Engineers", McGraw-Hill, New York, (1938).
13. Dressler, R. F., "Mathematical solution of the problem of roll waves in inclined channel flows", *Commun. Pure Appl. Maths*, 2, pp. 149–194, (1949).
14. Yoon, Y.N. and Wenzel Jr., H.G., "Mechanics of sheet flow under simulated rainfall", *J. Hydraul. Div.*, 97(9), pp. 1367–1386, (1971).
15. Emmett, W. W., "Overland flow", Hillslope Hydrology, Kirkby, M. J. (editor), Wiley, New York, pp. 145–175, (1978).
16. Thomas, H. A., "The propagation of waves in steep prismatic conduits", *Proc. Hydraulics Conf.*, Univ. of Iowa, pp. 214–229, (1939).
17. Brock, R. R., "Periodic permanent roll waves", *J. Hydraul. Div.*, 96(12), pp. 2565–2580, (1970).
18. Liu, Q. Q., Chen, L., Li, J. C., and Singh, V. P., "Roll waves in overland flow", *J. Hydrol. Eng.*, 10(2), pp. 110–117, (2005).
19. Bohorquez, P., "Roll waves in floods on inclines", *Proc. Numerical Modelling of Hydrodynamics for Water Resources*, Garcia-Navarro, P., Playan, E. (editors), pp. 361–366, (2007).
20. Que, Y.-T. and Xu, K., "The numerical study of roll-waves in inclined open channels and solitary wave run-up", *Int. J. Numer. Meth. Fluids*, 50(9), pp. 1003–1027, (2006).
21. Toro, E.F., "Shock-Capturing Methods for Free-Surface Shallow Flows", Wiley, Chichester, UK, (2001).
22. Brook, B. S., Falle, S. A. E. G., and Pedley, T. J., "Numerical solutions for unsteady gravity-driven flows in collapsible tubes: evolution and roll-wave instability of a steady state", *J. Fluid Mech.*, 396, pp. 223–256, (1999).
23. Toro, E. F., "Riemann problems and the WAF method for solving the two-dimensional shallow water equations", *Philos. Trans. R. Soc. London, Ser. A*, 338, pp. 43–68, (1992).
24. Mahdavi, A. and Talebbeydokhti, N., "Modeling of non-breaking and breaking solitary wave run-up using shock-capturing TVD-WAF scheme", *KSCE J. Civil Eng.*, 15(6), pp. 945–955, (2011).

25. Zanuttigh, B. and Lamberti, A., "Roll waves simulation using shallow water equations and weighted average flux method", *J. Hydraulic Res.*, 40(5), pp. 610–622, (2002).
26. Lukáčová-Medviďová, M. and Teschke, U., "Comparison study of some finite volume and finite element methods for the shallow water equations with bottom topography and friction terms", *ZAMM J. Applied Math. Mech.*, 86(11), pp. 874–891, (2006).

بورسی مقایسه‌ای رفتار لزه‌ای قاب‌های مهاربندی شده‌ی زیپر و شورون ویژه ★

محمد رضا شیدائی^(۱)مجتبی رضوی^(۲)

چکیده قاب‌های مهاربندی شده‌ی زیپر یکی از انواع سیستم‌های مهاربندی جدید در سازه‌های فولادی می‌باشند. در قاب‌های مهاربندی شده‌ی شورون معمولی زمانی که عضو مهاربند در یک طبقه دچار کمانش می‌شود، نیروی قائم نامتعادل کننده‌ای در تیر طبقه‌ی فوقانی ایجاد می‌شود که باعث ایجاد ناپایداری و خرابی زوهنگام در سازه می‌گردد و مشکلات طراحی به وجود می‌آورد. این رفتار نامطلوب را می‌توان با اضافه کردن ستون‌های زیپر، یعنی اعضای قائمی که محل اتصال مهاربند‌ها با تیرها را در طبقات بهم متصل می‌کنند، از بین برد در این مقاله رفتار لزه‌ای قاب‌های مهاربندی شده‌ی زیپر و شورون ویژه مورد مقایسه قرار گرفته است. برای این منظور بر روی انواع مدل‌های سازه‌ای با سیستم‌های مهاربندی زیپر و شورون ویژه با تعداد طبقات مختلف، تحلیل‌های استاتیکی غیرخطی بارافزون و دینامیکی غیرخطی تاریخچه زمانی انجام گرفته است. بر اساس نتایج حاصل از تحلیل استاتیکی غیرخطی بارافزون، شکل پذیری و ضربه رفتار قاب‌های مهاربندی شده‌ی شورون ویژه به طور کلی کمتر از مقادیر متناظر برای قاب‌های مهاربندی شده‌ی زیپر بوده است. توزیع نسبت تغییر مکان طبقه و بیشترین تغییر مکان طبقه که از تحلیل دینامیکی غیرخطی به دست آمده است، نشان دهنده‌ی کارآبی اعضای زیپر در توزیع یکنواخت‌تر تغییرشکل در ارتفاع ساختمان، و کاهش نسبت تغییر مکان طبقه به محدوده‌ی مجاز آینین نامه‌ای بوده است.

واژه‌های کلیدی قاب مهاربندی شده‌ی زیپر، تحلیل تاریخچه زمانی، ضربه رفتار، نسبت تغییر مکان طبقه، شکل پذیری.

A Comparative Study on Seismic Performance of Zipper and Special Chevron Braced Frames

M. Razavi

M.R. Sheidaii

Abstract Zipper braced frames are an innovative bracing system for steel structures. Conventional inverted-V-braced frames exhibit a design problem arising from the unbalanced vertical force generated by the lower story braces when one of them buckles. This adverse effect can be mitigated by adding zipper columns or vertical members connecting the intersection points of the braces above the first floor. In this paper an numerical study has been performed to estimate and to compare seismic performance of zipper braced and special chevron braced frames. For this purpose nonlinear pushover static analysis and nonlinear dynamic time history analysis have been performed on typical building structures with different number of stories under several earthquake ground motions. According to the analysis results, the ductility and response modification factors of chevron braced frames computed from nonlinear static analysis were generally smaller than the values obtained for zipper braced frames and the distribution of inter-story drifts ratio and maximum story drifts obtained from nonlinear time history analysis, demonstrates the efficiency of the zipper struts in achieving a more uniform damage distribution over the height of the structure, and generally satisfies allowable inter-story drift ratio limits.

Keywords Zipper braced frame, time history analysis, response modification factor, inter-story drift ratio, ductility.

★ تاریخ دریافت مقاله و ۹۰/۶/۱ تاریخ پذیرش آن ۹۱/۱۰/۱۶ می‌باشد.

(۱) نویسنده‌ی مسؤول: مرتبه گروه مهندسی عمران، دانشگاه ارومیه.

(۲) دانشیار گروه مهندسی عمران، دانشگاه ارومیه.

مقدمه

کنده را با اضافه کردن اعضای زیپر ما بین نقاط اتصال مهاربندها به تیرها، مطابق شکل (۲)، از بین برد چنین سیستمی برای اولین بار توسط Khatib و همکاران پیشنهاد شد [6]. در این سیستم مهاربندی نیروی نامتعادل کنده‌ی به وجود آمده در یک طبقه، توسط عضو زیپر به طبقه‌ی بالاتر انتقال می‌یابد، در نتیجه نیروی فشاری وارد بر مهاربند فشاری طبقه دوم افزایش می‌یابد و در نهایت باعث می‌شود که آن مهاربند نیز کمانش کند، شکل‌های (۲-الف و ب) کمانش تقریباً هم‌زمان مهاربندها در کل ارتفاع سازه، باعث توزیع یکنواخت‌تر خرابی و خسارت در سازه می‌شود. اما زمانی که مکانیسم زیپر در قاب تشکیل شود شکل (۲-ت)، ظرفیت جانبی قاب کاهش می‌یابد و ناپایدار می‌شود [7].

ایراد مکانیسم زیپر را می‌توان با به‌کارگیری سیستم معروف به قاب زیپر معلق رفع کرد، (شکل ۳). در یک قاب زیپر معلق، مهاربندهای طبقه‌ی بام طوری طراحی می‌شوند که بعد از کمانش همه‌ی مهاربندهای فشاری و تسليم اعضای زیپر، کماکان در محدوده‌ی الاستیک باقی بمانند [1,2]. ازان‌جایی که وظیفه‌ی اولیه‌ی اعضای زیپر تحمل نیرویی از نوع کششی می‌باشد و این اعضا تیرها را در وسط دهانه مهار می‌کنند، بنابراین تیرها می‌توانند به صورت انعطاف‌پذیر طراحی شوند. این کار باعث می‌شود که در میزان فولاد مصرفی برای تیرها، صرفه‌جویی قابل ملاحظه‌ای ایجاد شود. به علاوه مسیر نیرو به‌اندازه‌ای واضح است که روش طراحی ظرفیت برای همه‌ی اعضای سازه‌ای میسر می‌باشد.

اعضای زیپر نیروهای کششی نامتعادل کنده به وجود آمده در یک طبقه را به طبقه‌ی بالایی انتقال می‌دهند و این روند در صورت افزایش بار جانبی و کمانش مهاربندهای طبقات بالاتر ادامه پیدا می‌کند. در چنین وضعیتی نیروی کششی اعضای زیپر طبقات بالاتر به‌شدت افزایش می‌یابد، به‌ویژه در ساختمان‌های

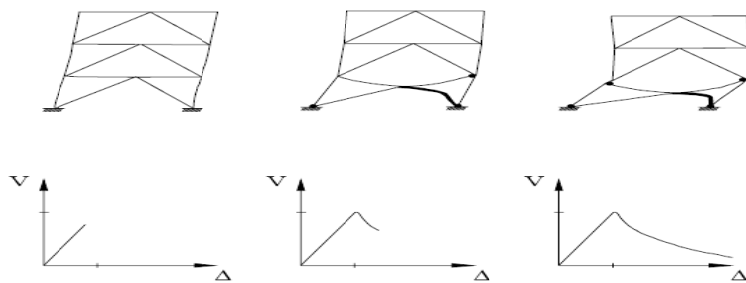
قابل‌های مهاربندی شده‌ی ۷ شکل معکوس که قاب‌های شورون نیز نامیده می‌شوند، یکی از انواع قاب‌های مهاربندی شده‌ی هم‌مرکز هستند. رفتار چنین سیستم‌هایی توسط کمانش مهاربندها کترول می‌شود شکل (۱). به‌طور کلی این سیستم‌ها قابلیت بازپخش بیش‌تر نیروها را پس از خرابی موضعی پیش آمده در یک طبقه ندارند و از این‌رو در زلزله‌های گذشته رفتار مطلوبی را از خود نشان نداده‌اند [1,2]. نظر به تأکید بیش‌تری که در ۲۰ سال اخیر بر افزایش شکل‌پذیری و ظرفیت اتلاف انرژی سازه‌ها در مناطق لرزه‌خیز شده است، قاب‌های شورون با شکل‌پذیری ویژه (SIVBF) مطرح شده‌اند. بررسی‌ها نشان می‌دهد که قاب‌های شورون با شکل‌پذیری ویژه نسبت به قاب‌های شورون معمولی (OIVBF) از عملکرد لرزه‌ای مطلوب‌تری برخوردار می‌باشند [3,4].

در قاب‌های مهاربندی شده‌ی شورون معمولی زمانی که بار جانبی افزایش می‌یابد، مهاربندهای فشاری کمانش می‌کند و ظرفیت تحمل نیروی محوری آن‌ها کاهش می‌یابد، این در حالی است که نیروهای مهاربندهای کششی در حال افزایش‌اند تا اینکه در نهایت به حد تسليم برسند، در این وضعیت در محل اتصال مهاربندها به تیرها نیروی قائم نامتعادل کنده بزرگی وارد می‌شود، که می‌تواند باعث به وجود آمدن تغییر‌شکل‌های بزرگ در تیر شود. برای جلوگیری از کاهش نامطلوب مقاومت جانبی قاب، آیین‌نامه‌های طراحی [5] الزام می‌دارند که تیرها علاوه بر تحمل نیروهای ثقلی از مقاومت کافی برای مقابله با این ضابطه‌ای منجر به ایجاد تیرهای بسیار قوی خواهد شد که از نقطه‌نظر طراحی لرزه‌ای، امری نامطلوب محسوب می‌گردد.

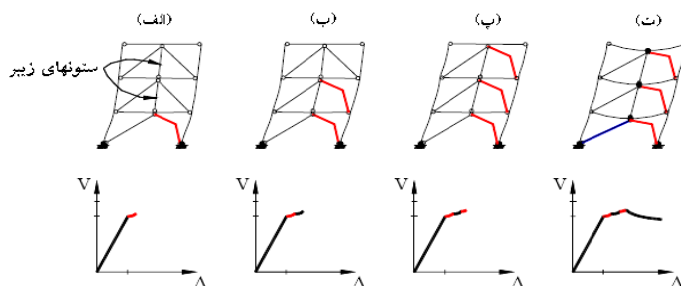
می‌توان تأثیر نامطلوب این نیروی قائم نامتعادل

تحت عنوان سیستم مهاربندی زیپر کابلی را پیشنهاد نمودند که در این سیستم برای عضو زیپر از عنصر کابل با تراز پیش تنیدگی مناسب استفاده شده است [8].

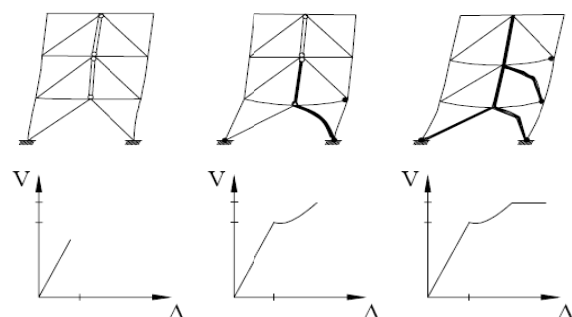
بلند مرتبه این امر باعث خواهد شد که انتخاب مقطع مناسب برای چنین اعضا بی مشکل و در بعضی موارد غیرممکن گردد. رضوی و شیدائی برای رفع مشکل اجرایی این سیستم های مهاربندی، سیستم جدیدی



شکل ۱ مکانیسم خرابی قاب های مهاربندی شده شورون معمولی و نمودارهای بار جانبی - تغییر مکان مربوط [1]



شکل ۲ مکانیسم خرابی در قاب های مهاربندی شده زیپر معمولی و نمودارهای بار جانبی - تغییر مکان مربوط [1]



شکل ۳ مکانیسم خرابی در قاب های مهاربندی شده زیپر معلق [1]

در نتیجه، R برابر یک در نظرگرفته شده است. شکل (۴) رابطه‌ی بین برش پایه و تغییر مکان تراز بام یک سازه را که از تحلیل استاتیکی غیرخطی به دست آمده است، نشان می‌دهد. ضرایب اضافه مقاومت و شکل‌پذیری از روابط زیر محاسبه می‌شوند:

$$R_o = \frac{V_{ym}}{V_d} \quad (2)$$

$$R_\mu = \frac{V_e}{V_{ym}} \quad (3)$$

در روابط بالا V_d برش پایه طراحی، V_e برش پایه الاستیک و V_{ym} برش پایه متناظر با بیشترین تغییر مکان غیر الاستیک است. Nassar و Krawinkler (۱۹۹۲)، رابطه‌ی ذیل را برای محاسبه‌ی ضربی شکل‌پذیری برای سیستم‌های یک درجه آزادی با فرض میرایی ۵٪ در مناطق دارای خاک‌های سخت و سنگی پیشنهاد داده‌اند [11]:

$$R_\mu = \left[c(\mu-1)+1 \right]^{\frac{1}{\mu}} \quad (5)$$

$$c = T^a / (1 + T^a) + b/T \quad (6)$$

در رابطه‌ی بالا μ شکل‌پذیری سازه می‌باشد که از تقسیم حداقل تغییر مکان غیر الاستیک (Δ_{max}) به تغییر مکان معادل تسلیم (Δ_y) به دست می‌آید و T زمان تناوب اصلی سازه است. پارامترهای a و b تابعی از سخت‌شدگی کرنشی می‌باشند و در صورتی که سخت‌شدگی کرنشی برابر 0.03 در نظرگرفته شود این پارامترها به ترتیب برابر با 0.975 و 0.338375 خواهد بود [11].

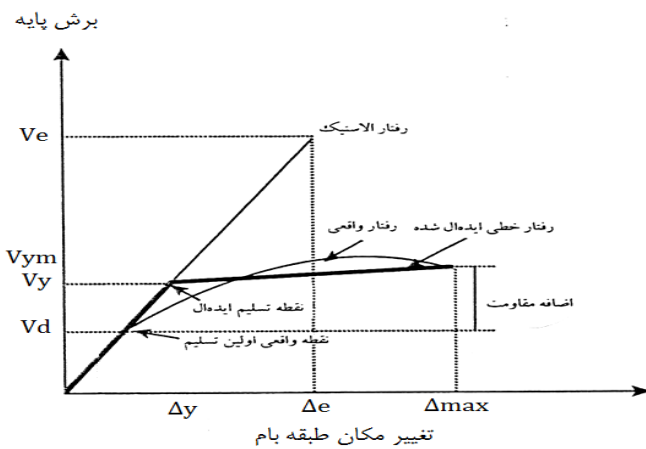
در این مقاله برای بررسی رفتار لرزه‌ای قاب‌های مهاربندی شده‌ی زیپر و مقایسه‌ی آن با قاب‌های مهاربندی شده‌ی شورون با شکل‌پذیری ویژه، در ابتدا مدل‌های سازه‌ای با تعداد طبقات مختلف و دارای سیستم‌های مهاربندی زیپر و شورون ویژه انتخاب شده و بر اساس آیین‌نامه AISC-LRFD [9] طراحی شده‌اند و سپس هر یک از مدل‌ها به‌طور جداگانه در محیط نرم‌افزار المان محدود ABAQUS مدل‌سازی شده و تحلیل‌های استاتیکی و دینامیکی غیرخطی بر روی آنها انجام شده است.

روابط پایه برای محاسبه‌ی ضربی رفتار

روش‌های تئوریکی مختلفی برای محاسبه‌ی ضربی رفتار سازه وجود دارد که از آن جمله می‌توان به روش‌های بیشترین تغییر شکل پلاستیک و انرژی اشاره کرد. در این مقاله روش پیشنهاد شده توسط آیین‌نامه ATC-19 برای محاسبه‌ی ضربی رفتار سازه مورد استفاده قرار گرفته است [10]، که در آن ضربی رفتار R به کمک رابطه‌ی زیر تعیین می‌شود:

$$R = R_o R_\mu R_r \quad (1)$$

که R ضربی اضافه مقاومت است و به این موضوع اشاره دارد که مقاومت جانبی سازه در حالت کلی از مقاومت طراحی بیشتر است. R_μ ضربی شکل‌پذیری است که نمادی از پاسخ غیرخطی کلی سازه می‌باشد و R_r ضربی اضافه مقاومت است که بر اساس نحوه مواجهه‌ی آیین‌نامه‌های طراحی با تنش‌های طراحی تعیین می‌شود، به خاطر این‌که در طراحی مدل‌های این مقاله از روش ضربی بار و مقاومت استفاده شده است



شکل ۴ رابطه بین برش پایه- تغییر مکان بام

به ترتیب برابر با، 50 KN/m^2 و 40 KN/m^2 می‌باشد.

بارگذاری لرزه‌ای براساس پارامترهای زیر محاسبه شده است: خطر لرزه‌خیزی منطقه بسیار بالا ($S_{DS}=1/44g$)، ضریب اهمیت سازه ۱/۵ (گروه چهار)، خاک سخت (گروه D)، ضریب رفتار ۶ (شکل پذیری ویژه) و ضریب اضافه مقاومت (Ω_0) برابر ۲ انتخاب شده است. فولاد مصرفی از نوع A36 ASTM [13] بوده و میزان سخت شدگی کرنشی مصالح ۳٪ فرض شده است. وزن مؤثر طبقات بهازی مجموع بار مرده و ۲۰٪ بار زنده محاسبه شده است.

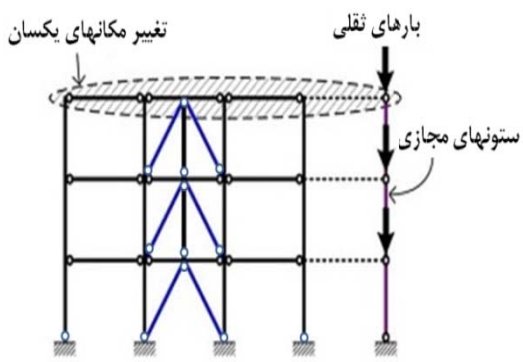
ابتدا مدل‌ها در نرم‌افزار ETABS 8.45 با استفاده از روش استاتیکی معادل طراحی اولیه شده‌اند، سپس به خاطر افزایش کارایی قاب‌های زیپر، از روش طراحی ظرفیت استفاده شده است [1]. در روش طراحی ظرفیت، با توجه به این که در زلزله‌های شدید بروز پاسخ غیرالاستیک در سازه اجتناب ناپذیر است، طراح، اعضای مشخصی از سازه را به عنوان فیوز در نظر می‌گیرد تا این‌که رفتار غیرالاستیک فقط در آن اعضا رخ دهد. این اعضا طوری طراحی می‌شوند که بتوانند بدون کاهش قابل ملاحظه مقاومت سازه، تغییرشکل‌های پلاستیک بزرگی را تحمل کنند و از مدهای خرابی نامطلوب زود هنگام از قبیل کمانش

طراحی مدل‌های سازه‌ای

مدل‌های سازه‌ای مورد بررسی در این تحقیق دارای پلانی مریع شکل به ابعاد 18×18 متراند که در هر راستا دارای سه دهانه و دو قاب مهاربندی شده می‌باشند، (شکل ۵). به‌منظور کاهش حجم و زمان محاسبات، مدل دوبعدی در تحلیل به کار برده شده و برای در نظر گرفتن اثرات Δ -P مربوط به بارهای ثقلی، از ستون‌های مجازی مطابق شکل (۶) استفاده شده است. مدل‌های مورد مطالعه در این مقاله شامل ۱۰ قاب مهاربندی شده‌ی شورون و زیپر با تعداد طبقات ۳، ۶، ۹، ۱۲، ۱۵ مطابق شکل (۷) می‌باشند. ارتفاع همه‌ی طبقات در کلیه مدل‌ها ۳/۶ متر در نظر گرفته شده است. کلیه اتصالات تیرها و مهاربندها به ستون‌ها، و نیز زیپرها به تیرها به صورت مفصلی فرض شده‌اند. برای تعیین بارگذاری ثقلی و لرزه‌ای از آینه‌نامه‌ی ASCE [12] و برای طراحی سازه‌ای از ضوابط AISC360-LRFD [9] استفاده شده است، همچنین ضوابط طرح لرزه‌ای آینه‌نامه‌ی AISC341 [5] مد نظر قرار گرفته است.

بارهای ثقلی مرده و زنده برای طبقه‌ی بام به ترتیب برابر با 50 KN/m^2 و 100 KN/m^2 و برای سایر طبقات

نرم افزار از المان BEAM از نوع B21 استفاده شده است که یک المان دو بعدی با انترپولاسیون خطی می‌باشد. تئوری استفاده شده در این نوع المان‌ها تئوری تیر تیموشنسکو است که در آن اثر تغییر شکل‌های برشی نیز در نظر گرفته شده است [14]. برای انجام تحلیل‌های استاتیکی غیرخطی بارافزون، از الگوی بار جانبی مثلثی شکل استفاده شده است. در تحلیل‌های صورت گرفته اثر عوامل غیرخطی هندسی و غیر خطی مصالح در نظر گرفته شده است.

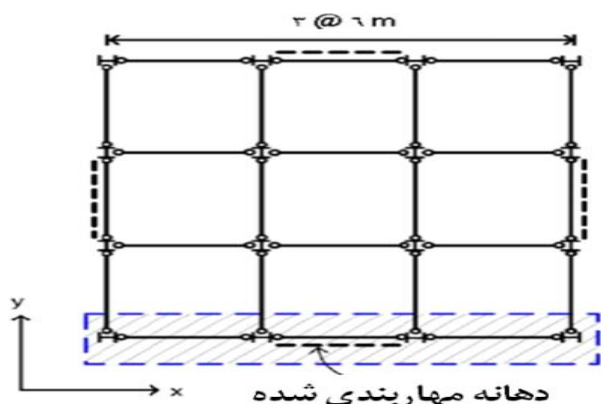


شکل ۶ قاب سه طبقه مهاربندی شده زیپر همراه با ستون‌های مجازی

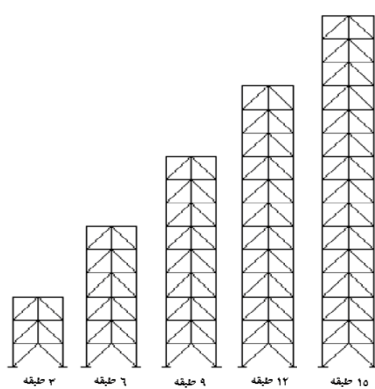
موضعی یا ناپایداری عضو مورد نظر (در سازه‌های فولادی) جلوگیری شود. سپس ظرفیت‌های اعضا سازه‌ای مجاور به گونه‌ای محاسبه می‌شود که احتمال پاسخ غیراستیک یا خرابی در آن اعضا از بین برود [4].

تحلیل استاتیکی غیرخطی بار افزون

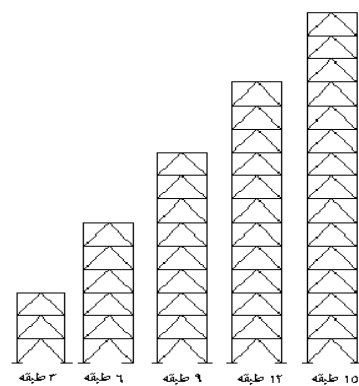
برای انجام تحلیل استاتیکی غیرخطی از نرم افزار المان محدود ABAQUS و روش طول کمان (Riks) استفاده شده است. برای مدل‌سازی تحلیلی نمونه‌ها در این



شکل ۵ پلان مدل‌های مورد مطالعه



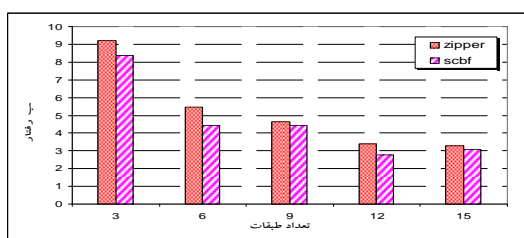
ب - قاب‌های مهاربندی شده شورون



الف - قاب‌های مهاربندی شده زیپر

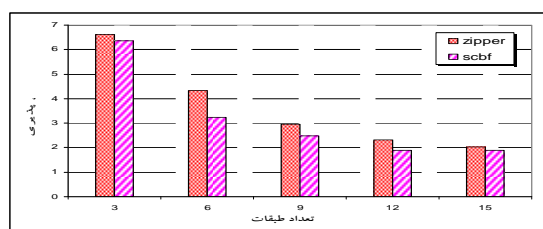
شکل ۷ قاب‌های مهاربندی شده شورون و زیپر با تعداد طبقات مختلف

ضریب رفتار همه مدل‌ها به جز مدل ۳ طبقه کمتر از مقدار پیشنهادی آین نامه‌ی ASCE ($R=6$) می‌باشد. این امر نشان می‌دهد مقدار پیشنهادی آین نامه برای ضریب رفتار این سیستم‌های مهاربندی برای سازه‌های با تعداد طبقات بیشتر بزرگ‌تر از مقدار واقعی است که این موضوع باعث ایجاد اشکال در طراحی می‌شود و باعث خواهد شد که مقاطعه ضعیفی برای اعضا حاصل شود. در تحقیقات مشابه قبلی نیز به این که موضوع تأکید شده است [17]. با توجه به این که ضریب رفتار تابعی از زمان تناوب سازه و بارهای وارد است در نتیجه، این ضریب نمی‌تواند معیار مناسبی جهت طراحی سازه‌ها در کلیه حالات منظور گردد. با این وجود در استانداردهای ساختمنی ضریب رفتار واحد برای یک سیستم سازه‌ای واحد پیشنهاد می‌شود و از آن برای طراحی لرزه‌ای استفاده می‌شود [18]. بنابراین میانگین مقادیر مذکور به عنوان ضریب رفتار طراحی این نوع از سیستم‌های مهاربندی به کار می‌رود، بر این اساس ضریب رفتار قاب‌های مهاربندی شده‌ی زیپر برابر $5/62$ و قاب‌های مهاربندی شده‌ی شورون برابر $4/38$ می‌باشد، نشان دهنده این که ضریب رفتار شورون با ذکر است که مقادیر به دست آمده برای ضریب رفتار بر اساس روش حالات حدی (روش ضرایب بار و مقاومت) می‌باشد و در صورتی که طراحی بر اساس روش تنش مجاز مدنظر باشد، بایستی هر یک از مقادیر در عدد $1/44$ ضرب گردد.

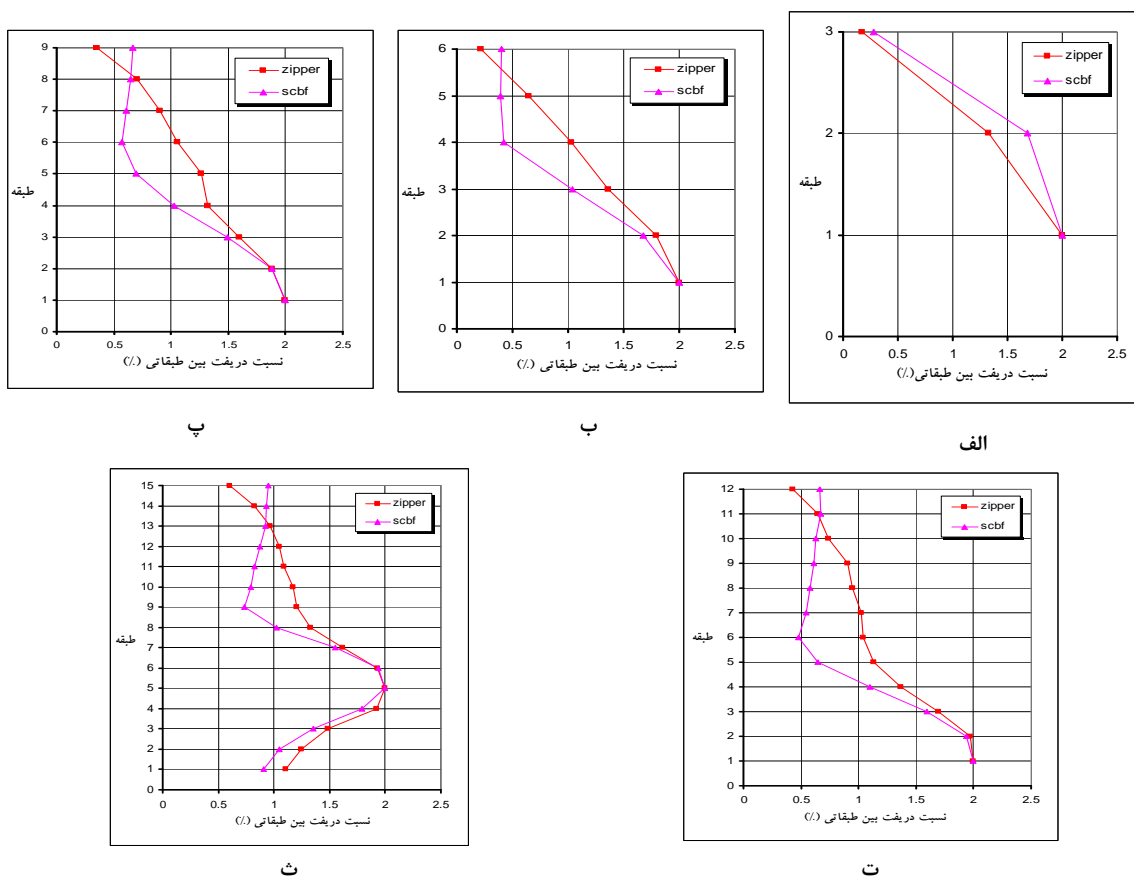


شکل ۹ نمودار ستونی مربوط به ضریب رفتار قاب‌های مهاربندی شده‌ی شورون و زیپر با تعداد طبقات متفاوت

در این تحقیق نسبت تغییر مکان طبقه به عنوان معیار کنترل کننده‌ی خرابی سازه در نظر گرفته شده است که این نسبت برای قاب‌های مهاربندی شده در آستانه‌ی خرابی برابر 2% در نظر گرفته می‌شود [15]. بعد از محاسبه نمودارهای ظرفیت برای هر یک از مدل‌ها، نمودارهای مربوطه به صورت نمودار دوخطی ایده‌آل‌سازی شده و سپس با تقسیم نسبت تغییر مکان نهایی به تغییر مکان حد الاستیک، شکل پذیری هر یک از مدل‌ها محاسبه شده است. برای تعیین ضریب شکل پذیری از فرمول کراوینکلر رابطه‌ی (۵) استفاده شده است. مطابق رابطه‌ی (۳) ضریب اضافه مقاومت (R_0) محاسبه و در نهایت با ضرب آن در ضریب شکل پذیری (R_u)، ضریب رفتار برای هر یک از قاب‌ها محاسبه شده که نتایج حاصل به صورت نمودار ستونی در شکل‌های (۹) و (۸) نشان داده شده است. با توجه به نمودار شکل (۸) ملاحظه می‌شود که شکل پذیری قاب‌های مهاربندی شده زیپر در تمامی مدل‌ها از قاب‌های مهاربندی شده شورون بیشتر است. شکل (۹) که مربوط به نمودار ستونی ضریب رفتار قاب‌ها می‌باشد، نشان می‌دهد که ضریب رفتار قاب‌های مهاربندی شده زیپر در کلیه مدل‌ها بیشتر از قاب‌های مهاربندی شده شورون می‌باشد و همچنین با افزایش تعداد طبقات سازه، ضریب رفتار سازه کاهش می‌یابد که این نتیجه با تحقیقات مشابه پیشین بر روی قاب‌های مهاربندی شده شورون مطابقت دارد [16, 17]. همچنین ملاحظه می‌شود که



شکل ۸ نمودار ستونی مربوط به شکل پذیری قاب‌های مهاربندی شده شورون و زیپر با تعداد طبقات متفاوت



شکل ۱۰ نمودارهای مربوط به توزیع نسبت تغییر مکان طبقه در ارتفاع قاب‌های مهاربندی شده‌ی شورون و زیپر، (الف) مدل ۳ طبقه، (ب) مدل ۶ طبقه، (پ) مدل ۹ طبقه، (ت) مدل ۱۲ طبقه، (ث) مدل ۱۵ طبقه

بام در مورد قاب‌های مهاربندی شده‌ی زیپر بدون استثنای در همه مدل‌ها کمتر از قاب‌های مهاربندی شده‌ی شورون بوده است، که علت آن را می‌توان در فلسفه‌ی طراحی ظرفیت قاب‌های مهاربندی شده‌ی زیپر معلق مبنی بر عدم کمانش مهاربندهای طبقه‌ی بام دانست.

تحلیل دینامیکی غیرخطی

در این مقاله برای انجام تحلیل دینامیکی غیرخطی از روش تاریخچه زمانی به روش دینامیکی غیرصریح (Dynamic-Implicit) استفاده شده است و برای این منظور مدل‌های دوبعدی به‌طور جداگانه تحت مؤلفه‌های افقی زلزله‌های جدول (۱) قرار گرفته‌اند. در

نمودارهای شکل (۱۰) توزیع نسبت تغییر مکان طبقه را در ارتفاع قاب‌های مهاربندی شده‌ی زیپر و شورون به صورت مقایسه‌ای نشان می‌دهند. ملاحظه می‌شود که در همه مدل‌ها توزیع نسبت تغییر مکان طبقه در قاب‌های مهاربندی شده‌ی زیپر در مقایسه با قاب‌های مهاربندی شده‌ی شورون یکنواخت‌تر است که علت آن کمانش مهاربندهای طبقات بالاتر و مشارکت آن‌ها در تحمل نیروهای جانبی می‌باشد. در قاب‌های مهاربندی شده‌ی شورون نسبت تغییر مکان طبقه در طبقات پایین تر بیش‌تر است و در طبقات بالاتر به‌شدت کاهش می‌یابد. این امر نشان دهنده‌ی تمرکز خرابی در طبقات پایین می‌باشد. با توجه به این شکل‌ها ملاحظه می‌شود که نسبت تغییر مکان طبقه در طبقه‌ی

در طبقات بالاتر افزایش می‌یابند که دلیل آن انتقال نیروهای نامتعادل‌کننده‌ی ایجاد شده در طبقات پایین تر به طبقات بالاتر می‌باشد. هم‌چنین نیروی فشاری ماکزیمم در اعضای زیپر در مدل‌های کوتاه مرتبه (۳ و ۶ طبقه) در طبقات بالاتر کاهش می‌یابند و در بقیه‌ی مدل‌ها این مقادیر در طبقات میانی چهار افزایش می‌شوند و دوباره در طبقات بالاتر کاهش می‌یابند، که علت آن را می‌توان در مشارکت مدهای بالاتر در تغییرشکل سازه بیان نمود.

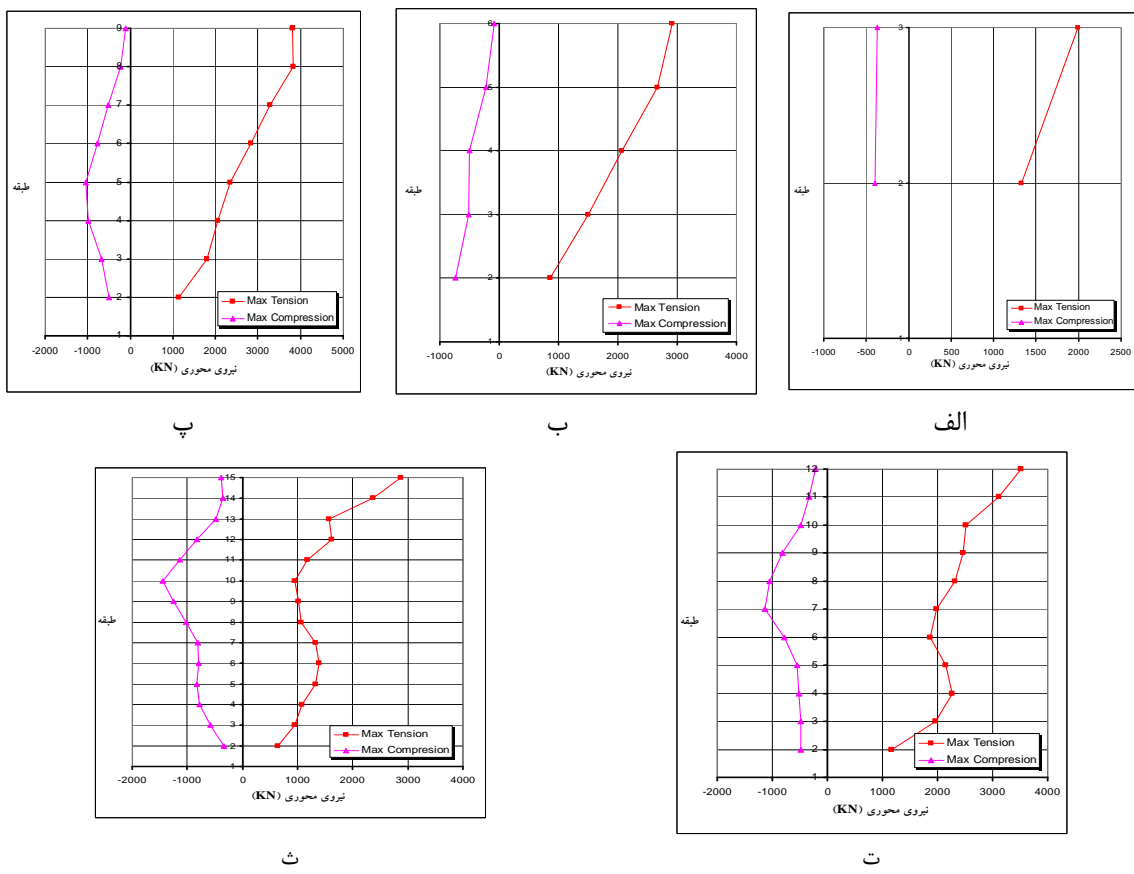
بر اساس بررسی‌های انجام گرفته مشاهده می‌شود که نسبت نیروی کششی ماکزیمم به نیروی فشاری ماکزیمم در هر یک از مدل‌ها در طبقات بالاتر افزایش می‌یابد و این نشان می‌دهد که تأثیر نیروی فشاری در طبقات بالاتر کاهش می‌یابد و بر عکس نقش نیروی کششی در رفتار طبقات بالاتر افزایش می‌یابد.

بر اساس نتایج حاصل از تحلیل‌های دینامیکی غیرخطی، مقادیر ماکزیمم نسبت تغییر مکان طبقه در سیستم‌های مهاربندی شده‌ی شورون و زیپر، به صورت مقایسه‌ای مطابق نمودارهای شکل (۱۲) ارائه شده است و هم‌چنین در این نمودارها مقادیر مذکور با مقادیر مجاز آیین‌نامه‌ای مقایسه شده‌اند. مطابق ضوابط آیین‌نامه‌ی ASCE [12]، ماکزیمم نسبت تغییر مکان طبقه برای مدل‌های ۳ طبقه ۱/۸۷۵٪ و برای سایر مدل‌ها برابر ۱/۲۵٪ در نظر گرفته شده است [12].

این مقاله از هفت شتاب‌نگاشت از نوع نزدیک به گسل برای انجام تحلیل‌های دینامیکی استفاده شده است. بزرگاً و فاصله از گسل محرك در این زلزله‌ها مشابه است و شرایط خاک محل ثبت آن‌ها با شرایط خاک محل مد نظر در طراحی، یکسان بوده است. زلزله‌ها بر اساس طیف استاندارد طراحی آیین‌نامه بارگذاری FEMA [19]ASCE 450، مقیاس شده‌اند. مطابق ضوابط ۱/۵T مقادیر طیف میانگین از مقادیر طیف پاسخ طرح کم‌تر نباشد که در دوره‌ی تناوب اصلی سازه می‌باشد. مقیاس کردن شتاب‌نگاشت‌ها با استفاده از روش ارائه شده در FEMA 450 [۱۹] برای حالت تحلیل دینامیکی دو بعدی انجام گرفته است، با این تفاوت که به‌ازای هر شتاب‌نگاشت یک ضربی مقیاس مجزا تعیین و در تحلیل‌ها مورد استفاده قرار گرفته است. به‌منظور بررسی رفتار سیستم مهاربندی زیپر، در ابتداء نیروهای کششی و فشاری ماکزیمم ایجاد شده در اعضای زیپر تحت هر یک از زلزله‌ها محاسبه شده است. نمودارهای موجود در شکل (۱۱) مقادیر میانگین ماکزیمم نیروی فشاری و هم‌چنین نیروی کششی ایجاد شده در اعضای زیپر را تحت هر یک از زلزله‌ها در هر یک از مدل‌ها نشان می‌دهند. در این نمودارها مشاهده می‌شود که در همه‌ی مدل‌ها نیروهای کششی ماکزیمم

جدول ۱ مشخصات زلزله‌های مورد استفاده در تحلیل دینامیکی تاریخچه زمانی

زلزله‌ها	Station & Data Source	PGA (g)	Time Step (sec)	Distance (Km)
Northridge (1994)	90055 Simi Valley-Katherine Rd-USC	۰/۸۷۷	۰/۰۱	۱۴/۶
Kobe (1995)	OKJMA-USGS	۰/۸۲۱	۰/۰۲	۰/۶
Chi-Chi (1999)	WNT-CWB	۰/۹۵۸	۰/۰۰۵	۱/۱۸
San Fernando (1971)	279 Pacoima Dam - CDMG	۱/۲۲۶	۰/۰۱	۲/۸
Coalinga (1983)	1604 Oil City-USGS	۰/۸۶۶	۰/۰۰۵	۸/۲
Loma Prieta (1989)	57007 Corralitos-CDMG	۰/۶۴۴	۰/۰۰۵	۵/۱
Whitter Narrows(1987)	709 Garvey Res-Control Bldg-USGS	۰/۴۵۷	۰/۰۰۵	۱۲/۱

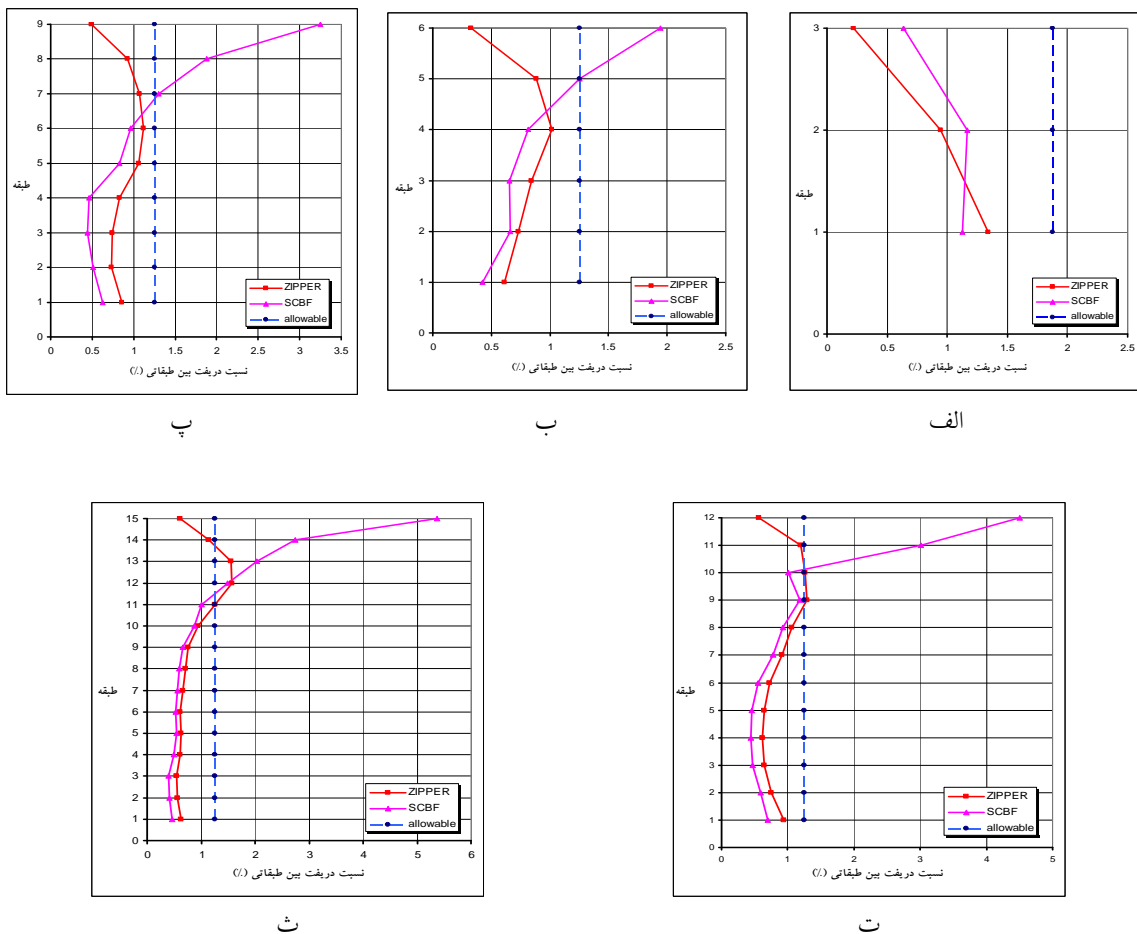


شکل ۱۱ نیروهای کششی و فشاری ماکریم در اعضای زیر، (الف) مدل ۳ طبقه، (ب) مدل ۶ طبقه، (پ) مدل ۹ طبقه، (ت) مدل ۱۲ طبقه، (ث) مدل ۱۵ طبقه

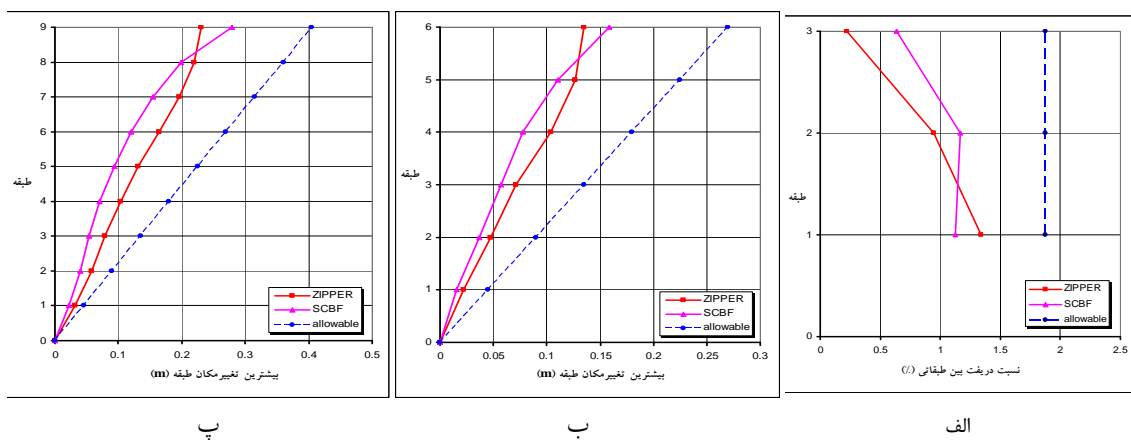
طبقه در طبقات پایین‌تر قاب مهاربندی شده‌ی سورون، کم‌تر از مقادیر مربوط به قاب مهاربندی شده‌ی زیر و هم‌چنین مقدار مجاز آین‌نامه‌ای است. با افزایش ارتفاع قاب این مقادیر نیز افزایش می‌یابد و در طبقات بالاتر این مقادیر از حد مجاز آین‌نامه‌ای و مقادیر نظیر در قاب مهاربندی شده‌ی زیر بیش‌تر می‌گردد. نمودار شکل (۱۲-ث) که مربوط به مدل ۱۵ طبقه می‌باشد نشان می‌دهد که در قاب مهاربندی شده‌ی سورون مقدار ماکریم نسبت تغییر مکان طبقه در طبقات پایین‌تر کم‌تر از مقدار مجاز است ولی در طبقات بالاتر به شدت افزایش می‌یابد. این در حالی است که در سیستم مهاربندی زیر به استثنای طبقات ۱۲ و ۱۳ در سایر طبقات مقدار ماکریم نسبت تغییر مکان طبقه کم‌تر از حد مجاز است.

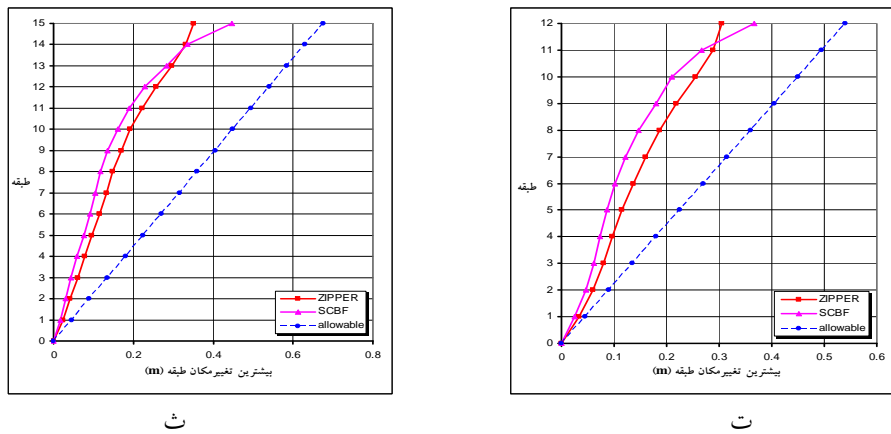
هریک از نمودارهای شکل (۱۲) بر اساس میانگین نتایج حاصل از تحلیل تاریخچه زمانی تحت شتاب‌نگاشتهای هفتگانه‌ی جدول (۱) ترسیم گردیده است [۱۹].

نمودار شکل (۱۲-الف) که مربوط به مدل ۳ طبقه می‌باشد، نشان می‌دهد که ماکریم نسبت تغییر مکان طبقه در سیستم مهاربندی زیر در همه‌ی طبقات به استثنای طبقه‌ی اول کم‌تر از سیستم مهاربندی سورون است. مقادیر ماکریم نسبت تغییر مکان طبقه در هر دو نوع سیستم مهاربندی کم‌تر از مقدار مجاز آین‌نامه می‌باشد. در شکل‌های (۱۲-ب، پ و ت) که به ترتیب مربوط به مدل‌های ۶، ۹ و ۱۲ طبقه هستند، مشاهده می‌شود که مقادیر ماکریم نسبت تغییر مکان



شکل ۱۲ مقایسه ماکریم نسبت تغییر مکان طبقه در قاب های مهاربندی شده شورون و زپر، (الف) مدل های ۶ طبقه، (ب) مدل های ۹ طبقه، (ت) مدل های ۱۲ طبقه، (ث) مدل های ۱۵ طبقه





شکل ۱۳ مقایسه‌ی ماکریم تغییر مکان طبقات در قاب‌های مهاربندی شده‌ی شورون و زیپر، (الف) مدل‌های ۳ طبقه، (ب) مدل‌های ۶ طبقه، (پ) مدل‌های ۹ طبقه، (ت) مدل‌های ۱۲ طبقه، (ث) مدل‌های ۱۵ طبقه

مقاله برای قاب‌های مهاربندی شده‌ی زیپر ۵/۶۲ و برای قاب‌های مهاربندی شده‌ی شورون ۴/۲۸ بوده است. هم‌چنین شکل پذیری متوسط به دست آمده در این مقاله برای قاب‌های مهاربندی شده‌ی زیپر ۳/۶۵ و برای قاب‌های مهاربندی شده‌ی شورون ۳/۱۷ بوده است.
 ۲- با افزایش تعداد طبقات در سازه‌های دارای قاب‌های مهاربندی شده‌ی هم‌مرکز، شکل پذیری و ضریب رفتار سازه تدریجی کاهش می‌یابد.
 ۳- با توجه به تحلیل‌های استاتیکی انجام گرفته بر مدل‌های مورد بررسی در این مقاله، می‌توان نتیجه گرفت که توزیع نسبت تغییر مکان طبقه در قاب‌های مهاربندی شده‌ی زیپر یکنواخت‌تر از قاب‌های شورون می‌باشد که این نتیجه‌گیری با توجه به نتایج تحلیل‌های دینامیکی نیز قابل استنباط است.
 ۴- یکی از نقاط ضعف قاب‌های مهاربندی شده‌ی شورون افزایش بی‌رویه‌ی نسبت تغییر مکان طبقه در طبقات بالاتر، به خصوص در سازه‌های بلند مرتبه، می‌باشد، که این امر باعث کاهش مطابویت این سیستم‌های مهاربندی شده است. با توجه به این که این مشکل در قاب‌های زیپر وجود ندارد قاب‌های زیپر می‌توانند

نمودارهای شکل (۱۳) به منظور مقایسه‌ی ماکریم تغییر مکان طبقات در مدل‌های دارای سیستم‌های مهاربندی شورون و زیپر ارائه شده‌اند. مقایسه‌ی این مقادیر در مدل‌های مختلف نشان می‌دهد که در صورت استفاده از مهاربند زیپر این مقادیر همواره بیش‌تر از حالت استفاده از مهاربند شورون می‌باشد (به استثنای طبقات بام). هم‌چنین محاسبه‌ی مقدار مجاز آیین‌نامه‌ای و مقایسه‌ی آن با نمودارهای شکل (۱۳) نشان می‌دهد که مقادیر جایه‌جایی ماکریم طبقات برای هر دو نوع سیستم مهاربندی در کلیه مدل‌ها کمتر از مقدار مجاز آیین‌نامه‌ای است.

نتیجه‌گیری

با بررسی نتایج به دست آمده از تحلیل‌های استاتیکی و دینامیکی غیرخطی در حوزه‌ی مدل‌های سازه‌ای مورد بررسی در این مقاله، می‌توان به نتایج مهم زیر اشاره نمود:

- ۱- شکل پذیری و ضریب رفتار قاب‌های مهاربندی شده‌ی زیپر، همواره بیش‌تر از مقادیر متناظر در قاب‌های مهاربندی شده‌ی شورون با شکل پذیری ویژه می‌باشد. ضریب رفتار متوسط به دست آمده در این

به عنوان جایگزین مناسبی برای قاب‌های مهاربندی شده‌ی سورون انتخاب شوند.

مراجع

1. Yang, CH. SH., "Analytical and Experimental Study of Concentrically Braced Frames with Zipper Struts", PhD Thesis, Georgia Institute of Technology, (2006).
2. Yang, CH. SH., Leon, R. T., Des Roches, R., "Design and behavior of zipper-braced frames", School of civil and Env. Engineering, Georgia Tech, Atlanta, GA 30332-0355, USA, Engineering Structures, (2007).
3. Goel, S.C., "Earthquake Resistant Design of Ductile Braced Steel Structures", Stability and Ductility of Steel Structures under Cyclic Loading, CRC Press, Boca Raton, FL, PP. 298-308., (1992)
4. Bruneau, M., Uang, C.M., and Whittaker, A., "Ductile Design of Steel Structures", McGraw-Hill, (1998).
5. AISC 341,"Seismic Provisions for Structural Steel Buildings", American Institute of Steel Construction, Chicago., (2009).
6. Khatib, I.F., Mahin, S.A. and Pister, K.S., "Seismic Behavior of Concentrically Braced Steel Frames", Report No. UCB/EERC-88/01, Earthquake Engineering Research Center, University of California, Berkeley., (1988).
7. Tremblay, R. and Tirca, L., "Behavior and Design of multi-story zipper concentrically braced steel frames for the mitigation of soft-story response", Proceedings of the conference on behavior of steel structures in seismic areas, P.471-477, (2003).
8. M. Razavi. and M.R. Sheidaie., "Seismic Performance of Cable-Zipper Braced Frames", Journal of Constructional Steel Research, Vol. 74, PP. 49-57, (2012).
9. AISC 360., " Specification for Structural Steel Buildings", American Institute of Steel Construction, Chicago., (2010).
10. ATC-19., "Structural response modification factors ", Applied Technology Council , Redwood City, California, 995:5-32.
11. Whittaker, A., and Hart, G. and Rojhan, CH., "Seismic Response Modification Factors", Journal of Structural Engineering, Vol. 125, (1999).
12. ASCE7., "Minimum Design Loads for Buildings and Other Structures", American Society of Civil Engineers, Virginia., (2010).
13. ASTM, "American Society for Testing and Materials", (2004).
14. ABAQUS. Inc., "ABAQUS Analysis User's Manual", Release 6.5., (2004).
15. FEMA356., "Federal Emergency Management Agency" , Prestandard and Commentary for the Seismic Rehabilitation of Buildings, Washington, D.C., (2000).
16. Balendra, T. and Huang, X., "Over strength and ductility factors for steel frames designed according to BS 5950", Journal of Structural Engineering, ASCE, Vol. 129, PP. 1019-1035, (2003).

17. Kim, J., and Choi, H., "Response modification factors of chevron-braced frames", Engineering Structures, Vol. 27, PP. 285-300, (2005).
18. Maher, MR. and Akbari, R., "Seismic behavior factor, R, for steel X-braced and knee-braced RC building", Engineering Structures, Vol. 25, PP. 1505-1513, (2003).
19. FEMA 450., "Federal Emergency Management Agency", NEHRP Recommended Provisions for Seismic Regulations for New Buildings and other Structures, Washington, D.C., (2003).

رفتار سازه‌ای کanal‌های درون‌شهری پر شده با انواع مخلوط CLSM حاوی مصالح بازیافتی*

محمد‌کاظم شربتدار^(۱)

چکیده مخلوط‌های کم مقاومت روان (CLSM) بدون نیاز به تراکم در محل‌های مورد نیاز به عنوان پرکننده در پرکردن کanal‌های حفاری شده برای لوله‌های تأسیسات شهری استفاده می‌شوند. در این مقاله کارهای آزمون‌های مکعبی کوچک و کanal بزرگ ساخته شده با مخلوط بتن روان کم مقاومت انجام شد که نتایج مقاومت فشاری ۱۲ طرح نشان دهنده‌ی تولید بتن‌هایی بسیار روان است با نسبت آب به سیمان بالای ۲ با مقاومت‌های متفاوت که برای جایگزینی با خاکریزهایی با تراکم نامناسب و کاهش نشست آسیفالت متناسب است. کanal‌های بزرگ آزمایشگاهی و خیابانی، بارهای متتمرکزی بین ۳/۵ تا ۷ تن را که در حادود بار چرخ کامیون ۴۵ تنی آئینه‌های طراحی جاده‌ها و پل‌ها است که بعد از دو ماه با نشست بسیار اندک همراه بودند و رفتار سازه‌ای مناسب داشت.

واژه‌های کلیدی بتن (CLSM)، خاکستر بادی، کanal لوله‌ها، طرح اختلاط بهینه، نشست، مقاومت فشاری، رفتار سازه‌ای، طراحی روکش.

Structural Behavior of in-city canals filled with different CLSM containing Recycled Aggregated

M.K. Sharbatdar

Abstract Compacted Low strength material (CLSM) made with material such as fly ash and recycled aggregates is used as filler at city infrastructure canals without compaction need. Experimental small specimens and large canals were casted with this concrete and tested to give several results. Test results of compression strengths on 12 different designs shows that this concrete with high workability and w/c ratio over 2 can be replaced with low compacted filled soils and can reduce asphalt settlement over city pavements. Large CLSM canals inside and outside of laboratory tolerated concentrated loads from 3.5 to 7 ton about standard 45-ton Truck (at Bridge and pavement design codes) with low settlement after two months and showed acceptable structural behavior.

Keywords CLSM concrete, Fly ash, Canals, concrete design, settlement, compression strength, pavement design.

*تاریخ دریافت مقاله ۹۰/۶/۱ و تاریخ پذیرش آن ۹۲/۷/۱۴ می‌باشد.

(۱) دانشیار، دانشکده مهندسی عمران، دانشگاه سمنان.

باعت افزایش مقاومت و کاهش آب اندختن، و همچنین کاهش آبرفتگی و نفوذپذیری گردد. مصرف کمتر آب در آن باعث کاهش ترک‌های آبرفتگی و جمع‌شدگی و ترک‌های ناشی از آن می‌گردد و بعد از خشک شدن دارای افت می‌شود که در اجرا باید به این موارد دقت شود [9-11]. مصالح غیر استاندارد موجود مانند ماسه‌ی مازاد ریخته‌گری، خرد شیشه در شیشه‌گری، و بتن‌های خردشده و پساب‌های صنعتی متناسب با مقررات پروژه در مخلوط‌های CLSM استفاده می‌شوند [12-14]. خواص CLSM بین خواص خاک و بتن می‌باشند. این مخلوط مشابه موادی که در بتن استفاده می‌شود ساخته می‌شود و مشابه بتن نیز ریخته می‌شود و در حال استفاده نیز خواصی مشابه خاک را از خود نشان می‌دهد. جریان‌پذیری، خاصیتی است که CLSM را از دیگر مواد پرکننده متمایز می‌کند و ماده را قادر می‌سازد که خود به خود هموار گردد، به داخل یک حفره برود و آنجا را پر کند و بدون نیاز به تجهیزات سنتی ریختن بتن و تراکم، تراکم گردد. میزان آب مصرفی مورد نیاز برای این نوع بتن به پارامترهای مختلفی مانند نوع و میزان سنگدانه‌ها، نسبت آب به سیمان، مواد افزودنی و خاکستر بادی و دانه‌های نرم غیر چسبنده تا حدود ۲۰٪ وزن کل دانه‌ها و غیره بستگی دارد [15]. ماسه‌های استفاده شده کوره‌های ریخته‌گری فلزی و غیر فلزی پتانسیل خوبی برای اضافه شدن به بتن CLSM و اصلاح خواص آن دارند [16]. در سال‌های اخیر تحقیقات قابل توجهی برای استفاده از ضایعات صنعتی و غیره در ساخت و به کارگیری بتن‌های کم مقاومت و به صورت خاکریز روان با خصوصیتی جدید انجام شده است تا ضمن اقتصادی بودن، باعث بهبود خواص CLSM برای کاربردهای جدید باشد و در مواردی می‌توان از سرباره‌ی مانده در فیلترهای کارخانجات سیمان تا حدود ۱۵ درصد برای بهبود خواص بتن CLSM به خصوص جریان‌پذیری و مقاومت استفاده و جایگزین سیمان اصلی نمود [17,18]. اخیراً تحقیقاتی در خصوص استفاده از پسماندهای کارخانجات سنگبری

مقدمه

مصالح با مقاومت کم کنترل شده یک ماده سیمانی خود متراکم است که به عنوان یک ماده‌ی پرکننده در محل پرکننده‌های متراکم استفاده می‌شود و به صورت خاکریز روان، پرکننده با چگالی تنظیم شده، ملات روان، مخلوط سیمانی خاکی خمیری، و عبارت‌های دیگر بیان می‌شود و اطلاعاتی درباره کاربردها، خصوصیات مصالح، نسبت‌ها، ساخت و اجرا و مراحل کنترل کیفیت آن توسط مراجع معتبر علمی جهانی و بعضی از شرکت‌های اجرائی جهانی با نگرش مراحل اجرائی و کاربردها و نیز به وسیله‌ی محققان و پژوهشگران ارائه شده‌اند [1-3]. بعضی از این بتن‌ها دارای مقاومت فشاری $8/3$ مگاپاسکال یا کمترند بوده تا امکان حفاری این بتن در آینده وجود داشته باشد و فقط انتظار تحمل بارهای پیاده یا خودروی سبک از آن‌ها می‌باشد و به تراکم (تحکیم)، عمل آوری برای حصول مقاومت مورد نظر نیاز ندارد. این بتن به صورت آماده در یک ترانشه، یا حفاری‌ها به عنوان پرکننده‌ها ریخته می‌شود و با وجود سیال بودن در هنگام اجرا، بعد از ۲ یا ۳ ساعت می‌تواند وزن یک شخص را تحمل کند. اگرچه در مقایسه با خاکریز معمولی دارای قیمت بالاتری می‌باشد، خیلی از فواید آن باعث کاهش هزینه‌ها در محل می‌شود [4-6]. ماده‌ی مناسب برای کفسازی کانال‌های تلفن، برق، لوله و غیره است تا حفره‌های کف کanal را پر کند و تکیه‌گاه یکنواختی فراهم آورد [7,8].

مخلوط‌های معمولی CLSM معمولاً شامل آب، سیمان پرتلند، خاکستر بادی یا تولیدات مشابه، دانه‌های ریز یا درشت یا هر دو می‌باشند. اگرچه مواد استفاده شده در این مخلوط‌ها مقررات ASTM و دیگر استانداردها را رعایت می‌کنند، همیشه استفاده از مواد کاملاً استاندارد لازم نیست. انتخاب مواد باید براساس موجود بودن، هزینه، کاربرد خاص و خصوصیات ضروری مخلوط شامل روانی، مقاومت، قابلیت حفاری و چگالی باشد. خاکستر بادی ناشی از سوخت ذغال در بعضی اوقات برای بهبود روانی استفاده می‌شود تا

ظرفیت بالا با میزان بازشدنگی مناسب در این مقاله ارائه می‌گردد.

آزمونهای آزمایشگاهی

مصالح مصرفی. خاکستر بادی (وارداتی از کشور آفریقای جنوبی)، میکروسیلیس (کارخانه‌ی فروسیلیس سمنان) به عنوان مواد مکمل به همراه سیمان پر تلند تیپ ۲ و خرده آجر (به صورت اشباع با سطح خشک) با دانه‌بندی بین ۱۲/۵ تا ۲۰ میلی‌متر، آب، و ماسه یا شن برای ساخت انواع طرح اختلاط مخلوط بتی خاص کم مقاومت روان به کار رفت تا چند طرح اختلاط بهینه برای پرکردن کanal‌های لوله‌ها به دست آید. خاکستر بادی در کشورهایی مانند آفریقای جنوبی و در نیروگاه‌های ذغال سنگی با قیمت بسیار پائین تولید می‌شود و برای مصرف احجام زیاد در ایران، حمل و نقل پرهزینه‌ای دارد. ضمناً مشاً طبیعی این مواد در کشور ایران یافت شده است که به‌زودی قابل بهره‌برداری با قیمت مناسب خواهد بود. استفاده از خرده آجر در بسیاری از کارخانجات و پروژه‌های عمرانی، کمکی به حفظ محیط زیست می‌باشد. البته امکان استفاده از پودر سنگ به عنوان بخشی از مواد جایگزین خاکستر بادی جهت افزایش روانی با اثرات مثبت و منفی نیز وجود دارد که در این طرح مورد بررسی قرار نگرفته است.

مشخصات طرح‌های اختلاط آزمونهای مکعبی

۶۰ آزمونهای مکعبی ۱۵ سانتی‌متری در چهار نوع طرح اختلاط D1 تا D4 با خصوصیات جریان اسلام‌پ مناسب و بسیار روان مطابق با استاندارد ۱۸۸۱-۸۳ BS ساخته شدند و در قالب‌های مکعبی ریخته و در دو حالت متفاوت عمل آوری گردد تا تأثیر عمل آوری بر بتن‌های کم مقاوم حاوی خاکستر بادی بررسی گردد. مقادیر آب، سیمان، ماسه و خاکستر بادی و هم‌چنین نسبت‌های آب به سیمان و نسبت آب به مجموع سیمان و خاکستر بادی و هم‌چنین وزن

در ساخت بتن‌های روان توسط آقای دکتر کاشی در استیتوی مصالح ساختمانی دانشگاه تهران انجام شده است.

نشست همراه با کاهش حجم CLSM به‌محض آزاد کردن آب یا هوای محبوس از طریق متراکم کردن مخلوط می‌باشد. آب مصرفی برای جریان‌پذیری معمولاً بیشتر از آب مورد نیاز برای هیدراسیون می‌باشد و معمولاً به‌وسیله‌ی خاک اطراف کanal‌ها جذب می‌گردد و یا از طریق سطح به صورت آب انداختن آزاد می‌گردد. خاکریزهای متراکم شده حتی وقتی شرایط تحکیم را مراعات کنند نشست می‌کنند ولی CLSM بعد از سخت شدن هیچ نشستی ندارد. CLSM با مصالح پلی‌اتیلن که عموماً به عنوان محافظه برای وسایل زیر خاکی و یا لوله‌های گاز یا آب استفاده می‌شوند سازگار است. برای هر نوع ماده‌ی پرکننده یا خاکریز، دقت لازم باید مبدول داشت تا آسیبی به روکش محافظ خطوط لوله‌های مدفون وارد نشود. دانه‌بندی ریزدانه CLSM‌ها می‌تواند باعث تقلیل خراشیدن و ضربه زدن به این سطوح پلی‌اتیلنی شود. مخلوط‌های بتی خاکریز روان برای پرکردن فضای خالی زیر و اطراف و بالای لوله‌های گاز یا آب یا فاضلاب نصب شده‌ی درون یا برون شهری در کanal‌های حفاری شده قابل استفاده می‌باشند. ضمناً جلوگیری از نشست و احتمال خمیدگی در لوله‌ها، از دسترسی و آسیب‌های احتمالی لوله‌های پلی‌اتیلن توسط حشرات موذی جلوگیری می‌کند. تاکنون آزمایش‌های متعددی انجام گرفته است تا ضمناً به دست آوردن طرح اختلاط‌های مختلفی برای تولید و اجرای بتن CLSM، آزمایش‌های متعدد سازه‌ای بر روی کanal‌های حفاری شده‌ای که لوله‌های پلی‌اتیلن در آن قرار دارد و با این بتن‌ها پر شده است انجام شود. پارامترهای آزمایشگاهی زیادی برای کاربرد این بتن در این مورد خاص مورد بررسی قرار گرفته‌اند که مراحل طراحی و ساخت آزمونهای مکعبی استاندارد فشاری ۱۵۰ میلی‌متری و کanal‌های بتی تحت جک‌ها با

ولی در مواردی علاوه بر بتن روان به مقاومت مناسب نیز به دلیل تردد سنگین نیاز است که مصرف بالاتر سیمان یا میکروسیلیس باید مدنظر باشد که در هر دو حالت استفاده یا عدم استفاده از خرده آجر می‌تواند هم نقش مقاومتی و هم مزیت اقتصادی به عنوان مصالح بازیافتی جایگزین سنگدانه‌های معمولی گرددند. چنانچه از خرده آجر خشک استفاده شود باید آب را به میزان درصد جذب در حدود ۲۵ تا ۳۰ درصد، آب اضافه کرد تا کارابی و روانی مناسب برای تولید بتن روان حاصل گردد.

مخصوص برای یک متر مکعب در جدول شماره‌ی (۱) ارائه شده است.

در آزمایش‌های مرحله‌ی بعد نیز مخلوط‌هایی برای شرایط خاص با استفاده از ترکیب خاکستر بادی و میکروسیلیس و متناسب با نیاز مقاومتی مورد نیاز، با و بدون استفاده از خرده آجر، چهار نوع طرح اختلاط DC1 تا DC4 برای یک متر مکعب مطابق جدول (۲) ساخته شدند و مورد آزمایش قرار گرفتند تا در پر کردن کانال‌های واقعی استفاده شوند. در بعضی موارد نیاز به مقاومت بالا نیست و بتن بسیار روان با مصرف کم سیمان و مصرف بالای خاکستر بادی تولید می‌شود

جدول ۱ طرح اختلاط بتن روان آزمونهای مکعبی ۱۵۰ میلی‌متری

مؤلفه‌های بتن	D1	D2	D3	D4
سیمان (کیلوگرم)	۲۲۰	۱۱۰	۱۱۰	۷۵
خاکستر بادی (کیلوگرم)	۰	۱۱۰	۲۲۰	۲۲۵
ماسه (کیلوگرم)	۱۳۳۰	۱۳۳۰	۱۳۳۰	۱۳۳۰
آب (کیلوگرم)	۲۲۰	۲۲۰	۳۳۰	۳۰۰
وزن مخصوص ($\frac{kg}{m^3}$)	۱۷۷۰	۱۷۷۰	۱۹۹۰	۱۹۳۰
$\frac{W}{C}$	۱	۲	۳	۴
$\frac{W}{C+F}$	۱	۱	۱	۱

جدول ۲ طرح‌های اختلاط مخلوط بتی ساخته شده برای پرکردن کانال‌های حفاری شده

اجزاء تشکیل دهنده بتن	DC1	DC2	DC3	DC4
سیمان (کیلوگرم)	۵۸	۵۰	۱۲۰	۱۱۰
خاکستر بادی (کیلوگرم)	۱۱۷	۱۰۰	۱۲۰	۲۲۰
میکروسیلیس (کیلوگرم)	۰	۱۳	۰	۰
آب مصرفی (کیلوگرم)	۱۷۵	۱۵۰	۲۴۰	۲۷۵
$\frac{W}{C}$	۳	۳	۲	۲/۵
$\frac{W}{C+F}$	۱	۱	۱	۰/۸
ماسه (کیلوگرم)	۷۰۰	۷۰۰	۱۴۸۰	۱۳۲۰
خرده آجر اشباع (کیلوگرم)	۹۰۰	۹۰۰	۰	۰
وزن مخصوص ($\frac{kg}{m^3}$)	۱۹۵۰	۱۹۱۳	۱۹۶۰	۱۹۲۵

مخلوط DC4 پر شده‌اند. در بسیاری موارد می‌توان لوله‌ی فلزی یا پلی‌ایتیلن در قالب قرار داد و بتن بر روی آن ریخت اما در مواردی مانند لوله‌های گاز باید طوری باشد که مشکلی برای کنترل کیفیت جوش‌های لوله‌های پلی‌ایتیلن بعد از عبور گاز داخل آن‌ها به وجود نماید، لذا دو نوع بتن ریزی در قالب‌ها در نظر گرفته شدند. در حالت اول، یک غلاف پلیکای سبک مطابق شکل (۲-الف) در اطراف لوله‌ی اصلی گاز قرار گرفت و سپس بتن روان بر روی این غلاف‌ها ریخته شد که در نتیجه هیچ تماسی بین بتن و لوله‌ی اصلی وجود نداشت و در حالت دوم، بر روی لوله‌ی اصلی تا عمق مشخصی مطابق شکل (۲-ب)، خاک ریخته شد و به‌طور مناسب کوبیده شد. سپس یک لایه بتن روان بر روی لایه‌ی خاک کوبیده شده ریخته شد که هیچ تماسی بین بتن و لوله‌ی اصلی وجود نداشت. در همه‌ی قالب‌ها، ابتدا به‌اندازه‌ی ۲ سانتی‌متر خاک نرم‌های ریخته شد و لوله روى آن قرار گرفت. در چهار قالب A، B، C و D شکل (۲-الف) با عمق کل ۲۸ سانتی‌متر، ابتدا غلافی نیم‌دایره‌ای به قطر ۱۰ سانتی‌متر بر روی لوله‌ی اصلی پلی‌ایتیلن به قطر ۶ سانتی‌متر قرار داده شد تا بتن با لوله‌ی اصلی در تماس نباشد سپس بتن با عمق ۱۵ سانتی‌متر مستقیماً بر بالای غلاف پلیکایی و هم‌چنین در اطراف آن ریخته شد. در دو قالب E و F شکل (۲-ب) با عمق کل ۳۸ سانتی‌متر، ابتدا لوله بر روی خاک نرم‌های خاک مخلوط ریزدانه با عمق حدود ۱۵ سانتی‌متر در بالای لوله‌ی اصلی و اطراف آن ریخته و به صورت دستی کوبیده شد و سپس با لایه‌ی مخلوط بتن روان با عمق حدود ۱۵ سانتی‌متر به‌طور کامل پر گردید.

قالب‌های مکعبی آزمایشگاهی با مخلوط روان بدون نیاز به ویبره، پر می‌شوند و ملاک روانی نیز محاسبه‌ی قطر بتن پخش شده‌ی یکنواخت در آزمایش جریان اسلامپ مطابق ۹۰ ASTM C143- (۱) است که برای بتن‌های CLSM هم کاربرد دارد. اگرچه از سوزن ویکات برای اندازه‌گیری زمان گیرش ملات بتنی استفاده نشده است ولی با مشاهده در محل، زمان گیرش اولیه‌ی بتن در فضای داخل آزمایشگاه حدود ۹۰ دقیقه و زمان گیرش نهایی بسته به نوع مواد بین ۶ تا ۹ ساعت متغیر بود. آزمونه‌ها بعد از مدت زمان مورد نظر تحت آزمایش مقاومت فشاری قرار می‌گیرند. از محاسن بتن‌هایی با مقاومت فشاری پائین، امکان حفاری مجدد بعد از مدت‌ها و هم‌چنین قابلیت میخ‌کوبی برای کارهای خاص می‌باشد که در این پروژه بررسی گردید.

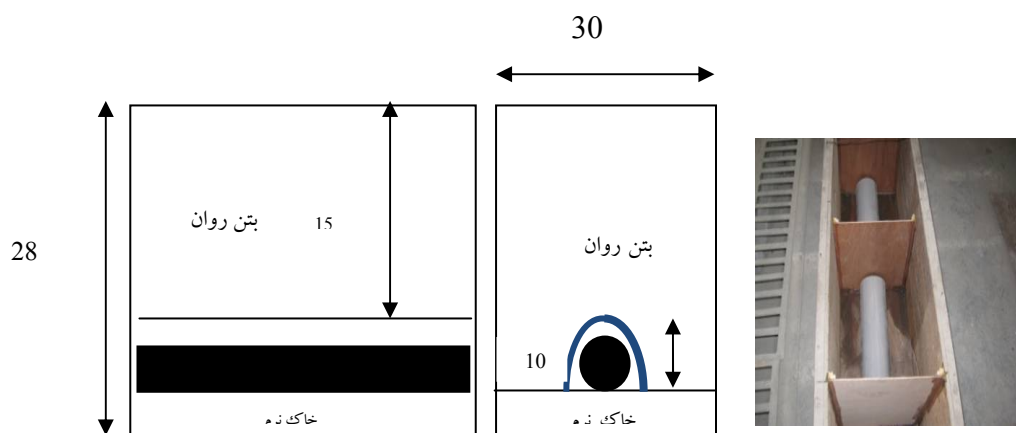
مشخصات آزمونه‌های قالب‌های کانال‌مانند سازه‌ای آزمایشگاهی

شش قالب مشابه کانال در آزمایشگاه و شش کانال مورد نظر با ابعاد و شرایط مشابه نیز در خیابان‌ها در نظر گرفته شده‌اند. همه‌ی قالب‌ها دارای ابعادی به طول ۴۰ سانتی‌متر و عرض ۳۰ سانتی‌متر چهار قالب دارای عمق ۲۸ و دو قالب دارای عمق ۳۸ سانتی‌متر بودند. بدنه‌های این قالب‌های چوبی نسبتاً محکم و سخت است و نسبتاً شبیه بدنه‌های اطراف کانال‌های طبیعی خاکی می‌باشد. این قالب‌ها از A تا F نام گذاری شده‌اند که مجموعاً چهار نوع مخلوط در داخل آن‌ها قرار می‌گیرد.

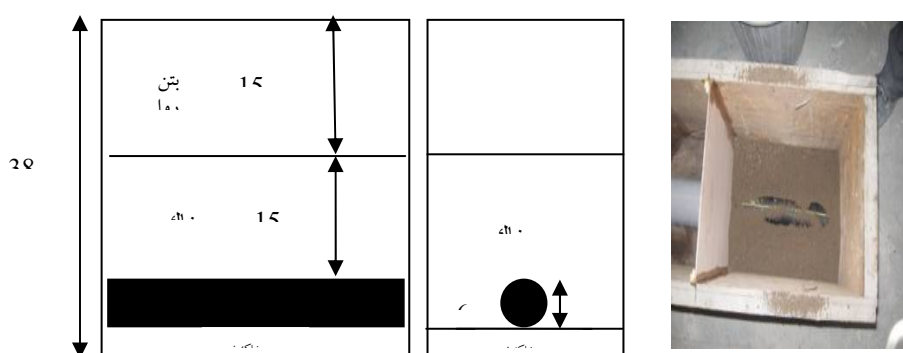
قالب‌های A و E با مخلوط DC1، قالب‌های C و F با مخلوط DC3، قالب B با مخلوط DC2، قالب D با



شکل ۱ آزمایش جریان اسلامپ و اندازه‌گیری میزان روانی مخلوط



الف- حالت اول - غلافها بر روی لوله‌ی اصلی



ب- حالت دوم - لوله‌ی اصلی و لایه خاک کوبیده شده روی آن

شکل ۲ مقطع لوله‌های داخل کانال‌های آزمایشگاهی



شکل ۳ کلیه قالب‌های پر شده

بر روی چرخ‌ها طبق آیین‌نامه‌ها، در نظر گرفته شود. در این شرایط بار متمنکر مجاز در زیر هر چرخ بین ۳ تا ۴/۵ تن متغیر است. عرض چرخ طبق آیین‌نامه‌ی بارگذاری جاده‌ها و پل‌ها برابر ۱۰ سانتی‌متر و طول آن حدود ۲۰ سانتی‌متر می‌باشد. برای شبیه‌سازی بار وارد بر کanal‌ها مشابه لاستیک کامیون، تکیه گاهی فلزی مشابه شکل (۵) با ابعاد ۱۰ سانتی‌متر عرض و حدود ۱۹ سانتی‌متر طول ساخته شد تا بار سنگین از طریق آن به کanal متغیر گردد و از مرکز بار بر روی بتن جلوگیری شود. کanal‌ها در زیر جک فشاری قرار می‌گیرند و بارستن مطابق شکل (۶) بر روی آن قرار داده می‌شود تا بار وارد را اندازه‌گیری کند. ضمناً کمی خاک در زیر قالب چوبی شبیه‌سازی شده ریخته می‌شود تا شبیه کف کanal طبیعی خاکی باشد و دارای کف فلزی سخت مشابه کف آزمایشگاه نباشد. مطابق شکل (۷)، از دو نوع تغییر مکان‌سنج برای اندازه‌گیری تغییر مکان‌های قائم بر روی سطح بتن و هم‌چنین بر روی کف کanal چوبی استفاده شده‌اند.

شش قالب داخل آزمایشگاه و شش کanal حفاری شده در خیابان آسفالتی با چهار نوع طرح اختلاط که تقریباً همه دارای خصوصیات اسلامپ ریزشی بیش از حد متعارف در بتن‌های معمولی بودند مطابق شکل (۳) به راحتی پر شدند و ۱۶ آزمونه‌ی مکعب ۱۵ سانتی‌متری نیز برای اندازه‌گیری مقاومت تهیه شدند.

مشخصات آزمونه‌های کanal‌های حفاری شده سازه‌ای خیابانی

شش کanal مورد نظر در خیابان‌ها (از A تا F) نیز با ابعاد و شرایط مشابه شش قالب داخل آزمایشگاه در نظر گرفته شدند و به طور مجزا با بدنه‌های کاملاً طبیعی خاکی حفر گردیدند و لوله‌ها به دو صورت با و بدون غلاف قرار گرفتند و با چهار نوع طرح اختلاط DC1 تا DC4 پر شدند. نمای جزیی و کلی هر چهار کanal A، B، C، و D با عمق کل ۲۸ سانتی‌متر و دو کanal E و F با عمق کل ۳۸ سانتی‌متر، قبل از بتن‌ریزی در شکل (۴) نشان داده شده‌اند.

مراحل بارگذاری کanal‌های داخل آزمایشگاه

کanal‌ها باید تحت شرایط بارگذاری بسیار مشابه به عبور کامیون ۱۰ چرخ ۴۵ تنی به عنوان سنگین‌ترین بار



شکل ۴ آماده کردن کلیه‌ی کanal‌های خیابانی



شکل ۶ نصب جک و بارسنج و ریختن خاک در زیر قالب



شکل ۵ تکیه‌گاه فلزی متنقل‌کننده بار

شکل ۷ نصب تغییر مکان سنج برای اندازه‌گیری
تغییر مکان‌های قائم قالب‌ها

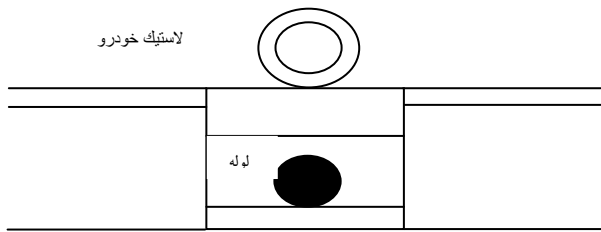
در جدول (۳) و نسبت مقاومت ۲۸ به ۷ روزه‌ی آزمون‌ها نیز در جدول (۴) داده شده‌اند که a_1 مقاومت فشاری نمونه با عمل آوری مناسب و a_2 بدون عمل آوری ۲۸ روزه بوده است و $\frac{a_1}{a_2} = k_1$ نسبت این دو عدد می‌باشد در حالی که a_3 مقاومت فشاری ۷ روزه‌ی نمونه بدون عمل آوری است و k_2 نسبت مقاومت‌های ۲۸ به ۷ روزه بدون عمل آوری می‌باشد. مقاومت این آزمون‌ها متناسب با طرح‌های مختلف اختلاط و میزان مصرف مؤلفه‌های بتن از ۴ تا ۸۵ کیلوگرم بر سانتی‌متر مربع متغیر بودند که بر حسب نیاز از یکی از این طرح‌ها در مراحل بعدی استفاده گردید. زمان گیرش اولیه و نهایی آزمون‌ها متناسب با میزان مصرف سیمان و مصرف خاکستر بادی و شرایط جوی و آب و هوایی، متغیر می‌باشد و اگر نیاز به تردد سریع افراد و به خصوص وسایل نقلیه می‌باشد باید با استفاده از موادی مانند میکروسیلیس سعی شود مقاومت اولیه‌ی بالاتری در زمان کوتاه‌تر به دست آید.

مراحل بارگذاری و تردد خودروها بر روی کانال‌های خیابان

کانال‌های خیابان پس از سه روز ترافیک سبک خودروی سواری و پس از شش روز ترافیک سنگین کامیون‌ها و اتوبوس‌ها باز شد. شکل (۸) آماده بودن کانال‌ها پس از تکمیل بتون‌ریزی و جمع کردن موادع اطراف آن را نشان می‌دهد که آماده‌ی تردد وسایل نقلیه سبک می‌باشد. شکل (۹) تردد و عبور خودروی سبک سواری و کامیون سنگین حدود ۲۰ تن که از روی همه کانال‌ها می‌گذرند را نشان می‌دهند.

نتایج آزمایش‌ها

آزمون‌های مکعبی. نتایج مقاومت‌های فشاری ۲۸ روزه‌ی آزمون‌های مکعبی ۱۵ سانتی‌متری (مطابق بند ۱-۶ استاندارد ۶۰۴۸ ایران) بدون عمل آوری شدن (در هوای آزاد آزمایشگاه) و آزمون‌های عمل آوری شده به صورت مرطوب و درصد افزایش مقاومت آزمون‌های عمل آوری شده نسبت به عمل آوری نشده



ب- کanal ساخته شده آماده

شکل ۸ آماده بودن کانال‌های خیابانی برای بارگذاری

الف- مقطع شماتیک کanal خیابانی و چرخ لاستیک خودرو



شکل ۹ ترد و عبور خودرو سبک سواری و کامیون بر روی کانال‌های خیابانی

جدول ۳ نتایج مقاومت‌های فشاری ($\frac{kg}{cm^2}$) ۲۸ روزه‌ی آزمونه‌های مخلوط‌های متفاوت با مقایسه‌ی اثر عمل آوری

مخلوط												نوع عمل آوری	
D4			D3			D2			D1				
متوسط	نمونه ۱	نمونه ۲											
۲۴/۹	۲۴/۱۲	۲۵/۶۷	۳۳/۳	۳۵/۹۶	۳۰/۷۰	۴۸/۷	۴۸/۸۰	۴۸/۵۷	۸۰/۸	۸۵/۸۳	۷۵/۷۶	$a_1 = \text{با}$	
۱۴/۳۵	۱۵/۰۱	۱۳/۶۹	۱۲/۳	۱۱/۸۴	۱۴/۷۷	۲۶/۷	۲۸/۶۷	۲۸/۶۷	۷۷/۱۱	۷۵/۵۶	۷۸/۶۷	$=\text{بدون} a_2$	
۱/۷۳	۱/۶	۱/۸۷	۲/۵	۳/۰۴	۲/۰۸	۱/۸۳	۱/۸۳	۱/۸۳	۱/۰۵	۱/۱۴	۰/۹۶	$k_1 = \frac{a_1}{a_2}$	

جدول ۴ نتایج مقاومت فشاری ($\frac{kg}{cm^2}$) آزمونه‌ها بدون عمل آوری مخلوط‌های متفاوت با مقایسه‌ی عمر آزمونه‌ها

مخلوط												مدت زمان (روز)	
D4			D3			D2			D1				
متوسط	نمونه ۱	نمونه ۲											
۱۴/۳۵	۱۵/۰۱	۱۳/۶۹	۱۲/۳	۱۱/۸۴	۱۴/۷۷	۲۶/۷	۲۸/۶۷	۲۸/۶۷	۷۷/۱۱	۷۵/۵۶	۷۸/۶۷	$a_2 = ۲۸$	
۲۴/۲	۲۴/۷	۲۳/۷	۷/۹	۷/۶	۸/۲	۱۹/۱۴	۱۸/۹	۱۹/۳	۶۵/۷۹	۶۴/۴۷	۶۷/۱۱	$a_3 = ۷$	
۲/۰۵	۲/۴	۲/۷	۱/۷	۱/۶	۱/۸	۱/۳۹	۱/۴	۱/۳۸	۱/۱۷	۱/۱۷	۱/۱۷	$k_2 = \frac{a_2}{a_3}$	

جدول ۵ نتایج مقاومت‌های ۹۰ روزه (سه ماهه) آزمونه‌های مکعبی ۱۵ سانتی‌متری بدون عمل‌آوری شدن

نسبت مقاومت ۹۰ به ۷ روزه	مقاومت فشاری ۹۰ روزه $\frac{\text{kg}}{\text{cm}^2}$	مقاومت فشاری ۷ روزه $\frac{\text{kg}}{\text{cm}^2}$	طرح اختلاط
۱/۸	۱۳/۵	۷/۵	DC1
۱/۸۲	۱۵/۵	۸/۵	DC2
۲	۳۷/۷	۱۸/۵	DC3
۲/۱	۴۳/۵	۲۱	DC4

بتن و نشت در کانال‌های مختلف در شکل (۱۰) نشان داده شده‌اند. در کانال‌های A و B با مخلوط‌های DC1 و DC2 دارای خرده آجر، بتن مستقیماً بر روی غلاف پلیکا ریخته شد و به‌دلیل عدم وجود خاک بر روی لوله‌ها و زیر بتن ریخته شده، میزان نشت نهایی بسیار ناچیز بود. کانال‌های A و B به‌ترتیب بارهای ۳/۷ و ۳/۸۵ تن را تحمل کردند که در حدود بار نهایی از طرف چرخ کامیون می‌باشد. ترک‌ها به صورت شعاعی در اطراف صفحه‌ی فلزی که مشابه چرخ لاستیک است اتفاق افتاد. کانال B با مخلوط DC2 دارای درصدی میکروسیلیس بود که باعث افزایش نسبی و مصرف کم‌تر سیمان شد.

در قالب‌های C و D با مخلوط‌های روان‌تر و نرم‌تر DC3 و DC4 (بدون خرده آجر)، بتن مستقیماً بر روی غلاف‌های پلیکا ریخته شد و تماسی با لوله‌های اصلی پلی اتیلن نداشت و میزان نشت نهایی در هر دو قالب بسیار ناچیز بود و به‌ترتیب باری معادل ۶ و ۵ تن، تقریباً دو و یک نیم برابر بار ماکریم مجاز کامیون‌های سنگین در جاده‌ها تحمل کرد و ترک‌ها هم به صورت شعاعی در اطراف صفحه‌ی فلزی تا شکست نهایی ادامه یافت و رفتار مناسب‌تری نسبت به قالب‌های دارای خرده آجر نشان داد. در قالب E به‌دلیل خاک بر روی لوله‌ها و زیر بتن، نشت اولیه حائز توجه بود ولی نشت نهایی بعد از تراکم خاک، بسیار ناچیز بود. با داشتن مخلوط DC1 و مقدار قابل توجه خرده آجر و باری معادل ۳/۵ تن مشابه کانال‌های A با مخلوط مشابه و کانال B با مخلوط DC2، بار در قالب

برای حصول مقاومت کوتاه‌مدت و به نیت بهره‌برداری سریع از کانال بتن‌ریزی شده و اجازه‌ی تردد، آزمونه‌های کانال‌های ساخته شده در خیابان، بعد از سه روز در معرض تردد خودروها قرار گرفتند و در حقیقت آزمایش مقاومت فشاری بر روی آن‌ها انجام شد. مقاومت فشاری متوسط ۷ و ۹۰ روزه‌ی آزمونه مکعبی بتنی (با سیمان پرتلند تیپ ۲) طرح‌های اختلاط DC1 تا DC4 در جدول (۵) نشان داده شده‌اند. نتایج سه ماهه رشدی حدود ۱۰۰٪ در مقاومت فشاری آزمونه‌های بتنی نسبت به مقاومت فشاری متوسط ۷ روزه را نشان داد که به‌طور افزایشی قابل توجه است. باید توجه کرد که کلیه‌ی آزمونه‌ها در فضای باز آزمایشگاه و بدون هر گونه عمل‌آوری خاص نگه داشته شده‌اند. بنابراین بر خلاف بتن‌های معمولی که عدم عمل‌آوری مناسب باعث جلوگیری از افزایش قابل توجه در مقاومت فشاری می‌شود، بتن‌های حاوی خاکستر بادی با عمل‌آوری کم‌تر یا ناچیز هم می‌توانند افزایش مقاومت فشاری داشته باشند. قطر بتن ریزشی در آزمایش اسلامپ به عنوان معیاری برای روانی نسبی بتن ساخته شده می‌باشد. قطر متوسط بتن ریزشی در آزمایش‌ها طرح اختلاط یک، دو، سه و چهار به‌ترتیب برابر ۶۱، ۵۴، ۷۸ و ۶۹ سانتی‌متر و همگی به صورت ریزشی بود.

مشاهدات و نتایج سازه‌ای کانال‌های

آزمایشگاهی

مراحل مختلف بارگذاری توسط جک‌های فشاری پس از ۱۴ روز بعد از بتن ریزی و شکست تدریجی سطح

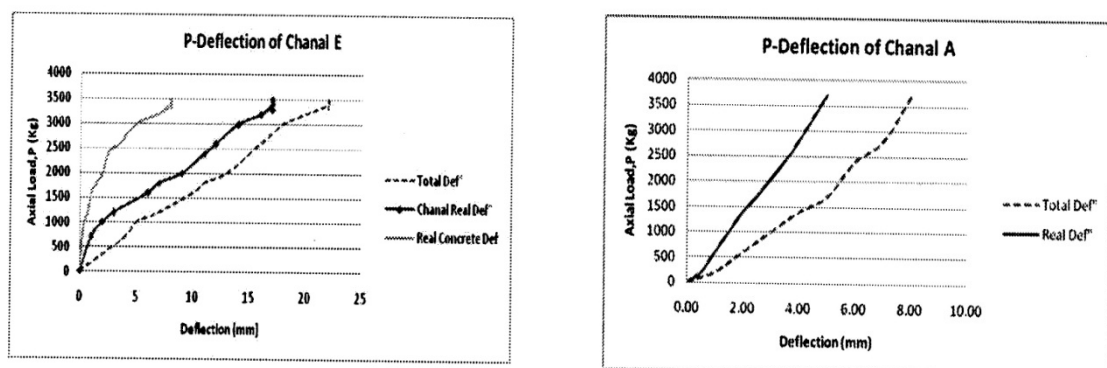
نهایی محاسبه شده که بر اساس تغییر مکان واقعی بتن و ارتفاع متوسط بتن ریزی در نظر گرفته شده است برابر ۲ درصد و تنش نهایی برابر با ۱۹/۹۵ کیلوگرم بر سانتی متر مربع می باشد.

قالب های آزمایشگاهی متناسب با نوع بتن مصرفی و وجود یا عدم وجود خرده آجر و یا میکروسیلیس و خاکستر بادی دارای نشت و باربری متفاوت بودند. قالب B به دلیل مخلوط سخت تر حاوی خرده آجر و میکروسیلیس، دارای نشت نهایی کمتر ولی باربری بیشتر نسبت به قالب A بود. قالب E با نسبت آب به سیمان بالا و مقدار قابل توجه خرده آجر و یک لایه خاک کوبیده شده، رفتاری مشابه قالب A با بار نهایی حدود ۹۰٪ بار نهایی کanal B داشت. قالب F دارای مخلوطی مشابه کanal C ولی دارای یک لایه خاک کوبیده شده بر روی لوله ها و زیر بتن بود، از این رو، نشت اولیه ای قابل توجه داشت ولی میزان نشت نهایی آن بسیار ناچیز بود و بار نهایی آن به ترتیب ۲۵٪ و ۵۰٪ بیش از بار تحمل شده ای قالب های C و D بود. نشت اولیه ای قابل توجه در این قالب به دلیل نوع بتن نرم و انعطاف پذیری بود که دارای درشت دانه و خرده آجر نبود و در کنار مقاومت فشاری قابل توجه، دارای تغییر مکان قائم قابل توجه هم بود. منحنی های تنش - کرنش بتن شش قالب در شکل (۱۲) نشان داده شده اند.

B به دلیل استفاده از میکروسیلیس حدود ۱۲٪ بیشتر بود. در قالب F با مخلوط DC3 و بدون استفاده از خرده آجر، خاک کوبیده بین لوله ای اصلی پلی اتیلن و بتن روان قرار گرفت لذا نشت اولیه ای ناشی از تراکم خاک مشاهده شد ولی نشت نهایی آن ناچیز بود و باری برابر ۷/۵ تن معادل دو برابر بار بیشینه مجاز کامیون های سنگین در جاده ها، قبل از خرابی نهایی را تحمل کرد. تنش در هر مرحله بر روی بتن قالب ها برابر بار وارد در آن مرحله تقسیم بر مساحت تکیه گاه فلزی (۱۹۰ سانتی متر مربع) می باشد. اختلاف بین تغییر مکان قائم کل (Total Displacement) زیر بار وارد و تغییر مکان قائم کف قالب چوبی ناشی از تراکم خاک برابر با تغییر مکان واقعی (Real Displacement) بتن در زیر بار وارد خواهد شد. نتایج اولیه ای که از آزمایش ها به دست آمد شامل مقدار بار P و تغییر مکان های کل در سطح بتن (در مجاورت صفحه های فولادی) و تغییر مکان بر روی کف چوبی قالب بودند لذا منحنی های بار - تغییر مکان کل و بار - تغییر مکان واقعی و تنش - کرنش بتن داخل قالب ترسیم گردید که کرنش حاصل تقسیم تغییر مکان واقعی سطح بتن بر ارتفاع بلوك و قالب بتی (ارتفاع متوسط) می باشد. آزمونهای از منحنی بار فشاری - تغییر مکان کanal های A و E در شکل (۱۱) نشان داده شده است که تغییر مکان کل قرائت شده توسط یکی از تغییر مکان سنج ها را و همچنین اختلاف قرائت تغییر مکان سنج دوم و اول را به عنوان تغییر مکان واقعی نشان می دهد. کرنش



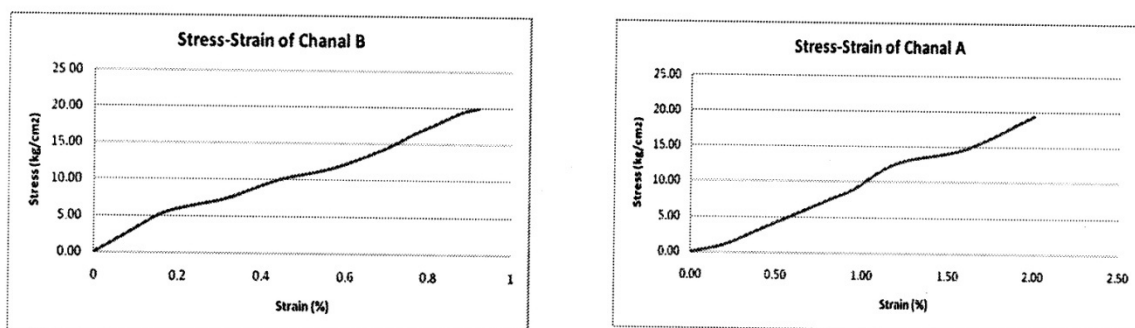
شکل ۱۰ مراحل بارگذاری تدریجی و شکست نهایی قالب کanalی B با ترک های شعاع



ب - قالب E

الف - قالب A

شکل ۱۱ منحنی‌های نیرو - تغییر مکان‌های کل و واقعی بتن قالب‌ها

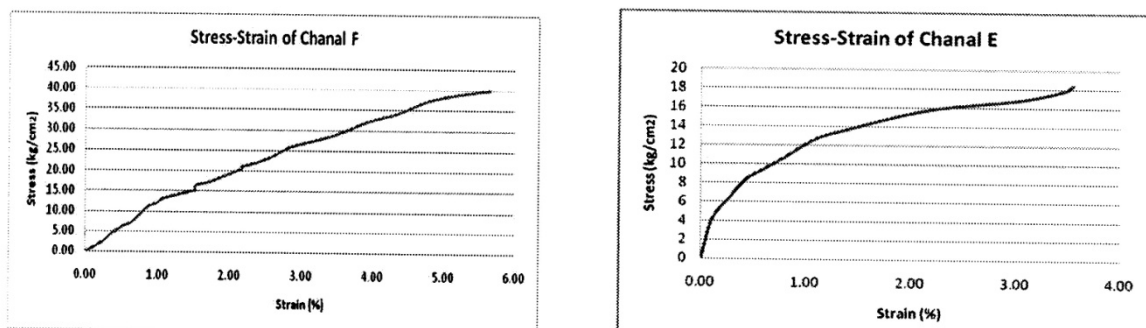


ب - قالب الف - قالب ب

B

ج - قالب C - قالب د

D



و - قالب E - قالب

F

شکل ۱۲ منحنی‌های تنش - کرنش بتن در قالب‌ها

ولی کanal‌های C و D و F دارای مخلوط‌های بتُنی حاوی خاکستر بادی و بدون خرده آجر به صورت نرم و با سطحی صیقلی و صاف بودند لذا سایش سطحی کم‌تری داشتند. میزان نشست در کanal‌ها بسیار اندک بود، به طریقی که به صورت چشمی قابل تشخیص نبود. میزان نشست سطح بتن در کanal‌های مختلف خیابانی نسبت به سطح آسفالت مجاور اندازه‌گیری شد که میزان متوسط نشست در کanal‌های C و D و F پس از سه ماه به ترتیب برابر $1/5$ ، $1/5$ و 1 میلی‌متر بود. میزان متوسط نشست مقادیر برجسته نسبت به سطح آسفالت کم‌تر از $1/5$ میلی‌متر و میزان متوسط فرورفتگی در سطوح زبر برابر 5 میلی‌متر بود. لذا مشاهدات رفتار کanal‌های بتُنی با و بدون خرده آجر تحت تردد خودروها نشان داد که این کanal‌ها می‌توانند متناسب با نیاز مقاومتی و کیفیت سطح روکش راه، در خیابان‌های اصلی یا فرعی و یا شهری و روستایی استفاده گردد.

تجزیه و تحلیل نتایج

پارامترهای مختلفی برای بررسی نتایج حاصل مدنظر بودند که عبارتند از عمل‌آوری مرطوب یا عدم عمل‌آوری، عمر آزمونه‌ها، میزان نسبت $\frac{W}{C}$ میزان مصرف خاکستر بادی برای افزایش کارایی در قالب نسبت $\frac{W}{C+F}$ و تعداد آزمونه‌ها برای هر مخلوط. در پایان اثر پارامترهای مختلف مقایسه شدند.

نتایج سازه‌ای کanal‌های خیابانی

کanal‌های خیابانی پس از بتُن‌ریزی و جمع‌آوری موائع پس از حدود سه روز در معرض عبور و مرور وسائل نقلیه‌ی سبک و بعد از حدود ۵ روز در معرض وسائل نقلیه‌ی سنگین مانند اتوبوس و کامیون باز شدند و وضعیت ظاهری سطح کanal‌ها به طور متوسط هر هفته به طور دقیق بررسی شد. شرایط اطراف کanal‌های خیابانی به دلیل طبیعی و سخت‌تر بودن، مناسب‌تر از شرایط کanal‌های آزمایشگاهی بودند لذا انتظار رفتار بهتری از این کanal‌های خیابانی نسبت به کanal‌های آزمایشگاهی بوده است لذا اثر نشست یا ترک یا آسیب دیگری مشاهده نشد و این کanal‌ها توانستند بار متراکمی بین 3500 تا 7000 کیلوگرم (مشابه بار انتقالی از چرخ خودروهای سبک و سنگین) را تحمل کنند. بتُن‌های حاوی خاکستر بادی حتی بدون عمل‌آوری ویژه و بعد از حدود سه ماه، بیش از 80% افزایش مقاومت از خود نشان دادند لذا دارای محسنه نسبت به آسفالت به خصوص در لکه‌گیری می‌باشند. نشست کanal‌های خیابانی پس از حدود سه ماه پس از بتُن‌ریزی و تردد خودروهای سبک و سنگین مطابق شکل (۱۳) اندازه‌گیری شدند که نشان داد که ظاهر کanal‌های خیابانی، قبل از بارگذاری و بعد از تردد خودروها کاملاً مشابه بودند.

کanal‌های A و B و E دارای مخلوط‌های بتُنی حاوی خرده آجر و سطح اولیه‌ی زبر و خشن بودند



شکل ۱۳ ابزار و روش اندازه‌گیری نشست کanal‌های خیابانی پس از سه ماه

خرده آجر تا حدود ۴۷ کیلوگرم بر سانتی‌متر مربع می‌تواند تحمل مقاومت فشاری داشته باشد که عدد بسیار مناسبی می‌باشد.

مقایسه‌ی نتایج تنش - کرنش کانال‌ها با مخلوط‌های مختلف در شکل (۱۲) بیانگر این است که کانال‌هایی که دارای مخلوط‌های حاوی خردۀ آجر بودند رفتاری نسبتاً خطی داشتند به خصوص در دو کانال A و B که عمق کمتری داشتند و بتن مستقیماً روی لوله‌ی مدفون ریخته شده بود. ضمن این‌که کانال B که دارای میکروسیلیس بود با ظرفیت تقریباً یکسان، تغییر مکان و کرنش کمتری حدود ۵۰٪ از خود نشان داد در حالی که کانال E با مخلوط مشابه بتن سفت بر روی یک لایه خاک کوبیده ریخته شد که با ظرفیت تقریباً برابر دو کانال دیگر، رفتار کمی غیر خطی همراه با کرنش بیش‌تری حدود ۵۰٪ به‌دلیل داشتن بستر منعطف‌تر از خود نشان داد که می‌تواند میزان ترک‌های احتمالی را کاهش دهد. ولی کانال‌های C و D و F که بدون خردۀ آجر بودند و مقادیر متفاوت خاکستر بادی داشتند رفتار متفاوتی با کانال‌های حاوی خردۀ آجر نشان دادند. هر سه کانال دارای رفتار غیر خطی با کرنشی بیش از ۲ تا ۳ برابر و مقاومت بالاتری بین ۴۰ تا ۱۰۰ درصد بودند. کانال حاوی خاکستر و آب بیش‌تر دارای مقاومت کمتری بود و کانالی که در آن بتن بر روی خاک کوبیده ریخته شده بود دارای افزایش مقاومت قابل توجه نسبت به کانال با بتن روی لوله بود که دلیل آن نرم‌تر بودن بتن حاوی خاکستر بادی و تأخیر در شکست آن بود.

مقایسه‌ی مطلق هزینه‌ی اولیه و مصالح، تنها گرینه برای شناخت اهمیت بتن‌های روان یا یک نوع خاص از طرح‌های اختلاط به کار رفته در این مقاله نمی‌باشد و پارامترهای مختلفی باید مدنظر باشند که نشان دهنده‌ی امکان استفاده از هر یک از طرح‌های به کار رفته در این پروژه‌ی تحقیقاتی باشد و هر کدام متناسب با شرایط

از بررسی نتایج مقاومت‌های فشاری آزمونه‌های هر مخلوط برای یک حالت خاص مشاهده می‌گردد که اختلاف متوسط مقاومت‌ها و مقاومت تک تک آزمونه‌ها بسیار ناچیز است و نتیجه می‌شود که تعداد دو آزمونه تقریباً مناسب می‌باشد. نتایج نشان دادند که مقاومت آزمونه‌های دارای سیمان نسبتاً کم بود و بدون خاکستر بادی، اختلاف ناچیزی در حالت عمل آوری شده و نشده داشت ولی این اختلاف در نمونه‌های دارای خاکستر بادی، قابل توجه بود لذا اگر آزمونه‌های دارای خاکستر بادی به‌طور مناسب عمل آوری شوند، به‌طور متوسط تا ۸۰ درصد افزایش مقاومت خواهند داشت. هم‌چنین افزایش خاکستر بادی باعث افزایش روانی و کارایی ولی کاهش قابل توجه مقاومت بتن می‌شود.

نسبت مقاومت ۲۸ به ۳ و ۷ روزه‌ی آزمونه‌های بدون خاکستر بادی به ترتیب حدود ۱/۶ و ۱/۱۷ می‌باشد ولی این نسبت در آزمونه‌های حاوی خاکستر بادی حدود سه است بنابراین افزایش عمر باعث افزایش قابل توجهی در مقاومت بتن روان می‌شود. نتایج آزمایش جریان اسلامپ مخروط ناقص آزمونه‌های مکعبی ۱۵ سانتی‌متری که با بتن روان مطابق جدول (۲) از پنج نوع طرح اختلاط ساخته شدند نشان دهنده‌ی وجود اسلامپ ریزشی و قطر پخش‌شدنگی قابل قبول بود و به راحتی ساخته و در داخل قالب‌ها ریخته شد. آزمونه‌های هر مخلوط در هوای آزاد آزمایشگاه قرار داده شدند و از هیچ روشی که برای آزمونه‌های بتن معمولی متدائل است در عمل آوری مطروب آزمونه‌ها استفاده نشد ولی افزایش مقاومت در خیلی از بتن‌ها مشاهده شد. از بررسی نتایج مقاومت‌های فشاری آزمونه‌های مخلوط‌ها مشاهده گردید که تعداد دو آزمونه در هر مرحله تقریباً مناسب می‌باشد و مقاومت ۲۸ روزه‌ی این آزمونه‌ها به‌طور قابل توجهی افزایش می‌یابد. بتن‌های حاوی

نکته‌ی دیگر، اهمیت خط لوله و محل اجرا می‌باشد که امکان استفاده از یکی از طرح‌های پیشنهادی بالا را به جای اجرای سنتی خاکریزی و کوبیدن زمان‌بر با معایب بعدی در خصوص نشت و غیره فراهم می‌آورد.

نتیجه‌گیری

در تحقیق حاضر تجربیات ارزنده‌ای در خصوص کاربرد آزمایشگاهی مخلوط‌های کم مقاومت و به کار گرفتن مصالح جدید برای اهداف خاص حاصل گردید. نتایج به دست آمده اختصاراً به صورت زیر ارائه می‌شود:

۱- به دلیل محدودیت اطلاعات درباره کاربردها، خصوصیات مصالح، نسبت‌ها، ساخت و اجرا و مراحل کنترل کیفیت این بتن، اجرای پروژه تحقیقاتی آزمایشگاهی بزرگ حاضر سه‌می در زمینه‌ی ساخت بتن‌های جدید داشته است.

۲- انتخاب مواد مخلوط باید براساس موجود بودن، هزینه، کاربرد خاص و خصوصیات ضروری شامل روانی و مقاومت باشد و معمولاً شامل آب، سیمان پرتلند، خاکستر بادی و دانه‌های ریز یا درشت با مواد کاملاً بازیافتی مانند خرد آجر است تا خواص معینی مانند مقاومت فشاری یا قابلیت حفاری و کم هزینه بودن به دست آیند.

۳- مقاومت‌های فشاری آزمونه‌های مکعب ۱۵ سانتی‌متری بسیار روان با متغیرهای خاکستر بادی، نسبت آب به سیمان، عمر آزمونه‌ها و شرایط عمل آوری و تعداد آزمونه‌ها، بین ۴ تا ۸۵ کیلوگرم بر سانتی‌متر مربع بودند. آزمونه‌هایی با عیار پایین سیمان اختلاف ناچیزی در مقاومت برای حالت عمل آوری شده و عمل آوری نشده داشتند در حالی که آزمونه‌های دارای خاکستر بادی اختلاف قابل توجه، تا ۸۰ درصد،

ویژه‌ی خود، قابل به کارگیری باشند. معمولاً قیمت تمام شده‌ی ساخت و حمل و در قالب ریختن و مترابک شدن یک متر مکعب بتن معمولی با وزن ۲۳۰۰ کیلوگرم و هزینه‌ی نیروی انسانی و تجهیزات و عمل آوری در مناطق غیر شهری بین ۷۰ تا ۸۰ هزار تومان می‌باشد. قیمت تمام شده‌ی این بتن‌ها خیلی کمتر از بتن‌های معمولی است زیرا وزن مخصوص تقریبی آزمونه‌های بتن روان بین ۱۸۰۰ تا ۱۹۵۰ کیلوگرم بر متر مکعب است، قیمت اولیه‌ی متوسط خاکستر بادی و میکروسیلیس زیاد نیست، خرده آجر به کار رفته در آن در زمرةٰ ضایعات می‌باشد و سیمان نیز به مقدار خیلی کم استفاده می‌شود. بتن‌های دارای خرده آجر مقاومت کمتری با سطح کمی زبر دارند ولی با قیمت کمتری نیز قابل تولید می‌باشند، در حالی که بتن‌های بدون خرده آجر و با خاکستر بادی بیشتر دارای روانی بسیار مناسب، سهولت ساخت و اجرا و سرعت بالای اجرا یند و مقاومتی قابل قبول از خود نشان می‌دهند و با کمترین عمل آوری دارای افزایش مقاومت نیز می‌شوند. سرعت عمل و عدم نشت از مزایای برجسته‌ی بتن‌های روان می‌باشد که به راحتی نمی‌توان بر آن قیمت گذاشت. رفع نشت‌های ناهمگون قابل توجه در جاده‌ها و خیابان‌ها در اثر پر کردن کanal‌ها با خاک معمولی (با فرض کوبیدن استاندارد) و کاهش احتمال نفوذ و آسیب رساندن حیوانات موذی به لوله‌های پلی‌اتیلن و هم‌چنین کاهش آسیب‌های شیمیایی انواع خاک‌ها یا آبهای مجاور، از مزایای دیگر این نوع بتن‌ها با هزینه‌ی اولیه‌ی پائین می‌باشد. سرعت عمل و امکان بهره‌برداری سریع، پارامتر مهم دیگری است که حتماً در بعضی شرایط باید مدنظر باشد تا ترافیک به حداقل برسد و آسیب‌های روحی و روانی بر رانندگان و ساکنان اطراف محل اجرای این نوع کanal‌ها نیز تشددید نیابد.

خاکستر بادی بین ۲/۵ تا ۸ میلی‌متر بود که در بسیاری موارد قابل اغماض هستند.

۹- هیچ اثر تخریب یا نشست قابل توجه در کانال‌های خیابانی پس از سه روز ترافیک سیک و پس از شش روز ترافیک سنگین کامیون‌ها و اتوبوس‌ها مشاهده نشد.

۱۰- عوامل مختلفی مانند قیمت تمام شده مصالح اولیه و ساخت، هزینه اجرا و عمل آوری، امکان تعمیرات و حفاری‌های بعدی و هزینه‌های نگهداری، باید برای توجیه اقتصادی کاربرد بتن‌های روان خاص برای پرکردن کانال‌ها در مقایسه با روش سنتی پر کردن در نظر گرفته شوند لذا به طور مطلق امکان مقایسه‌ی مستقیم دو طرح با هم به دلیل طیف گسترده با پارامترهای مختلف وجود ندارد زیرا هر کدام برای خود محسن یا معایب مجازی دارد.

قدرتانی

کار تحقیقاتی حاضر با حمایت مالی شرکت گاز استان سمنان و معاونت پژوهشی دانشگاه سمنان انجام شد که از آنان و هم‌چنین کلیه‌ی کارشناسان و همکاران آزمایشگاه سازه‌ی دانشگاه سمنان برای کمک در انجام آزمایش‌های متعدد بدین‌وسیله تشکر و قدردانی می‌گردد.

در مقاومت فشاری آزمونه‌های عمل آوری شده و عمل آوری نشده از خود نشان دادند.

۴- مقاومت ۲۸ روزه به ۳ و ۷ روزه در آزمونه‌های بدون خاکستر بادی در شرایط عمل آوری مرتبط به ترتیب حدود ۱/۶ و ۱/۱۷ برابر ولی در آزمونه‌های حاوی خاکستر بادی حدود سه و ۱/۵ برابر بودند.

۵- مقاومت فشاری آزمونه‌های سه ماهه نسبت به ۷ روزه، رشد حدود ۱۰۰٪ داشت بنابراین بر خلاف بتن‌های معمولی، بتن‌های حاوی خاکستر بادی در شرایط عمل آوری کم یا ناچیز هم می‌توانند افزایش مقاومت فشاری داشته باشند.

۶- شش قالب چوبی بزرگ در داخل آزمایشگاه و حفاری شش کانال طبیعی با ابعاد مشابه در خیابان آسفالت شده برای شبیه‌سازی رفتار بتن‌ها در کانال‌های بزرگ خیابانی با و بدون غلاف، در نظر گرفته شدند.

۷- کانال‌های دارای خرده آجر و بدون خرده آجر دارای خاکستر بادی به ترتیب بار متبرکزی حدود ۳/۶ و ۷ تن در آزمایشگاه تحمل کردند که به ترتیب در حدود دو برابر بار بیشینه‌ی مجاز کامیون‌های سنگین در جاده‌ها بودند.

۸- بیشینه تغییر مکان واقعی بتن در بار نهایی در کانال‌های آزمایشگاهی با و بدون خرده آجر حاوی

مراجع

1. Adaska W.S., " Controlled Low Strength Materials", SP-150, ACI ,(1999).
2. ACI Committee 229, "Controlled Low Strength Materials", ACI 229R-99 ,(1999).
3. Amster K.,Jennifer L., "The Design and Application of Controlled Low Strength Materials (Flowable Fill)", STP 1331, ASTM, Hitch ,(1998).
4. Thaha W., Lachemi, M., "Development of Controlled Low Strength Materials Using Cement Kiln Dust", MS Thesis, Dep. of Civil Eng., Ryerson University, Toronto, Canada ,(2005).
5. Green B.H. and Schmitz, D., "Development of Soil-based Controlled Low Strength Materials", MS

- Thesis, Dep. of Geo-sciences, Mississippi State University, USA ,(1999).
6. Lianxiang D. and Folliard K., "Laboratory Investigations of Controlled Low-Strength Material", Ph.D Thesis, Dep. of Civil Engineering, Texas at Austin University, USA ,(2001).
 7. Balasubramanyam P. and Puppala A., "Experimental Investigations on Followable Fills for Trench/Road Maintenance". MS Thesis, Dep. of Civil Eng., Texas University, USA ,(2004).
 8. Hemachandar M. and Siriwardane H., "Numerical Modeling of Buried Pipes with Followable Fill as a Backfill Material". MS Thesis, College of Eng. and Mineral Resources, West Virginia University, USA ,(2005).
 9. Naik T. R., Kraus R.N., Siddique R. and Chun Y.M., "Properties of Controlled Low-Strength Materials Made with Wood Fly Ash", Journal of ASTM Int., June 2004, Vol. 1, No. 6 ,(2004).
 10. Horiguchi T., Fujita R. and Shimura K., "Applicability of Controlled Low-Strength Materials with Incinerated Sewage Sludge Ash and Crushed-Stone Powder", Journal of Materials in Civil Engineering, Volume 23, Issue 6 ,(2011).
 11. Gabr M. A. and Bowders J.J., "Controlled low-strength material using fly ash and AMD sludge", Journal of Hazardous Materials, Vol. 76, Issues 2-3, 2000, Pages 251-263 ,(2000).
 12. Katz A. and Kovler K., "Utilization of industrial by-products for the production of controlled low strength materials (CLSM)", Journal of Waste Management 24,501–512 ,(2004).
 13. Tahaa R.A., Alnuaimia A.S., Al-Jabri K.S., and Al-Harthya A.S., "Evaluation of controlled low strength materials containing industrial by-products", Journal of Building and Environment, Volume 42, Issue 9, 2007, Pages 3366-3372 ,(2007).
 14. Naganathan S., Abdul Razak H.,, and Abdul Hamid S.N., "Properties of controlled low-strength material made using industrial waste incineration bottom ash and quarry dust", Journal of Materials & Design, Volume 33, 2012, Pages 56-63 ,(2011).
 15. Lianxiang D., Folliard K.J., and Trejo D., "Effects of Constituent Materials and Quantities on Water Demand and Compressive Strength of Controlled Low-Strength Material", Journal of Materials in Civil Engineering, Volume 14, Issue 6 ,(2002).
 16. Siddiqueand R., Noumowe A., "Utilization of spent foundry sand in controlled low-strength materials and concrete", Journal of Resources, Conservation and Recycling, Volume 53, Issues 1-2, 2008, Pages 27-35 ,(2008).
 17. Bouzalakos S., Dudeney A.W.L. and Cheeseman C.R., "Controlled low-strength materials containing waste precipitates from mineral processing", Journal of Minerals Engineering Volume 21, Issue 4, Pages 252-263, (2008).

18. Lachemi M., Hossain K M.A, Shehata M. and Thaha W., "Characteristics of controlled low-strength materials incorporating cement kiln dust", Canadian Journal of Civil Engineering, 2007, 34:(4) 485-495, (2007).

بررسی فشار جانبی در دیوارهای پل‌های یک‌پارچه بر اثر اعمال تغییر مکان سیکلی*

جعفر بلوری بزار^(۱)سعید رسولی^(۲)

چکیده برای تعیین ضریب فشار جانبی در حالت سکون در مجاورت دیوارهای حائل روابط گوناگونی پیشنهاد شده است که هر کدام برای شرایط ویژه خود تعریف می‌شوند و به کار می‌روند. این روابط معمولاً تابع خواص خاک مانند زاویه اصطکاک، نسبت پواسون و ضریب بیش تحکیمی می‌باشند. از طرفی در پل‌های یک‌پارچه که دیوار حایل آن تحت اثر تغییر مکان‌های سیکلی قرار دارد این روابط دقیق خود را از دست داده و فقط تابع خواص مکانیکی خاک نیستند. در تحقیق حاضر اثر تغییر مکان افقی قسمت فوقانی دیوار پل‌های یک‌پارچه که بر اثر تغییرات درجه حرارت روزانه به قسمت فوقانی دیوار این‌گونه پل‌ها اعمال می‌شود مورد بررسی قرار گرفته است. به این منظور یک مدل آزمایشگاهی کامل طراحی و ساخته شد به گونه‌ای که قادر به اعمال تغییر مکان افقی سیکلی با دامنه‌های گوناگون و با تعداد سیکل مورد نظر می‌باشد. برای تعیین افزایش فشار افقی وارد بر دیوار (در شرایط سکون، فعال و یا مقاوم) تنش سنج‌های مینیاتوری در ترازهای مختلف روی دیوار نصب گردید. داده‌های نیروسنجد نصب شده و نیز تغییر مکان اعمال شده در سیستم داده‌گار ذخیره می‌شود. نتایج این تحقیق نشان می‌دهد که ضریب فشار افقی در دیوارهایی که تحت اثر تغییر مکان افقی قرار دارند نه تنها در عمق خطی نیست بلکه تابع زاویه اصطکاک خاک، تراز گوناگون دیوار و تعداد سیکل تغییر مکان اعمال شده می‌باشد. از طرفی نتایج بیانگر این نکته است که بر اثر اعمال تغییر مکان افقی، مصالح پشت دیوار متراکم می‌شوند به گونه‌ای که پدیده‌ی آرجینگ به وجود می‌آید و موجب کاهش فشار افقی در ترازهای پایین دیوار می‌گردد.

واژه‌های کلیدی دیوار حایل، تغییر مکان افقی سیکلی، ضریب فشار افقی.

An Investigation on Lateral Earth Pressure in Integral Bridges Due to the Cyclic Loading

J. Bolouri Bazaz

S. Rasouly

Abstract Several relationships to assess at-rest pressure coefficient in retaining walls, have been developed by different researchers. These suggested relationships are generally a function of mechanical soil parameters such as internal friction angle, Poisson Ratio and over-consolidation ratio. In integral bridges, however, this coefficient is also a function of many other parameters other than soil characteristics. The deck of this type of bridges is subjected to the horizontal movement, which results in cyclic load to be applied to the bridged wall. In the present research, the influence of this cyclic loading on the lateral earth pressure is investigated. A prototype laboratory model of a retaining wall, with cohesionless backfill, was developed in which different cycles of lateral displacement with various amplitudes were applied to the wall. The model was instrumented by small pressure cells to measure the earth pressure at-rest, active and passive conditions. Additionally, the applied load and displacement to the wall were measured, using load cell and LVDT. The results of this study indicate that the variation of at-rest earth pressure coefficient with depth is not linear and it is not only a function of internal friction angle but dependent to the depth and number of cycles. Finally, it could be concluded the cyclic loading causes the backfill material becomes stiffer and stiffer so that an arching is formed. This results in a reduction in lateral earth pressure in the lower parts of the wall.

Keywords Retaining wall, Cyclic Displacement, Lateral Earth Pressure.

★تاریخ دریافت مقاله ۹۰/۸/۱۵ و تاریخ پذیرش آن ۹۱/۱۲/۱۳ می‌باشد.

(۱) دانشیار گروه عمران، دانشکده‌ی مهندسی، دانشگاه فردوسی مشهد.

(۲) نویسنده‌ی مسؤول: عضو هیأت علمی دانشگاه بیرجند و دانشجوی دکتری ژئوتکنیک دانشگاه فردوسی.

نیروی رانش به کمینه مقدار خود می‌رسند و هنگامی که دیوار به سمت خاک دوران کند بیشینه نیروی رانش ایجاد می‌گردد [4].

از جمله اولین تحقیقاتی که در این زمینه ارائه شده است تحقیق جکی می‌باشد. وی رابطه‌ی زیر را برای خاک‌های دانه‌ای و ماسه‌های شل تا متوسط پیشنهاد کرد [5].

$$k_0 = 1 - \text{Sin}\varphi' \frac{\left(1 + \frac{2}{3} \text{Sin}\varphi'\right)}{1 + \text{Sin}\varphi'} \quad (1)$$

در این رابطه k_0 و φ' به ترتیب ضریب فشار خاک در حالت سکون و زاویه‌ی اصطکاک داخلی خاک می‌باشد. وی در تحقیقات بعدی خود این رابطه را به صورت زیر ساده نمود [5].

$$k_0 = 1 - \text{Sin}\varphi' \quad (2)$$

مقدار k_0 حاصل از رابطه‌ی (2) برای ماسه‌های شل با مقادیر تجربی بدست آمده تا حدی سازگار است لیکن نیاز به بررسی بیشتری نیز دارد. از میان سایر تحقیقات انجام شده می‌توان به کارهای انجام گرفته توسط مصری و حیات اشاره کرد که رابطه‌ی (3) نتیجه‌ی تحقیقات آن‌ها برای محاسبه k_0 می‌باشد [6].

$$k_0 = \left(1 + \frac{2}{3} \text{Sin}\varphi'\right) \left(\frac{1 - \text{Sin}\varphi'}{1 + \text{Sin}\varphi'}\right) \quad (3)$$

این رابطه برای خاک‌های دانه‌ای شل که عادی تحرکیم یافته باشند صادق است و نمی‌توان آن را برای خاک‌های متراکم استفاده کرد. برای خاک‌های با تراکم متفاوت، ورث رابطه‌ی زیر را پیشنهاد کرد [7].

$$k_{0(\text{OC})} = k_{0(\text{NC})} (\text{OCR}) - \left[\frac{\mu}{(1-\mu)}\right] (\text{OCR} - 1) \quad (4)$$

هم‌چنین روابط (۶و۵) برای خاک‌های دانه‌ای پیشنهاد شده است [8]. در این روابط $k_{0(\text{NC})}$ ضریب فشار

مقدمه

امروزه تخمین و اندازه‌گیری فشارهای وارد بر دیوارهای حائل، اهمیت ویژه‌ای برای طراحی پیدا کرده است. اکثر مهندسان به منظور محاسبه‌ی ضریب فشار جانبی خاک در حالت‌های مختلف از فرضیه‌های رایج در مهندسی ژئوتکنیک استفاده می‌کنند (روابط کولمب، رانکین یا جکی). براساس این فرضیه‌ها توزیع تنش در پشت دیوار به صورت خطی در نظر گرفته می‌شود. اما این فرضیه در مورد دیوارهای پل‌های یک‌پارچه که تحت اثر تغییر مکان‌های سیکلی هستند صحیح نیست. مطالعات آزمایشگاهی نشان داده است که مقادیر تنش وارد به دیوار و مقدار ضریب فشار جانبی،تابع حرکت و چرخش دیوار است و توزیع خطی آن کاملاً صادق نیست [1]. مقدار فشار در حالت قائم دیوار تابع عوامل دیگری است که باید بررسی‌های بیشتری صورت پذیرد و عوامل مؤثر بر آن مورد ارزیابی قرار گیرد [2]. محققان با استفاده از روابط تئوری و همچنین در بعضی موارد با استفاده از مطالعات آزمایشگاهی، روابطی را پیشنهاد کرده‌اند. در بیشتر مطالعات سعی بر این بوده است که صحت فرمول $k_0 = 1 - \text{sin}\varphi'$ مورد ارزیابی قرار گیرد و تصحیحاتی بر روی آن صورت پذیرد. به طور کلی نتایج حاصل از تحقیقات به عمل آمده نشان می‌دهد که در حالت تغییر مکان جانبی سیکلی، حداقل ضریب رانش خاک حدود ۳۰ درصد بیش از ضریب رانش جانبی در حالت قائم دیوار (قبل از شروع اعمال تغییر مکان سیکلی) می‌باشد. فنگ و ایشی باشی نمونه‌های آزمایشگاهی مختلف از دیوارهای حائل تحت فشار رانش خاک را ساختند و توزیع فشار خاک را بر اثر بارگذاری سیکلی برای حالت‌های گوناگون دوران دیوار حول تکیه‌گاه خود بررسی نمودند و موقعیت اثر برآیند نیروی فعال را به دست آورده‌اند [3]. نتایج تحقیقات مشابه دیگری که با استفاده از دستگاه سانتریفوژ انجام شده نشان می‌دهد که با دورشدن دیوار از خاک و رسیدن به حالت فعلی،

تنش قائم σ_v با توجه به وزن مخصوص ماسه مورد آزمایش در تراز مورد نظر محاسبه شده و سپس تغییرات $k_0 = \frac{\sigma_h}{\sigma_v}$ تعیین گردیده است [10].

شریف و مکی به کمک یک مدل فیزیکی، نیروی رانش وارد به دیوار حائل را تحت اثر بار سیکلی با دامنه تغییر مکان های گوناگون دیوار مورد بررسی قرار دادند. نتایج این تحقیق نشان داده است که رانش وارد به دیوار در اثر بارگذاری سیکلی مقدار قابل توجهی نسبت به بارگذاری استاتیکی افزایش می یابد. بیشترین افزایش رانش در اولین سیکل بارگذاری مشاهده می شود و با افزایش تعداد سیکل ها نرخ افزایش رانش کاهش می یابد [11]. نتایج حاصل از تحقیقات آزمایشگاهی دیگری نیز نشان می دهد که در حالت بارگذاری سیکلی حداقل ضربی رانش حدود ۲۰ درصد بیشتر از مقادیر حاصل از راه تحلیلی استاتیکی است [12]. فنگ و ایشی باشی نیز در تحقیقات خود توزیع فشار افقی را برای حالت های مختلف دوران سیکلی دیوار مورد بررسی قرار دادند و موقعیت اثر نیروی رانش را به دست آورند [3].

همچنین نتایج حاصل از مطالعات آزمایشگاهی دیگری نشان می دهد که برای حالت تغییر مکان انتقالی دیوار، توزیع رانش مقاوم خطی است و تطابق نسبتاً خوبی با نتایج حاصل از نئوری رانش جانبی خاک در تراز افقی دارد، در حالی که مقدار و نقطه ای اثر آن بسته به دامنه تغییر مکان متفاوت بوده است [13]. در آزمایش های انجام گرفته در مقیاس واقعی، مقادیر ضرایب فشار جانبی در حالت فعل و مقاوم تعیین گردید. نتایج نشان داده است که اعمال تغییر مکان سیکلی و دامنه آن می تواند تأثیر قابل ملاحظه ای بر مقدار نیروی رانش و ضربی فشار جانبی داشته باشد [1]. نتایج تمامی این آزمایش ها نشان داده که عوامل متعددی بر k_0 تأثیر گذاشته اند که از آن میان می توان به تأثیر مقدار سربار σ_h در تغییرات σ_v اشاره کرد. همان مدل دیوار حائل را ساخت و اثر سربار را در ماسه های پیش تحکیم یافته بررسی نمود و در نهایت

جانبی خاک های عادی تحکیم یافته و $k_{0(OC)}$ ضربی خاک های بیش تحکیم یافته و OCR ضربی پیش تحکیمی می باشد که از تقسیم نسبت سربار ایجاد شده به تنش قائم ناشی از وزن خاک در عمق مورد بررسی به دست می آید.

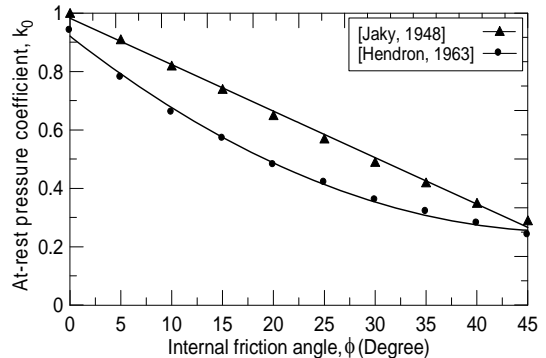
$$k_{0(NC)} = 1 - \sin \varphi \quad (5)$$

$$k_{0(OC)} = (1 - \sin \varphi') (\text{OCR})^{\sin \varphi'} \quad (6)$$

هندرن رابطه (7) را برای محاسبه k_0 که تابعی از φ' است پیشنهاد کرد [9].

$$k_0 = \frac{1}{2} \left[\frac{1 + \frac{\sqrt{6}}{8} - 3 \left(\frac{\sqrt{6}}{8} \right) \sin \varphi'}{1 - \frac{\sqrt{6}}{8} + 3 \left(\frac{\sqrt{6}}{8} \right) \sin \varphi'} \right] \quad (7)$$

در شکل (۱) مقادیر k_0 به دست آمده از رابطه های (۷) و (۲) نشان داده شده است.



شکل ۱ مقایسه مقادیر k_0 با استفاده از روابط Jakay و Hendron

همان گونه که بیان شد تغییرات مقدار k_0 هنگامی که دیوار حائل در طول زمان و بر اثر عواملی مانند تغییرات درجه حرارت تحت بارگذاری سیکلی باشد از اهمیت ویژه برخوردار است. در مدل های آزمایشگاهی، تغییرات تنش افقی σ_h توسط فشار سنج های نصب شده در تراز های گوناگون مورد اندازه گیری قرار گرفته و

فردوسی مشهد طراحی و ساخته شد، انجام گردید. تنش سنج‌های نصب شده روی دیوار این دستگاه قادر به تعیین فشار جانبی خاک در ترازهای گوناگون می‌باشد. جزئیات دستگاه و روش انجام آزمایش‌ها در بخش‌های آینده شرح داده شده است.

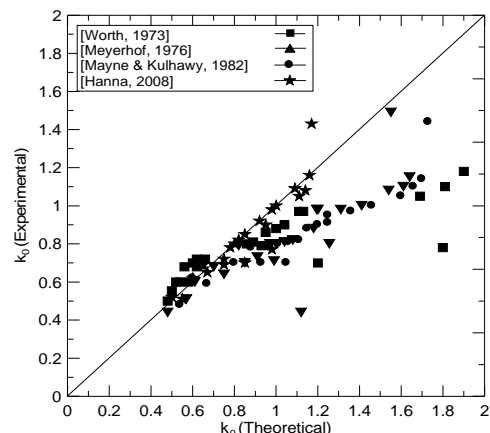
مدل آزمایشگاهی

از جمله پارامترهای مؤثر در این آزمایش عبارتند از تعداد سیکل بارگذاری و زاویه‌ی اصطکاک داخلی بر مقدار ضریب k_0 و k_{0-y} که به ترتیب ضریب فشار جانبی خاک پس از پر کردن مخزن از مصالح و قبل از شروع آزمایش (k_0) و پس از اعمال تغییر مکان سیکلی و هنگامی که دیوار در حالت قائم گرفته (k_{0-y}) نامیده شده است. به منظور بررسی این پارامترها از یک مدل آزمایشگاهی دیوار حایل که قادر به دوران حول یک لو لا (که در قسمت پایین دیوار نصب شده است) می‌باشد استفاده شد. به کمک این مدل آزمایشگاهی، رانش دینامیکی خاک تحت اثر تغییر مکان سیکلی به صورت افقی قابل ارزیابی است. همچنین تأثیر پارامترهای گوناگونی مانند نوع خاک، تراکم خاک، نوع سربار و اصطکاک بین دیوار و خاک را علاوه بر روابط تئوری، به صورت آزمایشگاهی نیز می‌توان به دست آورد. این دستگاه شامل مخزن خاک، دیوار صلب، سیستم اعمال نیرو و اندازه‌گیری آن، سیستم تعیین فشار افقی خاک در حالت‌های گوناگون، سیستم اعمال و تعیین تغییر مکان افقی دیوار در بالای دیوار و نیز سیستم ثبت اطلاعات می‌باشد. بخش‌های گوناگون این دستگاه که تصویر شماتیک آن در شکل (۳) نشان داده شده است در بخش‌های بعدی شرح داده می‌شود. لازم به یادآوری است حرکت دیوار به سمت خاک (مقاوم) و دور شدن از خاک (فعال) به ترتیب با BW و FW در این شکل نشان داده شده است.

تصحیحاتی را برای فرمول‌های مورد اشاره ارائه کرد. لیکن تدقیق این موضوع برای زاویه‌های اصطکاک داخلی مختلف کمتر مد نظر بوده است. هانا رابطه‌ی (۸) را برای خاک‌های دانه‌ای با ضرایب پیش‌تحکیمی متفاوت پیشنهاد داد که با نتایج آزمایش‌ها تا حدی تطابق دارد. [14]

$$k_{0(OC)} = (1 - \sin\phi')(\text{OCR})^{(\sin\phi' - 0.18)} \quad (8)$$

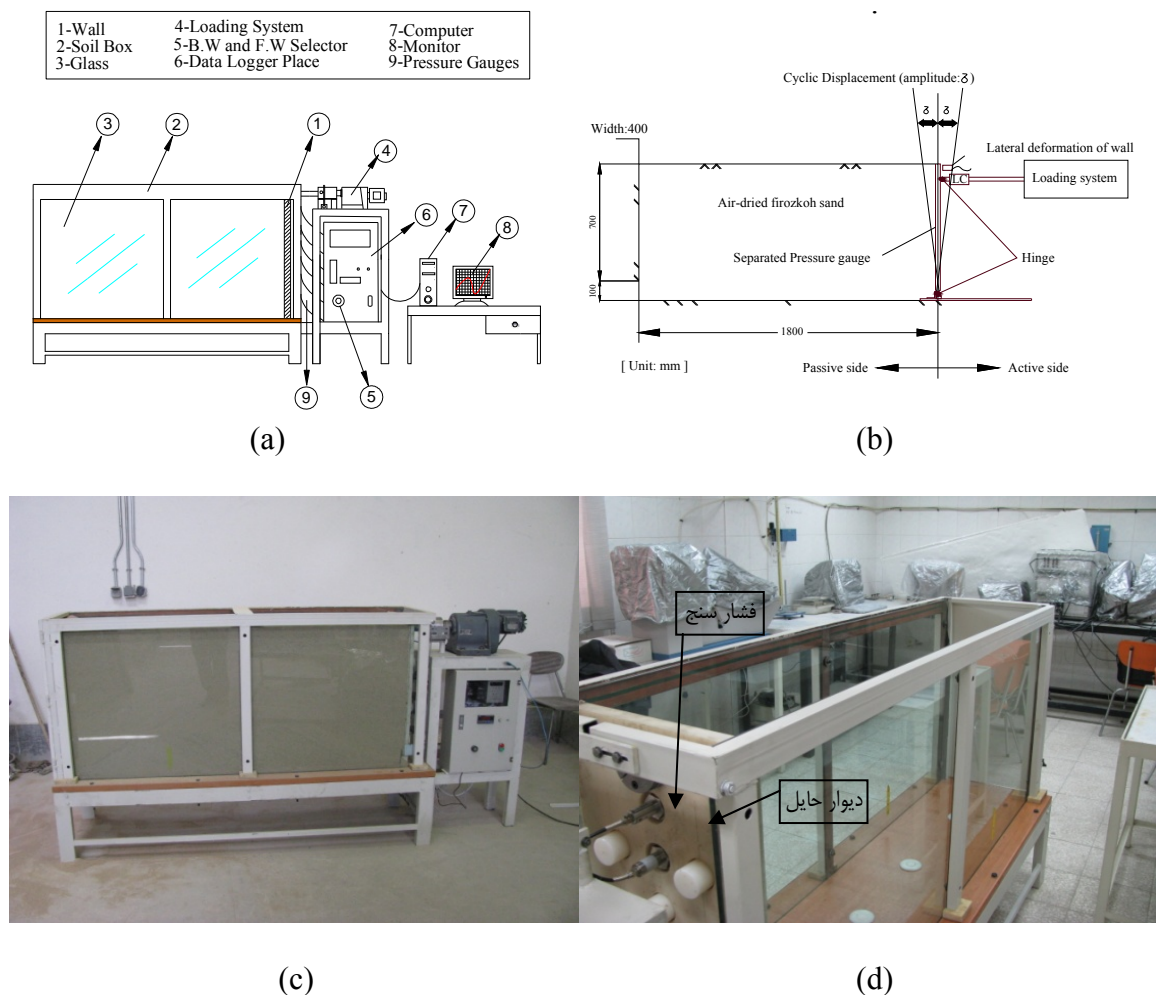
همچنین در شکل (۲) مقایسه‌ای بین k_0 به دست آمده از روابط تئوری و مقادیر آزمایشگاهی قبلی انجام شده است. همان‌گونه که مشاهده می‌شود این روابط برای شرایط خاص نیاز به اصلاح دارند.



شکل ۲ مقایسه بین مقادیر k_0 در حالت تئوری و آزمایشگاهی [14]

تامورا و همکاران نیز با استفاده از دستگاه سانتریفوج تحقیقات مشابه را انجام دادند. نتایج نشان می‌داد که با دورشدن دیوار از خاک و رسیدن به حالت فعال، نیروی رانش به کمینه مقدار خود رسیده و هنگامی که دیوار به سمت خاک دوران کند بیشینه نیروی رانش ایجاد می‌گردد [15].

تحقیق حاضر کوششی برای تعیین فشار و ضریب جانبی خاک در حالت سکون (قبل از انجام اعمال بارگذاری سیکلی) و نیز مقدار این ضریب یا فشار جانبی پس از اعمال تعداد معینی تغییر مکان دوره‌ای (سیکلی) به دیوار است. این تحقیق با استفاده از یک مدل آزمایشگاهی که در دانشکده‌ی مهندسی دانشگاه



شکل ۳ مدل دیوار حائل ساخته شده در دانشگاه فردوسی مشهد: (a) نمای کلی مدل آزمایشگاهی (b) مقطع طولی مدل
(c) تصویری از مدل آماده انجام آزمایش (d) تصویری از فشارسنجها و دیوار حائل مورد استفاده در مدل

وجه جانبی طولی مخزن با شیشه‌ی ضخیم و ایمن ساخته شده تا امکان مشاهده و نیز اندازه‌گیری تغییر شکل‌های سطح خاک درون مخزن فراهم شود.

دیوار صلب

در وجه جانبی عرضی مخزن، دیوار صلبی که از پلاستیک فشرده ساخته شده نصب گردیده است. این دیوار می‌تواند با استفاده از یک اتصال لولایی حول پایین‌ترین قسمت خود دوران کند. به منظور کسب اطمینان از حرکت صلب دیوار، تغییر مکان افقی دیوار

مخزن خاک

مخزن خاک این مدل آزمایشگاهی که به صورت مکعب مستطیل ساخته شده دارای ابعاد $400 \times 800 \times 1800$ میلی‌متر می‌باشد. طول مخزن به اندازه‌ای انتخاب شده که ناحیه‌ی گسیختگی در داخل مخزن قرار گیرد. ارتفاع و عرض دیوار متحرک به ترتیب برابر 700 و 400 میلی‌متر است که قادر به دوران حول یک لولا که در ارتفاع 10 سانتی‌متری نسبت به کف مخزن نصب شده می‌باشد. در وجه مقابل دیوار متحرک دیوار ثابتی نصب شده است که روی آن دریچه‌ای تعییه شده که توسط آن مخزن را به راحتی می‌توان تخلیه نمود. دو

برای کنترل مقدار نیروی وارد به دیوار از یک نیروسنجد که در مسیر اعمال بار به دیوار به صورت سری نصب شده استفاده شده است.

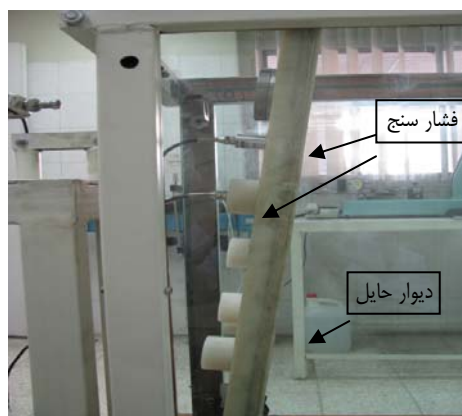
فشارسنجد خاک

برای اندازه‌گیری فشار خاک در ترازهای مختلف دیوار از فشارسنجهایی که قبلاً کالیبره شده بودند استفاده شد. این فشار سنجهای به یک سیستم داده‌نگار متصل است که می‌تواند داده‌ها را اخذ کند و در یک کامپیوتر ذخیره نماید. در شکل (۵) یکی از این فشارسنجهای دیده می‌شود. قبل از انجام آزمایش تمام فشارسنجهای فشار جانبی خاک را نشان می‌دهند) با استفاده از وسیله‌ی ساخته شده کالیبره شدند تا داده‌ها و میزان تنفسهای افقی ثبت شده بدون اشکال باشد.

در ترازهای گوناگون اندازه‌گیری شد. رابطه‌ی خطی بین تغییر مکانهای افقی، بیانگر سختی بالا و عدم خدم شدن آن بر اثر اعمال بار افقی بود. در لبه‌های دیوار از نوار فشردهای استفاده شد به گونه‌ای که در اثر تغییر مکان افقی دیوار، از نفوذ ماسه به پشت آن جلوگیری نموده و اصطکاک دیوار را با جدارهای شیشه به حداقل ممکن کاهش دهد. روی این دیوار شش ترانس دیوسر برای تعیین فشار جانبی خاک نصب شد. هم‌چنین در قسمت فوقانی دیوار، اتصالی تمام مفصلی طراحی شده است که بتوان با اعمال نیروی افقی توسط یک موتور، دیوار را به مقدار مورد نظر دوران داد (شکل ۴)

سیستم ثبت و اعمال نیرو

اعمال تغییر مکان توسط یک موتور بدون لرزش با سرعتی در محدوده $v \leq 1.0 \text{ mm/min}$ که به صورت رفت و برگشت عمل می‌کند انجام می‌شود. این حرکت توسط یک میله به دیوار منتقل می‌شود.



شکل ۴ دیوار صلب و فشارسنجد نصب شده بر آن جهت تعیین فشار افقی خاک



شکل ۵ فشارسنجد برای اندازه‌گیری فشار جانبی خاک وارد بر دیوار

Q به ترتیب بیانگر ماسه‌ی فیروزکوه و ماسه‌ی کوارتزی تیزگوش است و عددی که بلا فاصله بعد از هر یک از این حروف آمده است، بیانگر درصد وزنی ماسه‌ی فیروزکوه و ماسه‌ی کوارتزی در ترکیب می‌باشد. دانه‌بندی ماسه‌ی فیروزکوه و مخلوط آن با ماسه‌ی کوارتزی در شکل (۶) نشان داده شده است.

ترکیب‌های مختلف دو نوع ماسه‌ی فوق منجر به تولید مصالح دانه‌ای با نسبت تخلخل بیشینه ۰/۹۸ تا ۰/۱۰۵ و کمینه ۰/۶۰۵ تا ۰/۷۰۷ شده است. زاویه‌ی اصطکاک داخلی ماسه‌های ترکیبی که بر اساس آزمایش برش مستقیم در حالت خشک به دست آمده در جدول (۱) آورده شده است.

روش ساخت نمونه

به منظور تولید نمونه‌های با تراکم یکسان از روش بارش ماسه استفاده شده است. بدین منظور استوانه‌ای ساخته شد که به صورت آویز از سقف قرار گرفت و در زیر آن یک لوله‌ی انعطاف‌پذیر نصب گردید. برآسas ارتفاع سقوط ذرات خاک به داخل مخزن که قبلًا کالیبره شده است می‌توان به راحتی با تغییر در ارتفاع، نمونه‌هایی با تراکم نسبی متفاوت ساخت. برای کنترل وزن مخصوص نمونه‌ها، هنگام ریختن ماسه در مخزن دستگاه، چند ظرف کوچک به فاصله از دیوار (حدود ۷۰ سانتی‌متر) در ترازهای گوناگون قرار داده شد. پس از پر شدن مخزن و هنگام تخلیه‌ی آن، با وزن کردن ماسه‌ی داخل ظروف و با توجه به حجم آن‌ها، به راحتی وزن مخصوص خاک تعیین گردید.

تغییر مکان سنج

برای ثبت تغییر مکان افقی قسمت فوقانی دیوار از یک تغییر مکان سنج لیزری با دقت ۰/۰۱ میلی‌متر استفاده شده است.

سیستم ثبت اطلاعات

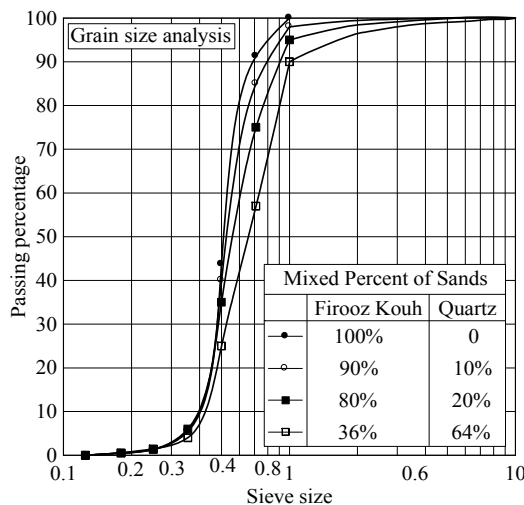
قراءات داده‌های ترانس‌دیوسرها تنش سنج و تغییر مکان سنج و نیز نیرو سنج توسط دستگاه جمع‌آوری داده‌ها انجام می‌شود و سپس در کامپیوتر ضبط می‌گردد. سیگنال‌های آنالوگ خروجی از فشار سنج‌ها با استفاده از یک مبدل به صورت دیجیتال تبدیل می‌شود و در کامپیوتر ذخیره می‌گردد.

مصالح مورد مطالعه

در تحقیق حاضر دو نوع ماسه با زاویه‌ی اصطکاک متفاوت و ترکیب‌های گوناگون مورد آزمایش قرار گرفته است. هر دو نوع ماسه‌ی در سیستم طبقه‌بندی متعدد در گروه SW قرار می‌گیرند. زاویه‌ی اصطکاک داخلی ماسه اول (F) که موسوم به فیروزکوه می‌باشد برابر با ۳۱ درجه است، در حالی که زاویه‌ی اصطکاک داخلی ماسه دوم (Q) که ماسه‌ای تیز‌گوش و کوارتزی می‌باشد دارای زاویه‌ی معادل ۴۵ درجه می‌باشد که با استفاده از آزمایش برش مستقیم به دست آمده است. از ترکیب درصدهای وزنی مختلف این دو نوع ماسه، مصالح دانه‌ای با زاویه‌های اصطکاک داخلی متفاوت به دست آمد. جدول (۱) مشخصات مکانیکی چهار نوع ماسه‌ی ترکیبی مورد آزمایش را نشان می‌دهد. ماسه‌های ترکیبی هر یک با علامت اختصاری مانند F80-Q20 مشخص شده است. در این نام گذاری F و

جدول ۱ مشخصات ماسه‌های مورد استفاده در آزمایش‌ها

E	Φ (درجه)	درصد ماسه‌ی فیروزکوه و ماسه‌ی کوارتزی		γ kN/m ³	نمونه
		Q	F		
۰/۷۹	۳۱	%۰	%۱۰۰	۱۵/۰۹	F100-Q0
۰/۷۸	۳۳	%۱۰	%۹۰	۱۵/۱۰	F90-Q10
۰/۷۸	۳۸	%۲۰	%۸۰	۱۵/۱۲	F80-Q20
۰/۷۶	۴۳	%۳۶	%۶۴	۱۵/۳۰	F64-Q36



شکل ۶ دانه‌بندی ماسه‌ی فیروزکوه و مخلوط‌های آن با ماسه‌ی کوارنزی

برابر $0.1\text{mm}/\text{min}$ بود.

۳- پس از آن که تغییر مکان بالاترین نقطه‌ی دیوار به مقدار بیشینه‌ی آن ($\pm\delta_{\max}$) رسید، حرکت آن متوقف شد و با تعویض جهت حرکت موتور، دیوار با همان سرعت $0.1\text{mm}/\text{min}$ به طرف عقب کشیده شد (حالت فعال) و تا زمانی که مقدار تغییر مکان در حالت فعال به مقدار بیشینه‌ی آن در جهت مخالف ($\pm\delta_{\max}$) برسد حرکت دیوار به سمت عقب ادامه یافت. سپس حرکت دیوار متوقف شد و مجدداً با تعویض جهت حرکت موتور، دیوار به طرف خاک حرکت کرد تا زمانی که دیوار به حالت قائم درآمد. از ابتدای حرکت از حالت قائم اولیه تا رسیدن مجدد به حالت قائم یک سیکل نامیده شده است.

۴- جهت بررسی اثر اعمال سیکل‌های تغییر مکان بر مقدار ضریب فشار جانبی خاک، قرائت تنش‌های افقی علاوه بر حالت سکون (بند ۱)، پس از اعمال ۲۰ و ۵۰ سیکل بارگذاری انجام گردید.

۵- به منظور بررسی اثر میزان تغییر مکان بیشینه ($\pm\delta_{\max}$) بر مقدار ضریب فشار جانبی خاک، آزمایش‌ها بر روی چهار نوع ماسه‌ی ترکیبی و با اعمال چهار

برنامه‌ی آزمایش‌ها

همان‌گونه که بیان شد در تحقیق حاضر سعی شده است که اثر تغییر مکان سیکلی دیوار بر مقدار ضریب رانش جانبی خاک k_{0-y} در ماسه‌های با ضریب اصطکاک مختلف بررسی گردد. بدین‌منظور با استفاده از مدل آزمایشگاهی شکل (۳) پس از اعمال تغییر مکان‌های دوره‌ای، مقدار k_{0-y} با توجه به قراءت تنش افقی در فشارسنج‌ها مورد ارزیابی قرار گرفت. چگونگی انجام آزمایش‌ها و برنامه‌ی آن‌ها در زیر خلاصه شده است:

- ۱- ابتدا مخزن دستگاه با هر یک از چهار نوع ماسه ترکیبی پر شد. قبل از اعمال هر گونه تغییر مکان به دیوار، تنش‌های وارد به دیوار ثبت گردید. مقادیر این تنش‌ها در حقیقت بیانگر تنش افقی در حالت سکون است.

- ۲- پس از قراءت اولیه، آزمایش با اعمال تغییر مکان دیوار در بالاترین نقطه‌ی آن به طرف خاک (حالت مقاوم) آغاز گردید. بدیهی است تغییر مکان بالاترین نقطه‌ی دیوار موجب دوران آن حول لولای نصب شده در پایین می‌گردد. سرعت اعمال تغییر مکان دیوار که توسط موتور محرک در پشت آن تأمین می‌گردد در کلیه‌ی آزمایشات ثابت و

mm & $7 mm$ ارائه گردیده است. اما همان‌گونه که در بخش‌های قبل نیز ذکر شد تنش‌های افقی وارد به دیوار بلافاصله پس از پر کردن مخزن و قبل از اعمال هرگونه تغییر مکان به دیوار بیانگر شرایط سکون است و بدینهی است برای چهار دامنهٔ فوق یکسان خواهد بود. بنابراین ابتدا نتایج شرایط سکون و سپس مقادیر تنش افقی برای چهار دامنهٔ فوق ارائه شده است.

شرایط سکون

مقادیر تنش افقی و نیز ضریب فشار جانبی برای چهار نوع ماسه‌ی مورد آزمایش در این تحقیق در ترازهای مختلف در شکل (۷) نشان داده شده است. همان‌گونه که ملاحظه می‌شود تغییرات تنش خطی می‌باشد و مقدار ضریب فشار جانبی، k_0 نیز در عمق ثابت است.

تغییر مکان $\delta_{max} = \pm 1mm$

در اولین گروه آزمایش‌ها، تغییر مکان اعمال شده به قسمت فوقانی دیوار معادل ۱ میلی‌متر بود و در سیکل‌های مختلف تنش‌های افقی در ترازهای گوناگون ثبت شد. تنش افقی و نیز ضریب فشار جانبی برای چهار نوع ماسه‌ی مورد آزمایش در ترازهای مختلف و پس از ۵ سیکل در شکل (۸) نشان داده شده است. با توجه به این‌که دامنهٔ تغییرمکان اعمالی کوچک می‌باشد (کمتر از $1/10$ درصد ارتفاع دیوار)، در سیکل‌های اولیه، تغییر قابل ملاحظه‌ای در تنش‌های افقی نسبت به حالت سکون ملاحظه نمی‌شود. تغییر در مقدار y نیز وابسته به فشارهای جانبی است. اگرچه تغییرات تنش افقی خطی است اما مقدار ضریب فشار جانبی خاک پس از ۵ سیکل در عمق ثابت نیست و با افزایش عمق افزایش می‌یابد.

تغییر مکان مختلف شامل $7 \pm \delta_{max}$, $4 \pm \delta_{max}$, $2 \pm \delta_{max}$ و $1 \pm \delta_{max}$ mm انجام شده است.

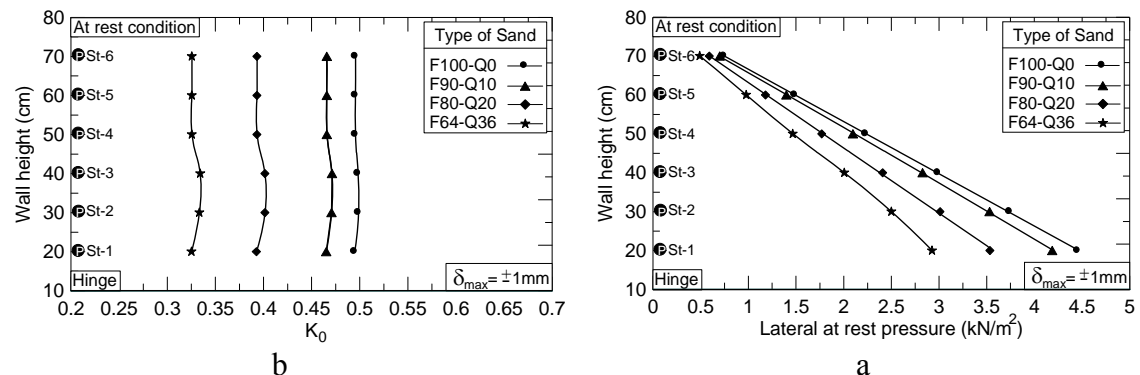
در تحقیق انجام شده توسط سوگیموتو در پل‌های یک‌پارچه‌ی ساخته شده در مدل یک مطالعه‌ی موردنی در مقیاس واقعی، تغییرمکان عرضه بر اساس تغییر دماهای سیکلی روزانه و سالیانه اندازه‌گیری شده است. بر این اساس مقدار $\delta/2H$ برای تغییرات روزانه 0.02 درصد و برای تغییرات سالیانه برابر 0.05 درصد برآورد شده است. بنابراین در تحقیق حاضر با توجه ارتفاع دیوار حاصل در مدل آزمایشگاهی ساخته شده که ۷۰ سانتی‌متر می‌باشد، حداقل تغییرمکان در آزمایش‌ها برابر 7 میلی‌متر (0.05 درصد) انتخاب شده است [۱].

۶- با توجه به چهار نوع ماسه‌ی ترکیبی و اعمال چهار تغییرمکان مختلف، تعداد آزمایش‌های انجام شده در این تحقیق ۱۶ آزمایش می‌باشد که قراءت تنش‌ها در هر آزمایش در حالت سکون (قبل از هرگونه حرکت دیوار) و پس از اعمال $5, 20$ و 50 سیکل بارگذاری انجام شده است.

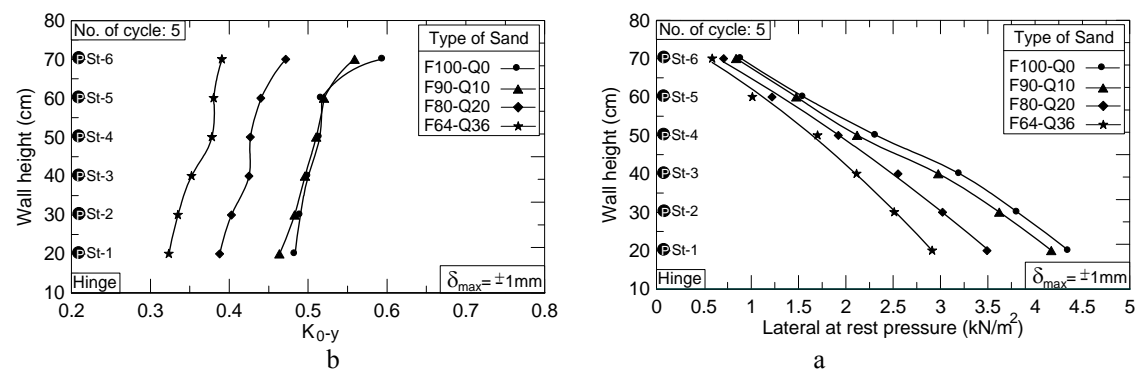
همان‌گونه که بیان گردید فشارسنج‌های نصب شده، فشار افقی را اندازه‌گیری می‌کنند. ضریب فشار جانبی خاک، k_{0-y} ، با تقسیم کردن تنش افقی قراءت شده بر تنش قائم در هر نقطه (که معادل وزن خاک در آن تراز می‌باشد) محاسبه گردید.

نتایج آزمایش‌ها

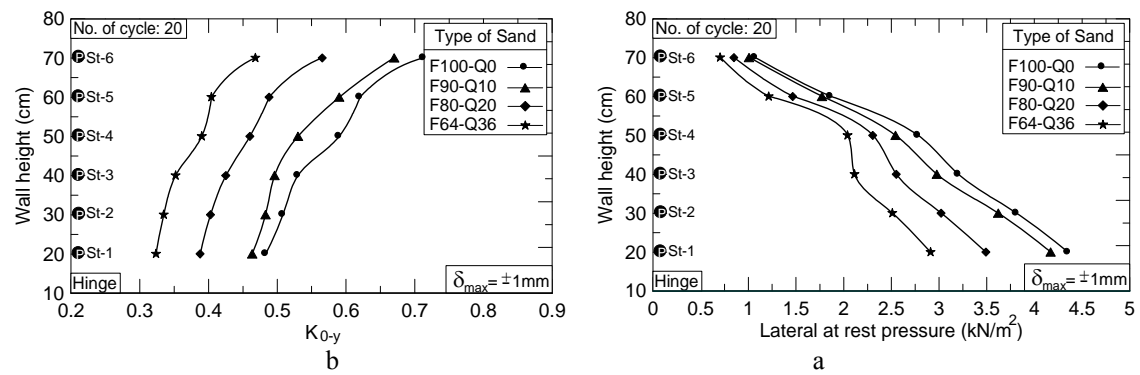
همان‌گونه که بیان گردید در این تحقیق، تعداد ۱۶ آزمایش بر روی ۴ نوع ماسه با زاویه‌ی اصطکاکی متفاوت جدول (۱) انجام شد که نتایج آن در ۴ قسمت به ازای چهار دامنهٔ تغییرمکان مختلف $\pm \delta_{max}$, $1, 2, 4$ و 7 mm



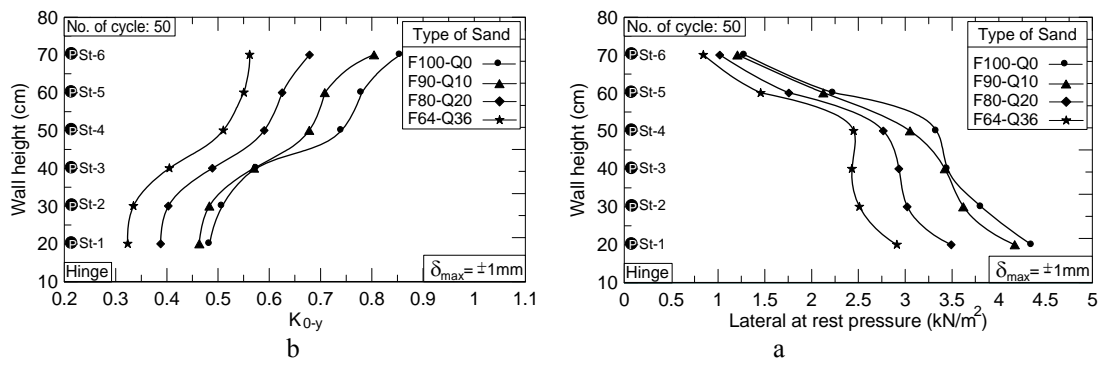
شکل ۷ (a) تنش افقی و (b) ضریب فشار جانبی خاک در حالت سکون (k_0) برای چهار نوع ماسه



شکل ۸ (a) تنش افقی و (b) ضریب فشار جانبی خاک پس از ۵ سیکل برای چهار نوع ماسه



شکل ۹ (a) تنش افقی و (b) ضریب فشار جانبی خاک پس از ۲۰ سیکل برای چهار نوع ماسه



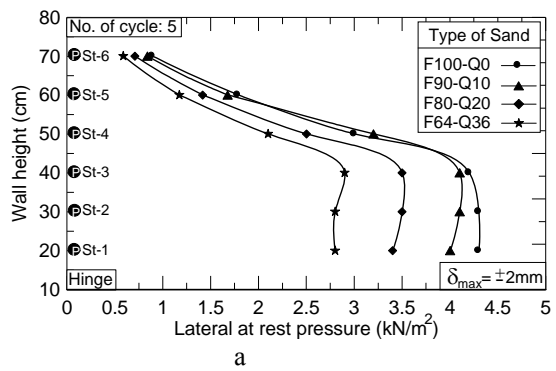
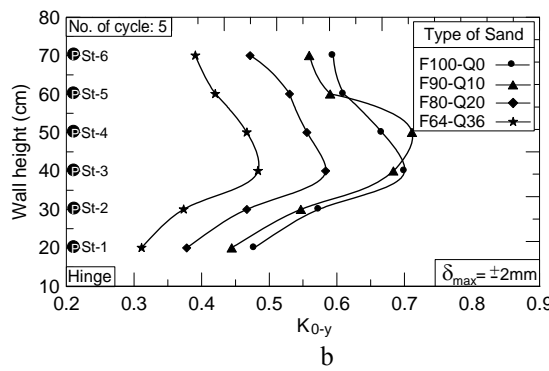
شکل ۱۰ (a) تنش افقی و (b) ضریب فشار جانبی خاک پس از ۵۰ سیکل برای چهار نوع ماسه

قسمت فوقانی دیوار معادل ۲ میلی‌متر بود و در سیکل‌های مختلف تنش‌های افقی در ترازهای گوناگون ثبت شد. تنش افقی و نیز ضریب فشار جانبی برای چهار نوع ماسه‌ی مورد آزمایش در ترازهای مختلف و پس از ۵ سیکل در شکل (۱۱) نشان داده شده است. همان‌گونه که ملاحظه می‌شود با افزایش دامنه‌ی تغییرمکان اعمالی از ۱ میلی‌متر به ۲ میلی‌متر پس از سیکل تنش‌های افقی از حالت خطی خارج می‌شود و در عمق پایین‌تری از دیوار تنش افقی تغییر قابل ملاحظه‌ای نمی‌کند. به عبارت دیگر تنش افقی در حدود یک‌سوم دیوار ثابت است و یا تغییرات کمی دارد که بیانگر پدیده‌ی قوس‌زدگی می‌باشد. به همین دلیل روند تغییرات k_{0-y} نیز دارای یک بیشینه می‌باشد که بیانگر تغییر ساختار کامل خاک است.

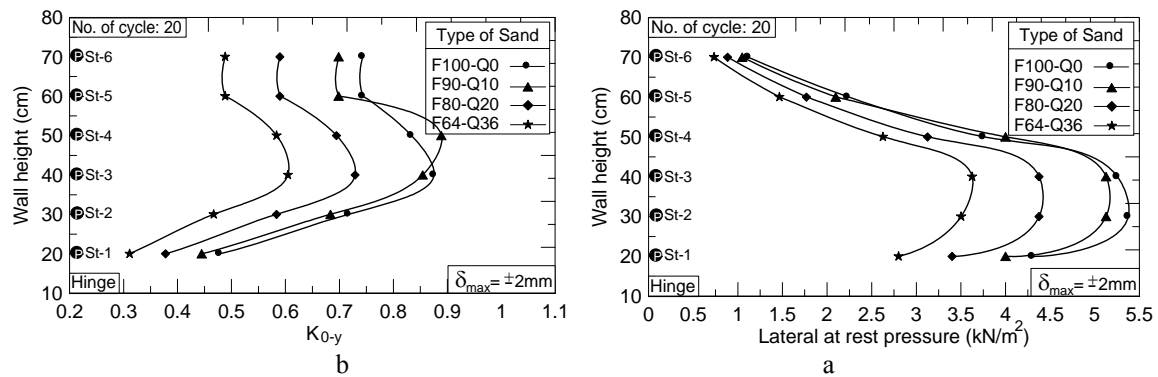
در شکل (۱۲) تنش افقی و نیز ضریب فشار جانبی، k_{0-y} ، برای چهار نوع ماسه در ترازهای مختلف و پس از ۲۰ سیکل نشان داده شده است. با توجه به افزایش تعداد سیکل تغییرات ضریب فشار جانبی با افزایش عمق ثابت نیست و کاهش قابل ملاحظه‌ای از خود نشان می‌دهد. هم‌چنین تغییرات تنش افقی نه تنها روند افزایش خطی خود را از دست می‌دهد بلکه دارای یک نقطه بیشینه می‌باشد که تقریباً در نیمه‌ی عمق دیوار قرار دارد. هم‌چنین افزایش ضریب فشار جانبی بیانگر تغییر مجدد ساختار خاک می‌باشد.

$$\text{تغییر مکان} = \pm \text{mm}$$

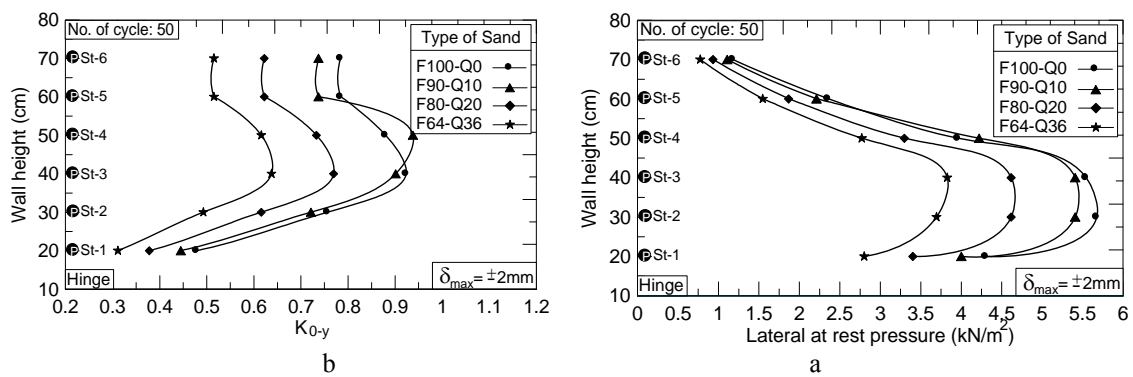
در دومین گروه آزمایش‌ها، تغییرمکان اعمال شده به



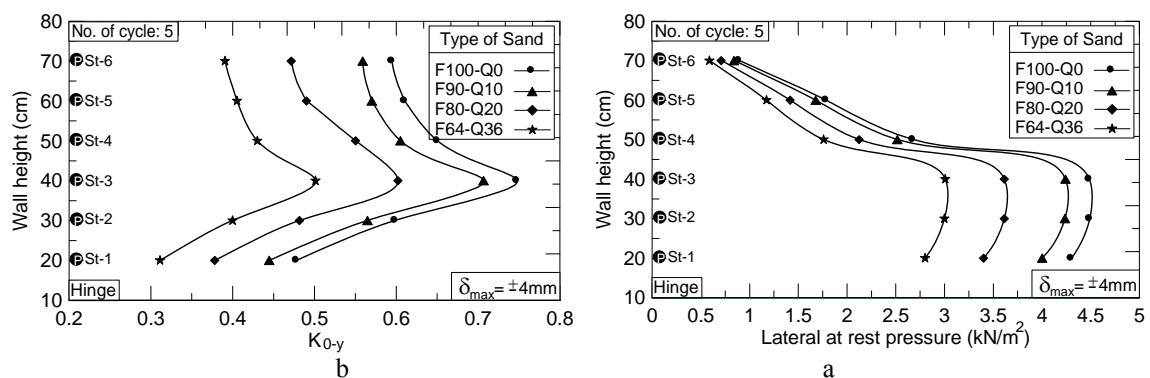
شکل ۱۱ (a) تنش افقی و (b) ضریب فشار جانبی خاک پس از ۵ سیکل برای چهار نوع ماسه



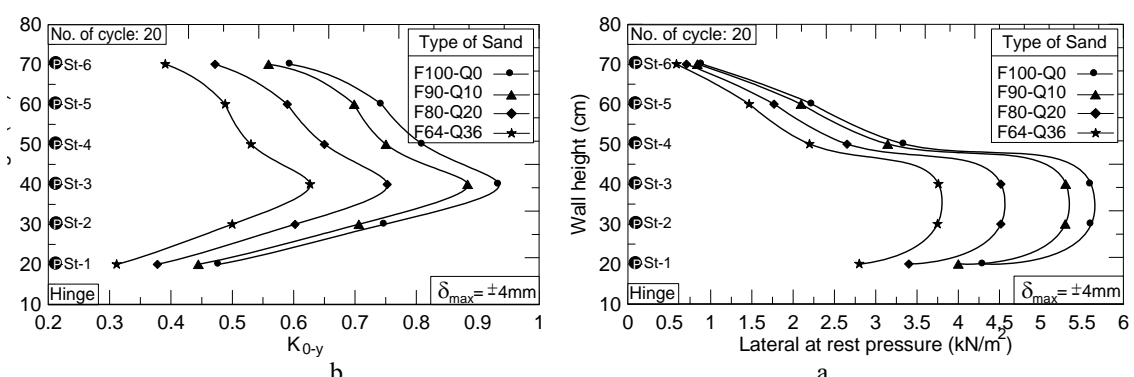
شکل ۱۲ (a) تنش افقی و (b) ضریب فشار جانبی خاک پس از ۲۰ سیکل برای چهار نوع ماسه



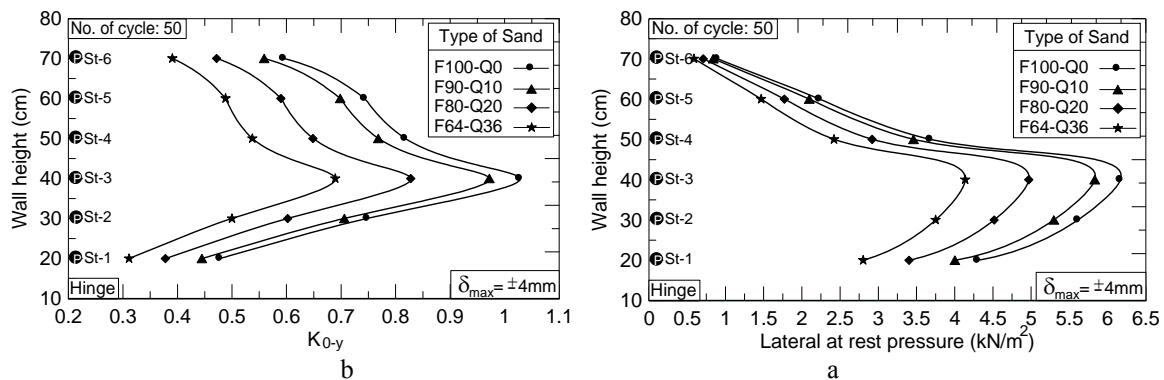
شکل ۱۳ (a) تنش افقی و (b) ضریب فشار جانبی خاک پس از ۵۰ سیکل برای چهار نوع ماسه



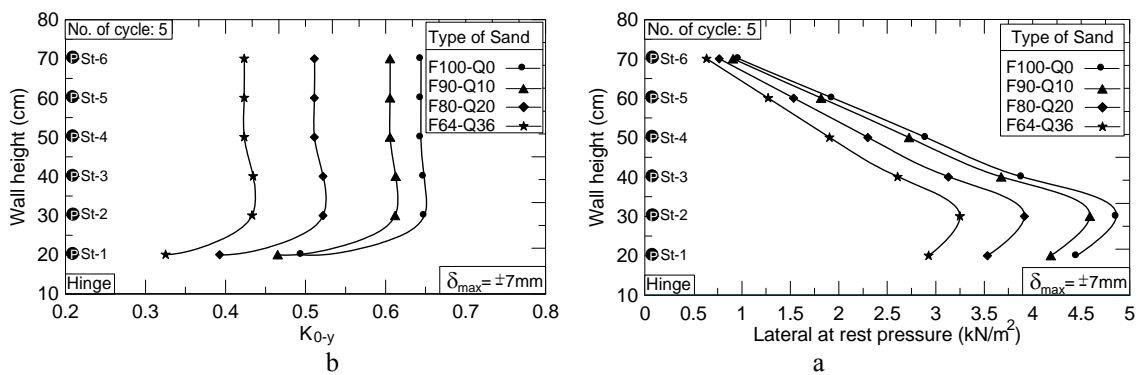
شکل ۱۴ (a) تنش افقی و (b) ضریب فشار جانبی خاک پس از ۵ سیکل برای چهار نوع ماسه



شکل ۱۵ (a) تنش افقی و (b) ضریب فشار جانبی خاک پس از ۲۰ سیکل برای چهار نوع ماسه



شکل ۱۶ (a) تنش افقی و (b) ضریب فشار جانبی خاک پس از ۵۰ سیکل برای چهار نوع ماسه



شکل ۱۷ (a) تنش افقی و (b) ضریب فشار جانبی خاک پس از ۵ سیکل برای چهار نوع ماسه

قسمت فوقانی دیوار معادل ۷ میلی‌متر بوده است تا اثر دامنه‌های کاملاً بزرگ مطالعه گردد. تنش افقی و نیز ضریب فشار جانبی برای چهار نوع ماسه‌ی مورد آزمایش در ترازهای مختلف و پس از ۵ سیکل در شکل (۱۷) نشان داده شده است. در این حالت تغییرات k_{0-y} دارای بیشینه نبوده و فقط در عمق‌های پایین روند کاهشی دارد.

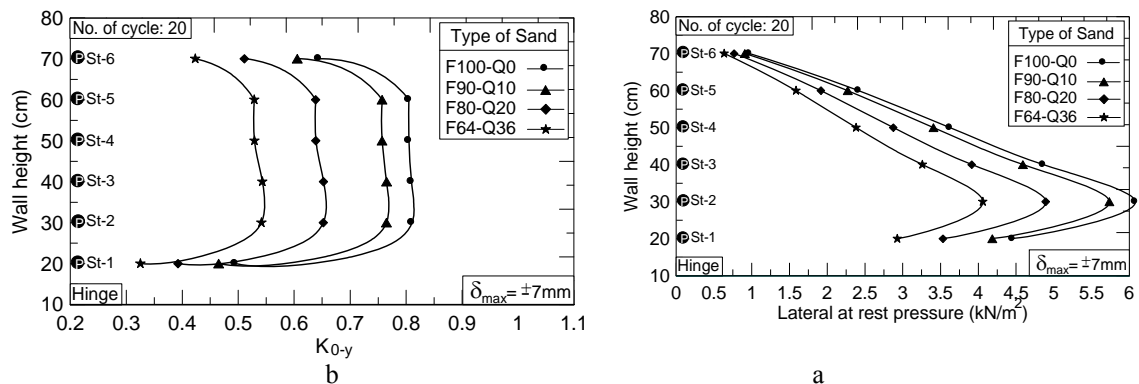
در شکل (۱۸) تنش افقی و نیز ضریب فشار جانبی، پس از ۲۰ سیکل نشان داده شده است. روند تغییرات تنش افقی و ضریب فشار جانبی مشابه حالت قبل می‌باشد. این روند نیز پس از اعمال ۵۰ سیکل که در شکل (۱۹) نشان داده شده تغییری نداشته جز آن که فقط مقدار آن تغییر یافته است.

تغییر مکان $\delta_{max} = \pm 14mm$

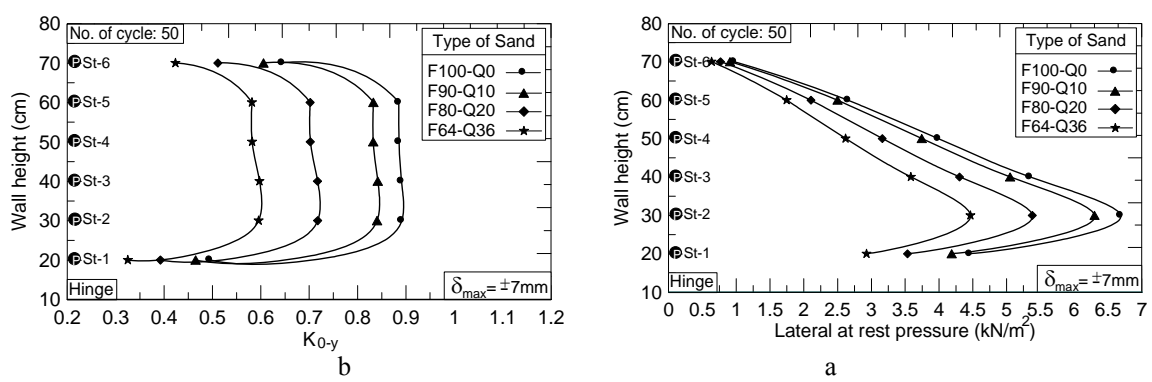
در سومین گروه آزمایش‌ها، تغییر مکان اعمال شده به قسمت فوقانی دیوار معادل ۴ میلی‌متر در نظر گرفته شد تا اثر بزرگی دامنه بررسی بیشتری گردد. تنش افقی و نیز ضریب فشار جانبی برای چهار نوع ماسه مورد آزمایش در ترازهای مختلف و پس از ۵ سیکل به ترتیب در شکل‌های (۱۴-۱۶) نشان داده شده است. همان‌گونه که ملاحظه می‌شود روند کلی تغییرات تنش افقی و ضریب k_{0-y} مشابه است اما مقدار تنش افقی و نیز بیشینه مقدار ضریب فشار جانبی با افزایش تعداد سیکل روند افزایشی دارد.

تغییر مکان $\delta_{max} = \pm 7mm$

در آخرین گروه آزمایش‌ها، تغییر مکان اعمال شده به



شکل ۱۸ (a) تنش افقی و (b) ضریب فشار جانبی خاک پس از ۲۰ سیکل برای چهار نوع ماسه



شکل ۱۹ (a) تنش افقی و (b) ضریب فشار جانبی خاک پس از ۵۰ سیکل برای چهار نوع ماسه

تغییرات این ضریب در دیوارهای حایل پل‌های یک‌پارچه به مقدار دوران آن و نیز تعداد سیکل اعمال شده بستگی دارد. به عبارتی هنگامی که دامنه کوچک باشد (به عنوان مثال $\delta_{max} = \pm 1\text{ mm}$) و پس از سیکل پنجم، شکل (۷) تغییرات k_{0-y} تقریباً خطی است و با افزایش تعداد سیکل شیب آن افزایش می‌یابد (شکل ۹). با افزایش دامنه تغییر مکان اعمال شده، تغییرات این ضریب از حالت خطی درمی‌آید و ابتدا یک روند افزایشی دارد و سپس کاهش می‌یابد. البته باید یادآوری شود که ضریب k_{0-y} هنگامی اندازه‌گیری شده که دیوار از حالت مقاوم به حالت سکون رسیده است.

تغییر مقدار تنش افقی. تنش افقی همیشه تابعی از سربار اعمال شده و یا به عبارتی وزن خاک می‌باشد.

تفسیر نتایج

همان‌گونه که قبلاً بیان شد هدف از انجام این تحقیق بررسی اثر دوران سیکلی دیوارهای پل‌های یک‌پارچه بر مقادیر تنش افقی و ضریب فشار جانبی خاک بوده است. مهم‌ترین تأثیر دوران سیکلی (که نتیجه‌ی آن اعمال بارهای سیکلی بر دیوار است)، تغییر رفتار خاک دانه‌ای پشت دیوار می‌باشد. این تغییر رفتار را می‌توان در دو پارامتر زیر به خوبی مشاهده نمود:

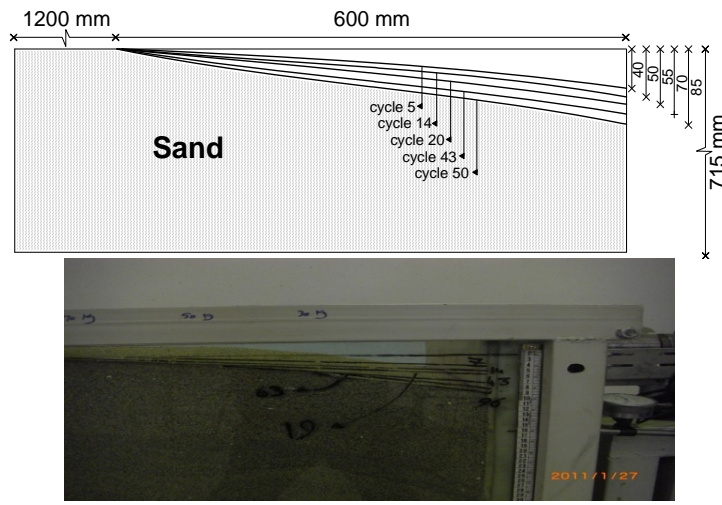
تغییر رژیم ضریب فشار جانبی. ضریب فشار جانبی خاک در حالت استاتیکی تابعی از زاویه‌ی اصطکاک داخلی خاک، ϕ است و در عمق مقدار آن ثابت می‌باشد (روابط (۱)-۷) و شکل (۶) که از نتایج این تحقیق به دست آمده است، اما مقدار و چگونگی

نخواهد داشت.

پدیده‌ی آرچینگ. اصولاً پدیده‌ی آرچینگ (قوس‌زدگی) هنگامی در ماسه‌ها اتفاق می‌افتد که ماسه از یک حالت بارگذاری به حالت دیگر انتقال پیدا کند که این بارگذاری و باربرداری تغییراتی در ساختار و چیدمان دانه‌ها نسبت به حالت اولیه‌ی ماسه به وجود می‌آورد. در ماسه‌های شل در تغییرات اولیه‌ی بارگذاری این حالت سریع‌تر صورت می‌گیرد و اثر خود را نشان می‌دهد [16]. در آزمایش‌های انجام‌شده پدیده‌ی قوس‌زدگی نیز اتفاق افتاد. هنگامی که تغییر مکان افقی (۱میلی‌متر) یا به عبارتی دوران دیوار کوچک می‌باشد در تعداد سیکل‌های کم (۵ سیکل) و یا حتی ۲۰ سیکل تغییرات کمی در ساختار و به تبع آن در رفتار خاک دیده می‌شود و تنش‌های افقی ثبت شده نسبت به حالت اولیه تغییرات کم‌تری دارد و متناسب با سر بر (وزن خاک بالایی خود) می‌باشد. هرچه تعداد سیکل‌های بارگذاری یا همان مقدار تغییر مکان بیش‌تر می‌شود تنش‌های قراءت‌شده از فشار‌سنج‌ها بیش‌تر می‌شود و در فشار‌سنج‌های یک‌سوم میانی دیوار به حدکثرا خود می‌رسد. علی‌رغم تراکم شدن خاک و افزایش وزن مخصوص در فشار‌سنج‌های انتهایی تنش افقی کم‌تری نسبت به حالت اولیه ثبت شده است که این نشان دهنده عدم انتقال وزن لایه‌های بالایی به قسمت‌های پایینی می‌باشد (زیر قسمت حدکثرا تنش‌های قرائت‌شده یا همان ناحیه‌ای که رفتار خاک از حالت خطی به غیرخطی تبدیل شده است). در واقع این تغییر حالت رفتاری خاک می‌تواند پدیده‌ی قوس‌زدگی را ایجاد کند و پس از آن کاهش در تنش‌های افقی را شاهد باشیم. این پدیده را به گونه‌ای دیگر نیز می‌توان بیان کرد.

بديهی است هنگامی که توزيع تنش قائم ناشی از وزن خاک خطی باشد توزيع تنش افقی نيز خطی خواهد بود. شکل (۶) که تنش افقی ثبت‌شده توسط تنش‌سنج‌ها را بلاfaciale پس از پر کردن مخزن از ماسه و قبل از اعمال هرگونه تغيير مکان سيكلی نشان می‌دهد به خوبی بيانگر توزيع خطی تنش افقی است. رفتار مصالح دانه‌ای بر اثر دوران و اعمال تغيير مکان سيكلی به نقطه‌ی فوقانی دیوار کاملاً تغيير کرده است و نه تنها از حالت خطی خارج شده بلکه روند افزایشی آن با افزایش عمق نيز تغيير می‌کند. در تمامی خاک‌های مورد آزمایش با زاویه‌ی اصطکاک داخلی مختلف، هنگامی که دامنه‌ی جابه‌جایی در حالت سيكلی کوچک است (به عنوان مثال $\delta_{max} = \pm 1\text{ mm}$)، تغییرات محسوسی در مقادیر تنش افقی نسبت به حالت سکون دیده نمی‌شود. در حالی که در جابه‌جایی‌های بزرگ‌تر، این تغییرات حتی در تعداد سیکل‌های کم (مثلاً ۵ سیکل) کاملاً محسوس است.

با نگاهی به نمودارهای فوق کاملاً آشکار است که نرخ افزایش تنش در سیکل‌های ابتدایی زیاد است و با افزایش تعداد سیکل این نرخ کاهش می‌یابد به گونه‌ای که در تعداد سیکل‌های بالا تغییرات قابل ملاحظه‌ای در افزایش تنش افقی مشاهده نمی‌شود. این فرآيند بيانگر تغيير ساختار خاک و رفتار آن می‌باشد. به عبارتی اعمال تغيير مکان سيكلی نه تنها موجب افزایش تراکم خاک می‌شود بلکه سختی خاک را نيز زیاد می‌کند. از طرفی پیامد افزایش تراکم و سختی، افزایش زاویه‌ی اصطکاک را به دنبال خواهد داشت. افت سطح خاک مجاور دیوار در دستگاه آزمایش که در شکل (۲۰) نمایش داده شده نيز بيانگر این موضوع می‌باشد. بنابراین پس از رسیدن به تراکم معین ناشی از حرکت سیكلی دیوار، پس از آن افزایش تعداد سیکل تأثیر چشمگیری در مقدار تنش جانبی



شکل ۲۰ نشت سطحی خاک ناشی از بارگذاری سیکلی (شکل بدون مقیاس است)

افزایش نمی‌یابد بلکه مقدار آن کاهش می‌یابد.

نتیجه‌گیری

تحقیق حاضر کوششی برای بررسی اثر تغییر مکان‌های سیکلی بر رفتار مصالح دانه‌ای پشت دیوار پل‌های یک‌پارچه می‌باشد. در این گونه پل‌ها، تغییرات درجهٔ حرارت روزانه و فصلی موجب اعمال بارهای سیکلی به خاک‌ریز پشت دیوار می‌شود. نتایج پژوهش به صورت خلاصه به شرح زیر بیان می‌شود:

۱- تغییرات تنفس افقی در حالت سکون کاملاً خطی است. اما هنگامی که دیوار پل تحت اثر بارگذاری سیکلی قرار می‌گیرد تنفس افقی در یک‌سوم میانی ارتفاع دیوار افزایش می‌یابد و سپس به تدریج کاهش می‌یابد. به عبارتی حداقل تنفس افقی اندازه گرفته شده در فاصله‌ی ۳۰ تا ۴۰ سانتی‌متری از سطح خاک قرار دارد.

۲- نرخ تغییرات تنفس افقی در خاک‌های دانه‌ای با زاویه‌ی اصطکاک داخلی بیشتر به مرتبه کمتر از ماسه‌هایی است که در آن ϕ خاک کم است. به عبارتی در خاک‌های دارای مقاومت برشی کمتر، تأثیر سیکل‌های جایه‌جایی دیوار بر میزان تغییرات تنفس افقی بیشتر می‌باشد. می‌توان گفت اصطکاک

در شکل (۲۰) تصویری از افت سطح ماسه در اثر اعمال تغییر مکان سیکلی دیوار و نیز مقادیر اندازه‌گیری شده‌ی آن دیده می‌شود. بدینه‌ی است دلیل این پدیده تمایل ماسه به کاهش حجم و افزایش دانسیتی آن بر اثر بارگذاری سیکلی است. تغییر در تراکم خاک و مقدار آن بستگی به تعداد سیکل و دامنه‌ی تغییر مکان دارد [17]. هم‌چنان بر اساس تحقیقات انجام شده مدول برشی خاک در اثر بارگذاری سیکلی افزایش می‌یابد. افزایش مدول برشی منجر به افزایش تنفس برشی در یک تغییر مکان ثابت می‌شود [18]. این عامل منجر به ایجاد تنفس برشی بیشتر بین خاک و دیوار می‌شود و دانه‌های خاک درگیری بیشتری با سطح تماس دیوار خواهند داشت [19]. با توجه به جهت تنفس‌های برشی ایجاد شده و تنفس‌های اصلی موجود در خاک، چیدمان دانه‌ها و اندرکنش دانه‌های خاک منجر به پدیده‌ی قوس‌زدگی می‌گردد. کمان ایجاد شده شیشه‌ی یک پوسته‌ی قوسی‌شکل، وزن لایه‌های خاک بالایی را تا حدی تحمل می‌کند و از انتقال کامل آن به لایه‌های پایینی جلوگیری می‌نماید [20]. به عبارتی تنفس قائم ناشی از وزن در بخش پایین دیوار کاهش می‌یابد و در نتیجه تنفس افقی نیز کاهش می‌یابد. نتایج تحقیق حاضر نیز نشان می‌دهد در ترازهای پایین فشار افقی نه تنها

ملموس است.

۵- در تغییرات سیکلی هر چند در حالت قائم دیوار تنش افقی اندازه‌گیری شده است لیکن اندازه‌گیری وقتی صورت گرفته است که دیوار از حالت فعال به حالت سکون رسیده و تغییرمکان دیوار به سمت خاک بوده و لذا تنش‌های موجود به تنش‌های مقاوم نزدیکتر شده است. واضح است که هر چه زاویه‌ی اصطکاک داخلی زیادتر باشد و یا وزن مخصوص خاک افزایش یابد انتظار فروزنی تنش مقاوم نیز خواهد بود.

۶- هر چه زاویه‌ی اصطکاک داخلی خاک کم‌تر باشد تأثیرات بارگذاری و تغییرمکان‌های سیکلی بر مقادیر تنش افقی و $k_{0,y}$ بیش‌تر است.

۷- هرچه دامنه‌ی جابه‌جایی در سیکل‌های رفت و برگشتی بیش‌تر باشد، نقطه‌ی بیشنه‌ی تنش افقی به انتهای دیوار نزدیک‌تر است و در سیکل‌های اولیه نرخ تغییرات تنش در ماسه‌های شل بیش‌تر است.

بین دانه‌ها خود عامل کاهنده‌ی اثرات بارگذاری سیکلی است. در تغییرمکان برای حالتی که $\delta = 7$ میلی‌متر می‌باشد، مقادیر تنش افقی در تراز ۴۰ سانتی‌متری تا سطح خاک، افزایش می‌یابد.

۳- با افزایش تعداد سیکل‌های رفت و برگشت مقدار تنش افقی هنگامی که دیوار در حالت مقاوم قرار دارد در میانه‌ی دیوار افزایش می‌یابد. دلیل این موضوع افزایش دانسیته‌ی نسبی ماسه است که این نیز به نوبه‌ی خود موجب افزایش زاویه‌ی اصطکاک داخلی ماسه و یا افزایش تنش افقی مقاوم خواهد شد. بدیهی است در خاک‌های دانه‌ای با دانسیته‌ی نسبی کم‌تر میل به افزایش تراکم بیش از خاک‌های با دانسیته‌ی بالا است.

۴- در تمامی خاک‌ها با زاویه‌ی اصطکاک مختلف هنگامی که دامنه‌ی رفت و برگشت کوچک است ($\delta=1\text{mm}$) تغییرات محسوسی در مقادیر تنش افقی دیده نمی‌شود؛ هر چند با افزایش تعداد سیکل‌های بارگذاری تا حدودی افزایش تنش افقی

مراجع

1. Sugimoto, T., Sumiyoshi, T., Sasaki, S., Hiroshima, M. and Yamamura, H., "Increase in the earth pressure by cyclic displacement of wall", Proceedings of the Sino-Japanese Symposium on Geotechnical Engineering in Urban Construction, pp.189-196, (2003).
2. Sumiyoshi, T., "Behavior of U-type retaining wall subjected to cyclic displacement", Annual Report, Institute of Civil Engineering, Tokyo Metropolitan Government, pp. 69-78, (2005).
3. Fang, Y.S. and Ishibashi, I., "Earth pressure with various wall movements", *Journal of Geotechnical Engineering*, ASCE, Vol. 112, No. 3, pp. 317-333, (1985).
4. Hoppe, E.J. and Gomez, J.P., "Field study of an integral back-wall bridge", Virginia Transportation Research Council, Charlottesville, VA, VTRC 97-R7, (1996).
5. Jaky, J., "The coefficient of earth pressure at rest", Journal of Society of Hungarian Architects and Engineers, pp. 335-358, (1948).
6. Mesri, G. and Hayat, T., "Coefficient of earth pressure at rest", Canadian Geotechnical Journal, Vol. 30, pp. 647-660, (1993).
7. Worth, C., "General theories of earth pressure and deformation", Proceedings of 5th European Conference on Soil Mechanics and Foundation Engineering, Vol. 2, Madrid, Spain, pp. 33-52, (1973).

8. Mayne, P.W., and Kulhawy, F.H. , "K₀-OCR relationships in soil", *ASCE Journal of Geotechnical Engineering*, Vol. 108(GT6), pp. 135-146, (1982).
9. Hendron, A.J., "The behavior of sand in one-dimensional compression", Ph. D thesis, University of Illinois at Urbana-Champaign, USA, (1963).
10. Takashi, S. and Taro, U., "Residual earth pressure on a retaining wall with sand backfill subjected to forced cyclic lateral displacement", Soil Stress-Strain Behavior Measurement Modeling and Analysis, *Geotechnical Symposium in Roma*, pp. 865-874, (2006).
11. Sherif, M.M. and Mackey, R.D., "Pressure on retaining wall with repeated loading", *Journal of Geotechnical Engineering*, ASCE, Vol. 103, No. 11, PP. 1341-1343, (1977).
12. England, G.L., Chiu, M., Tsang, C.M., Dunstan, T. and Wan, R., "Drained granular material under cyclic loading with temperature induced soil/structure interaction", ASME, Vol. 50, No. 10, pp. 553-578, (1997).
13. England, G.L. and Bolouri Bazaz, J., "Ratcheting flow of granular materials, static and dynamic properties of gravelly soils", *Geotechnical Special Publication No. 56*, ASCE, pp. 64-76, (1995).
14. Hanna, A., and Al-Romhein, R., "At-rest earth pressure of over-consolidated cohesionless soil", *Journal of Geotechnical and Geo-environmental Engineering*, Vol. 134, No. 3, pp. 408-412, (2008).
15. Tamura, S., Sakamoto, T. and Hida, T., "Mechanism of earth pressure and sidewall friction acting on an embedded footing in dry sand base on centrifuge testing", Proceedings of 14th World Conference on Earthquake Engineering, Beijing, China, (2008).
16. Tatsuoka, F., Masuda, T. and Siddiquee, M.S.A., "Modeling the stress-strain behavior of sand in cyclic plane strain loading", *Journal of Geotechnical and Environmental Engineering*, ASCE, Vol. 129, No. 5, pp. 450-467, (2003).
17. Michalowski, R., "Coefficient of earth pressure at rest", *Journal of Geotechnical and Geo-environmental Engineering*, Vol. 131, No. 11, pp. 1429-1433, (2005).
18. England, G. and Dunstan, T., "Shakedown solutions for soil containing structures as influenced by cyclic temperatures", Proceedings of the 3rd Kerensky conference, Global Trends in Structural Engineering, Singapore, pp. 159-170, (1994).
19. Michalowski, R., and Park, N., "Arching in granular soils", Proceedings, Geomechanics: Modeling and Simulation, ASCE Geotechnical Special Publication, 143, ASCE, Reston, VA., pp. 255-268, (2005).
20. Springman, S.M., Norish, A.R., "Cyclic loading of sand behind integral bridge abutment", TRL. Report No. 146, (1996).

کاربرد مقاومت الکتریکی برای بررسی پایایی بتن*

فرامرز مودی^(۱)مهندی مهدی‌خانی^(۲)علی اکبر رمضانیان‌پور^(۳)امیررضا پیلوار^(۴)

چکیده یکی از عوامل اصلی خرابی زودرس در سازه‌های بتن مسلح، خوردگی میل‌گردها می‌باشد و مهم‌ترین عامل در افزایش سرعت این تخریب نفوذپذیری بتن به‌شمار می‌رود. از سوی دیگر، روش‌های مختلفی برای ارزیابی نفوذپذیری بتن وجود دارد. با تعیین رابطه‌ای بین این روش‌ها می‌توان مهندسان را در انتخاب روش مناسب ارزیابی و درک بهتر مکانیزم آن‌ها یاری رساند. مقاومت الکتریکی بتن شاخصی مناسب برای ارزیابی نفوذپذیری بتن و مقاومت آن در مقابل نفوذ یون کلراید می‌باشد. این روش کاملاً غیرمخرب است و سادگی، سرعت و اقتصادی بودن آن بر کاربرد این روش می‌افزاید. در این تحقیق، به‌منظور یافتن رابطه‌ای مناسب میان مقاومت الکتریکی و نفوذپذیری بتن (مانند نفوذ آب و نفوذ یون کلراید)، آزمایش‌های گوناگونی بر روی ۷۲ طرح اختلاط بتن، انجام شده و روابط میان آن‌ها بیان گردیده است. علاوه بر آن، عوامل تأثیرگذار بر نتایج آزمایش‌ها بیان شده و در مورد محدودیت‌های موجود در برقراری ارتباط بین آن‌ها بحث شده است. نتایج نشان‌دهنده‌ی وجود رابطه‌ی توانی مناسبی میان مقاومت الکتریکی بتن و نفوذپذیری آن می‌باشد. در نتیجه، از نتایج این تحقیق می‌توان دریافت که با دقت مناسبی می‌توان از آزمایش مقاومت الکتریکی به‌منظور تعیین میزان نفوذپذیری نمونه‌های بتنی استفاده نمود.

واژه‌های کلیدی مقاومت الکتریکی، نفوذ پذیری، خوردگی، ریزاساختار، دوام، نفوذ تسریع شده یون کلراید.

Using Resistivity to Evaluate Durability of Concrete

A.R. Pilvar A.A. Ramezanianpour M. Mahdikhani F. Moodi

Abstract One of the main factors of premature deterioration of concrete structures is the corrosion of reinforcements. Chloride penetration of concrete is one of the main reasons of this phenomenon. Therefore, to have durable structure, it is necessary to have concretes with low permeability. There are various methods to evaluate permeability of concrete. Finding a relationship between them can be useful for understanding the mechanism of corrosion. Concrete resistivity test is a suitable indicator for concrete penetration and chloride ion permeability. It is a non-destructive, simple, rapid and cheap method that can also be used in site. In this study, various permeability and resistivity tests were carried out on different types of concrete to find a relationship between them. In addition, the main factors affected the resistivity are discussed and the major constraints of relation between resistivity and permeability of concrete are illustrated. Finally, a new method is recommended to eliminate these problems.

Keywords resistivity, permeability, corrosion, microstructure, durability, RCPT

★تاریخ دریافت مقاله ۹۰/۸/۱۷ و تاریخ پذیرش آن ۹۱/۸/۱۰ می‌باشد.

(۱) نویسنده‌ی مسؤول، دانشجوی دکتری، دانشکده مهندسی عمران و محیط زیست، دانشگاه صنعتی امیرکبیر.

(۲) استاد دانشکده مهندسی عمران و محیط زیست، مرکز تحقیقات تکنولوژی و دوام بتن، دانشگاه صنعتی امیرکبیر.

(۳) دانشجوی دکتری، دانشکده مهندسی عمران و محیط زیست، مرکز تحقیقات تکنولوژی و دوام بتن، دانشگاه صنعتی امیرکبیر.

(۴) استادیار دانشکده مهندسی عمران و محیط زیست، مرکز تحقیقات تکنولوژی و دوام بتن، دانشگاه صنعتی امیرکبیر.

مقاومت بتن در مقابل نفوذ یون کلراید را اندازه‌گیری نمایند. در اواخر دهه‌ی ۱۹۷۰، Whiting[6, 7] روشی به این منظور معرفی کرد که با نام روش نفوذ تسریع شده‌ی یون کلراید (RCPT) شناخته شده است. اما این روش در واقع رسانایی نمونه‌ها را اندازه‌گیری می‌کند. این روش توسط AASHTO در سال ۱۹۸۳ و ASTM در سال ۱۹۹۱ به صورت استاندارد آورده شده است.

این روش به عنوان شاخصی الکتریکی برای ارزیابی بتن در مقابل نفوذ یون کلراید، میزان جریان عبوری از نمونه‌ها را در طول مدت ۶ ساعت وقتی اختلاف پتانسیل ۶۰ ولت برقرار باشد اندازه‌گیری می‌کند[8]. میزان جریان اندازه‌گیری شده در مقابل زمان، با هم جمع می‌شود و میزان کل بار عبوری در واحد کلمب به دست می‌آید. پنج سطح برای ارزیابی بتن براساس میزان بار عبوری مشخص شده است: زیاد، متوسط، کم، خیلی کم و قابل چشم پوشی.

هرچند روش RCPT به دلیل آسانی آن بسیار مورد استفاده قرار گرفته است، اما در مجتمع علمی انتقاداتی نیز به آن وارد شده است[9]. RCPT روشنی شاخص است که در آن شرایط پایداری وجود ندارد. بدان معنی که برای دستیابی به انتشار پایدار، می‌بایست شرایطی ایجاد شده باشد که یون‌های کلراید از یک سوی نمونه به سوی دیگر آن رسیده باشند که برای حصول این شرط، نیاز به مدت زمان طولانی است. لیکن در روش RCPT اندازه‌گیری از همان لحظه شروع انجام آزمایش آغاز می‌گردد. مشکل دیگری که در روش RCPT وجود دارد، حرارت به وجود آمده در طول انجام آزمایش می‌باشد[10]. همچنین تغییراتی که در مشخصات مایع منفذی زمانی که از مواد پوزولانی استفاده می‌شود، به وجود می‌آید باعث عدم اطمینان به نتایج RCPT می‌شود. به علاوه به دلیل ولتاژ نسبتاً زیاد ۶۰ ولت، جریان برقرار شده در حالت پایداری قرار نمی‌گیرد[11]. در نتیجه ممکن است نتایج به دست آمده به درستی بیانگر انتشار یون کلراید نباشد.

مقدمه

یکی از عوامل خرابی زودرس سازه‌های بتن آرمه، خوردگی فولادهای آن می‌باشد و این مسأله از مهم‌ترین مشکلاتی است که صنعت ساخت و ساز، در رابطه با دوام، با آن مواجه است [1]. معمولاً خوردگی آرماتورها، ناشی از بین رفتن لایه‌ی محافظ (Passive) روی آرماتورها به دلیل نفوذ یون کلراید و یا کربناتاسیون و تشکیل میکروپیل‌های خوردگی می‌باشد. یون‌های کلراید محلول در آب ناشی از استفاده از نمک‌های یخ‌زدا، یون‌های موجود درون خاک، آب دریاهای و آب‌های زیرزمینی می‌توانند به بتن نفوذ کنند و به سطح آرماتور برسند. مکانیزم اصلی انتقال یون‌های کلراید در سطح بتن، مخصوصاً وقتی این سطح غیر اشباع باشد، جذب موینه می‌باشد و تجمع این یون‌ها در لایه‌های سطحی بتن باعث انتقال یون‌ها به صورت انتشار به لایه‌های زیرین می‌شود [2]. بنابراین انتشار، مکانیزم اصلی جابه‌جایی یون‌ها در لایه‌های زیرین بتن می‌باشد. نیروی رانش در انتشار یون‌های کلراید، اختلاف غلظت بین یون‌ها در قسمت‌های مختلف بتن می‌باشد [3]. روش‌های مختلفی برای ارزیابی نفوذ یون کلراید به بتن وجود دارد. در روش‌هایی که فقط بر پایه‌ی انتشار می‌باشند، محدودیت‌هایی وجود دارد. از جمله این محدودیت‌ها، زمان طولانی مورد نیاز برای رسیدن انتشار یون‌های کلراید به حالت پایدار می‌باشد. بنابراین، این روش‌ها برای ارزیابی مقاومت بتن در مقابل نفوذ یون کلراید، عملی نمی‌باشند [4]. در نتیجه، محققان به دنبال پیدا کردن روش‌های تسریع یافته هستند. به عنوان مثال عمل Streicher و Alexander [5]، بیان شده است به وسیله‌ی کاهش ضخامت نمونه‌ها و همچنین افزایش غلظت یون‌های کلراید در یک طرف نمونه، تسریع یافته است. از دهه‌ی ۱۹۷۰ سازمان‌ها و متخصصان سعی کرده‌اند که روش سریع، ارزان و قابل اعتمادی پیشنهاد دهند تا بتوانند میزان

هدف از این تحقیق بررسی این موضوع است که آیا می‌توان مقاومت الکتریکی بتن را به عنوان جایگزینی برای روش‌های RCPT و عمق نفوذ آب در نظر گرفت و آن را به عنوان شاخصی برای مقاومت بتن در مقابل نفوذ یون کلراید شناخت؟

برنامه‌ی آزمایشگاهی

مواد و طرح اختلاط. در این تحقیق در مجموع ۷۲ طرح اختلاط ساخته شد و مورد بررسی قرار گرفت. خلاصه طرح‌های اختلاط و همچنین سنین انجام هر آزمایش در جدول (۱) آورده شده است. برای ساخت نمونه‌های بتنه از سیمان تیپ ۱ استفاده شده و مواد جایگزین سیمان مورد استفاده شامل ۲ پوزولان طبیعی توف (Tuff) و پومیس (Pumice) و همچنین پوزولان‌های خاکستر پوسته‌ی برنج (RHA)، ۳ نوع متاکائولن (Metakaolin) و دوده سیلیس (SF) به علاوه پودر سنگ آهک می‌باشد. در جدول (۲) ترکیبات شیمیایی این مواد آورده شده است. برای تمامی طرح‌ها از سنگدانه‌ی درشت شکسته شده با حداقل قطر ۱۹ میلی‌متر و سنگدانه‌ی ریز طبیعی به عنوان ماسه استفاده شده است. برای رسیدن به کارایی مطلوب از فوق روان‌کننده در حد نیاز استفاده شده است. برای ساخت و عمل‌آوری نمونه‌های بتنه از آب شرب شهر تهران استفاده شده است. قابل ذکر است که اندازه‌گیری تمامی نسبت‌ها وزنی بوده است.

نحوه‌ی انجام آزمایش‌ها و آماده‌سازی نمونه‌ها. برای خروج حباب‌های هوا و تراکم بتن، از میز و پیره استفاده شده است. بعد از بتنه ریزی در قالب‌ها، برای ۲۴ ساعت آن‌ها را توسط حوله‌ی نمدار پوشانده و بعد از آن نمونه‌ها را از قالب‌ها خارج کرده و آن‌ها را درون آب حاوی آهک قرار داده‌ایم تا ضمن عمل‌آوری از نشت Ca(OH)_2 از بتن به خارج جلوگیری شود.

از طرفی دیگر، مقاومت الکتریکی بتن یکی از خواص ذاتی مستقل بتن می‌باشد که به میزان رطوبت بتن و ترکیبات آن بستگی دارد [12]. از تحقیقات تئوری و کارهای آزمایشگاهی انجام شده مشخص است که بین مقاومت الکتریکی بتن و نفوذ یون‌های کلراید رابطه‌ای وجود دارد [13-15]. در حالت کلی، ضریب نفوذ یون کلراید به‌طور عکس با مقاومت الکتریکی بتن رابطه دارد. در یک ساختار مشخص، قسمت‌های نفوذپذیرتر دارای مقاومت الکتریکی نسبی کمتر و نفوذ یون کلراید بالاتر می‌باشد. همچنین مقاومت الکتریکی با میزان خوردگی آرماتور بعد از شروع خوردگی در ارتباط است. انتقال یون‌ها بین آند و کاتد در سطح آرماتور یکی از عوامل کنترلی میزان خوردگی می‌باشد [12].

یکی از بهترین روش‌ها برای اندازه‌گیری مقاومت الکتریکی بتن، استفاده از دستگاه چهار الکترودی Wenner می‌باشد. این روش غیر مخرب، سریع و به سادگی قابل استفاده می‌باشد و به همین دلیل این روش را می‌توان شاخصی برای ارزیابی بتن از لحاظ نفوذ یون کلراید در نظر گرفت. این وسیله دارای چهار الکترود با فواصل مساوی است که با سطح بتن در تماس قرار می‌گیرد [16].

عامل اصلی دیگری که در دوام بتن نقش دارد، نفوذپذیری آن می‌باشد. بتن با نفوذپذیری پایین در مقابل حملات شیمیایی مقاومت بهتری نشان می‌دهد. هنگامی که آب به داخل بتن نفوذ می‌کند مقداری نمک‌های محلول را به همراه خود به داخل بتن حمل می‌کند و وقتی این نمک‌ها به سطح آرماتور برسند، باعث خوردگی می‌شوند. در حالت کلی نفوذپذیری کمتر باعث دوام بیشتر بتن می‌باشد. روش‌های مختلفی مانند آزمایش نفوذ آب، برای ارزیابی نفوذپذیری بتن مورد استفاده قرار می‌گیرند و تحقیقات بسیاری درباره‌ی آن انجام شده و اعتبار این روش‌ها تأیید شده است [17,18].

جدول ۱ طرح‌های اختلاط نمونه‌های بتون

ردیف	عنوان طرح	عیار مواد سیمانی	عیار مواد سیمانی	w/c	مواد جایگزین سیمان		مقاومت فشاری		ستین انجام آزمایش‌ها		
					نوع	درصد جایگزینی	روزه ۷	روزه ۲۸	SR	RCPT	W.P.
۱	C35/37L0	۳۵۰	۰.۳۷	Limestone	.	۴۷/۱۶	۵۶/۷۸	۲۸۹.۱۸.۲۷.	۲۸۹.۱۸.۲۷.	۲۸۹.۱۸.۲۷.	۲۸۹.۱۸.۲۷.
۲	C35/37L5	۳۵۰	۰.۳۷	Limestone	۵	۴۴/۷	۵۷/۸	۲۸۹.۱۸.۲۷.	۲۸۹.۱۸.۲۷.	۲۸۹.۱۸.۲۷.	۲۸۹.۱۸.۲۷.
۳	C35/37L10	۳۵۰	۰.۳۷	Limestone	۱۰	۴۸/۲	۵۲/۲۷	۲۸۹.۱۸.۲۷.	۲۸۹.۱۸.۲۷.	۲۸۹.۱۸.۲۷.	۲۸۹.۱۸.۲۷.
۴	C35/37L15	۳۵۰	۰.۳۷	Limestone	۱۵	۴۳/۷۶	۶۹/۵	۲۸۹.۱۸.۲۷.	۲۸۹.۱۸.۲۷.	۲۸۹.۱۸.۲۷.	۲۸۹.۱۸.۲۷.
۵	C35/37L20	۳۵۰	۰.۳۷	Limestone	۲۰	۳۳/۷۷	۴۴/۰۳	۲۸۹.۱۸.۲۷.	۲۸۹.۱۸.۲۷.	۲۸۹.۱۸.۲۷.	۲۸۹.۱۸.۲۷.
۶	C35/45L0	۳۵۰	۰.۴۰	Limestone	.	۳۶/۲۶	۴۲/۹۱	۲۸۹.۱۸.۲۷.	۲۸۹.۱۸.۲۷.	۲۸۹.۱۸.۲۷.	۲۸۹.۱۸.۲۷.
۷	C35/45L5	۳۵۰	۰.۴۰	Limestone	۵	۳۲/۳۶	۴۰/۱۹	۲۸۹.۱۸.۲۷.	۲۸۹.۱۸.۲۷.	۲۸۹.۱۸.۲۷.	۲۸۹.۱۸.۲۷.
۸	C35/45L10	۳۵۰	۰.۴۰	Limestone	۱۰	۳۱/۰	۳۷/۷۸	۲۸۹.۱۸.۲۷.	۲۸۹.۱۸.۲۷.	۲۸۹.۱۸.۲۷.	۲۸۹.۱۸.۲۷.
۹	C35/45L15	۳۵۰	۰.۴۰	Limestone	۱۵	۲۷/۰	۳۷/۴۰	۲۸۹.۱۸.۲۷.	۲۸۹.۱۸.۲۷.	۲۸۹.۱۸.۲۷.	۲۸۹.۱۸.۲۷.
۱۰	C35/45L20	۳۵۰	۰.۴۰	Limestone	۲۰	۲۷/۶۶	۳۲/۹۸	۲۸۹.۱۸.۲۷.	۲۸۹.۱۸.۲۷.	۲۸۹.۱۸.۲۷.	۲۸۹.۱۸.۲۷.
۱۱	C35/55L0	۳۵۰	۰.۱۰۰	Limestone	.	۲۴	۳۳/۱۶	۲۸۹.۱۸.۲۷.	۲۸۹.۱۸.۲۷.	۲۸۹.۱۸.۲۷.	۲۸۹.۱۸.۲۷.
۱۲	C35/55L5	۳۵۰	۰.۱۰۰	Limestone	۵	۲۲/۵۶	۳۲	۲۸۹.۱۸.۲۷.	۲۸۹.۱۸.۲۷.	۲۸۹.۱۸.۲۷.	۲۸۹.۱۸.۲۷.
۱۳	C35/55L10	۳۵۰	۰.۱۰۰	Limestone	۱۰	۲۰/۱۰	۲۹/۳۸	۲۸۹.۱۸.۲۷.	۲۸۹.۱۸.۲۷.	۲۸۹.۱۸.۲۷.	۲۸۹.۱۸.۲۷.
۱۴	C35/55L15	۳۵۰	۰.۱۰۰	Limestone	۱۵	۱۸/۸۲	۲۵/۶۰	۲۸۹.۱۸.۲۷.	۲۸۹.۱۸.۲۷.	۲۸۹.۱۸.۲۷.	۲۸۹.۱۸.۲۷.
۱۵	C35/55L20	۳۵۰	۰.۱۰۰	Limestone	۲۰	۱۸/۷۴	۲۵/۷۰	۲۸۹.۱۸.۲۷.	۲۸۹.۱۸.۲۷.	۲۸۹.۱۸.۲۷.	۲۸۹.۱۸.۲۷.
۱۶	C35/50P0	۳۵۰	۰.۱۰	Pumice	.	۲۹	۴۳/۳	۷۲۸۹.۱۸.	۹.۱۸.	۹.۱۸.	۹.۱۸.
۱۷	C35/50P10	۳۵۰	۰.۱۰	Pumice	۱۰	۲۰/۷	۳۷/۸	۷۲۸۹.۱۸.	۹.۱۸.	۹.۱۸.	۹.۱۸.
۱۸	C35/50P15	۳۵۰	۰.۱۰	Pumice	۱۵	۲۳	۳۹	۷۲۸۹.۱۸.	۹.۱۸.	۹.۱۸.	۹.۱۸.
۱۹	C35/50P20	۳۵۰	۰.۱۰	Pumice	۲۰	۲۵/۷	۳۹/۳	۷۲۸۹.۱۸.	۹.۱۸.	۹.۱۸.	۹.۱۸.
۲۰	C35/50T15	۳۵۰	۰.۱۰	Tuff	۱۰	۴۳/۳	۴۹/۸	۷۲۸۹.۱۸.	۹.۱۸.	۹.۱۸.	۹.۱۸.
۲۱	C35/50T20	۳۵۰	۰.۱۰	Tuff	۲۰	۳۱/۸	۴۰/۵	۷۲۸۹.۱۸.	۹.۱۸.	۹.۱۸.	۹.۱۸.
۲۲	C35/50T25	۳۵۰	۰.۱۰	Tuff	۲۵	۳۴/۰	۵۰/۲	۷۲۸۹.۱۸.	۹.۱۸.	۹.۱۸.	۹.۱۸.
۲۳	C42/45R0	۴۲۰	۰.۴۰	RHA	.	۳۰/۲	۴۰/۳	---	۷۲۸۹.۱۸.	۷۲۸۹.۱۸.	۷۲۸۹.۱۸.
۲۴	C42/45R7	۴۲۰	۰.۴۰	RHA	۷	۳۲/۴	۴۲/۸	---	۷۲۸۹.۱۸.	۷۲۸۹.۱۸.	۷۲۸۹.۱۸.
۲۵	C42/45R10	۴۲۰	۰.۴۰	RHA	۱۰	۳۲/۷	۴۶/۸	---	۷۲۸۹.۱۸.	۷۲۸۹.۱۸.	۷۲۸۹.۱۸.
۲۶	C42/45R15	۴۲۰	۰.۴۰	RHA	۱۵	۳۴/۶	۴۷/۹	---	۷۲۸۹.۱۸.	۷۲۸۹.۱۸.	۷۲۸۹.۱۸.
۲۷	C40/45MS0	۴۰۰	۰.۴۰	NS	.	۳۷/۸	۵۲/۳	۷۲۸۹.۱۸.	۲۸۹.۱۸.	۲۸	۲۸
۲۸	C40/45NS4/5	۴۰۰	۰.۱۰۰	NS	۵/۰	۴۶	۵۷/۸	۷۲۸۹.۱۸.	۲۸۹.۱۸.	۲۸	۲۸
۲۹	C40/45NS7/5	۴۰۰	۰.۱۰۰	NS	۷/۰	۴۸	۷۲	۷۲۸۹.۱۸.	۲۸۹.۱۸.	۲۸	۲۸
۳۰	C40/45MS4/5	۴۰۰	۰.۱۰۰	SF	۶/۰	۴۱/۷	۵۰/۲	۷۲۸۹.۱۸.	۲۸۹.۱۸.	۲۸	۲۸
۳۱	C40/45MS7/5	۴۰۰	۰.۱۰۰	SF	۷/۰	۴۰/۷	۷۱	۷۲۸۹.۱۸.	۲۸۹.۱۸.	۲۸	۲۸
۳۲	C40/45M0	۴۰۰	۰.۱۰۰	Metakaoline	.	۳۵/۷	۶۷/۳۳	۷۲۸۹.۱۸.	۷۲۸۹.۱۸.	۷۲۸۹.۱۸.	۷۲۸۹.۱۸.
۳۳	C40/45Ma5	۴۰۰	۰.۱۰۰	Metakaoline-A	۵	۳۷	۶۹/۶۷	۷۲۸۹.۱۸.	۷۲۸۹.۱۸.	۷۲۸۹.۱۸.	۷۲۸۹.۱۸.
۳۴	C40/45Ma10	۴۰۰	۰.۱۰۰	Metakaoline-A	۱۰	۳۷/۲۷	۵۲	۷۲۸۹.۱۸.	۷۲۸۹.۱۸.	۷۲۸۹.۱۸.	۷۲۸۹.۱۸.
۳۵	C40/45Ma15	۴۰۰	۰.۱۰۰	Metakaoline-A	۱۵	۳۵/۱۳	۵۱/۸۳	۷۲۸۹.۱۸.	۷۲۸۹.۱۸.	۷۲۸۹.۱۸.	۷۲۸۹.۱۸.
۳۶	C40/45Ma20	۴۰۰	۰.۱۰۰	Metakaoline-A	۲۰	۲۷	۵۷/۱۳	۷۲۸۹.۱۸.	۷۲۸۹.۱۸.	۷۲۸۹.۱۸.	۷۲۸۹.۱۸.
۳۷	C40/45Mb5	۴۰۰	۰.۱۰۰	Metakaoline-B	۵	۳۹/۱۳	۵۲/۱۶	۷۲۸۹.۱۸.	---	---	---
۳۸	C40/45Mb10	۴۰۰	۰.۱۰۰	Metakaoline-B	۱۰	۳۳/۷	۵۰	۷۲۸۹.۱۸.	---	---	---
۳۹	C40/45Mb15	۴۰۰	۰.۱۰۰	Metakaoline-B	۱۵	۲۷	۵۷/۶	۷۲۸۹.۱۸.	---	---	---
۴۰	C40/45Mb20	۴۰۰	۰.۱۰۰	Metakaoline-B	۲۰	۲۶/۱۶	۶۳/۶	۷۲۸۹.۱۸.	---	---	---
۴۱	C40/45Mc5	۴۰۰	۰.۱۰۰	Metakaoline-C	۵	۳۵/۶	۵۰	۷۲۸۹.۱۸.	۷۲۸۹.۱۸.	۷۲۸۹.۱۸.	۷۲۸۹.۱۸.
۴۲	C40/45Mc10	۴۰۰	۰.۱۰۰	Metakaoline-C	۱۰	۳۲/۸	۶۸/۲۳	۷۲۸۹.۱۸.	۷۲۸۹.۱۸.	۷۲۸۹.۱۸.	۷۲۸۹.۱۸.
۴۳	C40/45Mc15	۴۰۰	۰.۱۰۰	Metakaoline-C	۱۵	۳۲/۳	۶۴	۷۲۸۹.۱۸.	۷۲۸۹.۱۸.	۷۲۸۹.۱۸.	۷۲۸۹.۱۸.
۴۴	C40/45Mc20	۴۰۰	۰.۱۰۰	Metakaoline-C	۲۰	۲۲/۰	۳۹	۷۲۸۹.۱۸.	۷۲۸۹.۱۸.	۷۲۸۹.۱۸.	۷۲۸۹.۱۸.
۴۵	C45/40MS0	۴۰۰	۰.۱۶	SF	.	۴۰/۲	۵۲/۸	۷۲۸۴۲۹.	۷۲۸۴۲۹.	۷۲۸۴۲۹.	۷۲۸۹.
۴۶	SCC45/40MS0	۴۰۰	۰.۱۶	SF	.	۴۷/۸	۵۷/۷	۷۲۸۴۲۹.	۷۲۸۴۲۹.	۷۲۸۴۲۹.	۷۲۸۹.
۴۷	SCC45/40MS7/5	۴۰۰	۰.۱۶	SF	۷/۰	۴۸/۷	۷۰/۹	۷۲۸۴۲۹.	۷۲۸۴۲۹.	۷۲۸۴۲۹.	۷۲۸۹.
۴۸	SCC45/40MS7/5	۴۰۰	۰.۱۶	SF	۷/۰	۵۱/۷	۷۹/۰	۷۲۸۴۲۹.	۷۲۸۴۲۹.	۷۲۸۴۲۹.	۷۲۸۹.
۴۹	SCC45/40P15	۴۰۰	۰.۱۶	Pumice	۱۰	۳۷/۷	۴۷/۵	۷۲۸۴۲۹.	۷۲۸۴۲۹.	۷۲۸۴۲۹.	۷۲۸۹.
۵۰	SCC45/40P15	۵۱۰	۰.۱۶	Pumice	۱۵	۴۸/۲	۵۸/۲	۷۲۸۴۲۹.	۷۲۸۴۲۹.	۷۲۸۴۲۹.	۷۲۸۹.
۵۱	SCC45/40R10	۴۰۰	۰.۱۶	RHA	۱۰	۴۲/۲	۵۰/۹	۷۲۸۴۲۹.	۷۲۸۴۲۹.	۷۲۸۴۲۹.	۷۲۸۹.
۵۲	SCC45/40R10	۴۹۰	۰.۱۶	RHA	۱۵	۴۷/۲	۶۱/۳	۷۲۸۴۲۹.	۷۲۸۴۲۹.	۷۲۸۴۲۹.	۷۲۸۹.
۵۳	C25/45	۲۵۰	۰.۱۶	---	---	۴۹/۷	۶۰/۲۵	۷۲۸۲	۷۲۸۲	۷۲۸۲	۷۲۸
۵۴	C25/55	۲۵۰	۰.۱۰۰	---	---	۳۶	۵۷/۰	۷۲۸۲	۷۲۸۲	۷۲۸۲	۷۲۸
۵۵	C25/60	۲۵۰	۰.۱۶	---	---	۲۹	۴۲/۵	۷۲۸۲	۷۲۸۲	۷۲۸۲	۷۲۸
۵۶	C30/45	۳۰۰	۰.۱۰۰	---	---	۴۶	۶۱/۹	۷۲۸۲	۷۲۸۲	۷۲۸۲	۷۲۸
۵۷	C30/55	۳۰۰	۰.۱۰۰	---	---	۳۱	۶۷/۱۵	۷۲۸۲	۷۲۸۲	۷۲۸۲	۷۲۸
۵۸	C30/60	۳۰۰	۰.۱۶	---	---	۱۸/۶	۳۵/۲۵	۷۲۸۲	۷۲۸۲	۷۲۸۲	۷۲۸
۵۹	C35/45	۳۵۰	۰.۱۰۰	---	---	۳۶/۰	۵۶	۷۲۸۲	۷۲۸۲	۷۲۸۲	۷۲۸
۶۰	C35/55	۳۵۰	۰.۱۰۰	---	---	۲۳/۷	۴۲/۶	۷۲۸۲	۷۲۸۲	۷۲۸۲	۷۲۸
۶۱	C35/60	۳۵۰	۰.۱۶	---	---	۱۷/۲	۳۳/۷۵	۷۲۸۲	۷۲۸۲	۷۲۸۲	۷۲۸
۶۲	C42/45	۴۲۰	۰.۱۰۰	---	---	۳۲/۲۵	۴۷/۵	۷۲۸۲	۷۲۸۲	۷۲۸۲	۷۲۸
۶۳	C42/55	۴۲۰	۰.۱۰۰	---	---	۲۰/۷	۳۶/۷۵	۷۲۸۲	۷۲۸۲	۷۲۸۲	۷۲۸
۶۴	C42/60	۴۲۰	۰.۱۶	---	---	۱۴/۱	۲۸/۱۰	۷۲۸۲	۷۲۸۲	۷۲۸۲	۷۲۸
۶۵	C32/50MS0	۳۲۰	۰.۱۰	SF	.	---	۲۸/۲۵	۷۲۸۲	۷۲۸۲	۷۲۸	۷۲۸
۶۶	C32/50MS7/5	۳۲۰	۰.۱۰	SF	۷/۰	---	۳۴/۶۵	۷۲۸۲	۷۲۸۲	۷۲۸	۷۲۸
۶۷	C40/50MS0	۴۰۰	۰.۱۰	SF	.	---	۲۳/۱	۷۲۸۲	۷۲۸۲	۷۲۸	۷۲۸
۶۸	C40/50MS7/5	۴۰۰	۰.۱۰	SF	۷/۰	---	۳۲/۰۵	۷۲۸۲	۷۲۸۲	۷۲۸	۷۲۸
۶۹	C32/40MS0	۳۲۰	۰.۱۶	SF	.	---	۴۸/۳	۷۲۸۲	۷۲۸۲	۷۲۸	۷۲۸
۷۰	C32/40MS7/5	۳۲۰	۰.۱۶	SF	۷						

جدول ۲ ساختار شیمیایی مواد سیمانی مورد استفاده

Chemical Components	Cement Type I	RHA	Tuff	Pumice	Silica Fume	Limestone	Metakaolin		
							A	B	C
SiO ₂	۲۱/۵	۸۹/۶۱	۶۵/۷۴	۶۷/۷	۹۴/۶۶	۱/۴۷	۷۲/۵	۷۶/۷۳	۶۸/۹۹
Al ₂ O ₃	۳/۳۸	۰/۰۴	۱۲/۲۴	۱۵/۸	۰/۳۱	۰/۲۲	۲۲/۲۱	۱۷/۴۱	۲۰/۴۶
Fe ₂ O ₃	۲/۷۶	۰/۲۲	۲/۰۵	۳/۳۹	۰/۶۰	۰/۲۹	۰/۸۱	۰/۵۹	۰/۹۹
CaO	۶۱/۵	۰/۹۱	۲/۸۷	۳/۹	۰/۳۶	۵۴/۷۷	۲/۲۲	۳/۵۸	۲/۷۵
SO ₃	۲/۵	۰/۱۵	۰	۰/۳۳	۰/۲۳	۰/۰۶	----	----	----
MgO	۴/۸	۰/۴۲	۰/۹۶	۰/۹۹	۰/۷۸	۰/۳	۰/۱۳	۰/۱۹	۰/۵۰
Na ₂ O	۰/۱۲	۰/۰۷	۱/۹۲	۲/۹۵	۰/۲۲	۰/۰۵	۰/۰۵	۰/۰۵	۲/۸۰
K ₂ O	۰/۹۵	۱/۵۸	۲/۰۲	۲	۰/۲۲	۰/۰۸	۰/۰۵	۰/۳۱	۲/۲۴
P ₂ O ₅	۰/۲۳	۰/۴۱	۰/۰۳	۰/۱۲	----	۰/۰۱	۰/۰۵	۰/۰۴	۰/۰۵
TiO ₂	۰/۰۴	۰/۰۲	۰/۲۹	۰/۳۳	----	۰/۰۵	۰/۰۶	۰/۰۶	۰/۰۹
LOI	۱/۳۵	۵/۹۱	۸/۵	۲/۳	۱/۷۷	۴۲/۲۳	۰/۷۶	۰/۸۲	۰/۸۹

۱۰۰ و ضخامت ۵۰ میلی‌متر انجام شد. بر طبق استاندارد، نمونه‌ها در معرض ولتاژ ۶۰ ولت برای مدت ۶ ساعت قرار گرفتند و میزان کل بار عبوری در این مدت محاسبه شد. این عدد به عنوان شاخصی برای طبقه‌بندی بتن از لحاظ مقاومت در مقابل نفوذ یون کلراید در نظر گرفته می‌شود.

نتایج آزمایش‌ها و تجزیه و تحلیل آن‌ها

مقاومت الکتریکی و رسانایی، هر دو، جزو خواص فیزیکی مواد هستند که می‌توانند برای ارزیابی کیفیت بتن در ارتباط با دوام مورد استفاده قرار گیرند. تحقیق‌های بسیاری در ارتباط بین مقاومت الکتریکی و نفوذپذیری بتن در مقابل یون کلراید و خوردگی آرماتور انجام شده است [۱۴, ۱۵]. از نتایج آشکار است که ارتباط مؤثری بین مقاومت الکتریکی بتن و نفوذ پذیری آن برقرار است. مقاومت الکتریکی بتن بیانگر جایه‌جایی یون‌ها -از جمله یون کلراید- درون مایع منفذی بتن می‌باشد. بنابراین انتظار می‌رود ارتباط منطقی بین مقاومت الکتریکی و نفوذپذیری بتن در مقابل یون کلراید وجود داشته باشد. اگر مقاومت الکتریکی بتن زیاد باشد جایه‌جایی یون‌های کلراید در

برای آزمایش مقاومت فشاری از نمونه‌های مکعبی ۱۰۰ میلی‌متری استفاده شد. هم‌چنین از آزمایش عمق نفوذ آب تحت فشار طبق استاندارد BS EN-12390-8 برای ارزیابی نفوذپذیری بتن استفاده شد. در این روش یک وجه نمونه‌ی مکعبی ۱۵۰ میلی‌متری، تحت آب با فشار ۰/۵ مگا پاسکال قرار داده می‌شود. این فشار برای ۷۲ ساعت اعمال می‌شود. پس از اتمام، نمونه‌ها از دستگاه خارج و به ۲ نیم تقسیم می‌شوند. سپس، با توجه به پروفیل نفوذ آب به بتن، حداقل عمق نفوذ آب ثبت می‌شود و به عنوان شاخصی برای نفوذپذیری بتن در نظر گرفته می‌شود. لازم به تذکر است، برای هم‌گرایی بیشتر نتایج، در این تحقیق از میانگین عمق نفوذ استفاده شده است.

برای اندازه‌گیری مقاومت الکتریکی سطحی بتن از دستگاه Wenner چهار الکترودی با فواصل مساوی ۵۰ میلی‌متر استفاده شد. نمونه‌های استوانه‌ای ۱۰۰ × ۲۰۰ میلی‌متری اشباع برای هر سن به کار رفت. چهار قراءت بر روی محیط نمونه‌ها انجام شده و میانگین آن‌ها در نظر گرفته شد [۱۹].

آزمایش نفوذ سریع یون کلراید بر اساس استاندارد ASTM C1202 بر روی نمونه‌های استوانه‌ای به قطر

(جدول ۳). در نتیجه، اگر ترکیب شیمیایی مایع منفذی بتن دارای یون‌های OH^- زیادی باشد، تأثیر این یون‌ها در انتقال جریان بیشتر از یون‌های کلراید می‌باشد. این امر باعث می‌گردد که رسانایی نمونه‌ها بالا رفته و بتن به اشتباه در سطح بتن‌های با نفوذ پذیری بالای یون کلراید قرار گیرد.

جدول ۳ جدول مقایسه‌ی رسانایی یون‌های Cl^- و OH^- [۲۲]

ردیف	یون	میزان رسانایی
۱	Cl^-	$0.007523 \Omega^{-1}\text{m}^2$
۲	OH^-	$0.019800 \Omega^{-1}\text{m}^2$

در طول آزمایش RCPT به دلیل ولتاژ نسبتاً بالای ۶۰ ولت و مدت زمان نسبتاً طولانی ۶ ساعت، دمای نمونه‌ها افزایش یافت که این افزایش دما باعث زیاد شدن جریان و در نتیجه مجموع بار عبوری بالاتر می‌شود. مخصوصاً در بتن‌های با آب به سیمان بالا، این افزایش دما ممکن است به ریزساختار بتن آسیب رسانده و ساختار شیمیایی مایع منفذی را تغییر داده و بتن را از حالت اولیه خارج سازد. از طرفی، با توجه به وسعت استفاده از آزمایش RCPT ایده‌ی جایگزینی این آزمایش با آزمایش مقاومت الکتریکی سطحی مطلوب به نظر می‌رسد. به بیان دیگر تغییر در نحوه قراءت داده‌ها (رسانایی به جای مجموع بار عبوری)، می‌تواند گزینه‌ای مناسب برای جایگزینی روش RCPT به شمار آید. روشن است که در صورت این جایگزینی باید ارتباط بین مقاومت الکتریکی سطحی بتن با مجموع بار عبوری در روش RCPT بررسی و تأیید شود.

با فرض ثابت بودن رسانایی نمونه‌های بتنی در طول آزمایش و بر اساس اصول فیزیکی آزمایش‌های SR و RCPT، می‌توان نتیجه گرفت که رابطه‌ای خطی بین نتایج این دو آزمایش باید برقرار باشد. اما در این تحقیق رابطه‌ی توانی ($y = ax^b$) با دقت بالا ($R^2 = 0.88$) بین نتایج این دو آزمایش برای مجموعه وسیعی از نمونه‌ها به دست آمد (شکل ۱).

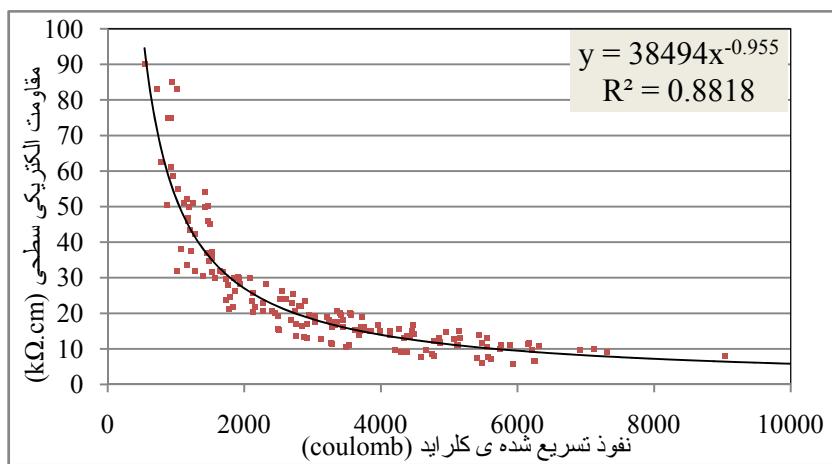
بتن آهسته می‌باشد و آرماتورهای مدفون در بتن دیرتر دچار خوردگی می‌شوند و در نتیجه سازه دوام بالاتر دارد و عمر مفید آن افزایش می‌یابد. نتایج آزمایش‌های [۲۰] Polder نشان می‌دهد رابطه‌ای خطی بین مقاومت الکتریکی و احتمال خوردگی در نمونه‌های بتنی وجود دارد.

از سوی دیگر، محدودیت‌هایی در ارتباط بین خاصیت رسانایی بتن با نفوذپذیری آن وجود دارد. رسانایی نمونه‌های بتنی (σ_{specimen}) طبق رابطه‌ی (۱)، به دو عامل خصوصیات ریزساختار منافذ مویین (F) و رسانایی مایع منفذی (σ_{poresoln}) وابسته است:

$$\sigma_{\text{specimen}} = \sigma_{\text{poresoln}} / F \quad (1)$$

بنابراین، بتنی که با سیمان با پایه‌ی قلیاییت پایین ساخته شده باشد، نسبت به نمونه بتنی که دارای قلیاییت بالاتری باشد، حتی اگر دارای ساختار منافذ مویین یکسانی باشند، رسانایی کمتری از خود نشان می‌دهد. این موضوع یکی از محدودیت‌های روش‌های رسانایی در ارزیابی خاصیت نفوذپذیری بتن‌ها می‌باشد [۲۱, ۶]. در نتایج آزمایش‌های RCPT و مقاومت الکتریکی سطحی (SR) مشاهده شد میزان بار عبوری و مقاومت الکتریکی نمونه‌های بتنی حاوی مواد پوزولانی نسبت به نمونه‌های شاهد، تا ۴ الی ۵ برابر بهبود یافته که این نسبت در بهبود عملکرد این بتن‌ها کمتر می‌باشد. به علاوه، Shi [۲۳] در تحقیقی تأثیر دوده‌ی سیلیس را بر رسانایی نمونه‌های بتنی بررسی کرده و به این نتیجه رسیده است که ممکن است رسانایی نمونه‌های حاوی دوده‌ی سیلیس نسبت به نمونه‌ی شاهد تا ۹۰٪ کاهش یابد.

از آن‌جایی که رسانایی نمونه‌های بتنی تا حدودی به ساختار منافذ مویین بستگی دارد و بیشتر به ساختار شیمیایی مایع منفذی وابسته است، نتایج به دست آمده به درستی بیانگر جایه‌جایی یون‌های کلراید در بتن نمی‌باشد [۲۲]. برای مثال یون‌های OH^- دارای قابلیت انتقال بیشتری نسبت به یون‌های کلراید می‌باشد



شکل ۱ ارتباط بین نتایج آزمایش‌های RCPT و مقاومت الکتریکی سطحی برای تمامی نمونه‌ها

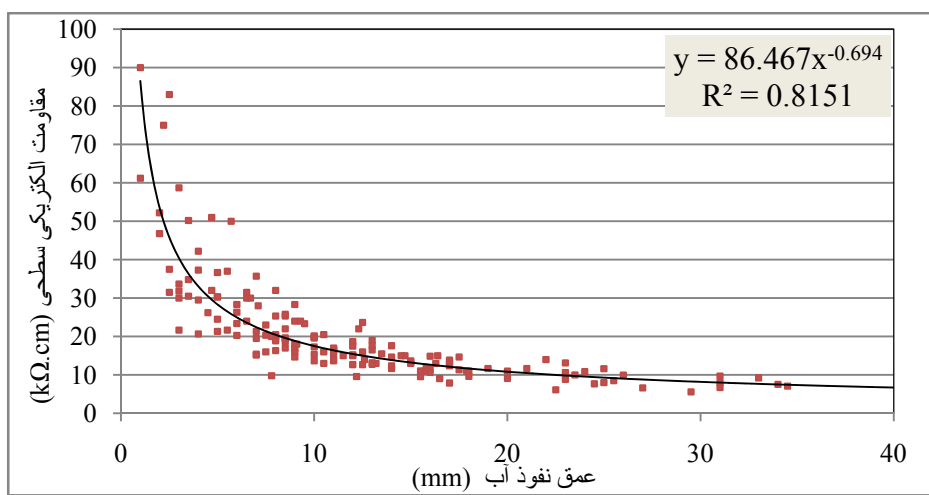
همان‌طور که در شکل‌های (۳-۵) مشخص است در مورد نمونه‌هایی که از یک نوع مواد سیمانی ساخته شده‌اند رابطه‌ی خوبی به‌دست می‌آید. ولی وقتی مجموعه‌ی نمونه‌های مورد بررسی از مواد سیمانی مختلفی ساخته شده باشند از دقت این رابطه کاسته می‌شود. دلیل این امر را می‌توان این گونه بررسی کرد که نتایج آزمایش SR به دو عامل ریز ساختار منافذ مویین بتن و رسانایی مایع منفذی آن بستگی دارد اما نتایج آزمایش عمق نفوذ آب فقط به عامل ریز ساختار منافذ مویین بستگی دارد. در بتن‌های ساخته شده با سیمان‌های آمیخته با پوزولان‌های مختلف، ساختار شیمیایی مایع منفذی بسیار متغیر است و پراکندگی نتایج SR و نفوذ، بالا می‌رود و دقت رابطه‌ی به‌دست آمده کم می‌شود. اما در مورد نمونه‌هایی که در آن‌ها از یک نوع مواد سیمانی استفاده شده باشد، به‌دلیل شباهت ترکیب شیمیایی مایع منفذی آن‌ها با هم، نتایج بیش‌تر به ساختار منافذ مویین حساس است و نتایج دو آزمایش SR و عمق نفوذ آب رابطه‌ی مناسبی با هم پیدا می‌کنند.

به‌دلیل افزایش دما در طول آزمایش RCPT مقاومت الکتریکی نمونه‌ها کاهش می‌یابد و میزان جریان عبوری در طول آزمایش زیاد می‌شود. در نتیجه رابطه‌ی به‌دست آمده از حالت خطی خارج می‌شود و هرچه رسانایی و نفوذپذیری بیش‌تر باشد، توان رابطه‌ی (b)، کم‌تر می‌شود.

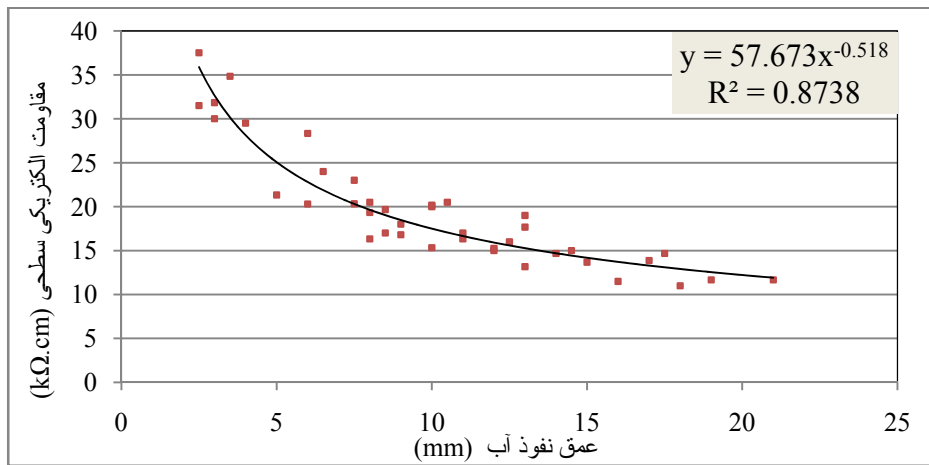
بر اساس تحقیقات Hooton و Betacourt [24]، اگر دمای نمونه‌ها در طول آزمایش RCPT ثابت نگه داشته شود، رابطه‌ای خطی بین رسانایی نمونه‌ها و مجموع بار عبوری با ضریب $R^2 = 0.98$ به‌دست می‌آید. هم‌چنین آن‌ها پیشنهاد قراءت رسانایی نمونه‌ها را پس از یک دقیقه از شروع آزمایش RCPT به‌جای قرائت مجموع بار عبوری پس از ۶ ساعت به عنوان تصحیحی بر روی RCPT داده‌اند. یکی از عوامل اصلی دوام بتن، نفوذپذیری آن می‌باشد. در این تحقیق آزمایش عمق نفوذ آب تحت فشار بر اساس BS-EN:12390-8 برای ارزیابی نفوذپذیری بتن مورد استفاده قرار گرفت. همان‌طور که در شکل (۲) مشاهده می‌شود، رابطه‌ای کلی بین مقاومت الکتریکی بتن و عمق نفوذ آب وجود دارد.

اختلاط محدودی بوده و دارای کلیت نمی‌باشند. ولی در این تحقیق، همان‌طور که ذکر گردید، از طرح‌های اختلاط متنوع و وسیعی برای به‌دست آوردن روابط استفاده شده است. همچنین، در مورد ارتباط مقاومت الکتریکی و عمق نفوذ آب تحت فشار، می‌توان گفت این تحقیق منحصر به فرد می‌باشد.

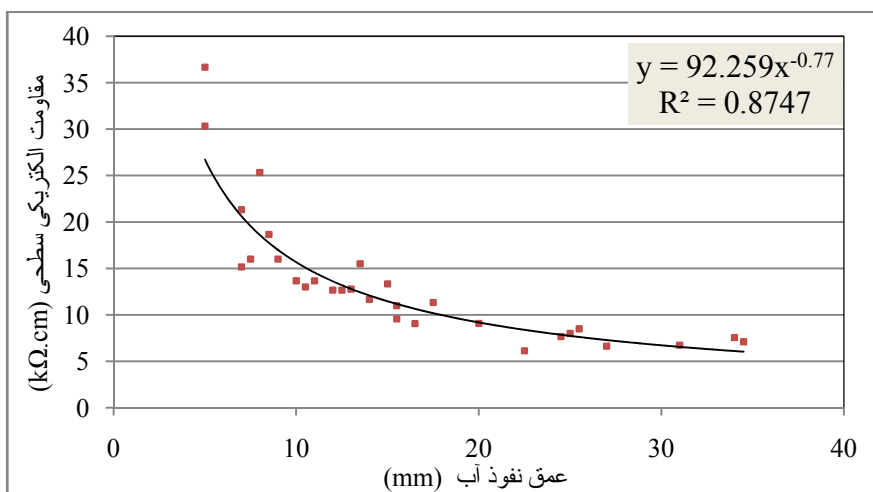
در انتها، با استفاده از روابط به‌دست آمده، دو مدل برای پیش‌بینی نتایج آزمایش‌های RCPT و عمق نفوذ آب تحت فشار، در جدول (۴) ارائه گردیده است. لازم به ذکر است، کارهای انجام‌شده قبلي که در منابع نیز آورده شده است [۱۳, ۱۵, ۲۴]، بیش‌تر به مکانیزم‌های موجود و تأثیر پارامترها پرداخته‌اند و در مواردی که روابطی آورده شده است، این روابط در مورد طرح‌های



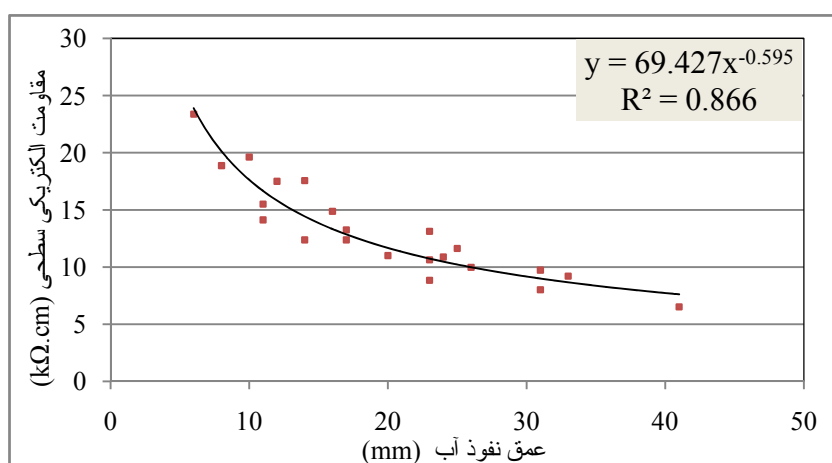
شکل ۲ ارتباط بین نتایج آزمایش‌های نفوذ آب و مقاومت الکتریکی سطحی برای تمامی نمونه‌ها



شکل ۳ ارتباط بین نتایج آزمایش‌های نفوذ آب و مقاومت الکتریکی سطحی برای نمونه‌های حاوی پودر سنگ آهک



شکل ۴ ارتباط بین نتایج آزمایش‌های نفوذ آب و مقاومت الکتریکی سطحی برای نمونه‌های حاوی متاکانولن



شکل ۵ ارتباط بین نتایج آزمایش‌های نفوذ آب و مقاومت الکتریکی سطحی برای نمونه‌های حاوی سیمان پرتلند

جدول ۴ مدل‌های پیشنهادی برای پیش‌بینی نفوذپذیری بتن با استفاده از مقاومت الکتریکی سطحی

ردیف	مدل پیشنهادی	R^2	توضیحات
۱	$RCP = 43618(SR)^{-0.923}$	$R^2 = .88$	SR: Surface Resistivity[$K\Omega \cdot Cm$], RCP: charge pass through the specimen[coulomb]
۲	$Depth = 287/12(SR)^{-1/174}$	$R^2 = .81$	SR: Surface Resistivity[$K\Omega \cdot Cm$], Depth: depth of water penetration[mm]

همبستگی دارند. همچنین، به صورت تجربی نیز روابط بین نتایج این دو آزمایش در بازه‌های وسیعی از طرح‌های اختلاط مورد بررسی قرار گرفت و رابطه‌ی توانی با دقیق بالا ($R^2 = .88$) بدست آمد.

نتیجه‌گیری

با توجه به وابستگی نتایج آزمایش‌های RCPT و مقاومت الکتریکی سطحی به رسانایی نمونه‌های بتنی، از لحاظ ثئوری نتایج این آزمایش‌ها با یکدیگر

با توجه به نتایج به دست آمده و مزایای آزمایش مقاومت الکتریکی سطحی، می‌توان این آزمایش را جایگزینی برای آزمایش RCPT و شاخصی مناسب برای ارزیابی نفوذپذیری بتن در نظر گرفت. در انتهای، با استفاده از روابط به دست آمده، دو مدل برای پیش‌بینی نتایج آزمایش‌های RCPT و عمق نفوذ آب تحت فشار ارائه گردید.

قدرتانی

از همکاران در مرکز تحقیقات تکنولوژی و دوام بتن دانشگاه صنعتی امیرکبیر به علت فراهم نمودن امکان ساخت و آزمایش‌های مختلف سپاسگزاری می‌گردد.

از طرفی، با توجه به تأثیر ریزساختار منافذ مویین بر رسانایی بتن، رابطه‌ی خوبی با دقت $R^2 = 0.81$ بین نتایج آزمایش‌های مقاومت الکتریکی سطحی و عمق نفوذ آب تحت فشار، در بازه‌ی وسیعی از طرح‌های اختلاط به دست آمد. هم‌چنین در مورد طرح‌های اختلاط ساخته شده با یک نوع مواد سیمانی، دقت این رابطه بهبود یافت.

بر اساس شکل‌های (۱-۵)، به نظر می‌رسد در مورد نمونه‌های بتنی با نفوذپذیری کم‌تر (RCPT کم‌تر از ۱۵۰۰ کلمب و عمق نفوذ کم‌تر از ۱۰ میلی‌متر)، مقاومت الکتریکی بتن حساسیت بیشتری نسبت به تغییرات نفوذپذیری دارد و تغییرات آن را به خوبی نشان می‌دهد.

مراجع

1. Ramezanianpour, A. A., Pilvar, A.R., Mahdikhani, M., Moodi, F., "Practical Evaluation Of Relationship Between Concrete Resistivity, Water Penetration, Rapid Chloride Penetration And Compressive Strength", *Construction and Building Materials*, vol. 25, pp. 2472–2479, (2011).
2. Mc Carter, W.J., Emerson, M., Ezirim, H., "Properties of concrete in the cover zone: developments in monitoring techniques", *Magazine of Concrete Research*, vol. 47 (172): pp. 243–51, (1995).
3. Suryavanshi, AK., Swamy, RN., Cardew GE., "Estimation of diffusion coefficients for chloride ion penetration into structural concrete", *ACI Materials Journal*; vol. 99(5): pp.441–9, (2002).
4. Dhir, RK., Jones, MR., Ahmed, HEH., Seneviratne, AMG., "Rapid estimation of chloride diffusion coefficient in concrete", *Magazine of Concrete Research*, vol. 42(152): pp. 177–85, (1990).
5. Streicher, PE., Alexander, MG., "A critical evaluation of chloride diffusion test methods for concrete", In: Proceedings of the third CANMET/ACI international conference on concrete durability, Nice, France,.. pp. 517–30, (1994).
6. Whiting, D., "Rapid measurement of the chloride permeability of concrete", *Public Roads* 45 (3), pp.101– 112, (1981).
7. Whiting, D., Mitchell, T.M., "History of the rapid chloride permeability test", *Transportation Research Board*, 1335, pp.55– 62, (1992).
8. ASTM C1202, "Standard test method for electrical indication of concrete's ability to resist chloride ion penetration", (2012).

9. Hale, M., Russell, BW., Bush, TD., "An assessment of the rapid chloride ion penetrability test", In: Proceedings of the international conference on concrete for extreme conditions, Scotland, UK: University of Dundee; pp. 447–56, (2002).
10. Gowripalan, N., Mohamed, HM., "Chloride-ion induced corrosion of galvanized and ordinary steel reinforcement in high-performance concrete", *Cement Concrete Research*; vol. 28(8): pp. 1119–31, (1998).
11. Sharfuddin, A., Kayali, O., Anderson, W., "Chloride penetration in binary and ternary blended cement concretes as measured by two different rapid methods", *Cement and Concrete Composites*, vol. 30(7), pp. 576-58, (2008).
12. Polder Rob, B., Peelen Willy, H. A, "Characterisation of chloride transport and reinforcement corrosion in concrete under cyclic wetting and drying by electrical resistivity", *Cement & concrete composite*, vol. 24(5), pp. 427-435, (2002).
13. Gulikers, J., "Theoretical considerations on the supposed linear relationship between concrete resistivity and corrosion rate of steel reinforcement", *Materials and Corrosion*, 56, No. 6, pp.393-403, (2005).
14. Andrade, C., Sanjuan, MA., Alonso, MC., "Measurement of chloride diffusion coefficient from migration tests", Proceedings of the NACE Corrosion'93, pp.289-298, (1993).
15. Polder, RB., "Chloride diffusion and resistivity testing of five concrete mixes for marine environment", Proceedings of the RILEM International Workshop on Chloride Penetration into Concrete, St-Remy-les-Chevreuses, RILEM, (1997).
16. Kessler Richard, J., Powers Rodney, G., Vivas, E., Paredes Mario, A., Virmani Paul, Y., "surface resistivity as an indicator of concrete chloride penetration resistance", Proceedings of the Concrete Bridge Conference, (2008).
17. Ramezanianpour, A.A., Mahdikhani, M., Ahmadibeni, G., "The effect of rice husk ash on mechanical properties and durability of sustainable concretes", *International Journal of Civil Engineering* 7 (2), pp. 83-91, (2009).
18. BS EN-12390-8, "Depth of penetration of water under pressure", British Standards Institution, (2000).
19. FM 5-578, "Florida Method of Test for Concrete Resistivity as an Electrical Indicator of its Permeability", (2004).
20. Polder, R. B., "Critical chloride content for reinforced concrete and its relationship to concrete resistivity", *Materials and corrosion*, Vol. 60 (8),pp. 623 – 630, (2009).
21. Snyder, KA., Ferraris, CF., Martys, NS., Garboczi, EJ., "Using impedance spectroscopy to assess the viability of the rapid chloride test for determining concrete conductivity", *Journal of Research of the National Institute of Standards and Technology*; vol. 105(4), pp. 497–509, (2006).

22. Willfried, k., "Rapid chloride permeability testing, a critical review", proceedings of the concrete in hot and aggressive environments, pp. 147-156, (2008).
23. Shi C., Stegemann Julia, A., Caldwell Robert, J., "Effect of Supplementary Cementing Materials on the Specific Conductivity of Pore Solution and its implications on the rapid chloride permeability test results", title No. 95-M36, *ACI Materials Journal*, pp. 389-394, (1998).
24. Julio-Betancourt, G.A., Hooton, R.D, "Study of the Joule effect on rapid chloride permeability values and evaluation of related electrical properties of concretes", *Cement and Concrete Research*, Vol. 34(6), pp. 1007-1015, (2004).

ارزیابی دقیق روش طیف ظرفیت و روش طیف ظرفیت بهبود یافته در تعیین عملکرد لرزه‌ای قاب‌های بتنه*
 (یادداشت پژوهشی)

مهدی ایزدپناه^(۱) علیرضا حبیبی^(۲)

چکیده تعیین عملکرد لرزه‌ای، یکی از مهم‌ترین موضوعات در مهندسی زلزله می‌باشد. بدین منظور، تاکنون چندین روش توسعه و مورد استفاده قرار گرفته‌اند. هدف از تحقیق حاضر، ارزیابی دو روش «طیف ظرفیت» و «طیف ظرفیت بهبود یافته» در تعیین عملکرد لرزه‌ای قاب‌های بتنه مسلح می‌باشد. بدین منظور، چند قاب انتخاب شد و تحت اثر رکوردهای زلزله‌ی مختلف، عملکرد لرزه‌ای آن‌ها با دو روش مزبور ارزیابی گردید. ارزیابی‌ها نشان می‌دهد که هر دو روش طیف ظرفیت و طیف ظرفیت بهبود یافته، تخمینی دست پایین از تغییر مکان را در ارزیابی سطوح عملکردی ارائه می‌کنند. هم‌چنین براساس نتایج به دست آمده، روش طیف ظرفیت بهبود یافته دارای دقیق‌تر مراقبت‌تری، نسبت به روش طیف ظرفیت می‌باشد.

واژه‌های کلیدی عملکرد لرزه‌ای، روش طیف ظرفیت، روش طیف ظرفیت بهبود یافته، شکل‌پذیری.

Evaluation of accuracy of capacity spectrum and improved capacity spectrum methods for determination of performance of concrete frames

M. Izadpanah

A.R. Habibi

Abstract Performance seismic evaluation is an important topic in earthquake engineering. In this regard, several methods have previously been developed and used. The main objective of present research is to evaluate two methods including "Capacity Spectrum Method (CSM)" and "Improved Capacity Spectrum Method (ICSM)" in determination of seismic performance of concrete frames. For this purpose, several sample frames are subjected to several different earthquake records, seismic performance of them are evaluated using these two methods. It was demonstrated that CSM and ICSM methods underestimate displacement at seismic performance level. Based on the numerical results of this study, it was concluded that the ICSM method is more accurate than the CSM Method.

Keywords Concrete frames, Capacity spectrum method, Improved capacity spectrum method, Ductility, Seismic performance.

★تاریخ دریافت مقاله ۱۸/۸/۸۹ و تاریخ پذیرش آن ۱۱/۱/۹۱ می‌باشد.

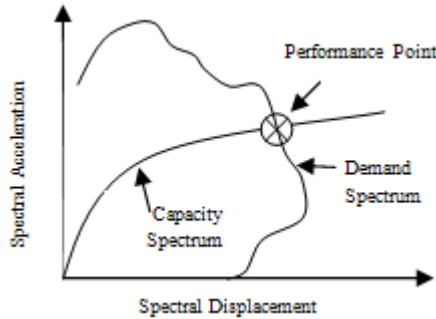
(۱) نویسنده‌ی مسؤول: دانشگاه آزاد اسلامی، واحد کنگاور، دانشکده فنی و مهندسی، گروه عمران، کنگاور.

(۲) استادیار گروه مهندسی عمران، دانشگاه کردستان.

ظرفیت بهبود یافته با استفاده از مدل‌سازی غیرخطی قاب‌های بتی در حالت دینامیکی و استاتیکی می‌باشد. روش طیف ظرفیت و روش طیف ظرفیت بهبود یافته در این روش نقطه‌ی عملکرد باید دو شرط زیر را هم‌زمان ارضاء کند:

۱. نقطه‌ی باید روی طیف ظرفیت قرار گیرد.
۲. نقطه‌ی باید روی طیف تقاضای غیرخطی قرار گیرد

شکل (۱).



شکل ۱ نقطه‌ی عملکرد در روش طیف ظرفیت

یکی از مهم‌ترین مسائل در روش طیف ظرفیت تخمین میرایی مؤثر سازه در حالت غیرخطی و تهیه‌ی طیف نیاز کاهش یافته می‌باشد. با انجام تحلیل بارافزون و افزایش تدریجی بار جانبی، سازه وارد فاز غیرخطی می‌شود و سختی آن تغییر می‌کند. در هر نقطه از منحنی ظرفیت با استفاده از روابط موجود در مراجع (۱۱ و ۱)، میرایی معادل، دوره‌ی تناوب و سایر پارامترهای مورد نیاز محاسبه می‌شوند. به این منظور لازم است منحنی ظرفیت با یک منحنی دو خطی جایگزین گردد به‌گونه‌ای که سطح زیر دو منحنی، یکسان باشد. محل تلاقی دو خط در منحنی دو خطی، نقطه‌ی تسليم سازه می‌باشد که در روابط مربوط به میرایی و پریود، مشخصات این نقطه مورد نیاز است [۱].

در روش طیف ظرفیت بهبود یافته که توسط چوپرا و گوئل [۱۱] در سال ۱۹۹۹ مطرح گردید، استفاده از طیف پاسخ با شکل پذیری ثابت به جای استفاده از میرایی معادل پیشنهاد شد. محاسبه‌ی طیف

مقدمه

امروزه به خوبی مشخص شده است که سازه‌های طراحی شده بر اساس ضوابط موجود، در برآور زلزله‌های شدید متحمل خسارات سنگین خواهند شد. از این‌رو ارزیابی عملکرد لرزه‌ای این‌گونه سازه‌ها از موضوعات مهمی است که به آن پرداخته شده است. تعیین عملکرد در دستورالعمل [۱] براساس به‌کارگیری منحنی ظرفیت سازه به شکل خاصی است که روش طیف ظرفیت نامیده می‌شود. این روش ابتدا توسط فریم [۲] توسعه پیدا کرد. یو و همکاران [۳] این روش را با استفاده از نتایج تحلیل بارافزون و طیف نیاز الاستیک بیان کردند. حبیبی و همکاران با استفاده از این روش به ارزیابی عملکرد قاب‌های خمشی بتن مسلح با استفاده از اندايس خسارت سختی پرداختند [۴]. گنکتورک و الناشی در تحقیق خود پاسخ لرزه‌ای قاب‌های چوبی را با استفاده از روش طیف ظرفیت و مقایسه‌ی آن با نتایج کارهای آزمایشگاهی مورد مطالعه قرار دادند [۵]. لین و چانگ به مقایسه‌ی روش ضرایب تغییرمکان و طیف ظرفیت با نتایج آزمایشگاهی، برای ستون‌های بتن مسلح پرداختند [۶]. آکار و میراندا به ارزیابی آماری روش‌های تقریبی محاسبه‌ی عملکرد پرداختند [۷].

برترو و رین‌هرن [۸، ۹] و فایفر [۱۰] استفاده از طیف غیرالاستیک را در روش طیف ظرفیت پیشنهاد کردند. چوپرا و گوئل در سال ۱۹۹۹ روش طیف ظرفیت بهبود یافته را با استفاده از این طیف ارائه نمودند [۱۱]. نسیم کاشاتارات و همکاران نشان دادند استفاده از این دو روش برای پلهای بزرگراهی، سطوح عملکرد متفاوتی را نتیجه می‌دهد [۱۲]. مطالعه‌ی ادبیات موضوع نشان می‌دهد که با وجود کاربرد زیاد روش طیف ظرفیت در تعیین عملکرد لرزه‌ای سازه‌ها، تحقیقات بسیار محدودی در مورد ارزیابی دقیق این روش وجود دارد. هدف از تحقیق حاضر ارزیابی دقیق روش‌های طیف ظرفیت و طیف

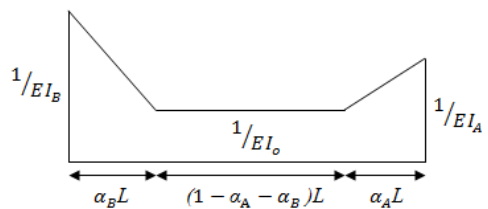
تحلیل بار افزون. تحلیل بار افزون(Pushover Analysis) یکی از روش‌های مؤثر در تحلیل غیرخطی سازه‌هاست که در دو دهه‌ی اخیر مورد توجه محققان قرار گرفته است. در این روش که به تحلیل استاتیکی غیرخطی نیز معروف است، نیروی جانبی ناشی از زلزله به صورت یک الگوی بارگذاری مشخص به‌طور گام‌به‌گام افزایش می‌یابد تا اعضای سازه‌ای به تدریج وارد مرحله‌ی تسليم شوند. تاکنون الگوهای متنوعی برای نحوه‌ی توزیع بار جانبی پیشنهاد شده است. الگوی بارگذاری انتخاب شده در این تحقیق، الگوی توانی است که توسط استاندارد FEMA273 توصیه شده است و در آن اثرات مدهای ارتعاشی بالاتر تا حدودی منظور می‌گردد [15].

تحلیل دینامیکی غیرخطی. این روش یکی از روش‌های پیچیده در تعیین نقطه‌ی عملکرد سازه می‌باشد. در این روش، سختی و سایر مشخصه‌های سازه در هر لحظه زمانی اصلاح می‌شود و پاسخ غیرخطی سازه محاسبه می‌گردد. از موارد مهم در این تحلیل انتخاب یک منحنی هیسترزیس مناسب برای نیروی بازگرداننده می‌باشد. مدل هیسترزیس انتخاب شده در این تحقیق مدل هیسترزیس پیشنهادی پارک در نرمافزار IDARC است [14] که در آن می‌توان کاهش سختی و مقاومت را به خوبی مدل کرد. ضرایب مدل در این تحقیق به گونه‌ای انتخاب شده است که متاظر با کاهش متوسط در نرمافزار IDARC است [14]. در این مدل کاهش مقاوت و سختی و ... مدل شده است. هم‌چنین انتخاب گام زمانی مناسب در این تحلیل، دارای اهمیت فراوانی می‌باشد، چرا که انتخاب گام زمانی نامناسب اغلب منتهی به نیروهای نامتعادل بزرگ می‌شود و مشکلاتی را در مدل‌سازی هیسترزیس ایجاد می‌کند و می‌تواند سبب ناپایداری عددی در برنامه گردد [14]. تحقیق حاضر، برای انجام این تحلیل از روش نیومارک و ترکیب آن با روش شبه نیرو انجام می‌شود [14].

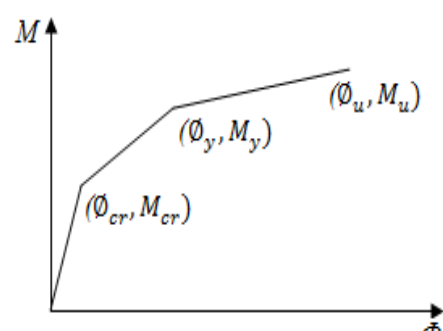
غیرالاستیک در این روش بسیار مشکل‌تر از تخمين آن با میرایی معادل می‌باشد به طوری که در محاسبه‌ی این طیف، برای هر پریود لازم است یک تحلیل دینامیکی خطی و چندین تحلیل الاستوپلاستیک غیرخطی انجام شود. روند گام‌به‌گام محاسبه‌ی این طیف در مرجع [13] آمده است.

تحلیل غیرخطی سازه

در این تحقیق برای انجام کلیه‌ی تحلیل‌ها از نرم‌افزار V6.1 IDARC استفاده شده است [14] که نرم‌افزاری بسیار توانمند در تحلیل غیرخطی سازه‌ها می‌باشد. یکی از مهم‌ترین مسائل در تحلیل سازه‌های بتی، مدل‌سازی رفتار غیرخطی اعضا می‌باشد. در این نرم‌افزار امکان استفاده از مدل پلاستیسیته‌ی گستردۀ فراهم آمده است. در شکل (۲) مدل توزیع نرمی در طول یک المان بتی که به صورت خطی فرض می‌شود، نشان داده شده است. به منظور افزایش دقت نتایج تحلیل غیرخطی، از یک مدل سه خطی لنگر- انحنا مطابق با شکل (۳) استفاده می‌شود.

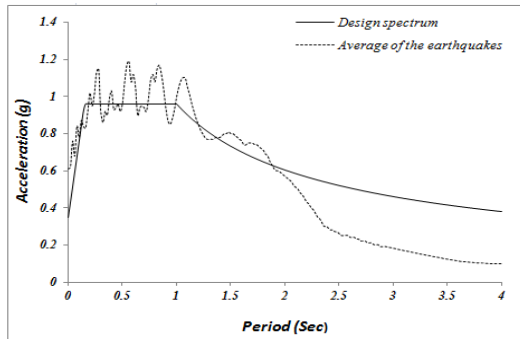


شکل ۲ نحوه‌ی توزیع نرمی در مدل غیرخطی



شکل ۳ منحنی لنگر- انحنای سه‌خطی

شده است و تنها تفاوت آن مربوط به تغییر زلزله‌ی وارد بوده است.



شکل ۴ طیف طرح و طیف میانگین رکوردهای زلزله نورتریج

قباهای مورد نظر با دو روش استاتیکی غیرخطی و دینامیکی غیرخطی تحلیل شدند. در روش استاتیکی غیرخطی پس از بدست آوردن منحنی ظرفیت هر یک از قاب‌ها، نقطه‌ی عملکرد آن‌ها با استفاده از روش طیف ظرفیت و روش طیف ظرفیت بهبود یافته تعیین گردید. در ادامه با توجه به نقاط عملکرد محاسبه شده، سطح عملکرد هر یک از قاب‌ها، در کلیه‌ی روش‌ها با استفاده از ضوابط FEMA273 [15] تعیین شد. برای بهدست آوردن نقطه‌ی عملکرد از روش B موجود در استفاده از فرض ATC40 گردید اما به جای استفاده از فرض ساده‌کننده‌ی این روش که منحنی ظرفیت را به یک منحنی دو خطی تبدیل می‌کند، از منحنی واقعی غیرخطی طیف ظرفیت استفاده شده است. مطابق این روش برای هر نقطه روی منحنی ظرفیت، میرایی معادل (روش طیف ظرفیت) و شکل‌پذیری (روش طیف ظرفیت بهبود یافته) تعیین شد و طیف پاسخ متناظر با هر یک از این مقادیر به دست آمدند. سپس شتاب طیفی (Sa) متناظر با تغییر مکان طیفی (Sd) آن نقطه از منحنی ظرفیت به دست آمد و نقطه‌ای با مختصات مشخص گردید. مشخصات نقطه‌ی عملکرد (Sd,Sa) در مورد هر نقطه‌ی فرض شده، کنترل شد و نهایتاً عملکرد حقیقی هر سازه مشخص گردید. در شکل‌های

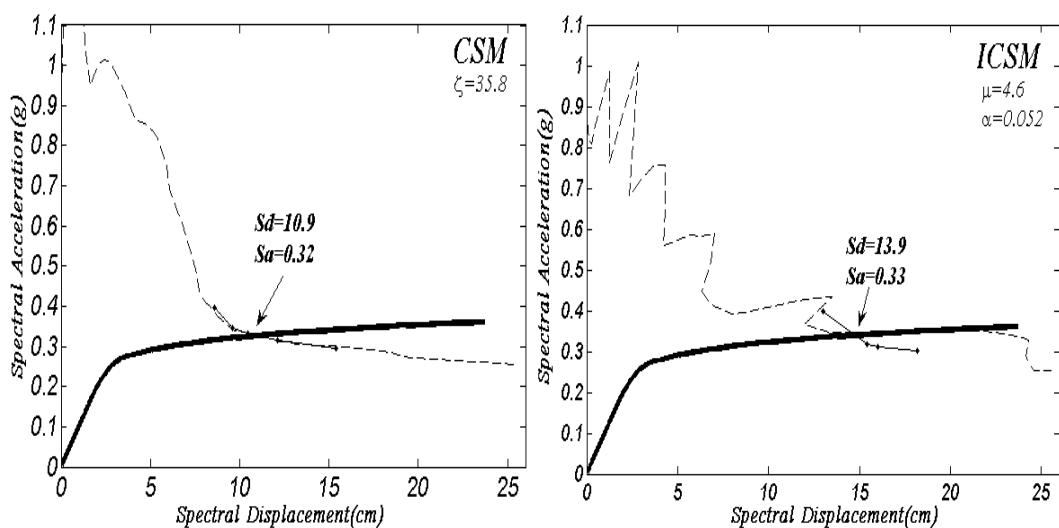
نتایج عددی

در این قسمت به منظور بررسی دقیق روش‌های غیرخطی مورد نظر، تعداد پنج قاب بتن مسلح به گونه‌ای انتخاب شده‌اند که طیف قابل توجهی از قاب‌های بتنی با تعداد طبقات و پریوشهای مختلف را پوشش دهد. مثال اول مورد بررسی یک قاب سه‌طبقه و دو دهانه و چهار مثال بعدی دارای تعداد طبقات ۵، ۸، ۱۲ و ۱۵ دهانه می‌باشند که در آن‌ها ارتفاع هر طبقه ۳ متر و طول دهانه‌ها ۴ متر می‌باشد. کلیه‌ی قاب‌ها در بستر آبرفتی و برای منطقه با خطرپذیری خیلی زیاد (قاب خمثی بتنی و پیزه) طبق استاندارد [16] بارگذاری و طبق آئین نامه‌ی آبا طراحی شده‌اند. نتایج تحلیل بارافزون قاب‌های انتخابی در مراجع [4,17] نیز موجود می‌باشد. به منظور ارزیابی سطوح عملکردی مختلف، زلزله‌های متفاوتی در نظر گرفته شده‌اند. در این راستا چهار زلزله‌ی معروف دنیا شامل ال سترن ۱۹۴۰، کوبه ۱۹۹۵، نورتریج ۱۹۹۴ و طبس ۱۹۷۸ مورد نظر قرار گرفته‌اند. این زلزله‌ها به گونه‌ای انتخاب شده‌اند که متناسب با بستر قاب‌ها باشند و سپس با استفاده از نرم‌افزار seismomatch به صورت متناسب با طیف طرح استاندارد ۲۸۰۰ اصلاح گردیدند. به طور مثال برای قاب شماره‌ی ۲، رکورد از ایستگاه‌های مختلف زلزله‌ی نورتریج مربوط به بستر آبرفتی انتخاب شده و نهایتاً طیف میانگین رکوردهای اصلاح شده که در تحلیل‌های این تحقیق مورد استفاده قرار گرفت، به صورت شکل (۴) بدست آمد. همان‌طور که مشاهده می‌شود طیف میانگین حدوداً تا دوره‌ی تناوب ۲، کمترین اختلاف را با طیف طرح دارد. برای قاب مورد نظر، محدوده‌ی ۰/۲ تا ۱/۵ برابر دوره‌ی تناوب اصلی، در همین محدوده عدم واقع در تحقیق حاضر سعی شده رکوردها کمترین عدم انطباق را از نظر سطح انرژی، مدت زمان حرکات شدید زمین، محتوای فرکانسی و ... با طیف طرح داشته باشند. برای سایر قاب‌ها نیز همین فرآیند انجام

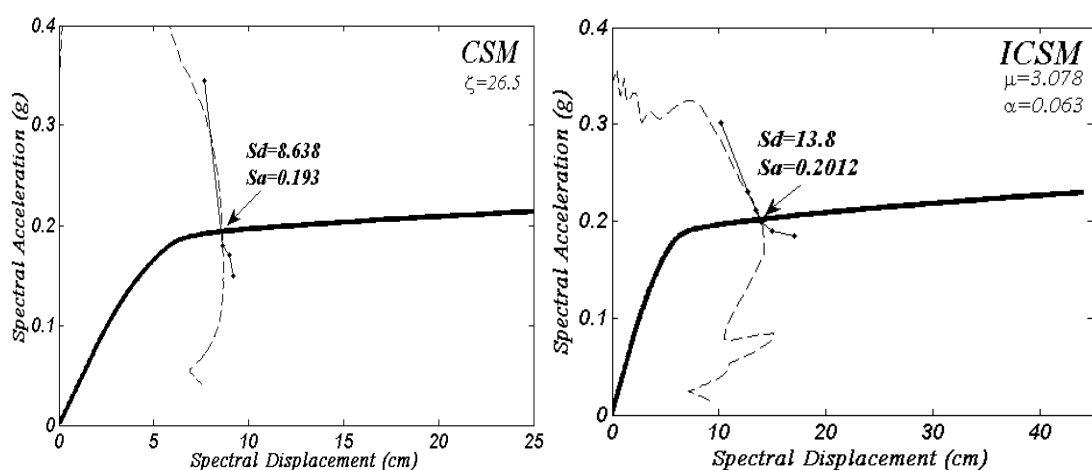
بسیار تحلیل‌های غیرخطی، استفاده از الگوی بارگذاری ثابت در روش استاتیکی غیرخطی، نادیده گرفتن اثرات باربرداری در روش استاتیکی و... دانست. حداقل اختلاف روش طیف ظرفیت با تحلیل دینامیکی $29/8$ درصد می‌باشد درحالی‌که بیشترین اختلاف روش طیف ظرفیت بهبودیافته با تحلیل دینامیکی $19/8$ درصد می‌باشد. با مراجعه به جدول (۱)، مشاهده می‌شود که در همه‌ی موارد اختلاف بین روش طیف ظرفیت بهبودیافته و تحلیل دینامیکی، نسبت به اختلاف روش طیف ظرفیت و تحلیل دینامیکی، کمتر است بهطوری‌که میانگین اختلاف در روش طیف ظرفیت $22/48$ درصد و در روش طیف ظرفیت بهبودیافته $11/75$ درصد می‌باشد. اگرچه این روش‌ها تقریبی هستند اما مشاهده می‌شود، میزان اختلاف روش طیف ظرفیت بهبودیافته با تحلیل دینامیکی کمتر از روش طیف ظرفیت می‌باشد. تفاوت دو روش «طیف ظرفیت» و «طیف ظرفیت بهبودیافته» به دلیل متفاوت بودن مفهوم شکل‌پذیری و میرایی معادل و نحوه محاسبه‌ی طیف متناظر با این دو مفهوم می‌باشد.

(۵-۹) منحنی ADRS هر یک از قاب‌ها و منحنی موزی شکل [۱] مربوط به انجام سعی و خطأ برای محاسبه‌ی نقطه‌ی عملکرد هر قاب نشان داده شده است. در شکل (۱۰) منحنی میانگین تاریخچه‌ی زمانی تغییر مکان بام هر قاب در تحلیل دینامیکی غیرخطی ترسیم شده است (به طور مثال برای قاب شماره‌ی (۲)، میانگین تغییر مکان بام 10 رکورد از زلزله‌ی نورتريج ترسیم شده است). در این شکل ها ضریب شکل‌پذیری، α نسبت سخت‌شدگی، γ میرایی معادل، (Improved Capacity Spectrum Method) ICSM نشان‌دهنده‌ی روش طیف ظرفیت بهبودیافته و (Method Capacity Spectrum) CSM نشان‌دهنده‌ی روش طیف ظرفیت می‌باشند. رکوردهای زلزله‌ی در نظر گرفته شده برای هر قاب در جدول (۱) مشخص شده است.

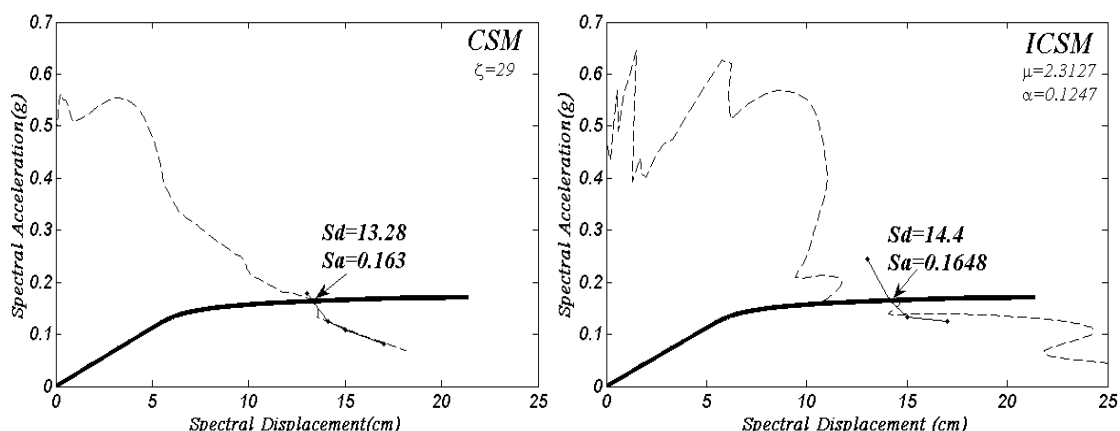
نتایج نشان می‌دهند، مقادیر نقطه‌ی عملکرد محاسبه‌شده با استفاده از دو روش CSM، ICSM در اکثر موارد از نقطه‌ی عملکرد محاسبه‌شده با استفاده از تحلیل دینامیکی غیرخطی کمتر می‌باشد. اختلاف موجود بین نتایج حاصل از روش‌های طیف ظرفیت و طیف ظرفیت بهبودیافته را می‌توان ناشی از پیچیدگی



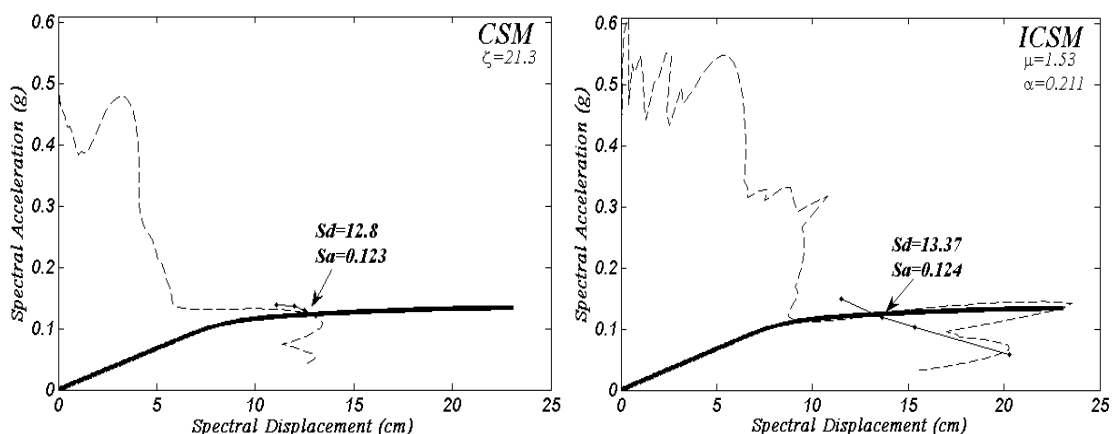
شکل ۵ عملکرد قاب ۳ طبقه با روش طیف ظرفیت بهبودیافته و روش طیف ظرفیت مختصات ADRS



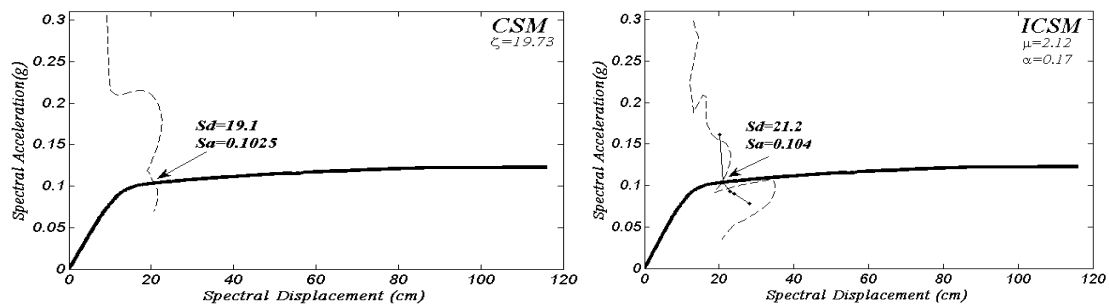
شکل ۶ عملکرد قاب ۵ طبقه با روش طیف ظرفیت بهبودیافته و روش طیف ظرفیت مختصات ADRS



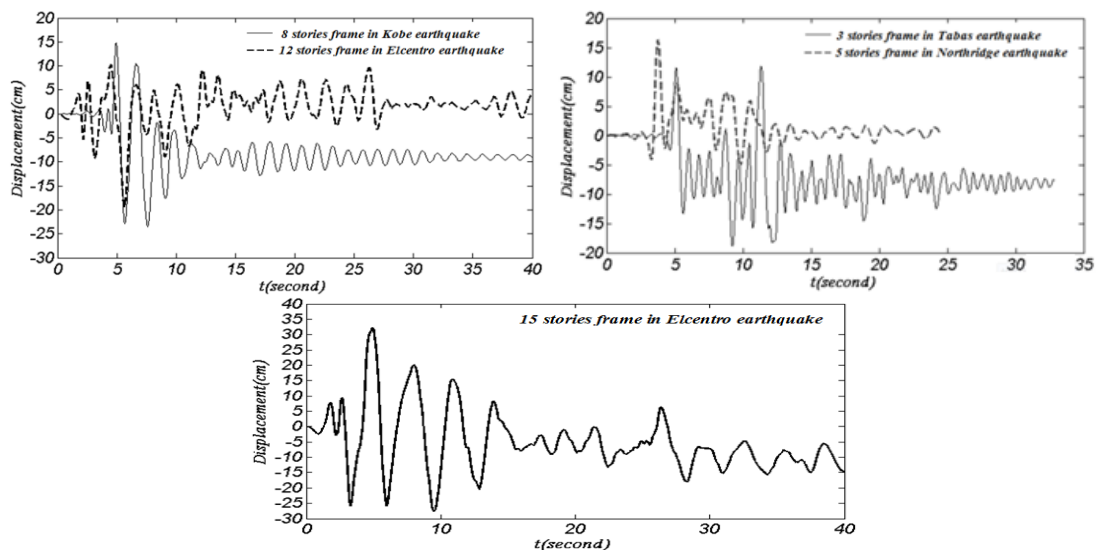
شکل ۷ عملکرد قاب ۸ طبقه با روش طیف ظرفیت بهبودیافته و روش طیف ظرفیت مختصات ADRS



شکل ۸ عملکرد قاب ۱۲ طبقه با روش طیف ظرفیت بهبودیافته و روش طیف ظرفیت مختصات ADRS



شکل ۹ عملکرد قاب ۱۵ طبقه با روش طیف ژرفیت بهبودیافته و روش طیف ژرفیت مختصات ADRS



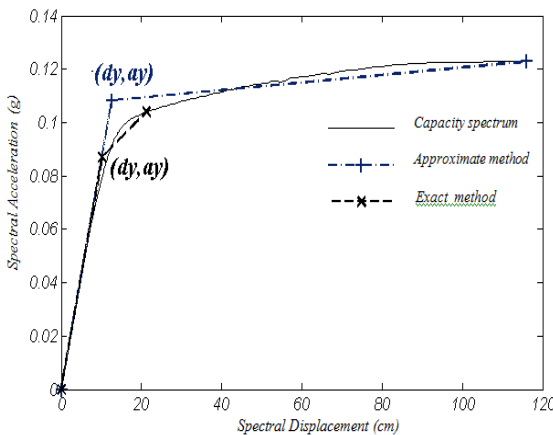
شکل ۱۰ میانگین تاریخچه زمانی جابه‌جایی بام

جدول ۱ مقادیر جابه‌جایی در نقاط عملکرد مثال‌ها بر حسب سانتی‌متر و میزان خطای آن‌ها نسبت به روش دینامیکی غیرخطی

(۳) سطح عملکرد وجابه‌جایی نسبی %	(۲) سطح عملکرد وجابه‌جایی نسبی %	(۱) سطح عملکرد وجابه‌جایی نسبی %	درصد اختلاف (ICSM)	درصد اختلاف با تحلیل دینامیکی	(۳) طیف ژرفیت بهبودیافته دینامیکی (ICSM)	(۲) طیف ژرفیت (CSM)	(۱) تحلیل دینامیکی غیرخطی	رکوردهای زلزله در نظر گرفته شده	تعداد طبقات	شماره قاب
۱/۹۳-LS	۱/۵۲-LS	۲/۰۹-LS	-۷/۶۴	-۲۷/۵۱	۱۷/۴۱	۱۳/۶۵	۱۸/۸۵	طبس	۳	۱
۱/۱۶-IO	۰/۷۱-IO	۱/۰۱۷-IO	۱۳/۵۷	-۲۹/۱۸	۱۸/۴۹	۱۱/۴۲	۱۷/۲۸	نورتریج	۵	۲
۰/۷۳-IO	۰/۶۷-IO	۰/۹۱-IO	-۱۹/۸۱	-۲۴/۵۲	۱۸/۸۴	۱۷/۳۷	۲۳/۴۹	کوبه	۸	۳
۰/۴۷-IO	۰/۴۵-IO	۰/۵۱-IO	-۷/۳۲	-۱۱/۲۷	۱۸/۰۵	۱۷/۲۸	۱۹/۴۷	الستترو	۱۲	۴
۰/۷۰-IO	۰/۵۴-IO	۰/۷۷-IO	-۱۰/۴۵	-۱۹/۳۲	۲۸/۸۳	۲۵/۹۸	۳۲/۲۱	الستترو	۱۵	۵

برای یک شکل پذیری خاص، روابطی توسط محققانی چون نیومارک و هال، کراوینکر و نصر، فایفر و ویدیچ، برای کاهش طیف طرح ارائه شده است [11] و در صورت استفاده از این روابط مشکلات محاسبه‌ی طیف غیرالاستیک پیشنهادی چوپرا که مانعی بزرگ بر سر راه استفاده از این روش می‌باشد، از میان برداشته خواهد شد. با توجه به این که روش موجود در استانداردهای عملکردی مانند ATC40 و FEMA273 روش طیف ظرفیت می‌باشد، به نظر می‌رسد این استانداردها نیاز به بازنگری در این زمینه داشته باشند.

در ادامه برای این که نشان داده شود جایگزینی کل طیف ظرفیت با یک منحنی دوخطی که در ATC40 مورد قبول است و در مراجع [11, 12] استفاده شده است تا چه حد می‌تواند در محاسبات، تقریب وارد کنند (به خصوص در روش ICSM)، در نقطه‌ای بسیار نزدیک به نقطه‌ی عملکرد در قاب ۱۵ طبقه (روش ICSM) یکبار طیف غیرالاستیک با فرض ساده‌کننده (تقریبی) و بار دیگر به صورت دقیق محاسبه شده که نتایج در شکل‌های (۱۱ و ۱۲) نشان داده شده است.



شکل ۱۱ مقایسه دقیق و تقریبی (فرض دوخطی) نقطه‌ی تسلیم و سایر پارامترها

در واقع می‌توان این‌گونه بیان کرد که در روش طیف ظرفیت که از مفهوم میرایی معادل استفاده می‌کند، این‌گونه در نظر گرفته می‌شود که با افزایش بار جانبی در تحلیل بارافزون و ورود سازه به فاز غیرخطی، میرایی سازه افزایش می‌یابد. برای هر نقطه از منحنی ظرفیت، می‌توان میرایی معادل آن نقطه را محاسبه و سپس طیف نیاز مورد نظر را براساس این میرایی معادل مجدد محاسبه نمود که محاسبه‌ی این طیف با انجام تحلیل‌های دینامیکی خطی، قابل انجام است. اما در روش طیف ظرفیت که از مفهوم شکل پذیری استفاده می‌کند، این‌گونه در نظر گرفته می‌شود که با افزایش بار جانبی در تحلیل بارافزون و ورود سازه به فاز غیرخطی، شکل پذیری سازه افزایش می‌یابد. چوپرا روابطی ارائه نموده است تا بتوان در هر نقطه از طیف ظرفیت، شکل پذیری آن نقطه را محاسبه و سپس بتوان طیف نیاز مورد نظر را براساس این شکل پذیری مجدداً محاسبه نمود که برای محاسبه این طیف به انجام چندین تحلیل دینامیکی غیرخطی نیاز می‌باشد.

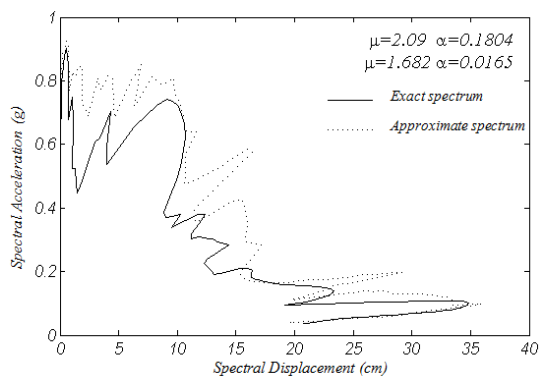
مقایسه نتایج عددی نشان می‌دهند که روش طیف ظرفیت همواره تخمینی دست پائین از جابجایی نقطه عملکرد ارائه می‌کند که این مسئله چندان مطلوب نیست، چون این تقریب برخلاف تقریب‌های دست بالا، در جهت اطمینان نیست و می‌تواند در طراحی براساس عمل کرد، سبب اشتباه شود.

اگرچه محاسبات انجام شده نشان می‌دهد که روش طیف ظرفیت اصلاح شده دارای عملکرد مناسب‌تری نسبت به روش طیف ظرفیت می‌باشد اما محاسبه‌ی طیف برای یک شکل پذیری خاص، نیاز به انجام چندین تحلیل دینامیکی غیرخطی دارد که عملیاتی پیچیده و وقت‌گیر است. اما لازم به یادآوری است آن‌چه در استانداردهای مختلف مورد استفاده قرار می‌گیرد، طیف طرح می‌باشد که بسیار یکنواخت‌تر از طیف پاسخ می‌باشد. به منظور محاسبه‌ی طیف طرح

اختلاف کم، خطای ایجاد شده حدود ۳ درصد می‌باشد.

نتیجه‌گیری

در تحقیق حاضر به ارزیابی دقت دو روش طیف ظرفیت و طیف ظرفیت بهبود یافته جهت تعیین عملکرد لرزه‌ای قاب‌های بتنی پرداخته شد. به این منظور ابتدا مدل‌سازی غیرخطی چندین سازه تحت اثر زلزله‌های متعددی انجام شد. سپس عملکرد لرزه‌ای سازه‌ها بر اساس دو روش مذکور تعیین شد و نتایج حاصل با نتایج حاصل از تحلیل دینامیکی غیرخطی مقایسه شدند ارزیابی عملکرد قاب‌های مورد مطالعه نشان داد که روش طیف ظرفیت در بیشتر موارد به تغییر مکان‌های دست پایین در نقاط عملکردی سازه‌ها، متنه‌ی می‌شوند؛ هرچند که روش طیف ظرفیت بهبود یافته دارای نتایج بهتری می‌باشد. همچنان نشان داده شد که روش دو خطی کردن منحنی ظرفیت در ارزیابی عملکرد لرزه‌ای، تقریب ایجاد می‌کند.



شکل ۱۲ طیف غیرالاستیک دقیق و تقریبی (فرض دوخطی)

همان‌طور که در شکل‌های مزبور قابل مشاهده است این فرض ساده کننده، سبب تغییر پارامترهای مؤثر هر نقطه بر روی منحنی ظرفیت می‌شود و همان‌طور که در شکل (۱۲) مشاهده می‌شود دو طیف رسم شده برای این نقطه در برخی نواحی دارای اختلاف قابل ملاحظه‌ای هستند که این امر می‌تواند موقعیت نقطه‌ی عملکرد را تحت تأثیر قرار دهد. بسته به این که عملکرد سازه در کدام ناحیه‌ی طیف قرار بگیرد این تأثیر می‌تواند زیاد یا کم باشد. در این مثال با توجه به قرارگیری نقطه‌ی عملکرد در محدوده‌ای با

مراجع

- Applied Technology Council, ATC40,. "Seismic Evaluation and Retrofit of Concrete Buildings" California Seismic Safety Commission, (1997).
- Freeman, SA., "Prediction of response of concrete buildings to severe earthquake motion". Publication SP-55. Detroit (MI): American Concrete Institute; p. 589-605, (1978).
- Yu Y, Symans MD, Mclean DI, Cofer WF. "Evaluation of analysis methods for assessing seismic response", Transportation research record no. 1688.Washington D.C.: Transportation research Board-National Research Council .p. 163-72, (1999).
- Habibi, A.R., Moharrami, H. and Tasnimi, A.A. "Evaluation of seismic performance of RCMRF using stiffness damage index", Journal of University College of Engineering, 40, pp. 701-712, (2006).
- B. Gencturk, S. Elnashai. "Development and application of an advanced capacity spectrum method", Engineering Structures 30, pp. 3345-3354 , (2008).
- lin Y-Y, Chang K-C, Wang Y-L. "Comparison of displacement coefficient method and capacity

- spectrum method with experimental results of RC columns". Earthquake Struct Dyn, 32(13):2013-25, (2003).
7. Akkar SD, Miranda E." Statistical evaluation of approximate methods for estimating maximum deformation demands on existing structures", J Struct Eng, 131(1):160-72, (2005).
 8. Bertero VV."Tri-service manual methods". In: Vision 2000. Sacramento: Structural Engineering Association of California , (1995).
 9. Reinhorn AM."Inelastic analysis techniques in seismic evaluations". In: Fajfar P.Krawinkler H, editors. Seismic design methodologies for the next generation of codes. Rotterdam: Balkema, pp. 277-87, (1997).
 10. Fajfar P.," Capacity spectrum method based on inelastic demand spectra", Erthq Eng Struct Dyn,28(9):979-93, (1999).
 11. Chopra AK, Goel RK," Capacity-demand-diagram-methods for estimating seismic deformation of inelastic structures:SDF Systems", Report No. PEER-1999/02. Berkeley(CA): Pacific Earthquake Engineering Research Center, University of California at Berkeley, (1999).
 12. Nasim K. Shattarat, Michael D.Symans, David I.McLean, William F.Cofer." Evaluation of nonlinear static analysis methods and software tools for seismic analysis of highway bridges", Engineering Structures 30,pp. 1335-1345, (2008).
 13. Chopra AK. "Dynamic of structure: Theory and applications to earthquake engineering", 2nd ed. Englewood Cliffs (NJ): Prentice Hall, (2001).
 14. R. E. Valles, A. M. Reinhorn, S. K. Kunnath, C. Li4, and A. Madan.. IDARC version 4.0" a program for the inelastic damage analysis of reinforced concrete structures", Technical Report NCEER-96-0010, National Center For Earthquake Engineering Research, State University of New York at Buffalo, (1996).
 15. Federal Emergency Management Agency, FEMA273," NEHRP Guideline for The Seismic Rehabilitation of Building. Building" Seismic Safety Council, Washington DC, (1997).
 16. Building and Housing Research Centre, "Iranian code of practice for seismic resistant design of buildings", Standard No. 2800, (1999).
 17. Habibi, A.R., "Optimal Seismic Performance-Based Design of Two Dimensional Reinforced Concrete Frames", Ph.D. Thesis, Tarbiat Modares University, Tehran, Iran, (2006).

بررسی عددی سه بعدی رسوب گذاری و کنترل آن در آب گیرهای جانبی رودخانه‌ای با استفاده از نرم افزار **SSIIM2**

(یادداشت پژوهشی)

حمید شاملو^(۱) عادل اثنه عشری^(۲)

چکیده آب گیرها عموماً در شبکه های توزیع آب، کانال های آبیاری، شبکه های فاضلاب، تأسیسات مربوط به تصفیه خانه های آب و فاضلاب و غیره مورد استفاده قرار می گیرند. عدم کنترل رسوب ورودی به آب گیرها باعث انتقال رسوبات به داخل کانال های آبیاری و تأسیسات می شود و مشکلاتی را برای قسمت های مختلف به وجود می آورد. به علت وجود ذرات معلق در آب، خسارت زیادی نیز به تأسیسات به کار رفته مثل پمپ و توربین وارد می گردد. در این مطالعه ابتدا شبهه سازی عددی جریان رسوبی در آب گیری از مسیر مستقیم یک کانال مستطیلی به کمک نرم افزار SSIIM2 صورت گرفته است. از میان پارامترهای اصلی مؤثر بر جریان، شکل مقطع عرضی کانال، شبکه کانال های اصلی و آب گیر و شکل دهانه‌ی ورودی ثابت در نظر گرفته شد و اثر زوایای آب گیری ۴۵ الی ۹۰ درجه، نسبت دبی آب گیری ۰/۲ الی ۰/۵۷ و عدد فرود جریان ورودی ۰/۳۲ الی ۰/۶۱ بر نسبت رسوب ورودی به آب گیر بررسی شد و با نتایج آزمایشگاهی مورد مقایسه قرار گرفت که مطابقت خوبی بین مقادیر حاصل و نتایج آزمایشگاهی دیده شد. سپس برای بررسی عددی روش های کنترل رسوب، تاثیر صفحات مستقر، طول آب شکن و فاصله‌ی آن از مقابل دهانه‌ی آب گیر به ازای نسبت های مختلف دبی آب گیری بررسی شد. نتایج تحقیق نشان می دهد که کارآیی صفحات با احداث آب شکن در ضلع مقابل آب گیر افزایش پیدا می کند و مقادیر ورود رسوبات به آب گیر کاهش می یابد. همچنین با جابه جایی آب شکن به اندازه‌ی دو برابر عرض دهانه‌ی آب گیر به بالادست کانال اصلی، مقادیر ورود رسوبات به آب گیر به طور متوسط ۳۶٪ کاهش می یابد. سپس نتایج عددی حاصل با نتایج آزمایشگاهی مورد مقایسه قرار گرفتند که مطابقت خوبی بین مقادیر حاصل و نتایج آزمایشگاهی دیده شد.

واژه‌های کلیدی آب گیر جانبی، رسوب گذاری، روش های کنترل رسوب، مدل عددی SSIIM2، مدل آشناشی $k-\omega$.

3-D Numerical Investigation of Sedimentation and its Control at River Lateral Intakes by SSIIM2 Software

H. Shamloo

A. Asnaashari

Abstract The intakes usually have been used in water distribution networks, irrigation channels, sewage networks, and the water/wastewater treatment facilities, etc. Lack of sediment control entered to the intake channel is the main reason of entering sediments to the installation systems, which makes many problems for different parts. Due to suspended particles in water, the facilities used such as pumps and turbines are damaged. In this study, first, numerical simulation of sediment flow in an intake from a rectangular channel using SSIIM2 is investigated. Among the main parameters affecting the flow the channel cross-section, main channel and intake slope, and the entrance form are supposed to be constant. Then, the effects of the deviation angles 45-90 degree, ratio of diverted discharge 0.2-0.57, and Froude Number 0.32-0.48 on ratio of sediment entering to the intake have been investigated and obtained numerical results were compared with experimental results that good agreement has been observed. Then for numerical investigation of sediment control methods the effects of the submerged vanes, spur dike length, and spur dike distance from the front intake entrance for different ratios of diverted discharge were investigated. The results showed that the effective performance of the vanes increased and consequently eliminated the bed sediment ingestion into diversion with a single spur dike at opposite side of the intake. Also an average reduction of 36% in sediment ingestion into diversion was observed when a spur dike located at a distance of twice intake width from the centre line. Then obtained numerical results have been compared with experimental results that good agreement has been observed.

Keywords Lateral intake, Sedimentation, Sediment control methods, SSIIM2, $k-\omega$ turbulence model.

★ تاریخ دریافت مقاله ۹۰/۱۰/۱۹ و تاریخ پذیرش آن ۹۲/۲/۱۵ می باشد.

(۱) نویسنده‌ی مسئول، استادیار دانشکده مهندسی عمران، دانشگاه خواجه نصیرالدین طوسی.

(۲) دانشجوی کارشناسی ارشد مهندسی عمران آب، دانشگاه خواجه نصیرالدین طوسی.

سازه‌ی حفاظتی و هدایت جریان سابقه‌ی کاربرد طولانی در مهندسی رودخانه دارند. مطالعات زیادی بر روی آب‌گیری مستقیم از رودخانه‌ها، مشکلات رسوب‌گذاری و روش‌های کترل رسوب ورودی به آب‌گیرها صورت گفته است. Nakato و همکاران [1] با ساخت مدل فیزیکی برای پنج دهانه آب‌گیر رودخانه‌ای با بستر ماسه‌ای به بررسی مشکلات ورود رسوبات بستر به دهانه‌ی آب‌گیر و روش‌های کاهش آن پرداختند. Odgaard و Neary [2] مطالعات آزمایشگاهی را بر روی هیدرولیک جریان در آب‌گرهای ۹۰ درجه انجام دادند. Solaymani Osbooei [3] کاربرد صفحات مستغرق در مسیر مستقیم رودخانه‌ها و تأثیر آرایش و شکل صفحات بر تغییرات مرفوولوژی بستر رودخانه را مطالعه نموده و نشان داده است که با افزایش دبی و سرعت جریان کارایی صفحات افزایش پیدا می‌کند. راهکارهای افزایش کارآیی صفحات مستغرق توسط Brakdoll و همکاران [4] مورد بررسی قرار گرفت. آزمایش‌های انجام شده توسط ایشان نشان داد که شدت رسوبات ورودی بستر به داخل آب‌گیر پس از نصب صفحات مستغرق زمانی می‌تواند ناچیز باشد که نسبت دبی واحد عرض آب‌گیر به دبی واحد عرض کanal اصلی، کمتر از حدود ۰/۲ باشد. Kuhnle و همکاران [5] نشان دادند که برای آب‌شکن‌هایی با زوایای ۴۵، ۹۰ و ۱۳۵ درجه با دو نسبت تنگشدن ۰/۱۲۵ و ۰/۲۵ در یک کanal آزمایشگاهی، کمترین فرسایش بستر، در ناحیه‌ی نزدیک جداره به آب‌شکن با زاویه‌ی ۹۰ درجه و بزرگ‌ترین حجم آب شستگی به آب‌شکن با زاویه ۱۳۵ درجه تعلق دارد. آب‌شکن‌هایی که به سمت بالا دست متمایل باشند، به طور معمول موجب انحنای بیشتری در جریان اصلی می‌شوند. Sajedi Sabegh and Habibi [6] تأثیر کاربرد با هم صفحات مستغرق و مجموعه‌ی آب‌شکن‌ها در افزایش راندمان آب‌گیری را مورد بررسی قرار دادند و نشان دادند که در مواردی تا ۹۵ درصد ورود رسوبات به آب‌گیر کاهش یافته است.

مقدمه

در بسیاری از تأسیسات هیدرولیکی تعیین ساختار جریان از کanal اصلی به کanal‌های جانبی از اهمیت بالایی برخوردار است. اکثر ایستگاه‌های پمپاژ رودخانه‌ای مشکل رسوب‌گذاری در دهانه‌ی آب‌گیری و حوضچه‌ی مکش را دارند که این مسئله باعث می‌شود که چندین بار در سال نیاز به رسوب‌زدایی داشته باشند که هزینه‌ی بهره‌برداری از این‌گونه ایستگاه‌ها را بهطور قابل ملاحظه‌ای افزایش می‌دهد. برای این منظور فراهم نمودن شرایطی با ویژگی‌های مناسب جهت جلوگیری از رسوب‌گذاری در دهانه‌ی آب‌گیر بسیار حائز اهمیت است. برخورد متقابل خطوط جریان منحرف شده با گرادیان عمودی سرعت، یک جریان گردابی به وجود می‌آورد که انتقال رسوبات، به خصوص رسوبات بار بستر به طرف آب‌گیر را تشدید می‌نماید. هر اقدامی که باعث کاهش جریان‌های ثانویه و گردابی در دهانه‌ی آب‌گیر شود، کاهش تجمع رسوب در دهانه‌ی آب‌گیر را در بر خواهد داشت. هم‌چنان توجه کافی نداشتن به طراحی مناسب تأسیسات کترل رسوب در آب‌گیر می‌تواند مشکلاتی از قبیل کاهش ظرفیت انتقال جریان در کanal آب‌گیر در اثر تهشیب رسوبات، آسیب دیدن تأسیسات انتقال و نیروگاهی، استهلاک پمپ‌ها و قطع آب جهت لایروبی کanal‌ها و تحمیل هزینه‌های اقتصادی لایروبی کanal‌ها را به دنبال داشته باشد. بنابراین بایستی حتی الامکان میزان رسوبات ورودی به آب‌گیر را با استفاده از سازه‌های انحراف و دفع رسوب، کاهش داد. یکی از روش‌های کاهش انتقال رسوب به آب‌گیرها استفاده از صفحات مستغرق است. تحقیقات مختلفی برای یافتن ابعاد، فواصل و زاویه‌ی برخورد با جریان و آرایش‌های مختلف نصب صفحات مستغرق صورت پذیرفته است و تحقیقات بیشتر در راستای شناخت و هم‌چنان افزایش کارآیی کترول رسوب این صفحات هم‌چنان ادامه دارد. آب‌شکن‌ها نیز به عنوان

کanal مستطیلی به کمک این نرم افزار صورت گرفته و با توجه به نتایج عددی حاصل، روابط ریاضی نیز ارائه گردیده شده است.

نرم افزار عددی و معادلات حاکم

نرم افزار SSIIM به منظور شبیه سازی رسوب در آب گیرها و برای مهندسی رسوب، هیدرولیک، محیط زیست و رودخانه طراحی شده است. این نرم افزار بر مبنای رویکرد حجم محدود با شبکه‌ی سازمان یافته‌ی سه‌بعدی طراحی شده است و در آن معادلات ناویر استوکس و معادلات انتقال و انتشار برای حمل رسوب با استفاده از روش حجم کنترل حل می‌شوند. هم‌چنین این نرم افزار قابلیت مدل‌سازی رسوب‌شونی توسط روابط مختلف انتقال رسوب را دارد. تحلیل جریان در حالت ماندگار صورت گرفته و از الگوریتم SIMPLE برای کوپل سرعت و فشار استفاده شده است. نسخه‌ی مدل عددی مورد استفاده در این تحقیق، نسخه‌ی ۱.۰.۰.۱ تحت ویندوز نرم افزار SSIIM2 می‌باشد.

معادلات حاکم بر حرکت سیال عبارتند از معادله‌ی پیوستگی و معادله‌ی مومنتوم که برای جریان آشفته تراکم‌ناپذیر در یک هندسه‌ی سه‌بعدی به ترتیب روابط (۲) و (۱) می‌باشند.

$$\frac{\partial \bar{U}_i}{\partial x_i} = 0 \quad (1)$$

$$\frac{\partial \bar{U}_i}{\partial t} + (\bar{U}_j) \frac{\partial \bar{U}_i}{\partial x_j} = -\frac{1}{\rho} \frac{\partial \bar{P}}{\partial x_i} + g_{xi} + \frac{\partial}{\partial x_j} [v \frac{\partial \bar{U}_i}{\partial x_j} - \bar{U}_i \bar{U}'_j] \quad (2)$$

در روابط فوق، \bar{U}_i تنش رینولدز، U_i و U_j به ترتیب سرعت جریان در جهات x و y زمان، لزجت مولکولی، P فشار، k انرژی جنبشی آشفتگی، ρ چگالی سیال و g_{xi} شتاب گرانشی در جهت x_i می‌باشند.

برای محاسبه‌ی بار معلق از معادله‌ی انتقال-پخش [12] به شرح ذیل استفاده می‌گردد:

حسن پور [۷] کاربرد صفحات مستغرق مرکب و آستانه را تنها برای نسبت انحراف بسیار پایین توصیه کرده است. وی هم‌چنین نشان داده است که با افزایش عدد فرود صفحات به تر عمل می‌کنند. Ramamurthy و همکاران [۸] مطالعه‌ی آزمایشگاهی در یک انسعباب ۹۰ درجه و برای یک آبراهه روباز با مقطع مستطیلی انجام دادند و از ابزارهای دقیق سه‌بعدی جهت اندازه‌گیری سرعت در مقاطع مختلف استفاده نمودند. صفرزاده و صالحی نیشابوری [۹] به بررسی عددی الگوی سه‌بعدی جریان در آب گیر جانبی پرداختند. شاملو و پیروزاده [۱۰]، به بررسی اثرات پارامترهای هندسی و هیدرولیکی بر ابعاد ناحیه‌ی جدایی جریان در آب گیرهای جانبی با استفاده از نرم افزار Fluent پرداختند که مطابقت خوبی بین مقادیر حاصل و نتایج آزمایشگاهی دیده شد. شاملو و اثنی عشری [۱۱]، به بررسی عددی هیدرولیک و رسوب جریان در آب گیرهای جانبی رودخانه‌ای با استفاده از نرم افزار SSIIM2 پرداختند. ماهیت رسوب جریان در آب گیرهای جانبی شناخته شده و در کارهای آزمایشگاهی و روش‌های عددی دیگر بدان اشاره شده است.

در بخش فوق تأکید بر صحت سنجی شبیه سازی نتایج آزمایشگاهی به وسیله‌ی نرم افزار SSIIM2 و تأکید بر توانایی این نرم افزار در بازسازی همان پدیده‌های فیزیکی است که نتایج آزمایشگاهی آنها را پذیدار نموده است. در مطالعات قبلی در کنار مطالعه‌ی آزمایشگاهی به بررسی عددی الگوی سه‌بعدی رسوب‌گذاری در آب گیرهای جانبی رودخانه‌ای خصوصاً با استفاده از سازه‌های انحراف و دفع رسوب از جمله صفحات مستغرق و آب‌شکن پرداخته نشده بود. در این تحقیق، برای بررسی توانایی نرم افزار SSIIM2 در پیش‌بینی نتایج رسوب جریان و روش‌های کنترل آن در آب گیرهای جانبی رودخانه‌ای، شبیه سازی عددی جریان رسوبی در آب گیری از مسیر مستقیم یک

از سرعت میانگین در ورودی کanal اصلی به عنوان شرط مرزی سرعت معین استفاده شده است. با توجه به تغییرات ناچیز سطح آب، شرط مرزی تقارن به سطح آب اعمال شده است. شرط مرزی دیواره برای مرزهای صلب میدان اعمال شده و دیوارهای از لحاظ هیدرولیکی صاف در نظر گرفته شده‌اند. با توجه به نتایج مثبت حاصل از مطالعات قبلی، مدل آشتفتگی $k-\omega$ در این مطالعه استفاده شده است. یکی از پارامترهای مهم در سرعت اجرای مدل، شبکه‌بندی مناسب منطقه‌ای می‌باشد که جریان در آن برقرار است. در این مدل سازی، پس از امتحان مقادیر مختلف و تست حساسیت نسبت به ابعاد شبکه، ابعاد سلول‌های شبکه‌ی کanal اصلی $8/5 \times 8 \times 6/5$ سانتی‌متر و ابعاد سلول‌های شبکه‌ی کanal آب‌گیر $8/5 \times 6/5 \times 6/5$ سانتی‌متر به عنوان شبکه‌ی بهینه انتخاب شد. از آنجا که تعداد متغیرهای مؤثر بر رسوب ورودی به آب‌گیر زیاد می‌باشد به منظور رائمه‌ی رابطه‌ی مشخص ریاضی برای تحلیل مسئله، ابتدا جهت آنالیز ابعادی رابطه‌ی کلی ذیل استخراج می‌گردد.

$$Q_{si} = F(Q_{sm}, Q_M, Q_I, Fr, \theta, b, B, S, \rho_s, N, \delta_s, \delta_n, L_D, L_I) \quad (4)$$

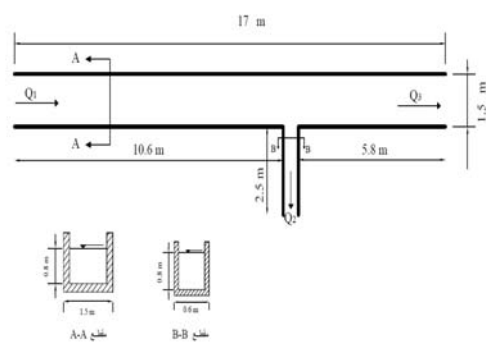
که در این رابطه، دبی رسوب ورودی به آب‌گیر (Q_{si})، حجم رسوبات تنه‌نشین شده در کanal آب‌گیر (V_{si})، دبی رسوب کanal اصلی (Q_{sm})، دبی جریان در کanal اصلی (Q_M)، دبی جریان در کanal آب‌گیر (Q_I)، عدد فرود جریان ورودی (F_r)، زاویه‌ی آب‌گیری (θ)، عرض کanal آب‌گیر (b)، عرض کanal اصلی (B)، شیب (S)، جرم حجمی سیال (ρ)، جرم حجمی رسوبات (ρ_s)، تعداد ردیف صفحات مستغرق (N)، فاصله‌ی طولی صفحات مستغرق (δ_s)، فاصله‌ی عرضی صفحات مستغرق (δ_n)، طول آب‌شکن (L_D) و فاصله‌ی آب‌شکن تا خط مرکزی آب‌گیر (L_I) می‌باشد.

$$\frac{\partial c}{\partial t} + U_j \frac{\partial c}{\partial X_i} + \omega \frac{\partial c}{\partial z} = \frac{\partial c}{\partial X_j} (\Gamma \frac{\partial c}{\partial X_j}) \quad (3)$$

در رابطه‌ی (۳)، c غلظت رسوب، ω سرعت سقوط، U سرعت جریان، X بعد فاصله و Γ ضریب انتشار می‌باشد.

نتایج و بحث

مطالعه‌ی عددی جریان رسوبی مدل آزمایشگاهی مرجع [۱۳]. در این قسمت برای صحتسنجی نرم‌افزار SSIIM2 در پیش‌بینی رسوب ورودی به آب‌گیر، به بررسی تأثیر پارامترهای مختلف نسبت دبی جریان ورودی (F_r) بر میزان رسوبات ورودی به کanal آب‌گیر، مدل آزمایشگاهی مرجع [۱۳] شبیه‌سازی گردیده است. در این مدل آزمایشگاهی، طول کanal اصلی ۱۷ متر و عرض آن $1/5$ متر و عمق آن $0/8$ متر بوده است. آب‌گیری توسط کanal جانبی به عرض $0/6$ متر و طول $2/5$ متر که با زاویه‌ی 90° درجه نسبت به آن قرار گرفته، انجام شده است. در این مطالعه‌ی آزمایشگاهی، قطر متوسط رسوبات مصالح بستر 1 میلی‌متر، ضخامت لایه‌ی بستر 20 سانتی‌متر، شیب $0/265$ kg/m^3 و غلظت ورودی به کanal در نظر گرفته شده است. شماتیک کanal مزبور در شکل (۱) نشان داده شده است.



شکل ۱ مشخصات هندسی فلوم آزمایشگاهی مرجع [۱۳]

آمده از شکل (۲)، درصد خطای میانگین حاصل از مقایسه نتایج عددی و آزمایشگاهی در زاویه آبگیری ۹۰ درجه ۱۲/۱۵٪ و در زاویه آبگیری ۷۵ درجه میانگین خطای ۱۶/۰۵٪ و در زاویه آبگیری ۴۵ درجه میانگین خطای ۱۹/۸۱٪ میباشد. شکل (۳) تأثیر اعداد فرود ۰/۳۲ الی ۰/۴۸ را در زوایای مختلف آبگیری ۴۵، ۷۵ درجه بر نسبت رسوب ورودی بهازای نسبت ثابت توزیع دبی ۰/۲ نشان میدهد.

باتوجه به شکل (۳)، با افزایش عدد فرود جریان در یک نسبت آبگیری ثابت، مؤلفهی عرضی سرعت در جلوی دهانهی آبگیر کاهش و مؤلفهی طولی سرعت افزایش مییابد، در نتیجه رسوبات به پایین منتقل و رسوبات کمتری وارد دهانهی آبگیر میشوند. حداقل، حدکثر و میانگین خطای حاصل در زاویهی آبگیری ۴۵ درجه به ترتیب ۰/۲۵۶٪، ۰/۹۵۰٪ و ۰/۶۰۱٪ و در زاویهی آبگیری ۷۵ درجه ۰/۴۴٪، ۰/۱۹۲۳٪ و ۰/۹۲۳٪ بهدست آمد. بر اساس رابطهی (۷) و با احتساب نتایج حاصل از شکل (۳ و ۲)، رابطهی (۸) برای تعیین نسبت رسوب ورودی به آبگیر بهدست میآید:

$$Q_{sr} = R^{0.95\theta^{0.11}} \cdot Fr^{-0.42} \quad r^2 = 0.815 \quad (8)$$

تغییرات نسبت رسوب ورودی به آبگیر بر حسب اعداد مختلف فرود جریان در زاویهی آبگیری ثابت ۹۰ درجه با نتایج آزمایشگاهی مرجع [۱۴] نیز در شکل (۴) مقایسه شده است. در مطالعهی آزمایشگاهی آنان، طول کanal اصلی ۸ متر، عرض آن ۰/۲۵ متر و عمق جریان ۰/۱۰ متر است و آبگیری توسط کanal جانبی به عرض ۰/۲ متر و طول ۲/۲۵ متر که با زاویهی ۹۰ درجه نسبت به آن قرار گرفته، انجام شده است. شبکه کف کanalهای اصلی و آبگیر صفر در نظر گرفته شده است.

با استفاده از آنالیز ابعادی، رابطهی (۵) بهدست میآید:

$$\frac{Q_{si}}{Q_{sm}} = F\left(\frac{Q_M}{Q_I}, Fr, \theta, \frac{b}{B}, \frac{\rho_s}{\rho}, S, N, \frac{\delta_s}{\delta_n}, \frac{L_D}{B}, \frac{L_I}{b}\right) \quad (5)$$

باتوجه به این که در مطالعهی آزمایشگاهی مرجع [۱۳] از صفحات مستغرق و آب شکن استفاده نشده است، بنابراین در این قسمت پارامترهای بی بعد N، L_D/B، δ_s/δ_n و L_I/b از رابطهی (۵) حذف گردیده و رابطهی (۶) بهدست میآید.

$$\frac{Q_{si}}{Q_{sm}} = F\left(\frac{Q_M}{Q_I}, Fr, \theta, \frac{b}{B}, \frac{\rho_s}{\rho}, S\right) \quad (6)$$

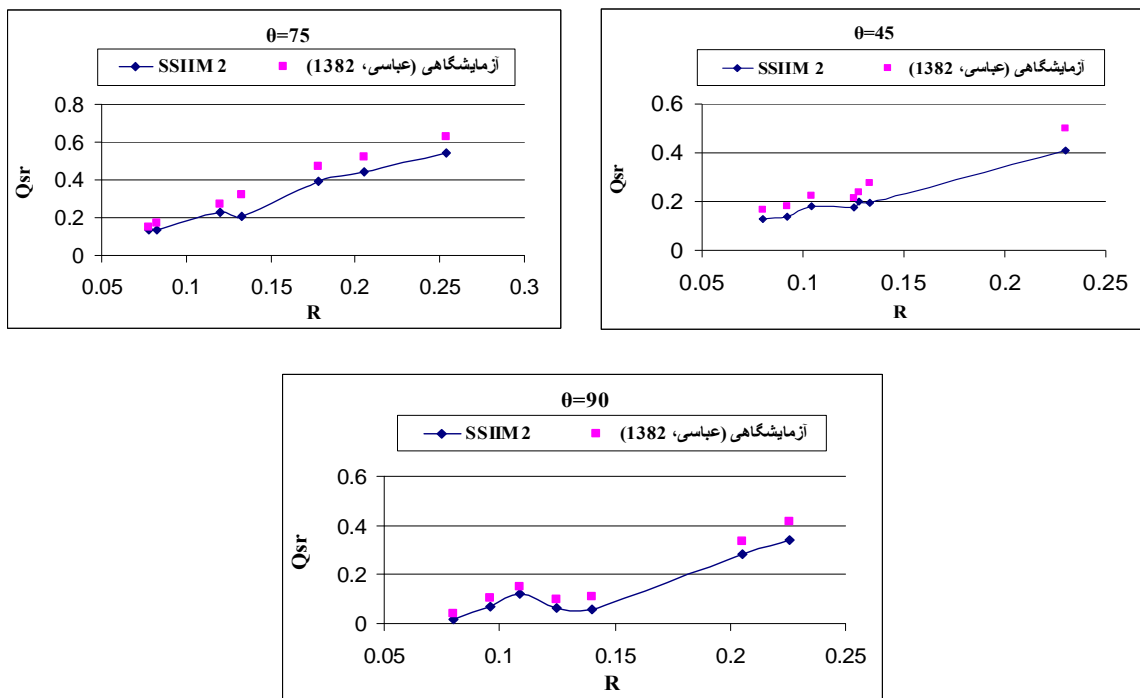
شبکه کanal اصلی، عرض کanal اصلی و آبگیر و دبی جریان در کanal اصلی ثابت میباشد، بنابراین پارامترهای ρ_s/ρ، S، b/B از بین متغیرهای بدون بعد حذف میشوند. در نهایت اعداد بی بعد زیر برای بررسی اثرات متغیرها بر میزان ورود رسوبات به آبگیر در نظر گرفته شده است:

$$Q_{sr} = F(R, Fr, \theta) \quad (7)$$

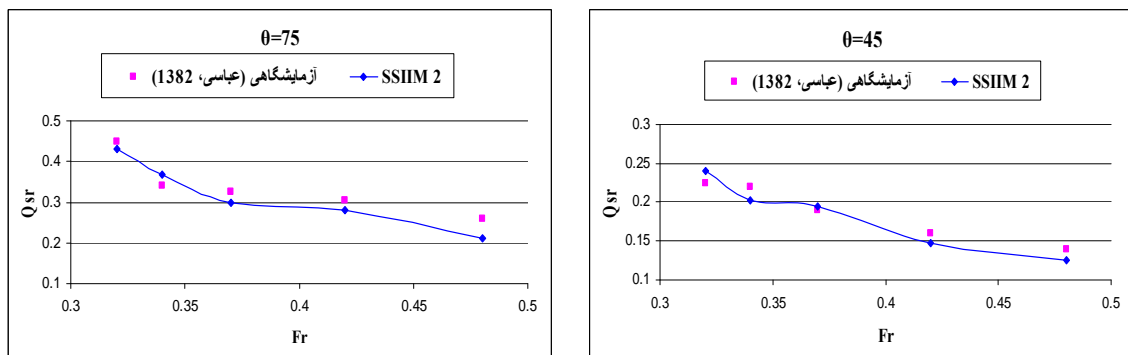
که در این رابطه، Q_{sr} نسبت رسوب ورودی به آبگیر (Q_{si}/Q_{sm})، R نسبت دبی آبگیری (Q_M/Q_I) و Q_{sr} میباشد. ابتدا به بررسی تأثیر تغییرات R و θ بر پرداخته شده است.

شکل (۲)، مقایسه نتایج عددی و آزمایشگاهی تأثیرات R بر Q_{sr} در زوایای مختلف آبگیری ۴۵، ۷۵ و ۹۰ درجه را بهازای دبی ثابت ورودی (Q_M) لیتر بر ثانیه و عدد فرود ثابت جریان ورودی ۰/۴ نشان میدهد.

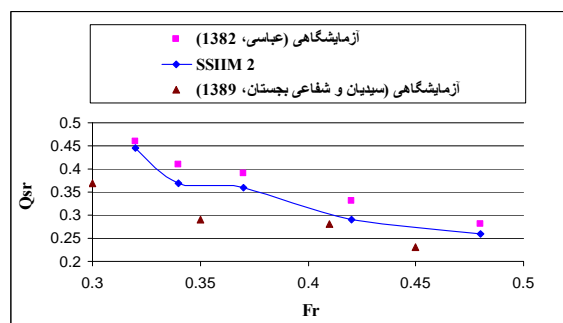
بررسی نتایج حاصل از شکل (۲) نشان میدهد همان طور که انتظار میرود در انطباق با نتایج مرجع [۴]، با افزایش نسبت آبگیری، نسبت رسوب ورودی به آبگیر افزایش مییابد. باتوجه به نتایج بهدست



شکل ۲ تغییرات نسبت رسوب ورودی به آب گیر بر حسب نسبت دبی آب گیری در زوایای مختلف آب گیری ۷۵، ۴۵ و ۹۰ درجه



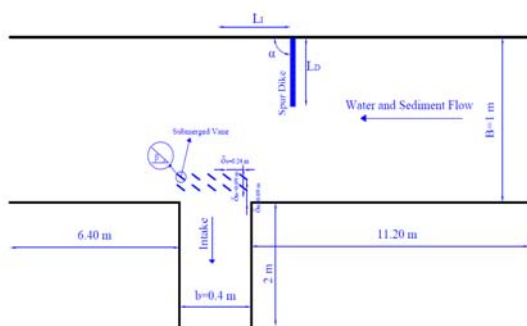
شکل ۳ تغییرات نسبت رسوب ورودی به آب گیر بر حسب اعداد مختلف فرود جریان در زوایای مختلف آب گیری



شکل ۴ تغییرات نسبت رسوب ورودی به آب گیر بر حسب عدد فرود جریان در تحقیق حاضر با سایر محققان

[۱۴]

مقابل آب‌گیر، ۴۰ سانتی‌متر بالاتر از آب‌گیر (L_1) و ۸۰ سانتی‌متر بالاتر از آب‌گیر ($2L_1$) به کار رفته که زوایای به کار رفته برای آب‌شکن ۴۵ درجه، ۹۰ درجه و ۱۳۵ درجه بوده است. مشخصات هندسی فلوم آزمایشگاهی در شکل (۵) نشان داده شده است.



شکل ۵ مشخصات هندسی فلوم آزمایشگاهی
[۱۵]

در این مدل‌سازی، پس از امتحان مقادیر مختلف و تست حساسیت نسبت به ابعاد شبکه‌ی مورد نظر، ابعاد سلول‌های شبکه‌ی کanal اصلی در قبل و بعد از آب‌گیر به ترتیب $12 \times 10 \times 10$ و $9 \times 20 \times 10$ سانتی‌متر، در محدوده‌ی آب‌گیر $2 \times 10 \times 10$ سانتی‌متر و ابعاد سلول‌های شبکه‌ی کanal آب‌گیر $2 \times 7 \times 10$ سانتی‌متر به عنوان شبکه‌ی بهینه انتخاب شد.

شکل و ابعاد کanal اصلی و کanal آب‌گیر، شبکه کanal اصلی، دبی جریان در کanal اصلی، زاویه‌ی آب‌گیری، ابعاد و آرایش صفحات مستغرق، زاویه‌ی آب‌شکن با جریان اصلی و دانه‌بندی مصالح بستر در این آزمایش ثابت است. همچنین به علت این‌که عدد رینولدز جریان در محدوده‌ی جریان‌های آشفته قرار دارد ($Re=60000$) اثر لزجت در مقابل اینرسی قابل صرف‌نظر کردن می‌باشد. با توجه به یکسان بودن شرایط هیدرولیکی کanal بالا‌دست، عدد Fr نیز در این مطالعه ثابت بوده و در نهایت بر اساس رابطه‌ی (۵) و حذف پارامترهای ذکر شده، اعداد بی‌بعد زیر برای بررسی اثرات متغیرها بر میزان ورود رسوبات به آب‌گیر در نظر گرفته شده است:

همان‌طورکه در شکل (۴) مشاهده می‌شود، نتایج حاصل از تحقیق حاضر مطابقت نسبتاً خوبی با نتایج آزمایشگاهی مرجع [۱۴] دارد و در آن به‌ازای زاویه‌ی آب‌گیری ثابت، با افزایش عدد فرود جریان ورودی، نسبت رسوب ورودی به آب‌گیر کاهش می‌یابد. در نهایت با توجه به نتایج حاصل از بررسی عددی مطالعات آزمایشگاهی مراجع [۱۴] و [۱۳] و جمع‌بندی نتایج آن‌ها، رابطه‌ی کلی (۶) پیشنهاد می‌گردد. در مطالعه‌ی آزمایشگاهی [۱۴] پارامترهای R و θ ثابت فرض شده بودند.

$$Q_{sr} = R^{0.795\theta^{0.352}} \cdot Fr^{-0.296} \quad r^2 = 0.785 \quad (6)$$

در بخش دوم این مطالعه، برای کنترل و کاهش میزان رسوبات ورودی به آب‌گیر، از سازه‌های انحراف و دفع رسوب از جمله صفحات مستغرق و آب‌شکن استفاده شده و تأثیر آن‌ها بر کاهش میزان رسوب ورودی مورد بررسی قرار گرفته است.

مطالعه‌ی عددی روش‌های کنترل رسوب با استفاده از مدل آزمایشگاهی. گوهري و همکاران [۱۵] در این مدل آزمایشگاهی، طول کanal اصلی ۱۸ متر، عرض آن ۱ متر و عمق آن ۱ متر بوده است. آب‌گیری توسط کanal جانبی به عرض $4/4$ متر و طول ۲ متر که در $11/2$ متری پایین‌دست ورودی کanal اصلی و با زاویه‌ی 90° درجه نسبت به آن قرار دارد انجام شده است. دبی جریان ورودی ثابت و برابر 0.056 مترمکعب بر ثانیه، قطر ذره رسوب ۱ میلی‌متر، شیب کanal 0.002 ، مدت زمان آزمایش ۴ ساعت، چگالی ذرات رسوبی برابر $2/65$ گرم بر سانتی‌مترمکعب و عمق رسوبات در کلیه‌ی آزمایش‌ها ثابت و برابر 20 سانتی‌متر در نظر گرفته شد. فاصله‌ی طولی صفحات از هم (δ_s) 24 سانتی‌متر، فاصله‌ی عرضی آن‌ها (δ_n) 9 سانتی‌متر و زاویه‌ی صفحات (β) 45° درجه می‌باشد. طول آب‌شکن‌های (L_D) به کار رفته 15 ، 20 و 25 سانتی‌متر بوده است. آب‌شکن در سه موقعیت مختلف:

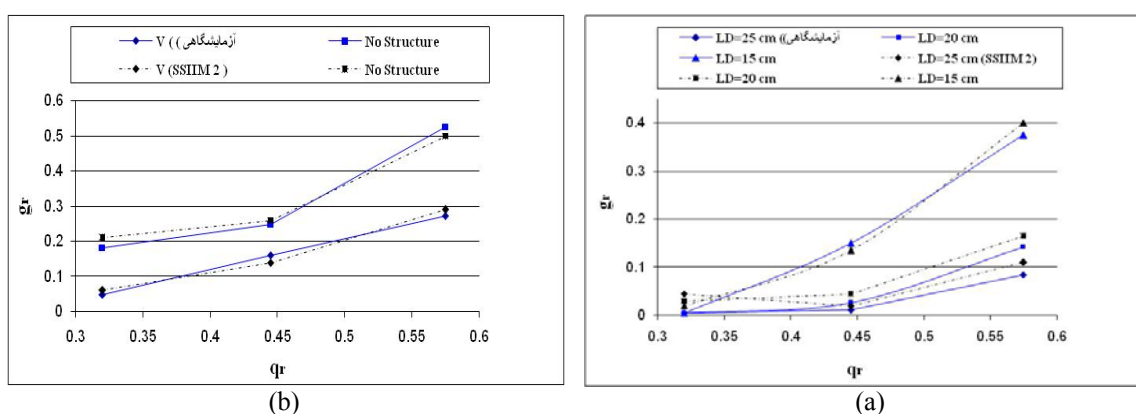
می‌باشد، تأثیر آن در میزان رسوب ورودی کمتر است [۱۵]. با افزایش نسبت دبی انحرافی از ۰/۴۵ الی ۰/۵۷ مقدار رسوبات ورودی به آب‌گیر به دلیل افزایش سرعت در آب‌گیر در حین ثابت بودن عمق جریان و افزایش شدت حمل رسوبات در کanal آب‌گیر، بیشتر می‌شود. در شکل (۷) متوسط سرعت‌های طولی (U)، عرضی (V) و عمقی جریان (W) در کanal اصلی و در محدوده‌ی آب‌گیر نشان داده شده است. سرعت جریان در ۰/۶ عمق جریان (مطابق مطالعه‌ی آزمایشگاهی) می‌باشد. با توجه به شکل (۷)، با افزایش طول آب‌شکن متوسط سرعت طولی و عمقی جریان افزایش یافته در حالی که در حالت عدم استفاده از آب‌شکن و صفحات مستغرق متوسط سرعت طولی و عمقی کاهش می‌یابد. حداقل، میانگین و حداقل خطای حاصل از مقایسه‌ی نتایج عددی و آزمایشگاهی در طول آب‌شکن ۱۵ سانتی‌متر برای محاسبه‌ی سرعت طولی به ترتیب ۱/۱۱٪، ۳/۸۶٪ و ۵/۲۵٪، برای محاسبه سرعت عرضی به ترتیب ۱۱/۳۵٪ و ۱۴/۰۶٪، برای محاسبه سرعت عمقی به ترتیب ۱۸/۶٪ و ۱۴/۹۵٪ می‌باشد. کارآیی صفحات مستغرق بدون آب‌شکن در شکل (۸) مقایسه شده است.

$$g_r = F(q_r, \frac{L_D}{B}, \frac{L_I}{b}) \quad (10)$$

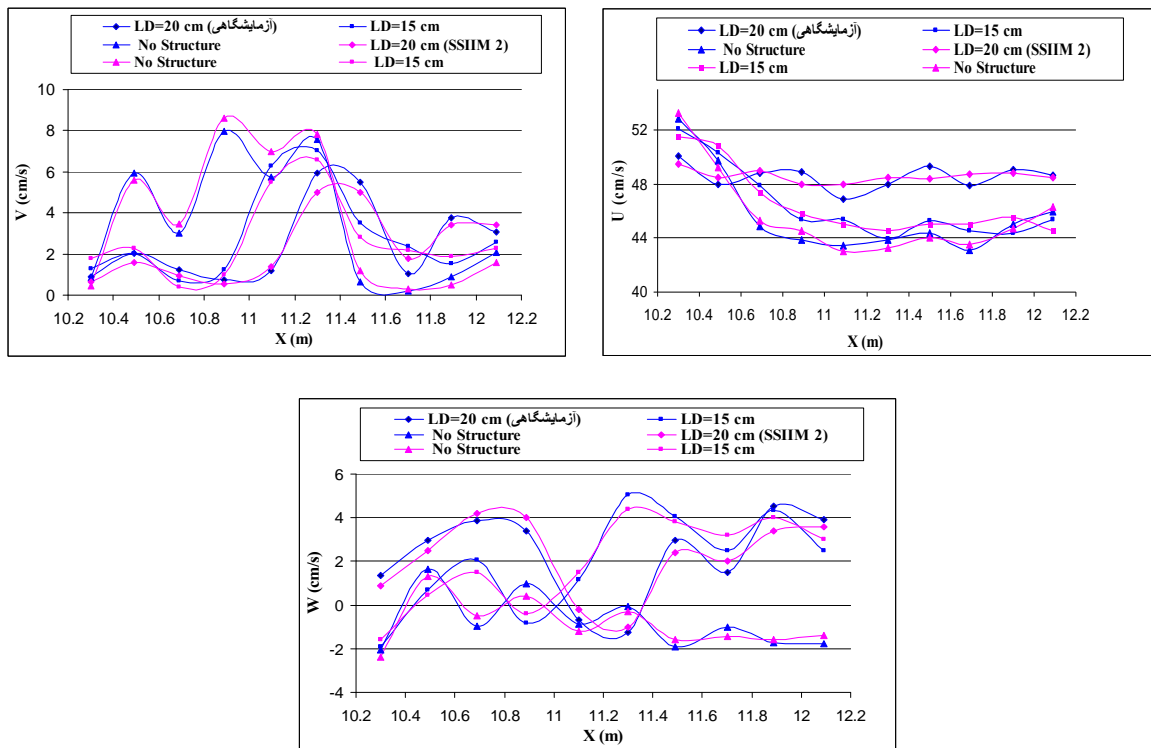
$$V_r = F(q_r, \frac{L_D}{B}) \quad (11)$$

که در این روابط، g_r نسبت رسوبات خروجی از کanal آب‌گیر به رسوبات ورودی به کanal اصلی (Q_{sf})، V_r نسبت حجم رسوبات تهنشین شده در کanal آب‌گیر به حجم رسوبات ورودی به کanal اصلی (V_{si}/V_{sm})، L_D/B طول نسبی آب‌شکن، q_r نسبت دبی آب‌گیری و L_I/b فاصله‌ی نسبی آب‌شکن از خط مرکزی کanal آب‌گیر می‌باشند. ابتدا تأثیر طول‌های مختلف آب‌شکن (LD) به ازای نسبت‌های مختلف دبی آب‌گیری (q_r) در حالت استفاده از آب‌شکن بدون صفحه‌ی مستغرق، با وجود صفحه و بدون استفاده از آب‌شکن (V) و همچنین بدون استفاده از صفحه و آب‌شکن (No structure) بر نسبت رسوبات ورودی به آب‌گیر جانبی (g) مورد بررسی قرار گرفت. شکل (۶) تأثیر طول‌های مختلف آب‌شکن ۱۵، ۲۰ و ۲۵ سانتی‌متر و حالت‌های مختلف وجود و عدم وجود صفحات مستغرق را بر میزان رسوبات ورودی به آب‌گیر به ازای نسبت‌های مختلف دبی نشان می‌دهد.

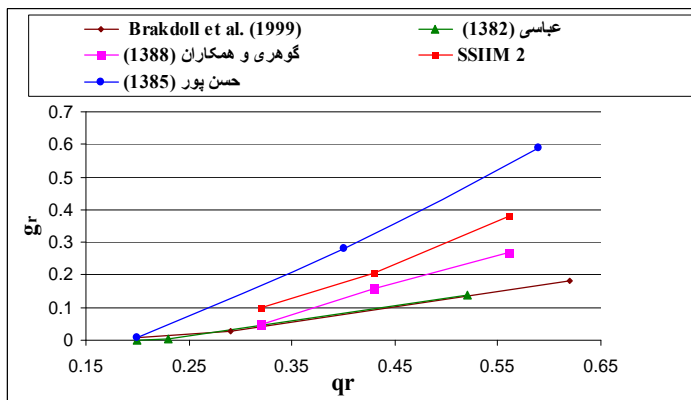
همان‌طور که در شکل (۶-a) مشاهده می‌شود، با افزایش طول آب‌شکن مقدار ورود رسوبات به آب‌گیر کاهش می‌یابد. هنگامی که طول آب‌شکن ۱۵ سانتی‌متر



شکل ۶ تأثیر طول آب‌شکن (a) و حالت‌های مختلف وجود و عدم وجود صفحات مستغرق (b) بر شدت رسوبات ورودی به آب‌گیر



شکل ۷ تغییرات سرعت جریان برای طولهای مختلف آب‌شکن ($L_d=40\text{cm}$, $q_r=0.3$, $\alpha=90^\circ$) و وجود صفحات مستغرق



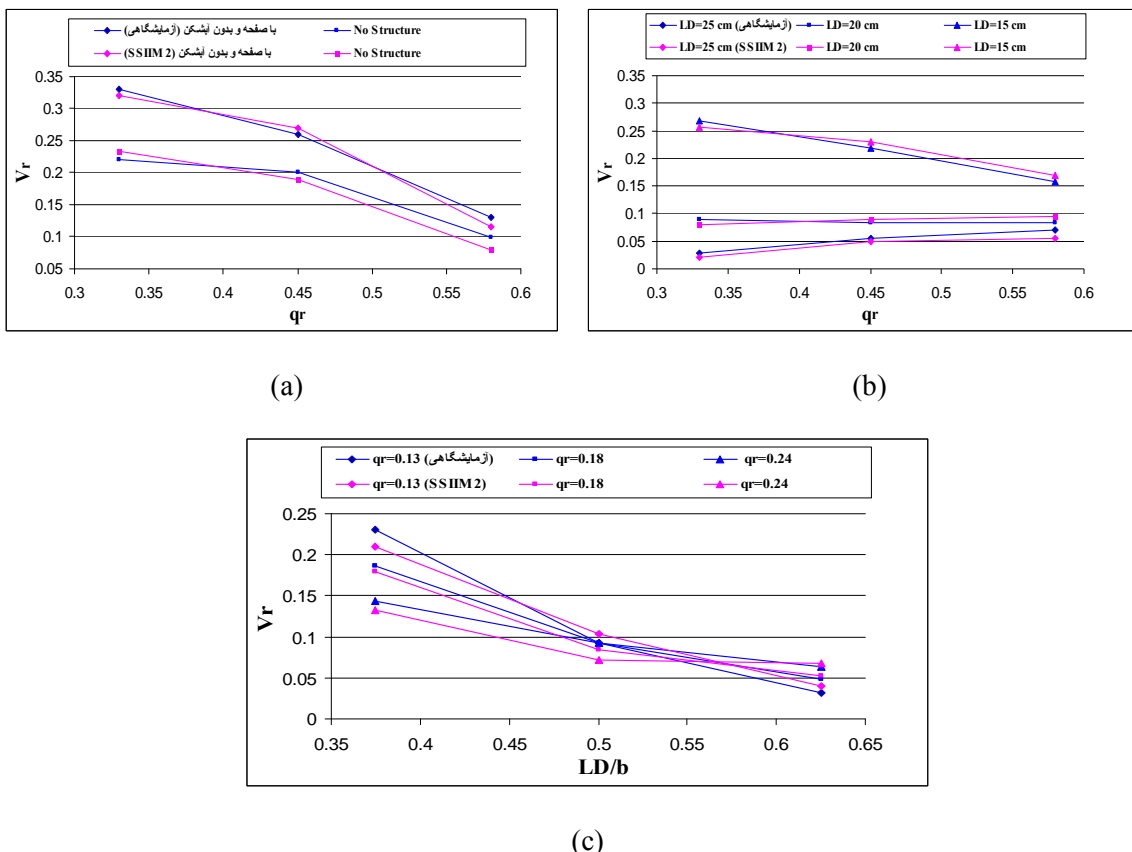
شکل ۸ مقایسه تغییرات نسبت انحراف رسوبر با نسبت انحراف جریان در تحقیق حاضر و سایر محققان

مدل آزمایشگاهی می‌باشد. با توجه به شکل (۹-a)، در حالت استفاده از صفحات مستغرق، مقدار ورود رسوبرات به آب‌گیر به طور متوسط 30% کاهش می‌یابد. همچنین با توجه به شکل (۹-b)، با افزایش طول آب‌شکن از 15 سانتی‌متر به 20 سانتی‌متر، مقدار ورود رسوبرات به آب‌گیر به طور متوسط 44% کاهش یافت. در نسبت آب‌گیری $57/0$ نیز با افزایش طول آب‌شکن مقدار انباشت رسوبرات در داخل آب‌گیر کاهش می‌یابد

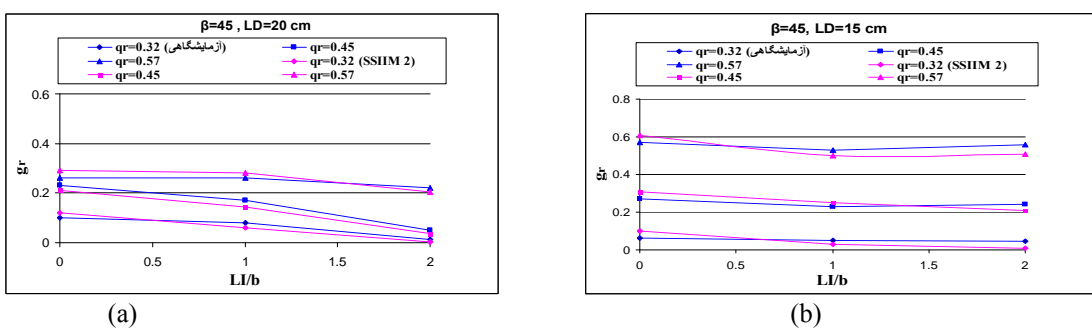
همان‌طور که در این نمودار دیده می‌شود روند کلی تغییرات رسوبری خروجی از آب‌گیر با افزایش دبی آب‌گیری یکسان است و در همه‌ی آن‌ها با افزایش نسبت دبی آب‌گیری، مؤلفه‌ی عرضی سرعت در جلوی دهانه‌ی آب‌گیر افزایش می‌یابد و در نتیجه نسبت رسوبر ورودی به آب‌گیر نیز افزایش می‌یابد. میزان اختلاف نتایج عددی در مقایسه با نتایج سایر محققان، به دلیل متفاوت بودن پارامترهای هندسی و هیدرولیکی

٪/۸۸، ٪/۶۵، ٪/۳/۸۴ است و با توجه به شکل (a-۹) حداقل، میانگین و حداقل خطای حاصل در حالت عدم استفاده از صفحات مستغرق و آب شکن به ترتیب ٪/۵۶، ٪/۴/۳۴، ٪/۵/۹۴ و ٪/۸/۵۶ می باشد.

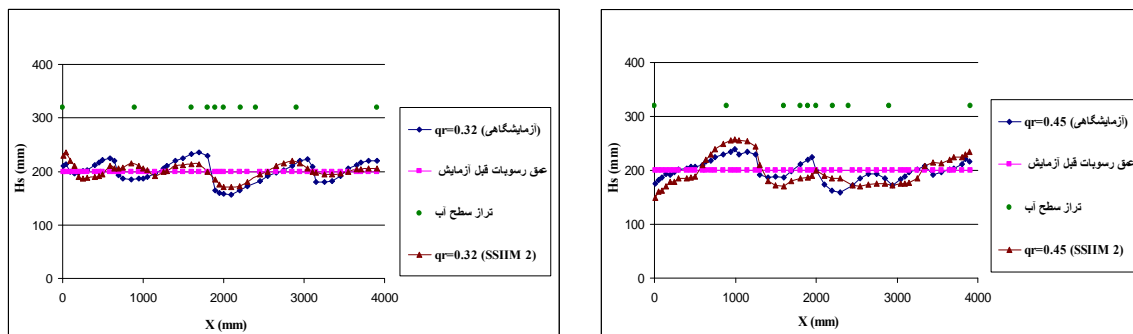
که نشان می دهد با افزایش طول آب شکن مقدار سرعت جریان در آب گیر بیشتر می شود و ورود رسوبات به آب گیر نیز کاهش می یابد. با توجه به شکل (b-۹)، حداقل، میانگین و حداقل خطای حاصل از مقایسه در طول آب شکن ۱۵ سانتی متر به ترتیب



شکل ۹ تغییرات متوسط حجم نسبی رسوب در آب گیر با (a) دبی انحرافی، (b) طول نسبی آب شکن



شکل ۱۰ تأثیر فاصله ای نسبی آب شکن (a) و (b) بر نسبت رسوب ورودی به آب گیر



شکل ۱۱ پروفیل بار بستر قبل از شروع آزمایش‌ها و پس از رسیدن به تعادل بهازی نسبت‌های دبی آب‌گیری ۰/۳۲ و ۰/۴۵

خطای حاصل در $q_f = 0.13$ به ترتیب $10/01$ ، $8/69$ و $11/11$ ٪، در $q_f = 0.18$ به ترتیب $11/11$ ، $3/74$ و $11/62$ ٪ و در $q_f = 0.24$ به ترتیب $15/05$ ، $8/88$ و $18/23$ ٪ به دست آمد. بر اساس رابطه (۱۱) و با احتساب نتایج آزمایشگاهی [۱۵] حاصل از شکل (۹)، رابطه (۱۲) برای تعیین حجم نسبی رسوب در آب‌گیر بر حسب نسبت دبی انحرافی و طول نسبی آب‌شکن پیشنهاد می‌گردد.

$$V_r = 0.493 + 0.357qr - 1.107\left(\frac{L}{D}\right) \quad r^2 = 0.905 \quad (12)$$

در شکل (۱۰)، تأثیر فاصله‌ی نسبی قرارگیری آب‌شکن از آب‌گیر (L/b) در طول‌های مختلف آب‌شکن ۱۵ سانتی‌متر (a) و ۲۰ سانتی‌متر (b) بر نسبت رسوب ورودی به آب‌گیر (g_f) مورد بررسی قرار گرفته است. همان‌طور که مشاهده می‌کنیم با نصب آب‌شکن در مقابل آب‌گیر مقدار رسوبات ورودی به آب‌گیر کاهش یافته است. این امر به دلیل افزایش سرعت عرضی در مقابل جریان است (شکل ۳). با افزایش طول نسبی آب‌شکن (d)، کاهش نسبی سرعت عرضی جریان و افزایش متوسط سرعت طولی از ورود رسوبات به آب‌گیر کاسته می‌شود. زاویه‌ی قرارگیری صفحات مستغرق (β)، مطابق مطالعه‌ی آزمایشگاهی ۴۵ درجه در نظر گرفته شده است. حداقل، میانگین و حداقل خطای حاصل از مقایسه‌ی نتایج عددی و آزمایشگاهی در $q_f = 0.32$ با

همان‌طور که در این نمودار دیده می‌شود روند کلی تغییرات رسوبی خروجی از آب‌گیر با افزایش دبی آب‌گیری یکسان است و در همه‌ی آن‌ها با افزایش نسبت دبی آب‌گیر، مؤلفه‌ی عرضی سرعت در جلوی دهانه‌ی آب‌گیر افزایش می‌یابد و در نتیجه نسبت رسوب ورودی به آب‌گیر نیز افزایش می‌یابد. میزان اختلاف نتایج عددی در مقایسه با نتایج سایر محققان، به دلیل متفاوت بودن پارامترهای هندسی و هیدرولیکی مدل آزمایشگاهی می‌باشد. با توجه به شکل (a-۹)، در حالت استفاده از صفحات مستغرق، مقدار ورود رسوبات به آب‌گیر به طور متوسط ۳۰٪ کاهش می‌یابد. همچنین با توجه به شکل (b-۹)، با افزایش طول آب‌شکن از ۱۵ سانتی‌متر به ۲۰ سانتی‌متر، مقدار ورود رسوبات به آب‌گیر به طور متوسط ۴۴٪ کاهش یافت. در نسبت آب‌گیری ۵۷/۰ نیز با افزایش طول آب‌شکن مقدار انباشت رسوبات در داخل آب‌گیر کاهش یافت که نشان می‌دهد با افزایش طول آب‌شکن مقدار سرعت جریان در آب‌گیر بیشتر می‌شود و ورود رسوبات به آب‌گیر نیز کاهش می‌یابد. با توجه به شکل (b-۹)، حداقل، میانگین و حداقل خطای حاصل از مقایسه در طول آب‌شکن ۱۵ سانتی‌متر به ترتیب ۸۴/۸۴٪، ۶۵/۴٪ و ۸۸/۵٪ است و با توجه به شکل (a-۹) حداقل، میانگین و حداقل خطای حاصل در حالت عدم استفاده از صفحات مستغرق و آب‌شکن به ترتیب ۳۴/۴٪، ۹۴/۵٪ و ۵۶/۸٪ می‌باشد همچنین با توجه به شکل (c-۹)، حداقل، میانگین و حداقل

بیشتری از جریان عبوری از کanal اصلی وارد کanal آب‌گیر شود و مؤلفه‌ی عرضی سرعت در جلوی دهانه‌ی آب‌گیر با افزایش نسبت آب‌گیری افزایش یافته و در نتیجه رسوبات بیشتری وارد کanal آب‌گیر می‌شود.

- در یک نسبت ثابت آب‌گیری، با افزایش زاویه آب‌گیری نسبت رسوب ورودی به آب‌گیر افزایش می‌یابد.

$$\begin{aligned} g_r &= 0.335 + 0.927qr - 1.125 \frac{L_D}{B} \\ -0.041 \left(\frac{L_I}{b} \right) r^2 &= 0.850 \end{aligned} \quad (13)$$

- با نصب آب‌شکن در بالاتر از آب‌گیر (به سمت ورودی کanal اصلی) و افزایش L_I/b ، سطح رسوبات در مقابل آب‌گیر به دلیل افزایش سرعت جریان، پایین‌تر می‌رود و با این عمل، آستانه‌ای در مقابل آب‌گیر ایجاد می‌شود که مانع ورود رسوبات به داخل آب‌گیر خواهد شد.

- متوسط تراز بستر پس از رسیدن به تعادل با تغییر دبی آب‌گیری نیز تقریباً ثابت می‌ماند و مجموع رسوبات وارد شده به محدوده آب‌گیر و رسوبات خارج شده از محدوده آب‌گیر تقریباً ثابت است. هم‌چنین متوسط عمق رسوبات تهشیش شده در بستر در حالت عددی به ترتیب برابر $203/6$ و $199/8$ میلی‌متر به دست آمد.

- بر اساس آنالیز ابعادی، نسبت رسوب ورودی به آب‌گیر به طول نسبی، فاصله‌ی نسبی قرارگیری آب‌شکن از دهانه‌ی آب‌گیر و نسبت دبی آب‌گیری بستگی دارد. هم‌چنین بر اساس آنالیز ابعادی، رابطه‌ای برای تعیین حجم نسبی رسوب ورودی به آب‌گیر استخراج گردید.

توجه به شکل (a-۱۰)، به ترتیب $9/09$ ٪، $12/54$ ٪، $16/67$ ٪، با توجه به شکل (b-۱۰) به ترتیب $11/25$ ٪، $16/44$ ٪، $25/02$ ٪ و با توجه به شکل (c-۱۰) به ترتیب $13/07$ ٪، $19/22$ ٪ و $10/65$ ٪ می‌باشد. هم‌چنین $q_r = 0.32$ حداقل، میانگین و حداقل خطای حاصل در $13/33$ ٪ به دست آمد.

برای نشان دادن تأثیر نسبت دبی آب‌گیری (q_r)، طول آب‌شکن (L_D)، فاصله‌ی قرارگیری آب‌شکن از دهانه‌ی آب‌گیر (L_I)، عرض آب‌گیر (b) و کanal اصلی (B) بر میزان رسوبات ورودی به داخل آب‌گیر (g_r)، با توجه به آنالیز ابعادی، تحلیل آماری نتایج آزمایشگاهی شکل (۱۰) و بر اساس رابطه‌ی (۱۰)، رابطه‌ی نهایی به شرح زیر استخراج گردید. مقدار میانگین مربعات (r^2) مربوط به رابطه در کنار آن نوشته شده است.

شکل (۱۱) پروفیل بار بستر را پس از رسیدن به تعادل نسبی در دو حالت آزمایشگاهی و عددی نشان می‌دهد. با توجه به شکل (۱۱)، متوسط عمق رسوبات تهشیش شده در بستر در حالت آزمایشگاهی به ازای نسبت‌های دبی آب‌گیری $0/32$ و $0/45$ به ترتیب برابر $199/2$ و 202 میلی‌متر است در حالی که این مقادیر در حالت عددی به ترتیب برابر $203/6$ و $199/8$ میلی‌متر به دست آمد. عمق رسوبات قبل از کلیه‌ی آزمایش‌ها برابر 200 میلی‌متر بوده است.

نتیجه‌گیری

در مجموع نتایج حاصل برای جریان‌هایی با شرایط اعمال شده در این تحقیق عبارتنداز:

- افزایش نسبت آب‌گیری باعث می‌شود که بخش

مراجع

1. Nakato, T. et al., "A Hydraulic Model Study: Design of Sediment-Control Devices for the Intakes near River", IIHR Limited Distribution Rep. No. 194, Iowa Institute of Hydraulic Research, Iowa City, Iowa, (1992).

2. Neary, V.S. and Odgaard, A.J., "Three-Dimensional Flow Structure at Open Channel Diversions", *J. Hydr. Engng. ASCE*, 119(11), pp. 1224–1230, (1993).
3. Solaymani Osbooei, H.R., "Investigation of Submerged Vane Array on Rivers bed Morphology", M.Sc. Thesis in Environmental Engineering, Tehran Univ. 175p. (1996), (In Persian).
4. Brakdoll et al., "Sediment Control at Lateral Diversions: Limits and Enhancements to Vane Use", *J.HYDR.Eng.ASCE*, 129(2), pp. 83-87, (1999).
5. Kuhnle, R.A., Alonso, C.V., and Shields, F.D.Jr. "Geometry of Scour Holes Associated with 90° Spur Dikes", *Journal of Hydraulic Engineering*, ASCE,125:9.pp.972-978, (1999).
6. Sajedi Sabegh, M. and Habibi, M., "Laboratory Investigation of Using Submerged Vane and Dikes on Efficiency of Intakes", Proceeding of 4th hydraulic conference, pp. 35-42, (2003).
7. حسنپور، فرزاد، «کاربرد صفحات مستغرق مركب و آستانه در آبگیرهای جانبی»، رساله دکتری، دانشگاه تربیت مدرس، دانشکده فنی و مهندسی عمران صفحه ۲۲۷، (۱۳۸۵).
8. Ramamurthy A.S., Junying Qu and Diep VO., "Numerical and Experimental Study of Dividing Open-Channels Flows", *Journal of Hydraulic Engineering*, Vol.133, No.10, 2007, pp.1135-1144, (2007).
9. صفرزاده، اکبر و صالحی نیشابوری، علی اکبر، «مدل‌سازی عددی الگوی سبعدی جریان در آبگیر جانبی»، اولین کنگره ملی مهندسی عمران، (۱۳۸۳).
10. شاملو، حمید و پیرزاده، بهاره، «بررسی اثرات پارامترهای هندسی و هیدرولیکی بر ابعاد ناحیه‌ی جدایی جریان در آبگیرهای جانبی با استفاده از نرم‌افزار Fluent»، نشریه تخصصی مهندسی عمران- نقشه برداری، (۱۳۸۹).
11. شاملو، حمید و اثنی عشری، عادل، «بررسی عددی هیدرولیک جریان و رسواب در آبگیرهای جانبی رودخانه‌ای با استفاده از نرم‌افزار SSIIM2»، نهمین کنفرانس هیدرولیک ایران، دانشگاه تربیت مدرس، (۱۳۸۹).
12. Olsen, N.B.R, "Three-Dimensional Numerical Model for Simulation of Sediment Movements in Water Intakes with Multiblock Option", Department of hydraulic and environmental engineering, the Norwegian university of science and technology, (2006).
13. عباسی، علی‌اکبر، «مطالعه آزمایشگاهی کنترل رسواب در آبگیرهای جانبی در مسیرهای مستقیم»، رساله دکتری، دانشگاه تربیت مدرس، دانشکده فنی و مهندسی عمران، (۱۳۸۲).
14. سیدیان، سید مرتضی و شفاعی بجستان، محمود، «مقایسه رسواب معلق ورودی به آبگیر با تغییر زاویه‌ی دیواره‌ی کانال اصلی از قائم به ۴۵ درجه»، نشریه‌ی آب و خاک، دانشگاه فردوسی مشهد، صفحه ۹۸۵-۹۹۴، (۱۳۸۹).
15. گوهري، سعيد و همکاران، «تأثیر صفحات مستغرق و آب‌شکن در کنترل رسواب ورودی به آبگیر جانبی»، مجله‌ی پژوهش‌های حفاظت آب و خاک، جلد شانزدهم، شماره دوم، دانشگاه علوم کشاورزی و منابع طبیعی گرگان، (۱۳۸۸).

CONTENTS

The Effects of Piles Spacing and Length to Diameter Ratios on the Soil-Pile-Structure Interaction Phenomenon	A. Mahboubi - K. Panaghi	1
Application of Computational Fluid Dynamics for Modeling of Secondary Flow cells in Trapezoidal Channel	M. Azhdary Moghaddam M.Tajnesaie - M.Givehchi	15
Comparing the performance of metakaoline with silica fume on properties of high performance concrete	M. Shekarchizadeh - M. Valipour-F. Pargar	29
Application of WAF Method in Numerical Simulation of Roll Waves	A. Mahdavi - N.Talebbeydokhti	43
A Comparative Study on Seismic Performance of Zipper and Special Chevron Braced Frames	M. Razavi - M.R. Sheidaii	59
Structural Behavior of in-city Canals Filled with Different CLSM Containing Recycled Aggregated	M.K. Sharbatdar	73
An Investigation on Lateral Earth Pressure in Integral Bridges Due to the Cyclic Loading	J. Bolouri Bazaz - S. Rasouly	91
Using Resistivity to Evaluate Durability of Concrete	A.R. Pilvar - A.A.Ramezanianpour M. Mahdikhani - F. Moodi	109
Evaluation of accuracy of capacity spectrum and improved capacity spectrum methods for determination of performance of concrete frames	M. Izadpanah- AR. Habibi	121
3-D Numerical Investigation of Sedimentation and its Control at River Lateral Intakes by SSIIM2 Software	H. Shamloo - A. Asnaashari	131



**JOURNAL OF
CIVIL ENGINEERING
FERDOWSI UNIVERSITY OF MASHHAD**

Ferdowsi University of Mashhad

ISSN 2008-7454

General Director: F.Irani

Editor-Chief : M. Reza Esfahani

Published: Ferdowsi University of Mashhad

Editorial Board:

M. Azhari	Professor	Isfahan University of Technology
M. Reza Esfahani	Professor	Ferdowsi University of Mashhad
F. Irani	Professor	Ferdowsi University of Mashhad
M. R. Jafarzade	professor	Ferdowsi University of Mashhad
A. A. kheiradin	professor	Semnan University
A. Soroush	Associate professor	AmirKabir University of Technology
F. Shahabian Moghadam	Associate professor	Ferdowsi University of Mashhad
R. Atarnejad	Associate professor	University of Tehran
M. Ghafoori	Professor	Ferdowsi University of Mashhad
M. Faghfour Maghrebi	professor	Ferdowsi University of Mashhad
Gh. R. Ghodrati Amiri	Professor	Iran University of Science & Technology
D. Mostofinejad	Professor	Isfahan University of Technology

Text Editor : A. Dehghn

Administrative Director: T. Hooshmand

Typist: F. Ali Akbari

Journal of Civil Engineering

Department of Civil Engineering, Ferdowsi University of Mashhad,

P. O. Box. 91775-1111, Mashhad, I.R.IRAN

Tel: +98 511 8763307 ; Fax: +98 511 8806024 ; Email: ejour@um.ac.ir

Web site : <http://jm.um.ac.ir>



**Ferdowsi University
of Mashhad**

Journal of Ferdowsi Civil Engineering

(Journal of School of Engineering)

The Effects of Piles Spacing and Length to Diameter Ratios on the Soil-Pile-Structure Interaction Phenomenon A. Mahboubi - K. Panaghi	1
Application of Computational Fluid Dynamics for Modeling of Secondary Flow cells in Trapezoidal Channel M. Azhdary Moghaddam M.Tajnesaie - M.Givehchi	15
Comparing the Performance of Metakaoline with Silica Fume on Properties of High Performance Concrete M. Shekarchizadeh - M. Valipour-F. Pargar	29
Application of WAF Method in Numerical Simulation of Roll Waves A. Mahdavi - N.Talebbeydokhti	43
A Comparative Study on Seismic Performance of Zipper and Special Chevron Braced Frames M. Razavi - M.R. Sheidaai	59
Structural Behavior of in-city canals filled with different CLSM Containing Recycled Aggregated M.K. Sharbatdar	73
An Investigation on Lateral Earth Pressure in Integral Bridges Due to the Cyclic Loading J. Bolouri Bazaz - S. Rasouly	91
Using Resistivity to Evaluate Durability of Concrete A.R. Pilvar - A.A.Ramezanianpour M. Mahdikhani - F. Moodi	109
Evaluation of Accuracy of Capacity Spectrum and Improved Capacity Spectrum Methods for Determination of Performance of Concrete frames M. Izadpanah - AR. Habibi	121
3-D Numerical Investigation of Sedimentation and its Control at River Lateral Intakes by SSIIM2 Software H. Shamloo - A. Asnaashari	131